放射特性の解析・設計と指向性合成

出口 博之

同志社大学

2025年9月19日

目次

第1章	開口面法	1
1.1	開口面の境界線での不連続を考慮した積分表示	2
	1.1.1 電荷の保存則(連続の式)	2
	1.1.2 面電流分布の不連続	4
	1.1.3 線電荷,線磁荷の周回積分による電磁界	5
	1.1.4 有限の開口面分布による電磁界の積分表示式	6
	1.1.5 ベクトルの勾配	10
1.2	開口面法(開口面が曲面の場合)	14

1.3	開口面法(開口面が平面の場合)	19
1.4	フラウンホーファ領域放射電界	28
1.5	フレネル領域放射電界	31
1.6	導波菅モードによる放射特性	33
	1.6.1 単一モード	33
	1.6.2 TE ₹ − F	47
	1.6.3 TM ₹-ド	49
	1.6.4 開口径が十分大きい場合	50
	1.6.5 多モード (伝搬モード, 無損失)	51
1.7	円形開口面分布による放射特性	54
	1.7.1 円形開口面分布	54
	1.7.2 回転対称な円形開口面分布	57
	1.7.3 円形一様開口面分布	58
	1.7.4 放物線テーパ分布	60
第2章	方形導波菅開口からの放射	69

2.1	方形導波管開口からの放射特性
	2.1.1 方形開口からの放射 70
	2.1.2 方形導波管モードによる放射特性 $$ 73
2.2	方形導波管の TE_{mn} モードによる遠方放射界 $\dots \dots 74$
	$2.2.1$ 方形導波管の TE_{mn} モード関数 \dots 75
	2.2.2 遠方放射電界77
2.3	方形 TE モードによる放射特性の例
	$2.3.1$ 方形 TE_{0n} モード $(m=0)$ による遠方界 $\ldots \ldots$ 97
	$2.3.2$ 方形 TE_{01} モード $(m=0,\ n=1)$ による遠方界 \ldots 101
	$2.3.3$ 方形 TE_{m0} モード $(n=0)$ による遠方界 $\dots \dots 102$
	$2.3.4$ 方形 TE_{10} モード $(m=1,\ n=0)$ による遠方界 \ldots 105
	2.3.5 ピーク利得
2.4	方形 TE_{mn} モードによるフレネル領域の放射界 \dots 107
	2.4.1 フレネル積分
2.5	方形 TM_{mn} モードによる放射
2.6	正方形導波管のモードとその放射パターンの例

	2.6.1	正方形導波管 TE_{10} モード \ldots	. 123
	2.6.2	正方形導波管 TE_{12} モード \ldots	. 126
	2.6.3	正方形導波管 TM_{12} モード $_{12}}$. 129
	2.6.4	正方形導波管 TE ₀₁ モード	. 132
	2.6.5	正方形導波管 TE ₂₁ モード	. 135
	2.6.6	正方形導波管 TM_{21} モード $_{21}}$. 138
2.7	2.7	多モード方形導波管開口からの放射	. 141
	2.7.1	多モードを合成した開口面分布	. 141
	2.7.2	開口面での反射が小さい場合	. 143
	2.7.3	開口径が大きい場合	. 145
	2.7.4	モードの合成による交差偏波成分の低減	. 146
第3章	円形導	波菅開口からの放射	151
3.1	円形導	波管開口からの放射	. 152
	3.1.1	TEモード	. 154
	3.1.2	TMモード	. 156

	3.1.3 TE/TM をまとめた表示式	l57
3.2	円形導波管の TE_{1n} および TM_{1n} モードの特性 $\dots \dots 1$	159
3.3	フラウンホーファ領域	160
3.4	フレネル領域	168
	3.4.1 TM ₹-ド	176
3.5	開口径が十分大きい場合	178
	3.5.1 TEモード	178
	3.5.2 TM ₹-ド	180
3.6	多モード円形導波管開口からの放射1	182
第4章	開口面アンテナの設計・解析 1	L87
4.1	多重2次曲面鏡系の等価パラボラ表示	188
	4.1.1 回転放物面鏡と開口面との関係	188
	4.1.2 回転放物面鏡	188
	4.1.3 だ円と双曲線の離心率	195
	4.1.4 だ円と双曲線	196

	4.1.5	楕円面, 凸面のとき198
	4.1.6	双曲面, 凹面, 発散系のとき
	4.1.7	双曲面, 凹面, 集束系のとき
	4.1.8	双曲面, 凸面, 発散系のとき
	4.1.9	双曲面, 凸面, 集束系のとき
	4.1.10	離心率
	4.1.11	だ円および双曲線の関係式210
	4.1.12	回転2次曲面鏡系の入射光線と反射光線211
	4.1.13	多重反射鏡の表示式226
4.2	平均放	射パターン233
	4.2.1	位相誤差のある開口面分布による指向性関数233
	4.2.2	平均的な放射電力235
	4.2.3	鏡面ひずみによる利得低下量239
4.3	軸対称	複反射鏡アンテナの最適開口面分布241
4.4	軸対称	カセグレンアンテナの鏡面修整法
	4.4.1	軸対称2枚修整鏡面系における光路長一定の条件249

	4.4.2	反射の法則
	4.4.3	幾何光学におけるエネルギー保存の法則
	11-1-1-1	
第5章	指同性	合成と波源分布の最適化 259
5.1	ウッド	ワード・ローソン法
5.2	波源分	布のフーリエ級数展開265
	5.2.1	開口面分布と電界指向性との関係
	5.2.2	変数分離された開口面分布266
	5.2.3	座標系の正規化 268
	5.2.4	1次元フーリエ変換対270
	5.2.5	波源分布のフーリエ級数展開272
	5.2.6	実数係数で展開された開口面分布
	5.2.7	対称な波源分布 276
	5.2.8	波源分布の逆フーリエ変換277
	5.2.9	開口能率
	5.2.10	1次元波源分布に対する開口能率

5.3	レメッツのアルゴリズムによる指向性合成 \dots
5.4	電界指向性のフーリエ級数展開
	5.4.1 有限範囲で一様な電界指向性
	5.4.2 電界指向性のフーリエ変換
	5.4.3 1次元波源の共相励振
5.5	レメッツのアルゴリズムによるビーム成形302
5.6	2次計画法による指向性合成
	5.6.1 2次計画法のための定式化
	5.6.2 所定のサイドローブレベル以下で利得最大の指向性合成 314
5.7	2次計画法によるビーム成形
	5.7.1 2次計画法のための定式化
	5.7.2 所定のサイドローブレベル以下を実現する成形ビームの指向性合成 321
付録A	付録 325
A.1	ソニンの第1積分326
A.2	Laplace の積分

A.3	三角関	数の公式 \ldots	33
	A.3.1	三角関数の積和公式3	33
	A.3.2	三角関数の和積公式3	35

CHAPTER 1

開口面法

アンテナの開口面における電磁界分布から、そのアンテナが放射する電磁界を計算する手法について解説する。まず、電荷保存則と面電流の不連続性といった基本的な電磁気学の原理から出発し、線電荷や線磁荷を用いた電磁界の積分表現を導出する。次に、有限の開口面における電磁界の積分表示式を詳細に示し、ストークスの定理やベクトル演算子を用いて複雑な積分項を求めていく。そして、開口面が曲面や平面の場合の放射電界の近似式、特に観測点が十分遠方にあるフラウンホーファ領域と比較

的近いフレネル領域での解析を取り上げ説明する。さらに、導波管モードによる放射特性の解析、特に単一モードや多モードの場合について、電界と磁界の関係、アンテナ利得の計算式を詳しく説明する。最後に、円形開口面分布を持つアンテナの放射特性を、一様分布や放物線テーパ分布の具体例を挙げて解説し、ベッセル関数を用いた指向性関数の導出とサイドローブレベルについて説明する。

1.1 開口面の境界線での不連続を考慮した積分表示

1.1.1 電荷の保存則(連続の式)

電流密度をJ, 電荷密度を ρ とすると, 電荷の保存則は,

$$\nabla \cdot \boldsymbol{J} = -\frac{\partial \rho}{\partial t} = -j\omega\rho \tag{1.1}$$

微小な領域において体積積分して, ガウスの発散定理より,

$$\iiint \nabla \cdot \mathbf{J} dV = \oiint \mathbf{J} \cdot d\mathbf{S}$$
$$= - \iiint \frac{\partial \rho}{\partial t} dV = -j\omega \iiint \rho dV$$
(1.2)

面S上の面電流密度をJ。、面電荷密度を ρ 。とすると、

$$\nabla_s \cdot \boldsymbol{J}_s = -\frac{\partial \sigma}{\partial t} = -j\omega \rho_s \tag{1.3}$$

ただし、 ∇_s は面S 上の2 次元微分演算子を示す。微小な面上の領域において面積積分して、2 次元のガウスの発散定理より、

$$\iint \nabla_s \cdot \mathbf{J}_s dS = \oint \mathbf{J}_s \cdot \mathbf{n}_s d\ell$$

$$= -\iint \frac{\partial \sigma}{\partial t} dS = -j\omega \iint \rho_s dS \tag{1.4}$$

1.1.2 面電流分布の不連続

面S上において領域1,2が接している境界線上周辺に面積積分の積分範囲をとる。いま、境界線に沿う微小長さをdl、境界線に垂直な微小幅をhとおくと、

$$(\boldsymbol{J}_{s}^{(2)} - \boldsymbol{J}_{s}^{(1)}) \cdot \boldsymbol{n}_{1} dl = -\lim_{h \to 0} \frac{\partial \sigma}{\partial t} h dl = -\frac{\partial \sigma_{l}}{\partial t} dl$$

$$= -\lim_{h \to 0} j\omega \rho_{s} h dl = -j\omega \sigma dl$$

$$(1.5)$$

ただし、 n_1 は面S上の領域1から2に向く法線ベクトル、 σ は境界線上の線電荷密度を示し、

$$\sigma \equiv \lim_{h \to 0} h \rho_s \tag{1.6}$$

また、 $J_s^{(1)}$ 、 $J_s^{(2)}$ は、領域 1,2 の境界線での等価的な面電流密度を各々示し、面S 上の磁界を H_1 、 H_2 とおくと、

$$\boldsymbol{J}_s^{(i)} = \boldsymbol{n} \times \boldsymbol{H}_i \quad (i = 1, 2) \tag{1.7}$$

境界線に沿う単位ベクトルをauとおき、 $au=n\times n_1$ とすると、不連続な面電流分布に対する境界条件の式が得られる *1 .

$$(\mathbf{J}_{s}^{(2)} - \mathbf{J}_{s}^{(1)}) \cdot \mathbf{n}_{1} = (\mathbf{n} \times \mathbf{H}_{2} - \mathbf{n} \times \mathbf{H}_{1}) \cdot \mathbf{n}_{1}$$

$$= (\mathbf{n}_{1} \times \mathbf{n}) \cdot (\mathbf{H}_{2} - \mathbf{H}_{1})$$

$$= -\boldsymbol{\tau} \cdot (\mathbf{H}_{2} - \mathbf{H}_{1})$$

$$= \boldsymbol{\tau} \cdot (\mathbf{H}_{1} - \mathbf{H}_{2})$$

$$= -j\omega\sigma$$
(1.8)

1.1.3 線電荷,線磁荷の周回積分による電磁界

境界線上の領域1の面上の磁界をHとし($H_1 = H$, $H_2 = 0$),

$$\boldsymbol{\tau} \cdot \boldsymbol{H}_1 = \boldsymbol{\tau} \cdot \boldsymbol{H} = -j\omega\sigma \tag{1.9}$$

$$\therefore \sigma = -\frac{\boldsymbol{\tau} \cdot \boldsymbol{H}}{j\omega} \tag{1.10}$$

^{*1} Julius Adams Stratton, "Electromagnetic Theory," 8.16. Discontinuous Surface Distributions, p.468, McGraw-Hill, New York (1941), Wiley-IEEE Press (2007), Kindle Edition (2013)

領域1の周囲の線電荷密度 σ による電界 E_C は、等価波源の面積分を線積分として、

$$\mathbf{E}_{C} = \frac{1}{4\pi} \oint_{C} \frac{\sigma}{\epsilon} \nabla \psi ds$$

$$= -\frac{1}{4\pi j\omega \epsilon} \oint_{C} \nabla \psi (\boldsymbol{\tau} \cdot \boldsymbol{H}) ds \qquad (1.11)$$

領域1の電界をEとし($E_1 = E$, $E_2 = 0$),双対性より,境界線上の線磁荷密度 σ_m は,

$$\sigma_m = \frac{\boldsymbol{\tau} \cdot \boldsymbol{E}}{j\omega} \tag{1.12}$$

この線磁荷による磁界 H_C もまた、等価波源の面積分を線積分として、あるいは双対性より、

$$\boldsymbol{H}_{C} = \frac{1}{4\pi} \oint_{C} \frac{\sigma_{m}}{\mu} \nabla \psi ds$$

$$= \frac{1}{4\pi j \omega \mu} \oint_{C} \nabla \psi (\boldsymbol{\tau} \cdot \boldsymbol{E}) ds$$
(1.13)

1.1.4 有限の開口面分布による電磁界の積分表示式

開口面分布の面積分の項に加えて、開口面の内部と外部とで連続の式を満足するように開口面の周囲の線電荷・線磁荷の周回積分の項を加え、開口面分布によって生じる電界 \mathbf{E}_p ,磁

界 H_p は*2,

$$\mathbf{E}_{p} = -\frac{1}{4\pi j\omega\epsilon} \oint_{C} \nabla \psi(\boldsymbol{\tau} \cdot \boldsymbol{H}) ds
+ \frac{1}{4\pi} \iint_{A} \left\{ -j\omega\mu(\boldsymbol{n} \times \boldsymbol{H})\psi + (\boldsymbol{n} \times \boldsymbol{E}) \times \nabla \psi + (\boldsymbol{n} \cdot \boldsymbol{E})\nabla\psi \right\} dS \qquad (1.14)$$

$$\mathbf{H}_{p} = \frac{1}{4\pi j\omega\mu} \oint_{C} \nabla \psi(\boldsymbol{\tau} \cdot \boldsymbol{E}) ds
+ \frac{1}{4\pi} \iint_{A} \left\{ j\omega\epsilon(\boldsymbol{n} \times \boldsymbol{E})\psi + (\boldsymbol{n} \times \boldsymbol{H}) \times \nabla\psi + (\boldsymbol{n} \cdot \boldsymbol{H})\nabla\psi \right\} dS \qquad (1.15)$$

式 (1.11) の積分項について、直角座標系 (x_1,x_2,x_3) を考え、 x_i (i=1,2,3) 方向の単位ベクトルを i_i とすると、

$$\oint_{C} \nabla \psi(\boldsymbol{\tau} \cdot \boldsymbol{H}) ds = \oint_{C} \left(\sum_{i=1}^{3} \frac{\partial \psi}{\partial x_{i}} \boldsymbol{i}_{i} \right) (\boldsymbol{\tau} \cdot \boldsymbol{H}) ds$$

$$= \sum_{i=1}^{3} \boldsymbol{i}_{i} \oint_{C} \frac{\partial \psi}{\partial x_{i}} \boldsymbol{H} \cdot \boldsymbol{\tau} ds \tag{1.16}$$

^{*2} Samuel Silver, "Microwave Antenna Theory and Design," 5.11. The Aperture-field Method, McGraw Hill (1949), IEE, reprint (1984).

ただし、 τ は周回積分路に沿う方向の単位ベクトルを示す。上式の周回積分は、次のようにストークスの定理より、周回積分路 C に囲まれた面 A の面積分に変換できる。

$$\oint_{C} \frac{\partial \psi}{\partial x_{i}} \mathbf{H} \cdot \boldsymbol{\tau} ds = \iint_{A} \left\{ \nabla \times \left(\frac{\partial \psi}{\partial x_{i}} \mathbf{H} \right) \right\} \cdot \mathbf{n} dS \tag{1.17}$$

被積分関数は,

$$\left\{\nabla \times \left(\frac{\partial \psi}{\partial x_{i}}\boldsymbol{H}\right)\right\} \cdot \boldsymbol{n} = \left\{\left(\nabla \frac{\partial \psi}{\partial x_{i}}\right) \times \boldsymbol{H} + \frac{\partial \psi}{\partial x_{i}}(\nabla \times \boldsymbol{H})\right\} \cdot \boldsymbol{n}$$

$$= \left\{\left(\nabla \frac{\partial \psi}{\partial x_{i}}\right) \times \boldsymbol{H}\right\} \cdot \boldsymbol{n} + \frac{\partial \psi}{\partial x_{i}}(\nabla \times \boldsymbol{H}) \cdot \boldsymbol{n}$$

$$= (\boldsymbol{H} \times \boldsymbol{n}) \cdot \left(\nabla \frac{\partial \psi}{\partial x_{i}}\right) + \frac{\partial \psi}{\partial x_{i}}(j\omega \epsilon \boldsymbol{E}) \cdot \boldsymbol{n}$$

$$= -(\boldsymbol{n} \times \boldsymbol{H}) \cdot \left(\nabla \frac{\partial \psi}{\partial x_{i}}\right) + j\omega \epsilon \frac{\partial \psi}{\partial x_{i}}(\boldsymbol{n} \cdot \boldsymbol{E}) \tag{1.18}$$

電流源 $J_0 = 0$, 導電率 $\sigma = 0$ として,

$$\nabla \times \boldsymbol{H} = (j\omega\epsilon + \sigma)\boldsymbol{E} + \boldsymbol{J}_0 = j\omega\epsilon\boldsymbol{E}$$
 (1.19)

つまり、周回積分項は,

$$\oint_{C} \nabla \psi(\boldsymbol{\tau} \cdot \boldsymbol{H}) ds$$

$$= \sum_{i=1}^{3} \boldsymbol{i}_{i} \oint_{C} \frac{\partial \psi}{\partial x_{i}} \boldsymbol{H} \cdot \boldsymbol{\tau} ds$$

$$= \sum_{i=1}^{3} \boldsymbol{i}_{i} \iint_{A} \left\{ \nabla \times \left(\frac{\partial \psi}{\partial x_{i}} \boldsymbol{H} \right) \right\} \cdot \boldsymbol{n} dS$$

$$= \sum_{i=1}^{3} \boldsymbol{i}_{i} \iint_{A} \left\{ j\omega \epsilon \frac{\partial \psi}{\partial x_{i}} (\boldsymbol{n} \cdot \boldsymbol{E}) - (\boldsymbol{n} \times \boldsymbol{H}) \cdot \left(\nabla \frac{\partial \psi}{\partial x_{i}} \right) \right\} dS$$

$$= \iint_{A} \left[j\omega \epsilon (\boldsymbol{n} \cdot \boldsymbol{E}) \sum_{i=1}^{3} \boldsymbol{i}_{i} \frac{\partial \psi}{\partial x_{i}} - \sum_{i=1}^{3} \boldsymbol{i}_{i} \left\{ (\boldsymbol{n} \times \boldsymbol{H}) \cdot \left(\nabla \frac{\partial \psi}{\partial x_{i}} \right) \right\} \right] dS$$

$$= \iint_{A} \left\{ j\omega \epsilon (\boldsymbol{n} \cdot \boldsymbol{E}) \nabla \psi - (\boldsymbol{n} \times \boldsymbol{H}) \cdot \nabla (\nabla \psi) \right\} dS \tag{1.20}$$

ここで,

$$\nabla \psi = \sum_{i=1}^{3} \mathbf{i}_{i} \frac{\partial \psi}{\partial x_{i}} \tag{1.21}$$

1.1.5 ベクトルの勾配

ベクトル関数 F の勾配 ∇F は,

$$\nabla F = \nabla \left(\sum_{j=1}^{3} F_{j} \mathbf{i}_{j} \right)$$

$$= \left(\sum_{j=1}^{3} \nabla F_{j} \right) \mathbf{i}_{j}$$

$$= \sum_{j=1}^{3} \left(\frac{\partial F_{j}}{\partial x_{1}} \mathbf{i}_{1} + \frac{\partial F_{j}}{\partial x_{2}} \mathbf{i}_{2} + \frac{\partial F_{j}}{\partial x_{3}} \mathbf{i}_{3} \right) \mathbf{i}_{j}$$

$$= \sum_{j=1}^{3} \left(\sum_{i=1}^{3} \frac{\partial F_{j}}{\partial x_{i}} \mathbf{i}_{i} \right) \mathbf{i}_{j}$$

$$= \sum_{i=1}^{3} \sum_{j=1}^{3} \frac{\partial F_{j}}{\partial x_{i}} \mathbf{i}_{i} \mathbf{i}_{j}$$

$$(1.22)$$

となり、ダイアディック関数で表される。これより、

$$\mathbf{F} = \sum_{j=1}^{3} F_j \mathbf{i}_j = \nabla \psi = \sum_{j=1}^{3} \frac{\partial \psi}{\partial x_j} \mathbf{i}_j$$
 (1.23)

とおくと、スカラ関数 ψ の勾配の勾配 $\nabla(\nabla\psi)$ は、

$$\nabla(\nabla\psi) = \sum_{i=1}^{3} \sum_{j=1}^{3} \frac{\partial^{2}\psi}{\partial x_{i}\partial x_{j}} \boldsymbol{i}_{i}\boldsymbol{i}_{j}$$
(1.24)

いま,

$$J = n \times H \tag{1.25}$$

$$\psi'_{j} = \frac{\partial \psi}{\partial x_{j}} \tag{1.26}$$

とおいて、周回積分の第2項の被積分関数を計算していくと、

積分の第2項の被積分関数を計算していくと、
$$\sum_{j=1}^{3}m{i}_{j}\left\{(m{n} imesm{H})\cdot\left(
ablarac{\partial\psi}{\partial x_{j}}
ight)
ight\}=\sum_{j=1}^{3}(m{J}\cdot
abla\psi_{j}')m{i}_{j}$$

$$egin{aligned} \left\{ oldsymbol{n} \left\{ ol$$

$$egin{aligned} &= \sum\limits_{i=1}^{3} J_{i} rac{\partial}{\partial x_{i}} \left(\sum\limits_{j=1}^{3} rac{\partial \psi}{\partial x_{j}} m{i}_{j}
ight) \ &= m{J} \cdot \left(\sum\limits_{j=1}^{3} \sum\limits_{i=1}^{3} rac{\partial^{2} \psi}{\partial x_{i} \partial x_{i}} m{i}_{i} m{i}_{j}
ight) \end{aligned}$$

$$egin{aligned} & oldsymbol{ar{z}}_{i=1} & \partial x_i \setminus_{j=1}^{\infty} \partial x_j \end{pmatrix} \ &= oldsymbol{J} \cdot \left(\sum_{i=1}^3 \sum_{j=1}^3 rac{\partial^2 \psi}{\partial x_i \partial x_j} oldsymbol{i}_i oldsymbol{i}_j
ight) \ &= oldsymbol{J} \cdot
abla (
abla \psi) \end{aligned}$$

$$egin{aligned} &= oldsymbol{J} \cdot \left(\sum\limits_{i=1}^{3}\sum\limits_{j=1}^{3}rac{\partial^{2}\psi}{\partial x_{i}\partial x_{j}}oldsymbol{i}_{i}oldsymbol{i}_{j}
ight) \ &= oldsymbol{J} \cdot
abla(
abla\psi) \cdot
abla($$

(1.27)

よって、 E_C は、

$$\mathbf{E}_{C} = -\frac{1}{4\pi j\omega\epsilon} \oint_{C} \nabla \psi(\boldsymbol{\tau} \cdot \boldsymbol{H}) ds$$

$$= \frac{1}{4\pi} \iint_{A} \left\{ -(\boldsymbol{n} \cdot \boldsymbol{E}) \nabla \psi + \frac{1}{j\omega\epsilon} (\boldsymbol{n} \times \boldsymbol{H}) \cdot \nabla(\nabla \psi) \right\} dS$$
(1.28)

一方,面積分で求められる電界 E_S は、

$$\boldsymbol{E}_{S} = \frac{1}{4\pi} \iint_{A} \left\{ -j\omega\mu(\boldsymbol{n} \times \boldsymbol{H})\psi + (\boldsymbol{n} \times \boldsymbol{E}) \times \nabla\psi + (\boldsymbol{n} \cdot \boldsymbol{E})\nabla\psi \right\} dS$$
(1.29)

領域1の面Aの開口面分布によって生じる電界 E_p は、両者の和より、

$$\mathbf{E}_{p} = \mathbf{E}_{S} + \mathbf{E}_{C}
= \frac{1}{4\pi} \iint_{A} \left\{ -j\omega\mu(\mathbf{n} \times \mathbf{H})\psi \right.
\left. + \frac{1}{j\omega\epsilon} (\mathbf{n} \times \mathbf{H}) \cdot \nabla(\nabla\psi) + (\mathbf{n} \times \mathbf{E}) \times \nabla\psi \right\} dS \tag{1.30}$$

同様にして、磁界 H_p は、

$$\mathbf{H}_{p} = \mathbf{E}_{S} + \mathbf{E}_{C}
= \frac{1}{4\pi} \iint_{A} \left\{ j\omega \epsilon(\mathbf{n} \times \mathbf{E})\psi \right.
\left. -\frac{1}{j\omega\mu} (\mathbf{n} \times \mathbf{E}) \cdot \nabla(\nabla\psi) + (\mathbf{n} \times \mathbf{H}) \times \nabla\psi \right\} dS$$
(1.31)

このような積分表示式を開口面法 (aperture-field method) という.

1.2 開口面法 (開口面が曲面の場合)

開口面の電磁界を E_a , H_a , 観測点Pでの電磁界を E_p , H_p とすると, $k^2 = \omega^2 \epsilon \mu$ より, 開口面法 (aperture-field method) の基本式は次のようになる.

$$\boldsymbol{E}_{p} = \frac{1}{4\pi j\omega\epsilon} \iint_{A} \left\{ k^{2}(\boldsymbol{n} \times \boldsymbol{H}_{a})\psi + (\boldsymbol{n} \times \boldsymbol{H}_{a}) \cdot \nabla(\nabla\psi) + j\omega\epsilon(\boldsymbol{n} \times \boldsymbol{E}_{a}) \times \nabla\psi \right\} dS$$
(1.32)

同様にして、磁界 H_p は(導出省略)、

$$\boldsymbol{H}_{p} = -\frac{1}{4\pi j\omega\mu} \iint_{A} \left\{ k^{2}(\boldsymbol{n} \times \boldsymbol{E}_{a})\psi + (\boldsymbol{n} \times \boldsymbol{E}_{a}) \cdot \nabla(\nabla\psi) - j\omega\mu(\boldsymbol{n} \times \boldsymbol{H}_{a}) \times \nabla\psi \right\} dS$$
(1.33)

開口面のある点から観測点Pまでの距離および単位ベクトルをr, a_r とすると,開口面の座標に関わる微分演算子 ∇ の勾配は.

$$\nabla \psi = \nabla \left(\frac{e^{-jkr}}{r} \right)$$

$$= (-\mathbf{a}_r) \left(-jk - \frac{1}{r} \right) \frac{e^{-jkr}}{r}$$

$$= jk \left(1 + \frac{1}{jkr} \right) \psi \mathbf{a}_r$$
(1.34)

さらに,

$$\nabla(\nabla\psi) = \sum_{i=1}^{3} \sum_{j=1}^{3} \frac{\partial^{2}\psi}{\partial x_{i}\partial x_{j}} \mathbf{i}_{i}\mathbf{i}_{j}$$

$$\tag{1.35}$$

放射波(1/r に比例する項)を求めることにすると、 $kr\gg 1$ とみなして次のように近似できる.

$$\nabla \psi \simeq jk\psi \boldsymbol{a}_r \tag{1.36}$$

$$\nabla (\nabla \psi) \simeq (jk)^2 \psi \boldsymbol{a}_r \boldsymbol{a}_r \tag{1.37}$$

これより、放射電界 E_p は次のようになる.

$$\boldsymbol{E}_{p} \simeq \frac{1}{4\pi j\omega\epsilon} \iint_{A} \left\{ k^{2}(\boldsymbol{n} \times \boldsymbol{H}_{a}) + (\boldsymbol{n} \times \boldsymbol{H}_{a}) \cdot (-k^{2})\boldsymbol{a}_{r}\boldsymbol{a}_{r} + j\omega\epsilon(\boldsymbol{n} \times \boldsymbol{E}_{a}) \times jk\boldsymbol{a}_{r} \right\} \psi dS$$

$$(1.38)$$

ベクトル公式

$$\mathbf{a} \times (\mathbf{b} \times \mathbf{c}) = (\mathbf{a} \cdot \mathbf{c})\mathbf{b} - (\mathbf{a} \cdot \mathbf{b})\mathbf{c} \tag{1.39}$$

を用いれば,

$$\mathbf{a}_r \times (\mathbf{a}_r \times \mathbf{J}) = (\mathbf{a}_r \cdot \mathbf{J})\mathbf{a}_r - (\mathbf{a}_r \cdot \mathbf{a}_r)\mathbf{J} = (\mathbf{a}_r \cdot \mathbf{J})\mathbf{a}_r - \mathbf{J}$$
$$\mathbf{J} = (\mathbf{a}_r \cdot \mathbf{J})\mathbf{a}_r - \mathbf{a}_r \times (\mathbf{a}_r \times \mathbf{J})$$
(1.40)

および $J = n \times H_a$ より,

$$\boldsymbol{n} \times \boldsymbol{H}_{a} = \{\boldsymbol{a}_{r} \cdot (\boldsymbol{n} \times \boldsymbol{H}_{a})\} \boldsymbol{a}_{r} - \boldsymbol{a}_{r} \times \{\boldsymbol{a}_{r} \times (\boldsymbol{n} \times \boldsymbol{H}_{a})\}$$

$$\therefore \boldsymbol{n} \times \boldsymbol{H}_{a} - \{(\boldsymbol{n} \times \boldsymbol{H}_{a}) \cdot \boldsymbol{a}_{r}\} \boldsymbol{a}_{r} = -\boldsymbol{a}_{r} \times \{\boldsymbol{a}_{r} \times (\boldsymbol{n} \times \boldsymbol{H}_{a})\}$$
(1.41)

したがって.

$$\boldsymbol{E}_{p} = \frac{jk}{4\pi} \iint_{A} \left[\sqrt{\frac{\mu}{\epsilon}} \boldsymbol{a}_{r} \times \{\boldsymbol{a}_{r} \times (\boldsymbol{n} \times \boldsymbol{H}_{a})\} - \boldsymbol{a}_{r} \times (\boldsymbol{n} \times \boldsymbol{E}_{a}) \right] \psi dS$$
 (1.42)

座標原点から観測点までの距離を R とし、 $kR\gg 1$ のとき、次のように近似できる ($R\simeq r$).

$$\mathbf{E}_{p} = \frac{-jk}{4\pi} \frac{e^{-jkR}}{R} \iint_{A} \left(\mathbf{a}_{r} \times \left[(\mathbf{n} \times \mathbf{E}_{a}) - \sqrt{\frac{\mu}{\epsilon}} \left\{ \mathbf{a}_{r} \times (\mathbf{n} \times \mathbf{H}_{a}) \right\} \right] \right) \cdot \frac{R}{r} e^{-jk(r-R)} dS$$
(1.43)

同様にして、磁界Hは、

$$m{H}_p = rac{-jk}{4\pi} rac{e^{-jkR}}{R} \iint_A \left(m{a}_r imes \left[(m{n} imes m{H}_a) + \sqrt{rac{\epsilon}{\mu}} \{ m{a}_r imes (m{n} imes m{E}_a) \}
ight]
ight) \ \cdot rac{R}{r} e^{-jk(r-R)} dS$$

(1.44)

さらに、 $a_R \simeq a_r$ のとき、

$$\boldsymbol{E}_{p} = \frac{jk}{4\pi} \frac{e^{-jkR}}{R} \boldsymbol{a}_{R} \times \iint_{A} \left[\sqrt{\frac{\mu}{\epsilon}} \{ \boldsymbol{a}_{R} \times (\boldsymbol{n} \times \boldsymbol{H}_{a}) \} + (\boldsymbol{E}_{a} \times \boldsymbol{n}) \right]$$
$$\cdot e^{-jk(r-R)} dS$$

開口面の電界 E_a , 磁界 H_a から, 等価的な2次波源

$$egin{aligned} oldsymbol{J} &\equiv oldsymbol{n} imes oldsymbol{H}_a \ oldsymbol{M} &\equiv oldsymbol{E}_a imes oldsymbol{n} \end{aligned}$$

を定義すれば、開口面法の式は次のようになる.

$$\begin{aligned} \boldsymbol{E}_{p} &= \frac{jk}{4\pi} \frac{e^{-jkR}}{R} \boldsymbol{a}_{R} \times \iint_{A} \left(\sqrt{\frac{\mu}{\epsilon}} \boldsymbol{a}_{R} \times \boldsymbol{J} + \boldsymbol{M} \right) e^{-jk(r-R)} dS \\ &= jkG_{0} \boldsymbol{a}_{R} \times \iint_{A} \left(\boldsymbol{a}_{R} \times Z_{0} \boldsymbol{J} + \boldsymbol{M} \right) e^{-jk(r-R)} dS \end{aligned}$$

任意電磁流分布による放射電磁界の積分表示式と同様の結果となる。ここで、

$$G_0=rac{e^{-jkR}}{4\pi R}, \qquad Z_0=\sqrt{rac{\mu}{\epsilon}}$$

(1.49)

(1.48)

(1.45)

(1.46)

(1.47)

1.3 開口面法 (開口面が平面の場合)

電界 E_a と磁界 H_a の関係が、

$$\boldsymbol{H}_a = \alpha(\boldsymbol{s} \times \boldsymbol{E}_a) \tag{1.50}$$

とおける場合 (後述するホーン), 電界 E_n の式に見られる H_a の項は,

$$\sqrt{\frac{\mu}{\epsilon}}(\boldsymbol{n} \times \boldsymbol{H}_a) = \sqrt{\frac{\mu}{\epsilon}} \boldsymbol{n} \times \alpha(\boldsymbol{s} \times \boldsymbol{E}_a)$$

$$= \alpha \sqrt{\frac{\mu}{\epsilon}} \{ (\boldsymbol{n} \cdot \boldsymbol{E}_a) \boldsymbol{s} - (\boldsymbol{n} \cdot \boldsymbol{s}) \boldsymbol{E}_a \} \tag{1.51}$$

これより、電界 E_p は2次波源の磁界 H_a を消去して次のようになる.

$$m{E}_p = rac{-jk}{4\pi R}e^{-jkR} \; m{a}_{\scriptscriptstyle R} imes \iint_{S_i} \left[m{n} imes m{E}_a - m{a}_{\scriptscriptstyle R} imes lpha \sqrt{rac{\mu}{\epsilon}} \left\{ (m{n} \cdot m{E}_a) m{s} - (m{n} \cdot m{s}) m{E}_a
ight\}
ight] e^{j\psi_1} dMS52)$$

あるいは、一様媒質の空間中で2次波源 E_a 、 H_a が、局所的な平面波とみなせるとき、

$$\boldsymbol{H}_a = \sqrt{\frac{\epsilon}{\mu}} (\boldsymbol{s} \times \boldsymbol{E}_a) \tag{1.53}$$

この場合には、次のように E_a を用いて表すことができる.

$$\sqrt{\frac{\mu}{\epsilon}}(\mathbf{n} \times \mathbf{H}_a) = \mathbf{n} \times (\mathbf{s} \times \mathbf{E}_a)$$

$$= (\mathbf{n} \cdot \mathbf{E}_a)\mathbf{s} - (\mathbf{n} \cdot \mathbf{s})\mathbf{E}_a$$
(1.54)

これより、電界 E_p は2次波源の磁界 H_a を消去して次のようになる.

$$\begin{aligned} \boldsymbol{E}_{p} &= \frac{-jk}{4\pi R} e^{-jkR} \; \boldsymbol{a}_{R} \times \iint_{S_{i}} \left[\boldsymbol{n} \times \boldsymbol{E}_{a} - \boldsymbol{a}_{R} \times \left\{ (\boldsymbol{n} \cdot \boldsymbol{E}_{a}) \boldsymbol{s} - (\boldsymbol{n} \cdot \boldsymbol{s}) \boldsymbol{E}_{a} \right\} \right] e^{j\psi_{1}} dS \\ &= \frac{-jk}{4\pi R} e^{-jkR} \; \boldsymbol{a}_{R} \times \iint_{S_{i}} \left[\left\{ \boldsymbol{n} + (\boldsymbol{n} \cdot \boldsymbol{s}) \boldsymbol{a}_{R} \right\} \times \boldsymbol{E}_{a} - (\boldsymbol{n} \cdot \boldsymbol{E}_{a}) \boldsymbol{a}_{R} \times \boldsymbol{s} \right] e^{j\psi_{1}} dS \end{aligned}$$

ただし、k は自由空間波数、R は原点から観測点までの距離、 \mathbf{a}_R は観測方向の単位ベクトル、 \mathbf{E} は開口面 S_i 上の電界、 \mathbf{n} は開口面上の法線ベクトル、 \mathbf{s} は電磁界に直交する単位ベクトル、 $\psi_1 = -r + R$ (r は開口面から観測点までの距離)である。

積分領域である曲面を波面上にとれば、s=n、 $n\cdot E_a=0$ が成り立ち、このとき、放射電界 E_p は次のようになる.

$$\boldsymbol{E}_{p} = \frac{-jk}{4\pi R} e^{-jkR} \, \boldsymbol{a}_{R} \times \iint_{A} \{ (\boldsymbol{n} + \boldsymbol{a}_{R}) \times \boldsymbol{E}_{a} \} e^{j\psi_{1}} dS$$
 (1.55)

ただし、Aは開口面 (aperture) を示し、 E_a を通常、開口面分布 (aperture-field distribution) という

さらに、波面が平面の場合 (n は積分変数に依らない)、放射電界 E_p は次のようになる.

$$\boldsymbol{E}_{p} = \frac{-jk}{4\pi R} e^{-jkR} \, \boldsymbol{a}_{R} \times \{ (\boldsymbol{n} + \boldsymbol{a}_{R}) \times \boldsymbol{N} \}$$
 (1.56)

ただし,

$$\mathbf{N} = \iint_{A} \mathbf{E}_{a} e^{j\psi_{1}} dS \tag{1.57}$$

直角座標系(x,y,z)において、 $oldsymbol{n}=oldsymbol{a}_z$ のとき、放射電界 $oldsymbol{E}_p$ は次のようになる.

$$\boldsymbol{E}_{p} = \frac{-jk}{4\pi R} e^{-jkR} \, \boldsymbol{a}_{R} \times \{ (\boldsymbol{a}_{z} + \boldsymbol{a}_{R}) \times \boldsymbol{N} \}$$
(1.58)

ただし,

$$\mathbf{N} = (\mathbf{N} \cdot \mathbf{a}_x)\mathbf{a}_x + (\mathbf{N} \cdot \mathbf{a}_y)\mathbf{a}_y = \iint_{\Lambda} \mathbf{E}_a e^{j\psi_1} dS$$
 (1.59)

ただし、 $\mathbf{N} \cdot \mathbf{a}_z = 0$. ここで、 \mathbf{a}_x 、 \mathbf{a}_y 、 \mathbf{a}_z は、x、y、z に沿う単位ベクトルを各々示す。図 に示す球座標系 (R, Θ, Φ) において、 Θ 、 Φ に沿う単位ベクトル \mathbf{a}_{Θ} 、 \mathbf{a}_{Φ} は、

$$\boldsymbol{a}_{\Theta} = \cos\Theta(\cos\Phi\boldsymbol{a}_x + \sin\Phi\boldsymbol{a}_y) - \sin\Theta\boldsymbol{a}_z \tag{1.60}$$

$$\boldsymbol{a}_{\Phi} = -\sin \Phi \boldsymbol{a}_x + \cos \Phi \boldsymbol{a}_y \tag{1.61}$$

新たに

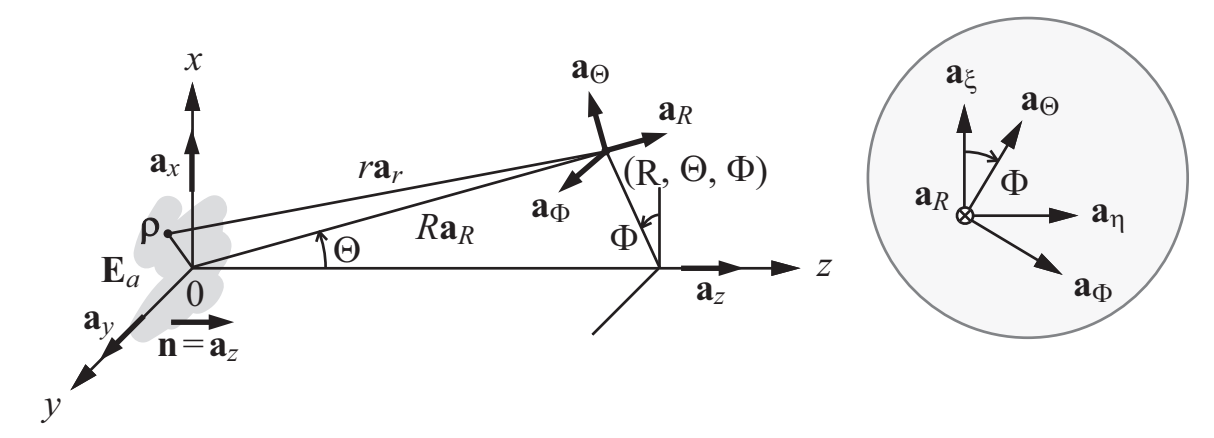


図1.1. 開口面法に関わる座標系の定義

$$egin{aligned} oldsymbol{a}_{\xi} &\equiv \cos \Phi oldsymbol{a}_{\Theta} - \sin \Phi oldsymbol{a}_{\Phi} \ oldsymbol{a}_{\eta} &\equiv \sin \Phi oldsymbol{a}_{\Theta} + \cos \Phi oldsymbol{a}_{\Phi} \end{aligned}$$

 $a_{\scriptscriptstyle D} \times \{(a_z + a_{\scriptscriptstyle D}) \times N\} = -(1 + \cos\Theta)\{(N \cdot a_x)a_{\scriptscriptstyle E} + (N \cdot a_y)a_n\}$

(1.62)

(1.63)

(1.64)

(1.65)

を定義する。これより、次のように変形する(問題参照)。

開口面分布 $m{E}_a (\equiv E_x m{a}_x + E_y m{a}_y)$ による放射電界 $m{E}_p$ は次のようになる.

$$E_p = \frac{jk}{4\pi R} e^{-jkR} (1 + \cos\Theta) \{ (\boldsymbol{N} \cdot \boldsymbol{a}_x) \boldsymbol{a}_{\xi} + (\boldsymbol{N} \cdot \boldsymbol{a}_y) \boldsymbol{a}_{\eta} \}$$

$$= j \frac{1 + \cos\Theta}{2\lambda} \cdot \frac{e^{-jkR}}{R} (N_x \boldsymbol{a}_{\xi} + N_y \boldsymbol{a}_{\eta})$$

$$\equiv E_{\xi} \boldsymbol{a}_{\xi} + E_{\eta} \boldsymbol{a}_{\eta}$$

ここで,

$$N_{x} = \mathbf{N} \cdot \mathbf{a}_{x} = \iint_{A} (\mathbf{E}_{a} \cdot \mathbf{a}_{x}) e^{j\psi_{1}} dS = \iint_{A} E_{x} e^{j\psi_{1}} dS$$

$$N_{y} = \mathbf{N} \cdot \mathbf{a}_{y} = \iint_{A} (\mathbf{E}_{a} \cdot \mathbf{a}_{y}) e^{j\psi_{1}} dS = \iint_{A} E_{y} e^{j\psi_{1}} dS$$

$$(1.66)$$

ただし、 $\psi_1 \equiv -k(r-R)$. これより、電界ベクトル E_p の直交成分 E_{ξ} 、 E_{η} は、

$$E_{\binom{\xi}{\eta}}(R,\Theta,\Phi) = j\frac{1+\cos\Theta}{2\lambda} \cdot \frac{e^{-jkR}}{R} \iint_{\Lambda} E_{\binom{x}{y}}(x,y)e^{-jk(r-R)}dS \tag{1.68}$$

したがって、開口面電界分布 E_a が x 成分のみ ($E_a \cdot a_y = 0$) の場合、放射電界 E_p は a_ξ 方向成分のみ ($E_p \cdot a_\eta = 0$) で表され、逆に開口面電界分布 E_a が y 成分のみ ($E_a \cdot a_x = 0$) の場合、放射電界 E_p は a_η 方向成分のみ ($E_p \cdot a_\xi = 0$) で表される。このようにして各々の成分は独立な式で扱うことができ、直線偏波の場合、ベクトルの成分(スカラ)だけで解析すればよい、開口面 (平面) における励振偏波成分と放射電界における主偏波および交差偏波成分との対応関係をまとめると次のようになる。

表 1.1 開口面法に基づく偏波の対応関係

 励振偏波	$m{a}_x$ (垂直)	$oldsymbol{a_y}$ (水平)
主偏波	a_{ξ} 成分	a_η 成分
交差偏波	a_η 成分	a_{ξ} 成分

問題

式 (1.64) を導出せよ.

■ 略解 球座標系 (R, Θ, Φ) の単位ベクトル a_R , a_{Θ} , a_{Φ} は,

$$\mathbf{a}_{R} = \sin\Theta(\cos\Phi\mathbf{a}_{x} + \sin\Phi\mathbf{a}_{y}) + \cos\Theta\mathbf{a}_{z}$$

$$\mathbf{a}_{\Theta} = \cos\Theta(\cos\Phi\mathbf{a}_{x} + \sin\Phi\mathbf{a}_{y}) - \sin\Theta\mathbf{a}_{z}$$

$$(1.69)$$

$$(1.70)$$

$$\boldsymbol{a}_{\Phi} = -\sin\Phi \boldsymbol{a}_x + \cos\Phi \boldsymbol{a}_y \tag{1.71}$$

ここで,

$$\boldsymbol{a}_R = \boldsymbol{a}_{\Theta} \times \boldsymbol{a}_{\Phi} \tag{1.72}$$

$$\boldsymbol{a}_{\Theta} = \boldsymbol{a}_{\Phi} \times \boldsymbol{a}_{R} \tag{1.73}$$

$$\boldsymbol{a}_{\Phi} = \boldsymbol{a}_R \times \boldsymbol{a}_{\Theta} \tag{1.74}$$

逆の関係は,

$$\boldsymbol{a}_{x} = \cos \Phi \left(\sin \Theta \boldsymbol{a}_{R} + \cos \Theta \boldsymbol{a}_{\Theta} \right) - \sin \Phi \boldsymbol{a}_{\Phi}$$
 (1.75)

$$a_y = \sin \Phi \left(\sin \Theta a_R + \cos \Theta a_\Theta \right) + \cos \Phi a_\Phi$$
 (1.76)

$$\mathbf{a}_z = \cos\Theta \mathbf{a}_R - \sin\Theta \mathbf{a}_\Theta \tag{1.77}$$

これより,

$$\mathbf{a}_{R} \times \mathbf{a}_{x} = \mathbf{a}_{R} \times \left\{ \cos \Phi \left(\sin \Theta \mathbf{a}_{R} + \cos \Theta \mathbf{a}_{\Theta} \right) - \sin \Phi \mathbf{a}_{\Phi} \right\}$$

$$= \cos \Phi \cos \Theta \mathbf{a}_{\Phi} + \sin \Phi \mathbf{a}_{\Theta}$$

$$\mathbf{a}_{R} \times \mathbf{a}_{y} = \mathbf{a}_{R} \times \left\{ \sin \Phi \left(\sin \Theta \mathbf{a}_{R} + \cos \Theta \mathbf{a}_{\Theta} \right) + \cos \Phi \mathbf{a}_{\Phi} \right\}$$

$$= \sin \Phi \cos \Theta \mathbf{a}_{\Phi} - \cos \Phi \mathbf{a}_{\Theta}$$

$$(1.78)$$

式 (1.64) の左辺は,

$$\begin{aligned} & \boldsymbol{a}_{R} \times \left\{ (\boldsymbol{a}_{z} + \boldsymbol{a}_{R}) \times \boldsymbol{N} \right\} \\ & = \boldsymbol{a}_{R} \times \left\{ (\boldsymbol{a}_{z} + \boldsymbol{a}_{R}) \times (N_{x}\boldsymbol{a}_{x} + N_{y}\boldsymbol{a}_{y}) \right\} \\ & = \boldsymbol{a}_{R} \times \left\{ N_{x}(\boldsymbol{a}_{y} + \boldsymbol{a}_{R} \times \boldsymbol{a}_{x}) + N_{y}(-\boldsymbol{a}_{x} + \boldsymbol{a}_{R} \times \boldsymbol{a}_{y}) \right\} \\ & = N_{x} \left\{ \boldsymbol{a}_{R} \times \boldsymbol{a}_{y} + \boldsymbol{a}_{R} \times (\cos \Phi \cos \Theta \boldsymbol{a}_{\Phi} + \sin \Phi \boldsymbol{a}_{\Theta}) \right\} \\ & + N_{y} \left\{ -\boldsymbol{a}_{R} \times \boldsymbol{a}_{x} + \boldsymbol{a}_{R} \times (\sin \Phi \cos \Theta \boldsymbol{a}_{\Phi} - \cos \Phi \boldsymbol{a}_{\Theta}) \right\} \\ & = N_{x} \left\{ (\sin \Phi \cos \Theta \boldsymbol{a}_{\Phi} - \cos \Phi \boldsymbol{a}_{\Theta}) + (-\cos \Phi \cos \Theta \boldsymbol{a}_{\Theta} + \sin \Phi \boldsymbol{a}_{\Phi}) \right\} \\ & + N_{y} \left\{ -(\cos \Phi \cos \Theta \boldsymbol{a}_{\Phi} + \sin \Phi \boldsymbol{a}_{\Theta}) + (-\sin \Phi \cos \Theta \boldsymbol{a}_{\Theta} - \cos \Phi \boldsymbol{a}_{\Phi}) \right\} \\ & = N_{x} \left\{ -\cos \Phi (1 + \cos \Theta) \boldsymbol{a}_{\Theta} + \sin \Phi (\cos \Theta + 1) \boldsymbol{a}_{\Phi} \right\} \\ & + N_{y} \left\{ -\sin \Phi (1 + \cos \Theta) \boldsymbol{a}_{\Theta} - \cos \Phi (\cos \Theta + 1) \boldsymbol{a}_{\Phi} \right\} \\ & = -(1 + \cos \Theta) \left\{ N_{x} (\cos \Phi \boldsymbol{a}_{\Theta} - \sin \Phi \boldsymbol{a}_{\phi}) + N_{y} (\sin \Phi \boldsymbol{a}_{\Theta} + \cos \Phi \boldsymbol{a}_{\phi}) \right\} \end{aligned}$$

単位ベクトル

$$\mathbf{a}_{\xi} = \cos \Phi \mathbf{a}_{\Theta} - \sin \Phi \mathbf{a}_{\Phi} \tag{1.80}$$
$$\mathbf{a}_{\eta} = \sin \Phi \mathbf{a}_{\Theta} + \cos \Phi \mathbf{a}_{\Phi} \tag{1.81}$$

を用いると,

$$egin{aligned} oldsymbol{a}_R &= oldsymbol{a}_\xi imes oldsymbol{a}_\eta &= oldsymbol{a}_\eta imes oldsymbol{a}_R \ oldsymbol{a}_\eta &= oldsymbol{a}_R imes oldsymbol{a}_\xi \ oldsymbol{a}_\eta &= oldsymbol{a}_\eta imes oldsymbol{a}_\eta &= oldsymbol{a}_\eta imes oldsymbol{a}_\eta \ oldsymbol{a}_\eta &= oldsymbol{a}_\eta imes oldsymbol{a}_\eta \ oldsymbol{a}_\eta &= oldsymbol{a}_\eta imes oldsymbol{a}_\eta \ oldsymbol{a}_\eta \ oldsymbol{a}_\eta &= oldsymbol{a}_\eta imes oldsymbol{a}_\eta \ oldsymbol{a}_\eta$$

したがって、次式が得られる.

$$\mathbf{a}_{R} \times \left\{ (\mathbf{a}_{z} + \mathbf{a}_{R}) \times \mathbf{N} \right\} = -(1 + \cos \Theta) \left(N_{x} \mathbf{a}_{\xi} + N_{y} \mathbf{a}_{\eta} \right)$$
$$= -(1 + \cos \Theta) \left\{ (\mathbf{N} \cdot \mathbf{a}_{x}) \mathbf{a}_{\xi} + (\mathbf{N} \cdot \mathbf{a}_{y}) \mathbf{a}_{\eta} \right\}$$
(1.85)

1.4 フラウンホーファ領域放射電界

電界ベクトル E_p の直交するスカラ成分 E_{ξ} , E_{η} は,

$$E_{\binom{\xi}{\eta}}(R,\Theta,\Phi) = j\frac{1+\cos\Theta}{2\lambda} \cdot \frac{e^{-jkR}}{R} \iint_A E_{\binom{x}{y}}(x,y)e^{-jk(r-R)}dS \tag{1.86}$$

観測点が十分遠方の場合、次のように近似する.

$$r - R \simeq -\rho \left(\boldsymbol{a}_{R} \cdot \boldsymbol{a}_{\rho} \right) \tag{1.87}$$

ここで,

$$\boldsymbol{a}_{R} = \sin\Theta\left(\cos\Phi\boldsymbol{a}_{x} + \sin\Phi\boldsymbol{a}_{y}\right) + \cos\Theta\boldsymbol{a}_{z} \tag{1.88}$$

$$\boldsymbol{a}_{\rho} = \cos \varphi \boldsymbol{a}_{x} + \sin \varphi \boldsymbol{a}_{y} \tag{1.89}$$

ただし、 \mathbf{a}_R は観測点を表す極座標系 (R,Θ,Φ) の R 方向に沿う単位ベクトル、 \mathbf{a}_ρ は開口面を表す円筒座標系 (ρ,φ,z) の ρ 方向に沿う単位ベクトル、 \mathbf{a}_x 、 \mathbf{a}_y 、 \mathbf{a}_z は直角座標系 (x,y,z)

の直交単位ベクトルを示す。波数ベクトルkより、横断面内波数ベクトル k_t を

$$k = ka_R$$

$$= k_x a_x + k_y a_y + k_z a_z$$

$$= k_t + k_z a_z$$
(1.90)

で定義すると,

$$k\rho(\boldsymbol{a}_{R}\cdot\boldsymbol{a}_{\rho}) = (k\boldsymbol{a}_{R})\cdot(\rho\boldsymbol{a}_{\rho})$$

$$= \boldsymbol{k}\cdot\boldsymbol{\rho} = \boldsymbol{k}_{t}\cdot\boldsymbol{\rho}$$

$$= k_{x}x + k_{y}y$$
(1.91)

放射電界 E_p と開口面分布 E_a との関係は、逆フーリエ変換によって次のように表される。

$$E_p = j \frac{1 + \cos\Theta}{2\lambda} \cdot \frac{e^{-jkR}}{R} g(k_x, k_y)$$
 (1.92)

$$g(k_x, k_y) = \iint_{-\infty}^{\infty} u(x, y) e^{j\mathbf{k}_t \cdot \mathbf{\rho}} dx dy$$
 (1.93)

$$u(x,y) = \begin{cases} E_a(x,y) & \text{(inside A)} \\ 0 & \text{(outside A)} \end{cases}$$
 (1.94)

ただし、 k_t は横断面内波数ベクトルを示し、次のように定義される。

$$\mathbf{k}_t = k_x \mathbf{a}_x + k_y \mathbf{a}_y \tag{1.95}$$

ここで,

$$k_x = k\sin\Theta\cos\Phi\tag{1.96}$$

$$k_y = k \sin \Theta \sin \Phi \tag{1.97}$$

さらに, フーリエ変換より,

$$u(x,y) = \frac{1}{(2\pi)^2} \iint_{-\infty}^{\infty} g(k_x, k_y) e^{-j\mathbf{k}_t \cdot \mathbf{\rho}} dk_x dk_y$$
 (1.98)

が成り立ち、放射特性を表す $g(k_x,k_y)$ がわかれば、逆に開口面分布を表す u(x,y) が得られることになる。このような連続フーリエ変換対は、離散フーリエ変換対として扱われることが多い。

さて、式 (1.100) の近似について、具体的に考えてみる。式 (1.100) の第 2 項の $\frac{\rho^2}{2R}$ が十分 小さい場合であり、開口径を D とすると、 ρ の最大値は D/2 であり、このとき、式 (1.100) の第 2 項の最大値は $\frac{(D/2)^2}{2R}$ となる。この最大値が $\lambda/16$ 以下となれば(λ は波長)、第 1 項

が支配的であるとみなしてよい。つまり, $\frac{(D/2)^2}{2R} < \frac{\lambda}{16}$ のとき,近似が妥当であり,R の条件式は,

$$R\frac{2D^2}{\lambda} \tag{1.99}$$

となる. この範囲の放射領域を、フラウンホーファ領域 (Fraunhofer region) という.

1.5 フレネル領域放射電界

電界ベクトル E_p の直交するスカラ成分 E_{ξ} , E_{η} は,

$$E_{\binom{\xi}{\eta}}(R,\Theta,\Phi) = j\frac{1+\cos\Theta}{2\lambda} \cdot \frac{e^{-jkR}}{R} \iint_A E_{\binom{x}{y}}(x,y)e^{-jk(r-R)}dS \tag{1.100}$$

第2項までで近似して,

$$r - R \simeq -\rho \left(\boldsymbol{a}_{R} \cdot \boldsymbol{a}_{\rho} \right) + \frac{\rho^{2}}{2R}$$
 (1.101)

このとき、 $e^{-jk(r-R)}$ は次のように近似できる.

$$e^{-jk(r-R)} \simeq e^{j\mathbf{k}_t \cdot \mathbf{\rho}} e^{-jk\frac{\rho^2}{2R}} \tag{1.102}$$

とすると、放射電界 E_p は次のようになり、このような領域をフレネル領域 (Fresnel region) という.

$$E_p = j \frac{1 + \cos \Theta}{2\lambda} \cdot \frac{e^{-jkR}}{R} g_r(k_x, k_y, R)$$
(1.103)

$$g_r(k_x, k_y, R) = \iint_{-\infty}^{\infty} u_r(x, y, R) e^{j\mathbf{k}_t \cdot \mathbf{\rho}} dx dy$$
 (1.104)

$$u_r(x, y, R) = \begin{cases} E_a(x, y)e^{-jk\frac{\rho^2}{2R}} & \text{(inside A)} \\ 0 & \text{(outside A)} \end{cases}$$
 (1.105)

このときも開口面分布はフーリエ変換によって求めることができ.

$$u_r(x,y,R) = \frac{1}{(2\pi)^2} \iint_{-\infty}^{\infty} g_r(k_x,k_y,R) e^{-j\mathbf{k}_t \cdot \mathbf{\rho}} dk_x dk_y$$
 (1.106)

この場合もフーリエ変換対によって表され、高速フーリエ変換を用いて計算できる。フレネル領域の距離 Rの下限については、はっきりとした定義がないが、一つの目安として、無視

した位相の第3項が $\lambda/16$ 以下とすると, $rac{(D/2)^4}{8R^3}<rac{\lambda}{16}$ より,

$$\frac{2D^2}{\lambda} > R > \frac{D}{2} \left(\frac{D}{\lambda}\right)^{1/3} \tag{1.107}$$

を満たす範囲となる。一方、1/Rの項で近似できる領域は放射近傍領域と呼ばれ、1/Rの項だけでは表せない波源の近傍は、誘導性近傍領域と呼ばれる。

1.6 導波菅モードによる放射特性

1.6.1 単一モード

単一のモードが導波管開口へ入射した場合を考え,その横断面内電界分布を $m{E}_t^{ ext{INC}}$,反射係数を Γ とおくと,開口面上の横断面内電界分布 $m{E}_t$ は,

$$\boldsymbol{E}_t = (1+\Gamma)\boldsymbol{E}_t^{\text{INC}} \tag{1.108}$$

また,入射波の横断面内磁界分布 H_t^{INC} ,および反射波 H_t^{REF} は(管軸方向がz軸),

$$\boldsymbol{H}_{t}^{\text{INC}} = Y_{0}(\boldsymbol{a}_{z} \times \boldsymbol{E}_{t}^{\text{INC}})$$

$$\boldsymbol{H}_{t}^{\text{REF}} = -Y_{0}(\boldsymbol{a}_{z} \times \boldsymbol{E}_{t}^{\text{REF}})$$

$$(1.109)$$

ここでは、無損失の導波菅における伝搬モードを考え、特性アドミタンス Y_0 は次のように実数となる。

$$Y_0 = \frac{1}{Z_0} = \begin{cases} Y_0^{\text{\tiny TE}} = \frac{1}{Z_0^{\text{\tiny TE}}} = \frac{\beta^{\text{\tiny TE}}}{\omega \mu} & \text{(TE mode)} \\ Y_0^{\text{\tiny TM}} = \frac{1}{Z_0^{\text{\tiny TM}}} = \frac{\omega \epsilon}{\beta^{\text{\tiny TM}}} & \text{(TM mode)} \end{cases}$$
(1.111)

よって,開口面上の横断面内磁界分布 $oldsymbol{H}_t$ は,

$$H_{t} = H_{t}^{\text{INC}} + H_{t}^{\text{REF}}$$

$$= Y_{0} \left\{ \boldsymbol{a}_{z} \times (\boldsymbol{E}_{t}^{\text{INC}} - \boldsymbol{E}_{t}^{\text{REF}}) \right\}$$

$$= Y_{0} (1 - \Gamma) \left(\boldsymbol{a}_{z} \times \boldsymbol{E}_{t}^{\text{INC}} \right)$$

$$= Y_{0} (1 - \Gamma) \left(\boldsymbol{a}_{z} \times \frac{\boldsymbol{E}_{t}}{1 + \Gamma} \right)$$

$$= Y_{0} \frac{1 - \Gamma}{1 + \Gamma} (\boldsymbol{a}_{z} \times \boldsymbol{E}_{t})$$

$$\equiv \alpha (\boldsymbol{a}_{z} \times \boldsymbol{E}_{t})$$

$$(1.112)$$

ここで,

$$\alpha \equiv Y_0 \frac{1 - \Gamma}{1 + \Gamma} \tag{1.113}$$

逆の関係より,開口面上の横断面内電界分布 $m{E}_t$ は,

$$\boldsymbol{E}_t = \frac{1}{2} (\boldsymbol{H}_t \times \boldsymbol{a}_z) \tag{1.114}$$

このとき、開口面は xy 面ゆえ、その法線ベクトルは $n=a_z$ とおける。これより、電界 E_p の被積分関数の H_a の項は、

$$\sqrt{\frac{\mu}{\epsilon}}(\mathbf{n} \times \mathbf{H}_a) = \sqrt{\frac{\mu}{\epsilon}} \left\{ \mathbf{a}_z \times (\mathbf{H}_t + H_z \mathbf{a}_z) \right\} = \sqrt{\frac{\mu}{\epsilon}} (\mathbf{a}_z \times \mathbf{H}_t)$$

$$= \sqrt{\frac{\mu}{\epsilon}} \mathbf{a}_z \times \alpha (\mathbf{a}_z \times \mathbf{E}_t)$$

$$= \alpha \sqrt{\frac{\mu}{\epsilon}} \left\{ (\mathbf{a}_z \cdot \mathbf{E}_t) \mathbf{a}_z - (\mathbf{a}_z \cdot \mathbf{a}_z) \mathbf{E}_t \right\}$$

$$= -\alpha \sqrt{\frac{\mu}{\epsilon}} \mathbf{E}_t$$
(1.115)

また,

$$\boldsymbol{n} \times \boldsymbol{E}_a = \boldsymbol{a}_z \times (\boldsymbol{E}_t + E_z \boldsymbol{a}_z) = \boldsymbol{a}_z \times \boldsymbol{E}_t$$
 (1.116)

これより、電界 E_p は2次波源の磁界 H_a を消去して次のようになる.

$$\mathbf{E}_{p} = \frac{-jk}{4\pi R} e^{-jkR} \, \mathbf{a}_{R} \times \iint_{A} \left[\mathbf{n} \times \mathbf{E}_{a} + \sqrt{\frac{\mu}{\epsilon}} \mathbf{a}_{R} \times (\mathbf{n} \times \mathbf{H}_{a}) \right] e^{-jk(r-R)} dS
= \frac{-jk}{4\pi R} e^{-jkR} \, \mathbf{a}_{R} \times \iint_{S_{i}} \left[\mathbf{a}_{z} \times \mathbf{E}_{t} + \mathbf{a}_{R} \times \alpha \sqrt{\frac{\mu}{\epsilon}} \mathbf{E}_{t} \right] e^{-jk(r-R)} dS
= \frac{-jk}{4\pi R} e^{-jkR} \, \mathbf{a}_{R} \times \left[\left(\mathbf{a}_{z} + \alpha \sqrt{\frac{\mu}{\epsilon}} \mathbf{a}_{R} \right) \times \iint_{S_{i}} \mathbf{E}_{t} e^{-jk(r-R)} dS \right]$$
(1.117)

同様にして,

$$\mathbf{H}_{p} = \frac{-jk}{4\pi R} e^{-jkR} \, \mathbf{a}_{R} \times \iint_{A} \left[\mathbf{n} \times \mathbf{H}_{a} + \sqrt{\frac{\epsilon}{\mu}} \mathbf{a}_{R} \times (\mathbf{n} \times \mathbf{E}_{a}) \right] e^{-jk(r-R)} dS
= \frac{-jk}{4\pi R} e^{-jkR} \, \mathbf{a}_{R} \times \iint_{A} \left[-\alpha \mathbf{E}_{t} + \sqrt{\frac{\epsilon}{\mu}} \mathbf{a}_{R} \times (\mathbf{a}_{z} \times \mathbf{E}_{t}) \right] e^{-jk(r-R)} dS
= \frac{jk}{4\pi R} e^{-jkR} \sqrt{\frac{\epsilon}{\mu}} \mathbf{a}_{R} \times \iint_{A} \left[\alpha \sqrt{\frac{\mu}{\epsilon}} \mathbf{E}_{t} - \mathbf{a}_{R} \times (\mathbf{a}_{z} \times \mathbf{E}_{t}) \right] e^{-jk(r-R)} dS$$
(1.118)

ここで,

$$N \equiv \iint_{S_i} \mathbf{E}_t e^{j\psi_1} dS \equiv N_x \mathbf{a}_x + N_y \mathbf{a}_y$$

$$l_0 \equiv \alpha \sqrt{\frac{\mu}{\epsilon}}$$

$$\psi_1 = -k(r - R)$$

$$(1.119)$$

$$(1.120)$$

(1.124)

とおくと,

$$\boldsymbol{E}_{p} = \frac{-jk}{4\pi R} e^{-jkR} \, \boldsymbol{a}_{R} \times \left[(l_{0}\boldsymbol{a}_{R} + \boldsymbol{a}_{z}) \times \boldsymbol{N} \right]$$

$$\boldsymbol{H}_{p} = \frac{jk}{4\pi R} e^{-jkR} \sqrt{\frac{\epsilon}{\mu}} \boldsymbol{a}_{R} \times (l_{0}\boldsymbol{N} - \boldsymbol{a}_{R} \times \boldsymbol{a}_{z} \times \boldsymbol{N})$$

$$(1.122)$$

両者の関係は,

$$\sqrt{\frac{\epsilon}{\mu}}(\boldsymbol{a}_{R} \times \boldsymbol{E}_{p}) = \sqrt{\frac{\epsilon}{\mu}} \boldsymbol{a}_{R} \times \left\{ \frac{-jk}{4\pi R} e^{-jkR} \ \boldsymbol{a}_{R} \times [(l_{0}\boldsymbol{a}_{R} + \boldsymbol{a}_{z}) \times \boldsymbol{N}] \right\}$$

$$= \frac{jk}{4\pi R} e^{-jkR} \sqrt{\frac{\epsilon}{\mu}} \boldsymbol{a}_{R} \times (l_{0}\boldsymbol{N} - \boldsymbol{a}_{R} \times \boldsymbol{a}_{z} \times \boldsymbol{N})$$

$$= \boldsymbol{H}_{p}$$

ここで、ベクトル公式 $\mathbf{a} \times (\mathbf{b} \times \mathbf{c}) = (\mathbf{a} \cdot \mathbf{c})\mathbf{b} - (\mathbf{a} \cdot \mathbf{b})\mathbf{c}$ より、

$$\boldsymbol{a}_{R} \times \boldsymbol{a}_{R} \times (l_{0}\boldsymbol{a}_{R} \times \boldsymbol{N}) = \boldsymbol{a}_{R} \cdot (l_{0}\boldsymbol{a}_{R} \times \boldsymbol{N})\boldsymbol{a}_{R} - (\boldsymbol{a}_{R} \cdot \boldsymbol{a}_{R})(l_{0}\boldsymbol{a}_{R} \times \boldsymbol{N})$$

$$= -l_{0}\boldsymbol{a}_{R} \times \boldsymbol{N}$$

$$(1.125)$$

そして、 E_p の被積分関数は、

$$\boldsymbol{a}_{\scriptscriptstyle R} \times \left[(\boldsymbol{a}_z + l_0 \boldsymbol{a}_{\scriptscriptstyle R}) \times \boldsymbol{N} \right] = (\boldsymbol{a}_{\scriptscriptstyle R} \cdot \boldsymbol{N}) (\boldsymbol{a}_z + l_0 \boldsymbol{a}_{\scriptscriptstyle R}) - \left\{ \boldsymbol{a}_{\scriptscriptstyle R} \cdot (\boldsymbol{a}_z + l_0 \boldsymbol{a}_{\scriptscriptstyle R}) \right\} \boldsymbol{N}$$
 (1.126)

直角座標系 (x,y,z) の単位ベクトル \mathbf{a}_z を球座標系 (R,θ,ϕ) の単位ベクトルで次のように表し,

$$\boldsymbol{a}_z = \cos \theta \boldsymbol{a}_R - \sin \theta \boldsymbol{a}_\theta \tag{1.127}$$

これより,

$$\mathbf{a}_{R} \times [(\mathbf{a}_{z} + l_{0}\mathbf{a}_{R}) \times \mathbf{N}]$$

$$= (\mathbf{a}_{R} \cdot \mathbf{N}) (\cos \theta \mathbf{a}_{R} - \sin \theta \mathbf{a}_{\theta} + l_{0}\mathbf{a}_{R}) - \left\{ \mathbf{a}_{R} \cdot (\cos \theta \mathbf{a}_{R} - \sin \theta \mathbf{a}_{\theta} + l_{0}\mathbf{a}_{R}) \right\} \mathbf{N}$$

$$= (\mathbf{a}_{R} \cdot \mathbf{N}) \left\{ (l_{0} + \cos \theta) \mathbf{a}_{R} - \sin \theta \mathbf{a}_{\theta} \right\} - (l_{0} + \cos \theta) \mathbf{N}$$

$$= (l_{0} + \cos \theta) \left\{ (\mathbf{a}_{R} \cdot \mathbf{N}) \mathbf{a}_{R} - \mathbf{N} \right\} - \sin \theta (\mathbf{a}_{R} \cdot \mathbf{N}) \mathbf{a}_{\theta}$$

$$= -(l_{0} + \cos \theta) \left\{ (\mathbf{N} \cdot \mathbf{a}_{\theta}) \mathbf{a}_{\theta} + (\mathbf{N} \cdot \mathbf{a}_{\phi}) \mathbf{a}_{\phi} \right\} - \sin \theta (\mathbf{N} \cdot \mathbf{a}_{R}) \mathbf{a}_{\theta}$$

$$= -\left\{ (l_{0} + \cos \theta) (\mathbf{N} \cdot \mathbf{a}_{\theta}) + \sin \theta (\mathbf{N} \cdot \mathbf{a}_{R}) \right\} \mathbf{a}_{\theta} - (l_{0} + \cos \theta) (\mathbf{N} \cdot \mathbf{a}_{\phi}) \mathbf{a}_{\phi}$$

$$(1.128)$$

ここで,

$$\mathbf{a}_{R} = \sin \theta (\cos \phi \mathbf{a}_{x} + \sin \phi \mathbf{a}_{y}) + \cos \theta \mathbf{a}_{z}$$

$$\mathbf{a}_{\theta} = \cos \theta (\cos \phi \mathbf{a}_{x} + \sin \phi \mathbf{a}_{y}) - \sin \theta \mathbf{a}_{z}$$

$$\mathbf{a}_{\phi} = -\sin \phi \mathbf{a}_{x} + \cos \phi \mathbf{a}_{y}$$

$$(1.129)$$

$$(1.130)$$

より,

$$\mathbf{N} \cdot \mathbf{a}_{R} = \sin \theta (\cos \phi N_{x} + \sin \phi N_{y}) \tag{1.132}$$

$$\mathbf{N} \cdot \mathbf{a}_{\theta} = \cos \theta (\cos \phi N_{x} + \sin \phi N_{y}) \tag{1.133}$$

$$\mathbf{N} \cdot \mathbf{a}_{\phi} = -\sin \phi N_{x} + \cos \phi N_{y} \tag{1.134}$$

これより,

$$\mathbf{a}_{R} \times [(\mathbf{a}_{z} + l_{0}\mathbf{a}_{R}) \times \mathbf{N}]$$

$$= -\left\{ (l_{0} + \cos\theta)\cos\theta(\cos\phi N_{x} + \sin\phi N_{y}) + \sin\theta\sin\theta(\cos\phi N_{x} + \sin\phi N_{y}) \right\} \mathbf{a}_{\theta}$$

$$- (l_{0} + \cos\theta)(-\sin\phi N_{x} + \cos\phi N_{y}) \mathbf{a}_{\phi}$$

$$= -(1 + l_{0}\cos\theta)(N_{x}\cos\phi + N_{y}\sin\phi) \mathbf{a}_{\theta}$$

$$- (l_{0} + \cos\theta)(-N_{x}\sin\phi + N_{y}\cos\phi) \mathbf{a}_{\phi}$$

$$(1.135)$$

よって,

$$\boldsymbol{E}_{p} = \frac{jk}{4\pi R} e^{-jkR} \Big[(1 + l_{0}\cos\theta)(N_{x}\cos\phi + N_{y}\sin\phi)\boldsymbol{a}_{\theta} + (l_{0} + \cos\theta)(-N_{x}\sin\phi + N_{y}\cos\phi)\boldsymbol{a}_{\phi} \Big]$$
(1.136)

いま、開口面への入射波を、モード関数e、hを用いて、

$$oldsymbol{E}_t^{ ext{\tiny INC}} = \sqrt{Z_0} oldsymbol{e} \ oldsymbol{H}_t^{ ext{\tiny INC}} = \sqrt{Y_0} oldsymbol{h}$$

 $m{e}$ (1.137) $m{h}$ (1.138)

ここで,

$$\iint_{\Lambda} |\boldsymbol{e}|^2 dS = \iint_{\Lambda} |\boldsymbol{h}|^2 dS = 1$$

(1.139)

これより,

$$\iint_{A} (\boldsymbol{E}_{t} \times \boldsymbol{H}_{t}^{*}) \cdot \boldsymbol{a}_{z} dS = \iint_{A} (\boldsymbol{H}_{t}^{*} \times \boldsymbol{a}_{z}) \cdot \boldsymbol{E}_{t} dS$$

$$= \alpha \int_{A} |\boldsymbol{E}_{t}|^{2} dS$$

$$= \alpha (1 + \Gamma)^{2} \int_{A} |\boldsymbol{E}_{t}^{\text{INC}}|^{2} dS$$

$$= \alpha (1 + \Gamma)^{2} Z_{0} \iint_{A} |\boldsymbol{e}|^{2} dS$$

$$= (1 + \Gamma)^{2} Z_{0} \cdot Y_{0} \frac{1 - \Gamma}{1 + \Gamma}$$

$$= 1 - \Gamma^{2}$$

(1.140)

また,

$$\mathbf{N} = \iint_{A} \mathbf{E}_{t} e^{-jk(r_{a}-r)} dS$$

$$= (1+\Gamma) \iint_{A} \mathbf{E}_{t}^{\text{INC}} e^{-jk(r_{a}-r)} dS$$

$$= (1+\Gamma)\sqrt{Z_{0}} \iint_{A} e \ e^{-jk(r_{a}-r)} dS$$

$$\equiv (1+\Gamma)\sqrt{Z_{0}} \bar{\mathbf{N}} \tag{1.141}$$

ここで,

$$\bar{N} \equiv \bar{N}_x \mathbf{a}_x + \bar{N}_y \mathbf{a}_y$$

$$= \iint_A \mathbf{e} \ e^{-jk(r_a - r)} dS$$
(1.142)

このとき、アンテナ利得 $G(\theta,\phi)$ は、

$$G(\theta, \phi) = \frac{4\pi}{\lambda^2} \cdot \frac{|\mathbf{F}(\theta, \phi)|^2}{Z_w(1 - \Gamma^2)}$$
(1.143)

$$F(\theta, \phi) = \frac{1+\Gamma}{2} \sqrt{Z_0} \Big\{ \Big(1 + l_0 \cos \theta \Big) \Big(\tilde{N}_x \cos \phi + \tilde{N}_y \sin \phi \Big) \boldsymbol{a}_{\theta} + \Big(l_0 + \cos \theta \Big) \Big(-\tilde{N}_x \sin \phi + \tilde{N}_y \cos \phi \Big) \boldsymbol{a}_{\phi} \Big\}$$

$$+(l_0+\cos\theta)(-\tilde{N}_x\sin\phi+\tilde{N}_y\cos\phi)\boldsymbol{a}_\phi$$

$$l_0 = \alpha Z_w = \frac{Z_w}{Z_0} \cdot \frac{1 - \Gamma}{1 + \Gamma} \tag{1.145}$$

(1.144)

(1.146)

$$(1+\Gamma)(1+l_0\cos\theta) = (1+\Gamma)\left(1+\frac{Z_w}{Z_0}\cdot\frac{1-\Gamma}{1+\Gamma}\cos\theta\right)$$
$$= 1+\Gamma+\frac{Z_w}{Z_0}(1-\Gamma)\cos\theta$$

$$(1+\Gamma)(1+l_0\cos\theta) = (1+\Gamma)\left(1+\frac{1}{Z_0}\cdot\frac{1}{1+\Gamma}\cos\theta\right)$$
$$= 1+\Gamma+\frac{Z_w}{Z_0}(1-\Gamma)\cos\theta$$
$$= 1+\frac{Z_w}{Z_0}\cos\theta+\Gamma\left(1-\frac{Z_w}{Z_0}\cos\theta\right)$$

また,

$$(1+\Gamma)(l_0 + \cos \theta) = (1+\Gamma)\left(\frac{Z_w}{Z_0} \cdot \frac{1-\Gamma}{1+\Gamma} + \cos \theta\right)$$

$$= \frac{Z_w}{Z_0}(1-\Gamma) + (1+\Gamma)\cos \theta$$

$$= \cos \theta + \frac{Z_w}{Z_0} + \Gamma\left(\cos \theta - \frac{Z_w}{Z_0}\right)$$
(1.147)

これより,

$$F(\theta, \phi) = \frac{\sqrt{Z_0}}{2} \left[\left\{ 1 + \frac{Z_w}{Z_0} \cos \theta + \Gamma \left(1 - \frac{Z_w}{Z_0} \cos \theta \right) \right\} \right.$$

$$\cdot \left(\bar{N}_x \cos \phi + \bar{N}_y \sin \phi \right) \boldsymbol{a}_{\theta}$$

$$+ \left\{ \cos \theta + \frac{Z_w}{Z_0} + \Gamma \left(\cos \theta - \frac{Z_w}{Z_0} \right) \right\}$$

$$\cdot \left(-\bar{N}_x \sin \phi + \bar{N}_y \cos \phi \right) \boldsymbol{a}_{\phi} \right]$$

$$(1.148)$$

反射を無視すると、 $\Gamma = 0$ とおき、

$$\mathbf{F}(\theta,\phi)\Big|_{\Gamma=0} = \frac{\sqrt{Z_0}}{2} \left[\left(1 + \frac{Z_w}{Z_0} \cos \theta \right) \left(\bar{N}_x \cos \phi + \bar{N}_y \sin \phi \right) \mathbf{a}_\theta + \left(\cos \theta + \frac{Z_w}{Z_0} \right) \left(-\bar{N}_x \sin \phi + \bar{N}_y \cos \phi \right) \mathbf{a}_\phi \right] \tag{1.149}$$

また,

$$l_0\Big|_{\Gamma=0} = \frac{Z_w}{Z_0} \tag{1.150}$$

アンテナ利得 $G(\theta, \phi)$ は,

$$G(\theta, \phi) = \frac{4\pi}{\lambda^2} \cdot \frac{\left| \mathbf{F}(\theta, \phi) \right|_{\Gamma=0}^2}{Z_w} = 4\pi \frac{S}{\lambda^2} \frac{\left| \mathbf{F}(\theta, \phi) \right|_{\Gamma=0}^2}{SZ_w} \equiv 4\pi \frac{S}{\lambda^2} \hat{\mathbf{F}}(\theta, \phi)$$
(1.151)

ここで,

$$\hat{\boldsymbol{F}}(\theta,\phi) = \frac{1}{\sqrt{S}\sqrt{Z_{co}}} \boldsymbol{F}(\theta,\phi) \Big|_{\Gamma=0}$$
 (1.152)

導波管モードの特性インピーダンス Z_0 を自由空間波動インピーダンス Z_w で規格化して,

$$z_0 \equiv \frac{Z_0}{Z_w} \equiv \frac{1}{y_0} \tag{1.153}$$

これより,

$$\hat{\mathbf{F}}(\theta,\phi) = \sqrt{\frac{z_0}{S}} \left[\frac{1 + y_0 \cos \theta}{2} \left(\bar{N}_x \cos \phi + \bar{N}_y \sin \phi \right) \mathbf{a}_\theta + \frac{y_0 + \cos \theta}{2} \left(-\bar{N}_x \sin \phi + \bar{N}_y \cos \phi \right) \mathbf{a}_\phi \right]$$
(1.154)

1.6.2 TE **モ**ード

TE モードのとき,

$$\frac{Z_w}{Z_0^{\text{TE}}} = \frac{\omega\mu}{k} \cdot \frac{\beta^{\text{TE}}}{\omega\mu} = \frac{\beta^{\text{TE}}}{k} = \frac{1}{z_0^{\text{TE}}} = y_0^{\text{TE}}$$

$$(1.155)$$

放射電界 E_p は,

$$\boldsymbol{E}_{p}^{\text{TE}} = \frac{j}{\lambda} \frac{e^{-jkr}}{r} \boldsymbol{F}^{\text{TE}}(\theta, \phi)$$
(1.156)
(1.157)

ここで,

$$\boldsymbol{F}^{\text{TE}}(\theta,\phi) = \frac{\sqrt{Z_0^{\text{TE}}}}{2} \left[\left\{ 1 + \frac{\beta^{\text{TE}}}{k} \cos \theta + \Gamma \left(1 - \frac{\beta^{\text{TE}}}{k} \cos \theta \right) \right\} \cdot \left(\bar{N}_x^{\text{TE}} \cos \phi + \bar{N}_y^{\text{TE}} \sin \phi \right) \boldsymbol{a}_{\theta} + \left\{ \cos \theta + \frac{\beta^{\text{TE}}}{k} + \Gamma \left(\cos \theta - \frac{\beta^{\text{TE}}}{k} \right) \right\} \cdot \left(- \bar{N}_x^{\text{TE}} \sin \phi + \bar{N}_y^{\text{TE}} \cos \phi \right) \boldsymbol{a}_{\phi} \right]$$

$$(1.158)$$

反射を無視すると、 $\Gamma=0$ とおき、

$$\left. \boldsymbol{F}^{\text{\tiny TE}}(\theta,\phi) \right|_{\Gamma=0} = \frac{\sqrt{Z_0^{\text{\tiny TE}}}}{2} \left[\left(1 + \frac{\beta^{\text{\tiny TE}}}{k} \cos \theta \right) \left(\bar{N}_x^{\text{\tiny TE}} \cos \phi + \bar{N}_y^{\text{\tiny TE}} \sin \phi \right) \boldsymbol{a}_{\theta} + \left(\cos \theta + \frac{\beta^{\text{\tiny TE}}}{k} \right) \left(- \bar{N}_x^{\text{\tiny TE}} \sin \phi + \bar{N}_y^{\text{\tiny TE}} \cos \phi \right) \boldsymbol{a}_{\phi} \right]$$
(1.159)

1.6.3 TM **モード**

一方, TM モードのとき,

$$\frac{Z_w}{Z_0^{\text{\tiny TM}}} = \frac{k}{\omega \epsilon} \frac{\omega \epsilon}{\beta^{\text{\tiny TM}}} = \frac{k}{\beta^{\text{\tiny TM}}} = \frac{1}{z_0^{\text{\tiny TM}}} = y_0^{\text{\tiny TM}}$$
(1.160)

放射電界 E_p は,

$$\boldsymbol{E}_{p}^{\text{\tiny TM}} = \frac{j}{\lambda} \, \frac{e^{-jkr}}{r} \boldsymbol{F}^{\text{\tiny TM}}(\theta, \phi) \tag{1.161}$$

ここで,

$$\boldsymbol{F}^{\text{\tiny TM}}(\theta,\phi) = \frac{\sqrt{Z_0^{\text{\tiny TM}}}}{2} \left[\left\{ 1 + \frac{k}{\beta^{\text{\tiny TM}}} \cos \theta + \Gamma \left(1 - \frac{k}{\beta^{\text{\tiny TM}}} \cos \theta \right) \right\} \right. \\ \left. \cdot \left(\bar{N}_x^{\text{\tiny TM}} \cos \phi + \bar{N}_y^{\text{\tiny TM}} \sin \phi \right) \boldsymbol{a}_{\theta} \right. \\ \left. + \left\{ \cos \theta + \frac{k}{\beta^{\text{\tiny TM}}} + \Gamma \left(\cos \theta - \frac{k}{\beta^{\text{\tiny TM}}} \right) \right\} \right. \\ \left. \cdot \left(- \bar{N}_x^{\text{\tiny TM}} \sin \phi + \bar{N}_y^{\text{\tiny TM}} \cos \phi \right) \boldsymbol{a}_{\phi} \right]$$

$$(1.162)$$

反射を無視すると、 $\Gamma = 0$ とおき、

$$\left. \boldsymbol{F}^{\text{\tiny TM}}(\theta,\phi) \right|_{\Gamma=0} = \frac{\sqrt{Z_0^{\text{\tiny TM}}}}{2} \left[\left(1 + \frac{k}{\beta^{\text{\tiny TM}}} \cos \theta \right) \left(\bar{N}_x^{\text{\tiny TM}} \cos \phi + \bar{N}_y^{\text{\tiny TM}} \sin \phi \right) \boldsymbol{a}_{\theta} + \left(\cos \theta + \frac{k}{\beta^{\text{\tiny TM}}} \right) \left(- \bar{N}_x^{\text{\tiny TM}} \sin \phi + \bar{N}_y^{\text{\tiny TM}} \cos \phi \right) \boldsymbol{a}_{\phi} \right]$$
(1.163)

1.6.4 開口径が十分大きい場合

導波管の開口径が十分大きい場合, $Z_0 \simeq Z_w$, $k \simeq \beta$ $(l_0 \simeq 1)$. さらに,反射も無視して $\Gamma=0$ とおき,

$$\mathbf{E}_{p} \simeq \frac{j}{\lambda} \frac{e^{-jkr}}{r} \frac{1 + \cos \theta}{2} \sqrt{Z_{w}} \left(\bar{N}_{x} \mathbf{a}_{\xi} + \bar{N}_{y} \mathbf{a}_{\eta} \right)
= \frac{j}{\lambda} \frac{e^{-jkr}}{r} \sqrt{Z_{w}} \bar{\mathbf{F}}(\theta, \phi)$$
(1.164)

ここで,

$$\bar{\mathbf{F}}(\theta,\phi) \equiv \frac{1+\cos\theta}{2} \left(\bar{N}_x \mathbf{a}_{\xi} + \bar{N}_y \mathbf{a}_{\eta} \right) \tag{1.165}$$

このとき、アンテナ利得Gは次のようになる。

$$G(\theta,\phi) \simeq \frac{4\pi}{\lambda^2} \left| \bar{\boldsymbol{F}}(\theta,\phi) \right|^2 = 4\pi \frac{S}{\lambda^2} \left| \frac{\bar{\boldsymbol{F}}(\theta,\phi)}{\sqrt{S}} \right|^2 = 4\pi \frac{S}{\lambda^2} \left| \hat{\boldsymbol{F}}(\theta,\phi) \right|^2$$
(1.166)

ここで,

$$\hat{\mathbf{F}}(\theta,\phi) = \frac{\bar{\mathbf{F}}(\theta,\phi)}{\sqrt{S}} = \frac{\mathbf{F}(\theta,\phi)\Big|_{\Gamma=0}}{\sqrt{S}\sqrt{Z_w}}$$
(1.167)

1.6.5 多モード (伝搬モード, 無損失)

開口面での反射がないとして($\Gamma=0$),開口面上の横断面内電界 E_t が,伝搬モードの合成で与えられている場合を考える.

$$\mathbf{E}_t(\mathbf{\rho}') = \sum_i c_i \sqrt{Z_i} \mathbf{e}_i(\mathbf{\rho}') \tag{1.168}$$

ただし、 c_i はi番目のモード係数を示す。このとき、横断面内磁界 H_t は、

$$H_t(\boldsymbol{\rho}') = \sum_i c_i \sqrt{Y_i} \boldsymbol{h}_i(\boldsymbol{\rho}')$$

$$= \sum_i c_i \sqrt{Y_i} \left\{ \boldsymbol{a}_z \times \boldsymbol{e}_i(\boldsymbol{\rho}') \right\}$$
(1.169)

いま、モード係数 c_i は次のように規格化されているとする.

$$\int_{S} (\mathbf{E}_{t} \times \mathbf{H}_{t}^{*}) \cdot \mathbf{a}_{z} dS$$

$$\equiv \int_{S} \left\{ \left(\sum_{i} c_{i} \sqrt{Z_{i}} \mathbf{e}_{i} \right) \times \left(\sum_{j} c_{j}^{*} \sqrt{Y_{j}} \mathbf{h}_{j} \right) \right\} \cdot \mathbf{a}_{z} dS$$

$$= \int_{S} \left\{ \sum_{i} \sum_{j} c_{i} c_{j}^{*} \sqrt{Z_{i}} \sqrt{Y_{j}} \left(\mathbf{e}_{i} \times \mathbf{h}_{j} \right) \cdot \mathbf{a}_{z} \right\} dS$$

$$= \sum_{i} |c_{i}|^{2} \equiv 1 \tag{1.170}$$

多モードの放射電界 $oldsymbol{E}_p$ は,

$$\mathbf{E}_{p} = \sum_{i} c_{i} \mathbf{E}_{p,i} = \frac{j}{\lambda} \frac{e^{-jkr}}{r} \sum_{i} c_{i} \mathbf{F}_{i}(\theta, \phi)$$
(1.171)

ここで,

$$F_{i}(\theta,\phi) = \frac{\sqrt{Z_{i}}}{2} \left[\left(1 + \frac{Z_{w}}{Z_{i}} \cos \theta \right) \left(\bar{N}_{x,i} \cos \phi + \bar{N}_{y,i} \sin \phi \right) \boldsymbol{a}_{\theta} + \left(\cos \theta + \frac{Z_{w}}{Z_{i}} \right) \left(-\bar{N}_{x,i} \sin \phi + \bar{N}_{y,i} \cos \phi \right) \boldsymbol{a}_{\phi} \right]$$

$$+\left(\cos heta+\overline{Z_i}
ight)(-N_{x,i}\sin\phi+N_{y,i}\cos\phi)m{a}_\phi$$
 さらに、 $Z_w\simeq Z_i$ のとき、 $-ikr$

さらに、
$$Z_w \simeq Z_i$$
のとき、 $-ikr$

さらに,
$$Z_w \simeq Z_i$$
のとき, i_{-jkr}

$$m{E}_p \simeq rac{j}{\lambda} \; rac{e^{-jkr}}{r} \sqrt{Z_w} \sum_i c_i ar{m{F}}_i(heta,\phi)$$

$$\lambda = r - i \over i \over i \left(ar{N}_{x,i}m{a}_{\mathcal{E}} + ar{N}_{y,i}
ight)$$

$$\phi$$
) $\equiv \frac{1 + \cos \theta}{2} (\bar{N}_{x,i} a_{\xi} + \bar{N}_{y,i})$

$$\phi = \frac{1 + \cos \theta}{2} (\bar{N}_{x,i} \boldsymbol{a}_{\xi} + \bar{N}_{y,i})$$

$$\bar{\mathbf{F}}_i(\theta,\phi) \equiv \frac{1 + \cos \theta}{2} \left(\bar{N}_{x,i} \mathbf{a}_{\xi} + \bar{N}_{y,i} \mathbf{a}_{\eta} \right)$$

$$(p,\phi)\equivrac{1+3333}{2}ig(N_{x,i}m{a}_{\xi}+N_{y,i}m{a}_{\eta}m{a}_$$

$$=ar{N}_{x.i}oldsymbol{a}_x+ar{N}_{y.i}oldsymbol{a}_y=\intoldsymbol{e}_ie^{-jk(r_a-r_a)}$$

$$ar{m{N}}_i = ar{N}_{x,i}m{a}_x + ar{N}_{y,i}m{a}_y = \int_S m{e}_i e^{-jk(r_a-r)} dS$$

$$N_{i} = N_{x,i} \boldsymbol{a}_{x} + N_{y,i} \boldsymbol{a}_{y} = \int_{S} \boldsymbol{e}_{i} e^{-j\kappa(r_{a}-r)} dS$$

$$G(\theta,\phi) \simeq \frac{4\pi}{\sqrt{2}} \left| \sum c_{i} \bar{\boldsymbol{F}}_{i}(\theta,\phi) \right|^{2} = 4\pi \frac{S}{\sqrt{2}} \left| \sum c_{i} \hat{\boldsymbol{F}}_{i}(\theta,\phi) \right|^{2}$$

$$(1.175)$$

(1.172)

(1.173)

(1.174)

$$G(\theta, \phi) \simeq \frac{4\pi}{\lambda^2} \left| \sum_i c_i \bar{\mathbf{F}}_i(\theta, \phi) \right|^2 = 4\pi \frac{S}{\lambda^2} \left| \sum_i c_i \hat{\mathbf{F}}_i(\theta, \phi) \right|^2$$
(1.1)

ただし、 e_i はi番目の電界モード関数、 c_i はそのモード係数、Sは開口の面積を示す。ここで、

$$\hat{\mathbf{F}}_{i}(\theta,\phi) = \frac{\bar{\mathbf{F}}_{i}(\theta,\phi)}{\sqrt{S}}$$

$$= \sqrt{\frac{z_{i}}{S}} \left[\frac{1 + y_{i}\cos\theta}{2} \left(\bar{N}_{x,i}\cos\phi + \bar{N}_{y,i}\sin\phi \right) \mathbf{a}_{\theta} + \frac{y_{i} + \cos\theta}{2} \left(-\bar{N}_{x,i}\sin\phi + \bar{N}_{y,i}\cos\phi \right) \mathbf{a}_{\phi} \right]$$

$$(1.177)$$

1.7 円形開口面分布による放射特性

1.7.1 円形開口面分布

直径 D の円形開口面分布 $E_a(\rho, \phi)$ によるフレネル領域の指向性関数 $g_r(R, \Theta, \Phi)$ は、

$$g_r(R,\Theta,\Phi) = \int_0^{2\pi} \int_0^{D/2} E_a(\rho,\phi) e^{-jk\frac{\rho^2}{2R}} e^{jk\mathbf{a}_R\cdot\mathbf{\rho}} \rho d\rho d\phi \qquad (1.178)$$

ここで、観測方向に沿う単位ベクトル a_R 、および開口面の座標を示す位置ベクトルhoは、

$$\mathbf{a}_{R} = \sin \Theta(\cos \Phi \mathbf{a}_{x} + \sin \Phi \mathbf{a}_{y}) + \cos \Theta \mathbf{a}_{z}$$

$$\mathbf{\rho} = \rho \mathbf{a}_{\rho} = \rho(\cos \phi \mathbf{a}_{x} + \sin \phi \mathbf{a}_{y})$$

$$(1.179)$$

$$(1.180)$$

で表され,

$$\mathbf{a}_{R} \cdot \boldsymbol{\rho} = \left\{ \sin \Theta(\cos \Phi \mathbf{a}_{x} + \sin \Phi \mathbf{a}_{y}) + \cos \Theta \mathbf{a}_{z} \right\} \cdot \rho(\cos \phi \mathbf{a}_{x} + \sin \phi \mathbf{a}_{y})$$

$$= \rho \sin \Theta(\cos \Phi \cos \phi + \sin \Phi \sin \phi)$$

$$= \rho \sin \Theta \cos(\Phi - \phi) \tag{1.181}$$

また、位相項は次のようになる.

$$k(\boldsymbol{a}_R \cdot \boldsymbol{\rho}) = \frac{2\pi}{\lambda} \rho \sin \Theta \cos(\Phi - \phi)$$
 (1.182)

いま,

$$\overline{\rho} \equiv \frac{2\rho}{D} \tag{1.183}$$

$$u \equiv \frac{\pi D}{\lambda} \sin \Theta \tag{1.184}$$

また.

とおくと.

とおくと.

 $t \equiv \frac{D^2}{8\lambda R}$

 $k(\boldsymbol{a}_{B}\cdot\boldsymbol{\rho})=u\overline{\rho}\cos(\Phi-\phi)$

(1.185)

(1.186)

(1.187)

(1.188)

(1.189)

 $k\frac{\rho^2}{2R} = \frac{2\pi}{\lambda} \cdot \frac{1}{2R} \left(\frac{D}{2}\overline{\rho}\right)^2$

 $d\overline{\rho} = \frac{2}{D}d\rho$

$$= 2\pi \left(\frac{D^2}{8\lambda R}\right) \overline{\rho}^2$$
$$= 2\pi t \overline{\rho}^2$$

これより、フレネル領域の指向性関数 $g_r(R,\Theta,\Phi)$ は次のようになる.

 $g_r(R,\Theta,\Phi) = \left(\frac{D}{2}\right)^2 \int_0^{2\pi} \int_0^1 E_a(\rho,\phi) e^{-j2\pi t\overline{\rho}^2} e^{ju\overline{\rho}\cos(\Phi-\phi)} \overline{\rho} d\overline{\rho} d\phi$

1.7.2 回転対称な円形開口面分布

開口面分布 E_a が回転対称な場合, ϕ に関する定積分が可能で、

$$e^{ju\overline{\rho}\cos(\Phi-\phi)} = \sum_{n=-\infty}^{\infty} (j)^n J_n(u\overline{\rho}) e^{jn(\Phi-\phi)}$$
(1.190)

を用いると、指向性関数 $g_r(R,\Theta,\Phi)$ は次のようになる.

$$g_r = \left(\frac{D}{2}\right)^2 \int_0^{2\pi} \int_0^1 E_a(\overline{\rho}) e^{-j2\pi t \overline{\rho}^2} \left\{ \sum_{n=-\infty}^{\infty} (j)^n J_n(u\overline{\rho}) e^{jn(\Phi-\phi)} \right\} \overline{\rho} d\overline{\rho} d\phi$$
$$= \left(\frac{D}{2}\right)^2 \int_0^1 E_a(\overline{\rho}) e^{-j2\pi t \overline{\rho}^2} \left\{ \sum_{n=-\infty}^{\infty} (j)^n J_n(u\overline{\rho}) \int_0^{2\pi} e^{jn(\Phi-\phi)} d\phi \right\} \overline{\rho} d\overline{\rho}$$

ただし、 J_n は n 次の第 1 種ベッセル関数を示す。上式の ϕ に関する積分は、

$$\int_0^{2\pi} e^{jn(\Phi - \phi)} d\phi = \begin{cases} 2\pi & (n = 0) \\ 0 & (n \neq 0) \end{cases}$$
 (1.191)

よって、 $g_r(R,\Theta,\Phi)$ は次のようになる.

$$g_r(R,\Theta,\Phi) = \left(\frac{D}{2}\right)^2 \int_0^1 E_a(\overline{\rho}) e^{-j2\pi t \overline{\rho}^2} \left\{ j^0 J_0(u\overline{\rho}) \cdot 2\pi \right\} \overline{\rho} d\overline{\rho}$$
$$= 2\pi \left(\frac{D}{2}\right)^2 \int_0^1 E_a(\overline{\rho}) e^{-j2\pi t \overline{\rho}^2} J_0(u\overline{\rho}) \overline{\rho} d\overline{\rho}$$
(1.192)

1.7.3 円形一様開口面分布

開口面分布の振幅,位相が一様の場合,つまり E_a を一定と考えると,ベッセルの不定積分公式

$$\int J_0(u\overline{\rho})\overline{\rho}d\overline{\rho} = \frac{\overline{\rho}}{u}J_1(u\overline{\rho}) \tag{1.193}$$

より、フラウンホーファ領域(t=0)の指向性関数 g(u) は($E_a(x,y)=E_0$ は一定、S は円形開口面の面積)、

$$g(u) = 2\pi \left(\frac{D}{2}\right)^2 E_0 \int_0^1 J_0(u\overline{\rho})\overline{\rho}d\overline{\rho}$$

$$= 2\pi \left(\frac{D}{2}\right)^2 E_0 \left[\frac{\overline{\rho}}{u} J_1(u\overline{\rho})\right]_0^1$$

$$= 2SE_0 \frac{J_1(u)}{u}$$
(1.194)

また,

$$g(0) = E_0 \iint_A dS = E_0 S \tag{1.195}$$

相対電界指向性(ユニバーサル電界パターン) $\bar{g}(u)$ は、

$$\bar{g}(u) = \frac{g(u)}{g(0)} = \frac{2SE_a \frac{J_1(u)}{u}}{E_a S}$$

$$= 2\frac{J_1(u)}{u}$$
(1.196)

ユニバーサル電界パターンのサイロドーブレベルは、ピーク値に対して第1サイドローブから順に、-17.6、-23.8、-28.0、-31.2、-33.6、-35.7 dB となる。また、規格化した相対的な放射(電力)パターン $\bar{G}(\theta,\phi)$ は、

$$\bar{G}(\theta,\phi) = \left(\frac{1+\cos\theta}{2}\right)^2 \left|2\frac{J_1(u)}{u}\right|^2 \tag{1.197}$$

1.7.4 放物線テーパ分布

回転対称の円形開口面分布において、半径 ρ 方向に放物線テーパ(Parabolic taper)のとき、 $\rho=\frac{D}{2}\bar{\rho}$ とおいて、

$$E(\rho) = 1 - \left(\frac{2\rho}{D}\right)^2$$

$$= 1 - \overline{\rho}^2 = E(\overline{\rho})$$
(1.198)

これより,

$$g(0) = \iint_{A} E(\rho)dS$$

$$= \int_{0}^{2\pi} \int_{0}^{\frac{D}{2}} \left\{ 1 - \left(\frac{2\rho}{D}\right)^{2} \right\} \rho d\phi d\rho$$

$$= \left(\int_{0}^{2\pi} d\phi\right) \left(\frac{D}{2}\right)^{2} \int_{0}^{1} \left(\overline{\rho} - \overline{\rho}^{3}\right) d\overline{\rho}$$

$$= 2\pi \left(\frac{D}{2}\right)^{2} \left[\frac{\overline{\rho}^{2}}{2} - \frac{\overline{\rho}^{4}}{4}\right]_{0}^{1}$$

$$= \frac{S}{2}$$

$$(1.199)$$

また,

$$\begin{split} \iint_A |E(\rho)|^2 dS &= \int_0^{2\pi} \int_0^a \left\{ 1 - \left(\frac{2\rho}{D}\right)^2 \right\}^2 \rho d\phi d\rho \\ &= 2\pi \left(\frac{D}{2}\right)^2 \int_0^1 \left(\overline{\rho} - 2\overline{\rho}^3 + \overline{\rho}^5\right) d\overline{\rho} \\ &= 2\pi \left(\frac{D}{2}\right)^2 \left[\frac{\overline{\rho}^2}{2} - \frac{\overline{\rho}^4}{2} + \frac{\overline{\rho}^6}{6}\right]_0^1 \\ &= \frac{S}{3} \end{split}$$

開口能率 η_a は,

$$\eta_a = \frac{\left| \iint_A E_a dS \right|^2}{S \iint_A |E_a|^2 dS} \\
= \frac{\left(\frac{S}{2}\right)^2}{S \cdot \frac{S}{2}} = \frac{3}{4} = 0.75 \tag{1.20}$$

(1.201)

(1.200)

フラウンホーファ領域(t=0)の指向性関数 g(u) は、ベッセル関数に関わる積分公式を用いて、

$$g(u) = 2\pi \left(\frac{D}{2}\right)^2 \int_0^1 E_a(\overline{\rho}) J_0(u\overline{\rho}) \overline{\rho} d\overline{\rho}$$

$$= 2S \int_0^1 (1 - \overline{\rho}^2) J_0(u\overline{\rho}) \overline{\rho} d\overline{\rho}$$

$$= 2S \cdot \frac{2J_2(u)}{u^2} = S \frac{4J_2(u)}{u^2}$$
(1.202)

相対電界指向性(ユニバーサル電界パターン) $\bar{g}(u)$ は、

$$\bar{g}(u) = \frac{g(u)}{g(0)} = \frac{S\frac{4J_2(u)}{u^2}}{\frac{S}{2}}$$

$$= 8\frac{J_2(u)}{u^2}$$
(1.203)

ユニバーサル電界パターンのサイロドーブレベルは、ピーク値に対して第1サイドローブから順に、-24.6、-33.6、-39.7、-44.5、-48.4、-51.6 dB となる。また、規格化した相

対的な放射(電力)パターン $\bar{G}(\theta,\phi)$ は、

$$\bar{G}(\theta,\phi) = \left(\frac{1+\cos\theta}{2}\right)^2 \left|8\frac{J_2(u)}{u^2}\right|^2 \tag{1.204}$$

問題

次の極限を求めよ.

(a)
$$\lim_{u \to 0} \frac{J_1(u)}{u}$$
, (b) $\lim_{u \to 0} \frac{J_2(u)}{u^2}$ (1.205)

略解 (a) u = 0 のとき、ロピタルの定理より、

$$\lim_{u \to 0} \frac{J_1(u)}{u} = \frac{\lim_{u \to 0} \frac{d}{du} J_1(u)}{\lim_{u \to 0} \frac{d}{du} u}$$

$$= \frac{\lim_{u \to 0} \frac{1}{2} \{J_0(u) - J_2(u)\}}{1}$$

$$= \frac{1}{2} J_0(0) = \frac{1}{2}$$

ここで,

$$\frac{d}{dx}J_n(x) = \frac{1}{2}(J_{n-1}(x) - J_{n+1}(x))$$
(1.207)

(1.206)

また,

$$J_0(0) = 1, \quad J_1(0) = 0, \quad J_2(0) = 0$$
 (1.208)

■ 略解 (b)

$$\lim_{u \to 0} \frac{J_2(u)}{u^2} = \frac{1}{8} \tag{1.209}$$

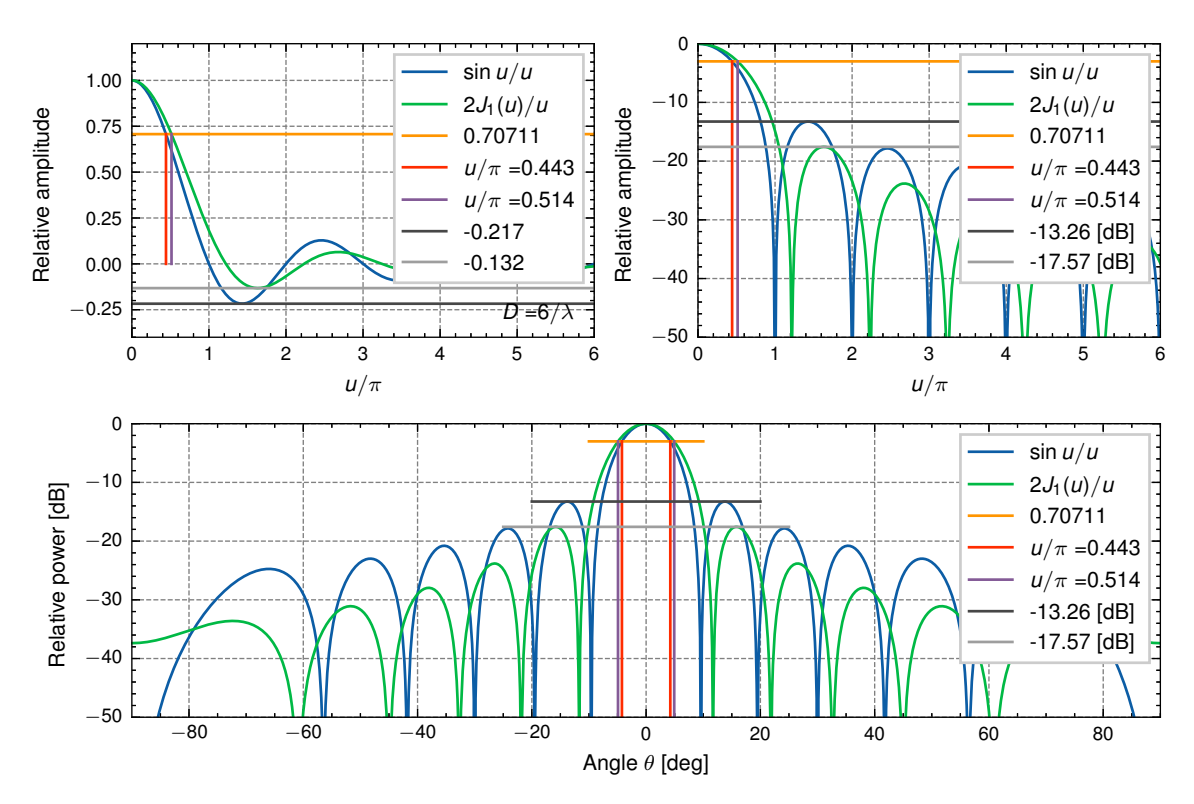


図 1.2. 直線開口および円形開口 $(D=6\lambda)$ の一様分布による放射パターン

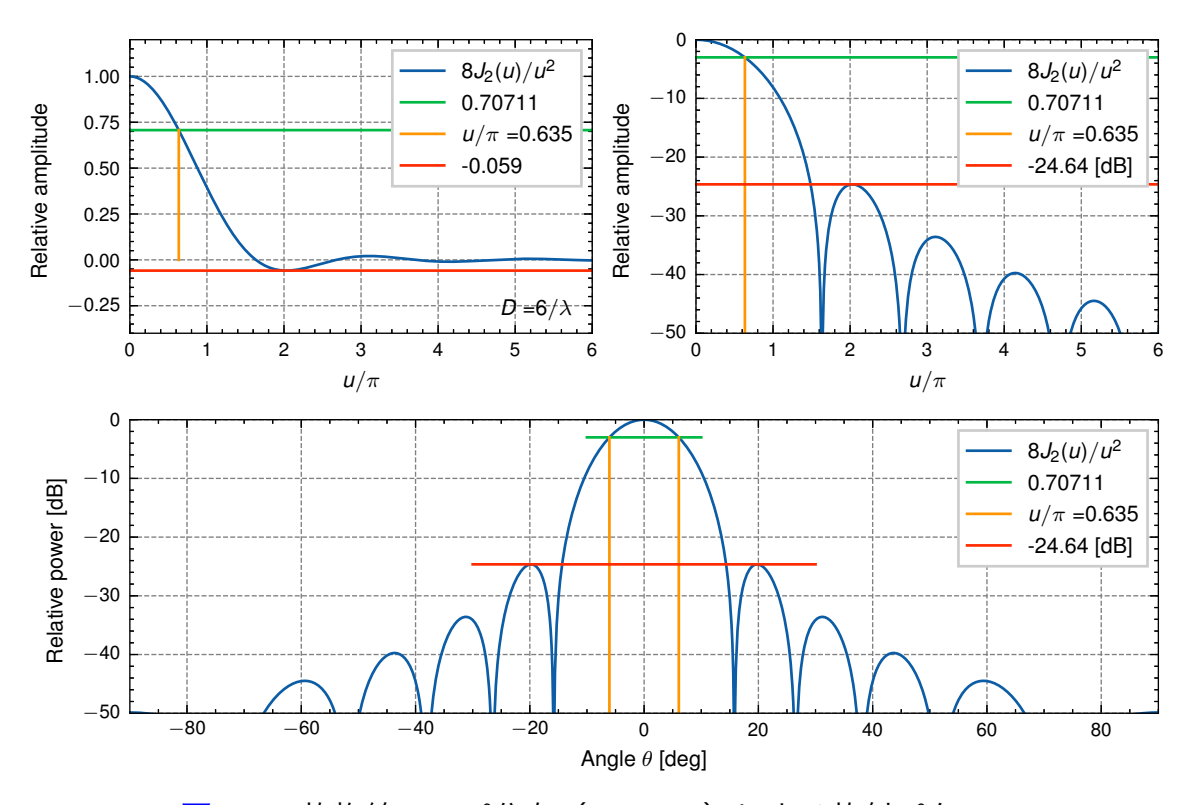


図 1.3. 放物線テーパ分布 ($D=6\lambda$) による放射パターン

CHAPTER 2

方形導波菅開口からの放射

方形導波管の開口部からの電磁波の放射特性について詳細に解説する。まず,方形開口からの放射を記述する一般的な式を導入し,フレネル領域における電界の積分表現を示していく。次に,TE (Transverse Electric) モードと TM (Transverse Magnetic) モードそれぞれのモード関数と,それらによって生じる遠方放射界の計算方法を詳しく説明する。特に,様々な TEモード(TE_{0n} , TE_{01} , TE_{m0} , TE_{10} など)における放射パターンとピーク利得の例を示し,最後に複数のモードを組み合わ

せた開口面からの放射、特に交差偏波成分を低減するためのモード合成の条件を議論する。

2.1 方形導波管開口からの放射特性

2.1.1 方形開口からの放射

方形導波管の断面寸法を $a\times b$ とし、導波管の中心軸上に z 軸をとる直角座標 (x',y',z) を考えると、x=x'+a/2、y=y'+b/2 となる。開口面への横断面内入射電界 E_t^{INC} として、モード関数 $e(\rho')$

$$\boldsymbol{e}(\boldsymbol{\rho}') = e_x(x', y')\boldsymbol{a}_x + e_y(x', y')\boldsymbol{a}_y \tag{2.1}$$

を考えると,

$$\bar{\mathbf{N}} = \int_{S} \mathbf{e}(\boldsymbol{\rho}') e^{-jk(r_{a}-r)} dS$$

$$= \bar{N}_{x} \mathbf{a}_{x} + \bar{N}_{y} \mathbf{a}_{y}$$

$$= \left\{ \int_{S} e_{x}(x', y') e^{-jk(r_{a}-r)} dS \right\} \mathbf{a}_{x} + \left\{ \int_{S} e_{y}(x', y') e^{-jk(r_{a}-r)} dS \right\} \mathbf{a}_{y} \qquad (2.2)$$

ここで、フレネル領域では、

$$-(r_a - r) \simeq \sin \theta (x' \cos \phi + y' \sin \phi) - \frac{x'^2 + y'^2}{2r}$$
 (2.3)

ただし、 r_a は開口面上の波源から観測点までの距離、r は原点から観測点までの距離を示す。 これより、

$$\bar{N}_{\binom{x}{y}} \simeq \int_{-\frac{a}{2}}^{\frac{a}{2}} \int_{-\frac{b}{2}}^{\frac{b}{2}} e_{\binom{x}{y}}(x', y') e^{jk\sin\theta(x'\cos\phi + y'\sin\phi)} e^{-jk\frac{x'^2 + y'^2}{2r}} dy' dx' \tag{2.4}$$

さらに,

$$x' = \frac{a}{2} \cdot \bar{x}, \qquad y' = \frac{b}{2} \cdot \bar{y} \tag{2.5}$$

で変数変換すると,

$$dx = \frac{a}{2}d\bar{x}, \qquad dy = \frac{b}{2}d\bar{y}$$

$$kx' \sin \theta = \frac{2\pi}{\lambda} \cdot \frac{a}{2} \, \bar{x} \sin \theta = \frac{\pi a}{\lambda} \sin \theta \cdot \bar{x} \equiv u_x \bar{x}$$

$$ky' \sin \theta = \frac{2\pi}{\lambda} \cdot \frac{b}{2} \, \bar{y} \sin \theta = \frac{\pi b}{\lambda} \sin \theta \cdot \bar{y} \equiv u_y \bar{y}$$

$$zze,$$

$$u_x \equiv \frac{\pi a}{\lambda} \sin \theta, \qquad u_y \equiv \frac{\pi b}{\lambda} \sin \theta$$

$$\sharp t,$$

$$k \frac{x'^2 + y'^2}{2r} = \frac{2\pi}{\lambda} \, \frac{1}{2r} \left\{ \left(\frac{a}{2} \bar{x} \right)^2 + \left(\frac{b}{2} \bar{y} \right)^2 \right\}$$

$$= \frac{2\pi}{8\lambda r} \left(a^2 \bar{x}^2 + b^2 \bar{y}^2 \right)$$

$$zze,$$

$$(2.6)$$

$$(2.6)$$

$$kx' \sin \theta = \frac{\pi a}{\lambda} \sin \theta \cdot \bar{x} \equiv u_x \bar{x}$$

$$(2.7)$$

$$u_y \equiv \frac{\pi b}{\lambda} \sin \theta \cdot \bar{y} \equiv u_y \bar{y}$$

$$(2.8)$$

$$(2.9)$$

 $t_x \equiv \frac{a^2}{8\lambda x}, \qquad t_y \equiv \frac{b^2}{8\lambda x}$

(2.11)

とおくと,

$$k\frac{x'^2 + y'^2}{2r} = 2\pi \left(t_x \bar{x}^2 + t_y \bar{y}^2\right) \tag{2.12}$$

これより.

$$\bar{N}_{\binom{x}{y}} = \frac{ab}{4} \int_{-1}^{1} \int_{-1}^{1} e_{\binom{x}{y}}(\bar{x}, \bar{y}) e^{j(\bar{x}u_x \cos\phi + \bar{y}u_y \sin\phi)} e^{-j2\pi(t_x\bar{x}^2 + t_y\bar{y}^2)} d\bar{y} d\bar{x}$$
(2.13)

2.1.2 方形導波管モードによる放射特性

方形導波管のモード関数は次のように変数分離形

$$e_x(\bar{x}, \bar{y}) = B_x e_{x1}(\bar{x}) e_{x2}(\bar{y})$$
 (2.14)

$$e_y(\bar{x}, \bar{y}) = B_y e_{y1}(\bar{x}) e_{y2}(\bar{y})$$
 (2.15)

で与えられるので $(B_x, B_y$ は定数),

$$\bar{N}_{\binom{x}{y}} = \frac{ab}{4} \int_{-1}^{1} \int_{-1}^{1} e_{\binom{x}{y}1}(\bar{x}) e_{\binom{x}{y}2}(\bar{y}) \\
\cdot e^{j(\bar{x}u_{x}\cos\phi + \bar{y}u_{y}\sin\phi)} e^{-j2\pi(t_{x}\bar{x}^{2} + t_{y}\bar{y}^{2})} d\bar{y}d\bar{x} \\
= B_{\binom{x}{y}} \frac{ab}{4} \left[\int_{-1}^{1} e_{\binom{x}{y}1}(\bar{x}) e^{j\bar{x}u_{x}\cos\phi} e^{-j2\pi t_{x}\bar{x}^{2}} d\bar{x} \right] \\
\cdot \left[\int_{-1}^{1} e_{\binom{x}{y}2}(\bar{y}) e^{j\bar{y}u_{y}\sin\phi} e^{-j2\pi t_{y}\bar{y}^{2}} d\bar{y} \right]$$
(2.16)

無限遠方では,

$$\bar{N}_{\binom{x}{y}} = B_{\binom{x}{y}} \frac{ab}{4} \left[\int_{-1}^{1} e_{\binom{x}{y}} 1(\bar{x}) e^{j\bar{x}u_x \cos\phi} d\bar{x} \right] \left[\int_{-1}^{1} e_{\binom{x}{y}} 2(\bar{y}) e^{j\bar{y}u_y \sin\phi} d\bar{y} \right]$$
(2.17)

2.2 方形導波管の TE_{mn} モードによる遠方放射界

方形導波管の ${ m TE}_{mn}$ モード関数 2.2.1

方形導波管の TE_{mn} モードの電界のモード関数 $oldsymbol{e}_{[mn]}$ は,

$$e_{[mn]} = A_{[mn]} \left[\frac{n\pi}{b} \cos\left(\frac{m\pi x}{a}\right) \sin\left(\frac{n\pi y}{b}\right) \boldsymbol{a}_{x} - \frac{m\pi}{a} \sin\left(\frac{m\pi x}{a}\right) \cos\left(\frac{n\pi y}{b}\right) \boldsymbol{a}_{y} \right]$$

$$= A_{[mn]} \left[\frac{n\pi}{b} \cos\frac{m\pi}{2} (\bar{x} + 1) \sin\frac{n\pi}{2} (\bar{y} + 1) \boldsymbol{a}_{x} - \frac{m\pi}{a} \sin\frac{m\pi}{2} (\bar{x} + 1) \cos\frac{n\pi}{2} (\bar{y} + 1) \boldsymbol{a}_{y} \right]$$

$$(2.18)$$

ここで,

$$x = x' + \frac{a}{2} = \frac{a}{2}(\bar{x} + 1), \qquad x' = \frac{a}{2}\bar{x}$$

$$y = y' + \frac{b}{2} = \frac{b}{2}(\bar{y} + 1), \qquad y' = \frac{b}{2}\bar{y}$$
(2.19)

$$y = y' + \frac{b}{2} = \frac{b}{2}(\bar{y} + 1), \qquad y' = \frac{b}{2}\bar{y}$$
 (2.20)

また、 TE_{mn} モードの正規化係数 $A_{[mn]}$ は、

$$A_{[mn]} = \frac{1}{\pi} \sqrt{\frac{ab\epsilon_m \epsilon_n}{(mb)^2 + (na)^2}} = \sqrt{\frac{\frac{\epsilon_m \epsilon_n}{ab}}{(\frac{m\pi}{a})^2 + (\frac{n\pi}{b})^2}}$$
$$= \sqrt{\frac{\epsilon_m \epsilon_n}{ab}} \frac{1}{k_{c,[mn]}}$$
(2.21)

2.2.2 遠方放射電界

方形導波管の TE_{mn} モードによる遠方界は、

$$\bar{N}_{x[mn]} = A_{[mn]} \frac{n\pi}{b} \frac{ab}{4} I_{c1} I_{s2}
= \sqrt{\frac{\epsilon_m \epsilon_n}{ab}} \frac{1}{k_{c,[mn]}} \frac{n\pi}{b} \frac{ab}{4} I_{c1} I_{s2}
= \sqrt{ab} \frac{\sqrt{\epsilon_m \epsilon_n} \frac{n\pi}{b}}{4k_{c,[mn]}} I_{c1} I_{s2}$$

$$\bar{N}_{y[mn]} = -A_{[mn]} \frac{m\pi}{a} \frac{ab}{4} I_{s1} I_{c2}
= -\sqrt{ab} \frac{\sqrt{\epsilon_m \epsilon_n} \frac{m\pi}{a}}{4k_{c,[mn]}} I_{s1} I_{c2}$$
(2.22)

ここで、 \bar{x} に関する積分項は、

$$I_{s1} \equiv \int_{-1}^{1} \sin \frac{m\pi}{2} (\bar{x} + 1) e^{j\bar{x}u_x \cos \phi} d\bar{x}$$
 (2.24)

$$I_{c1} \equiv \int_{-1}^{1} \cos \frac{m\pi}{2} (\bar{x} + 1) e^{j\bar{x}u_x \cos \phi} d\bar{x}$$
 (2.25)

同様にして、 \bar{y} に関する積分項は、

$$I_{s2} \equiv \int_{-1}^{1} \sin \frac{n\pi}{2} (\bar{y} + 1) e^{j\bar{y}u_y \cos \phi} d\bar{y}$$
 (2.26)

$$I_{c2} \equiv \int_{-1}^{1} \cos \frac{n\pi}{2} (\bar{y} + 1) e^{j\bar{y}u_y \sin \phi} d\bar{y}$$
 (2.27)

これらの不定積分は、次のような式が計算できればよい.

$$I_s = \int \sin(Bv)e^{Av}dv \tag{2.28}$$

$$I_c = \int \cos(Bv)e^{Av}dv \tag{2.29}$$

上の不定積分を実行すると.

$$\int e^{Av} \sin Bv \ dv = \int e^{Axv} \frac{1}{j2} \Big(e^{jBv} - e^{-jBv} \Big) dv$$

$$= \frac{-j}{2} \left(\int e^{(A+jB)v} dv - \int e^{(\bar{a}-j\bar{b})v} dv \right)$$

$$= \frac{-j}{2} \left(\frac{e^{(A+jB)v}}{A+jB} - \frac{e^{(A-jB)v}}{A-jB} \right)$$

$$= \frac{-je^{Av}}{2} \frac{(A-jB)e^{jBv} - (A+jB)e^{-jBv}}{(A+jB)(A-jB)}$$

$$= \frac{e^{Av}}{\bar{A}^2 + \bar{B}^2} \Big(A \sin Bv - B \cos Bv \Big)$$

 $A \pm jB = 0$ のとき,

$$\int e^{Ax} \sin Bx \, dx = \frac{-j}{2} \left(\pm \int dx \mp \int e^{(A \mp jB)x} dx \right)$$
$$= \frac{\mp j}{2} \left(x - \frac{e^{(A \mp jB)x}}{A \mp jB} \right)$$

(2.30)

(2.31)

あるいは、不定積分した式 (2.30) より、 $A \pm jB = 0$ のとき、

$$\int e^{Av} \sin Bv \ dv = \frac{-j}{2} \left(\frac{e^{(A+jB)v}}{(A+jB)v} v - \frac{e^{(A-jB)v}}{(A-jB)v} v \right)$$
$$= \frac{\mp j}{2} \left(v - \frac{e^{(A\mp jB)v}}{A \mp jB} \right)$$

(2.32)

(2.33)

同様にして,

$$\int e^{Av} \cos Bv \, dv = \int e^{Av} \frac{1}{2} \left(e^{jBv} + e^{-jBx} \right) dv$$

$$= \frac{1}{2} \left(\int e^{(A+jB)v} dv + \int e^{(A-jB)v} dv \right)$$

$$= \frac{1}{2} \left(\frac{e^{(A+jB)v}}{A+jB} + \frac{e^{(A-jB)v}}{A-jB} \right)$$

$$= \frac{e^{Av}}{2} \frac{(A-jB)e^{jBv} + (A+jB)e^{-jBv}}{(A+jB)(A-jB)}$$

$$= \frac{e^{Av}}{A^2 + B^2} \left(A\cos Bv + B\sin Bv \right)$$

 $A \pm jB = 0$ のとき、

$$\int e^{Av} \cos Bv \ dv = \frac{1}{2} \left(\int dv + \int e^{(A \mp jB)v} dv \right)$$
$$= \frac{1}{2} \left(v + \frac{e^{(A \mp jB)v}}{\bar{a} \mp jB} \right)$$

(2.34)

(2.35)

あるいは、不定積分した式 (2.33) より、 $A \pm jB = 0$ のとき、

$$\int e^{Av} \cos Bv \ dv = \frac{1}{2} \left(\frac{e^{(A+jB)v}}{(A+jB)v} v + \frac{e^{(A-jB)v}}{(A-jB)v} v \right)$$
$$= \frac{1}{2} \left(v + \frac{e^{(A\mp jB)v}}{A \mp jB} \right)$$

これより、 $v = \bar{x} + 1$ とおくと、 $dv = d\bar{x}$ ゆえ、

$$\int e^{A(\bar{x}+1)} \sin B(\bar{x}+1) d\bar{x}$$

$$= \frac{e^{A(\bar{x}+1)}}{A^2 + B^2} \Big\{ A \sin B(\bar{x}+1) - B \cos B(\bar{x}+1) \Big\}$$

$$\int e^{A(\bar{x}+1)} \cos B(\bar{x}+1) d\bar{x}$$

$$= \frac{e^{A(\bar{x}+1)}}{A^2 + B^2} \Big\{ A \cos B(\bar{x}+1) + B \sin B(\bar{x}+1) \Big\}$$
(2.36)

よって,
$$\int e^{A\bar{x}} \sin B(\bar{x}+1) \ d\bar{x} = \frac{e^{A\bar{x}}}{A^2 + B^2} \left\{ A \sin B(\bar{x}+1) - B \cos B(\bar{x}+1) \right\}$$
 (2.38)

 $\int e^{A\bar{x}} \cos B(\bar{x}+1) \ d\bar{x} = \frac{e^{A\bar{x}}}{A^2 + D^2} \left\{ A \cos B(\bar{x}+1) + B \sin B(\bar{x}+1) \right\}$

(2.39)

同様にして、 $v = \bar{y} + 1$ とおくと、 $dv = d\bar{y}$ ゆえ、

$$\int e^{A\bar{y}} \sin B(\bar{y}+1) \ d\bar{y} = \frac{e^{A\bar{y}}}{A^2 + B^2} \Big\{ A \sin B(\bar{y}+1) - B \cos B(\bar{y}+1) \Big\}$$

$$\int e^{A\bar{y}} \cos B(\bar{y}+1) \ d\bar{y} = \frac{e^{A\bar{x}}}{A^2 + B^2} \Big\{ A \cos B(\bar{y}+1) + B \sin B(\bar{y}+1) \Big\}$$
(2.40)

定積分 I_{c1} については,

$$A \to j u_x \cos \phi, \qquad B \to \frac{m\pi}{2}$$

$$B \rightarrow \frac{1}{2}$$

とすると,

$$I_{c1} = \left[\frac{e^{j\bar{x}u_x\cos\phi}}{(ju_x\cos\phi)^2 + (\frac{m\pi}{2})^2} \cdot \left\{ (ju_x\cos\phi)\cos\frac{m\pi}{2}(\bar{x}+1) + \frac{m\pi}{2}\sin\frac{m\pi}{2}(\bar{x}+1) \right\} \right]_{-1}^{1}$$

$$= \frac{ju_x\cos\phi}{-(u_x\cos\phi)^2 + (\frac{m\pi}{2})^2} \left(e^{ju_x\cos\phi}\cos m\pi - e^{-ju_x\cos\phi}\cos 0 \right)$$

$$= \frac{ju_x\cos\phi}{-(u_x\cos\phi)^2 + (\frac{m\pi}{2})^2} \left(e^{j(u_x\cos\phi+m\pi)} - e^{-ju_x\cos\phi} \right)$$

$$= \frac{2u_x\cos\phi\sin\left(u_x\cos\phi + \frac{m\pi}{2}\right)}{(u_x\cos\phi)^2 - (\frac{m\pi}{2})^2} e^{j\frac{m\pi}{2}}$$
(2.42)

同様にして、 $A o ju_y \sin \phi$ 、 $B o rac{n\pi}{2}$ とおけば、 I_{c2} は次のようになる.

$$I_{c2} = \frac{2u_y \sin \phi \sin \left(u_y \sin \phi + \frac{n\pi}{2}\right)}{(u_y \sin \phi)^2 - (\frac{n\pi}{2})^2} e^{j\frac{n\pi}{2}}$$
(2.43)

$$I_{s1} = \left[\frac{e^{j\bar{x}u_x \cos\phi}}{(ju_x \cos\phi)^2 + (\frac{m\pi}{2})^2} \cdot \left\{ (ju_x \cos\phi) \sin\frac{m\pi}{2} (\bar{x}+1) - \frac{m\pi}{2} \cos\frac{m\pi}{2} (\bar{x}+1) \right\} \right]_{-1}^{1}$$

$$= \frac{-\frac{m\pi}{2}}{-(u_x \cos\phi)^2 + (\frac{m\pi}{2})^2} \left(e^{ju_x \cos\phi} \cos m\pi - e^{-ju_x \cos\phi} \cos 0 \right)$$

$$= \frac{\frac{m\pi}{2}}{(u_x \cos\phi)^2 - (\frac{m\pi}{2})^2} \left(e^{j(u_x \cos\phi + m\pi)} - e^{-ju_x \cos\phi} \right)$$

$$= \frac{\frac{m\pi}{2} e^{j\frac{m\pi}{2}}}{(u_x \cos\phi)^2 - (\frac{m\pi}{2})^2} j2 \sin\left(u_x \cos\phi + \frac{m\pi}{2}\right)$$

$$= \frac{jm\pi \sin\left(u_x \cos\phi + \frac{m\pi}{2}\right)}{(u_x \cos\phi)^2 - (\frac{m\pi}{2})^2} e^{j\frac{m\pi}{2}}$$
(2.44)

同様にして、 $\bar{a} \rightarrow j u_y \sin \phi$ 、 $\bar{b} \rightarrow \frac{n\pi}{2}$ とおけば、 I_{s2} は次のようになる.

$$I_{s2} = \frac{jn\pi \sin\left(u_y \sin\phi + \frac{n\pi}{2}\right)}{(u_y \sin\phi)^2 - (\frac{n\pi}{2})^2} e^{j\frac{n\pi}{2}}$$
(2.45)

よって,

$$I_{c1}I_{s2} = 2u_x \cos\phi \cdot jn\pi \ e^{j\frac{(m+n)\pi}{2}} \cdot \frac{\sin\left(u_x \cos\phi + \frac{m\pi}{2}\right)}{(u_x \cos\phi)^2 - (\frac{m\pi}{2})^2} \cdot \frac{\sin\left(u_y \sin\phi + \frac{n\pi}{2}\right)}{(u_y \sin\phi)^2 - (\frac{n\pi}{2})^2}$$
(2.46)

ここで,

$$\Psi_{mn}(\theta,\phi) \equiv \frac{\sin\left(u_x \cos\phi + \frac{m\pi}{2}\right)}{(u_x \cos\phi)^2 - (\frac{m\pi}{2})^2} \cdot \frac{\sin\left(u_y \sin\phi + \frac{n\pi}{2}\right)}{(u_y \sin\phi)^2 - (\frac{n\pi}{2})^2} j e^{j\frac{(m+n)\pi}{2}}$$

$$= \frac{\sin\left(u_x \cos\phi + \frac{m\pi}{2}\right)}{u_x \cos\phi - \frac{m\pi}{2}} \cdot \frac{\sin\left(u_y \sin\phi + \frac{n\pi}{2}\right)}{u_y \sin\phi - \frac{n\pi}{2}} e^{j\frac{(m+n+1)\pi}{2}} \tag{2.47}$$

とおくと,

$$I_{c1}I_{s2} = 2n\pi u_x \cos\phi \cdot \Psi_{mn}(\theta, \phi)$$
 (2.48)

同様にして,

$$I_{s1}I_{c2} = 2m\pi u_y \sin\phi \cdot \Psi_{mn}(\theta, \phi) \tag{2.49}$$

$$u_x\cos\phi+\frac{m\pi}{2}=0$$
 のとき,

$$\frac{\sin\left(u_x\cos\phi + \frac{m\pi}{2}\right)}{(u_x\cos\phi)^2 - (\frac{m\pi}{2})^2} = \frac{\sin\left(u_x\cos\phi + \frac{m\pi}{2}\right)}{(u_x\cos\phi + \frac{m\pi}{2})(u_x\cos\phi - \frac{m\pi}{2})}$$

$$= \frac{1}{u_x\cos\phi - \frac{m\pi}{2}} \tag{2.50}$$

また、 $u_x \cos \phi - \frac{m\pi}{2} = 0$ のとき、三角関数の積和公式

$$2\sin\alpha\cos\beta = \sin(\alpha + \beta) + \sin(\alpha - \beta)$$

$$2\cos\alpha\sin\beta = \sin(\alpha + \beta) - \sin(\alpha - \beta)$$

(2.51)

(2.52)

より,

$$\frac{\sin\left(u_x\cos\phi + \frac{m\pi}{2}\right)}{(u_x\cos\phi)^2 - (\frac{m\pi}{2})^2}$$

$$= \frac{2\cos(u_x\cos\phi)\sin(\frac{m\pi}{2}) + \sin\left(u_x\cos\phi - \frac{m\pi}{2}\right)}{(u_x\cos\phi + \frac{m\pi}{2})(u_x\cos\phi - \frac{m\pi}{2})}$$
(2.53)

ロピタルの定理より、上式は.

$$\frac{-2\sin(u_x\cos\phi)\sin(\frac{m\pi}{2})}{2u_x\cos\phi} + \frac{1}{u_x\cos\phi + \frac{m\pi}{2}}$$

$$= -\sin(u_x\cos\phi)\sin(\frac{m\pi}{2}) + \frac{1}{u_x\cos\phi + \frac{m\pi}{2}}$$
(2.54)

同様にして、 $u_y \sin \phi + \frac{n\pi}{2} = 0$ のとき、

$$\frac{\sin\left(u_y\sin\phi + \frac{n\pi}{2}\right)}{(u_y\sin\phi)^2 - (\frac{n\pi}{2})^2}
= \frac{\sin\left(u_y\sin\phi + \frac{n\pi}{2}\right)}{(u_y\sin\phi + \frac{n\pi}{2})(u_y\sin\phi - \frac{n\pi}{2})} = \frac{1}{u_y\sin\phi - \frac{n\pi}{2}}$$
(2.55)

また、 $u_y \sin \phi - \frac{n\pi}{2} = 0$ のとき、三角関数の積和公式より

$$\frac{\sin\left(u_y\sin\phi + \frac{n\pi}{2}\right)}{(u_y\sin\phi)^2 - (\frac{n\pi}{2})^2} = \frac{2\cos(u_y\sin\phi)\sin(\frac{n\pi}{2}) + \sin\left(u_y\sin\phi - \frac{n\pi}{2}\right)}{(u_y\sin\phi + \frac{n\pi}{2})(u_y\sin\phi - \frac{n\pi}{2})} \tag{2.56}$$

ロピタルの定理より、上式は、

これより.

$$\frac{-2\sin(u_y\sin\phi)\sin(\frac{n\pi}{2})}{2u_y\sin\phi} + \frac{1}{u_y\sin\phi + \frac{n\pi}{2}}$$

$$= -\operatorname{sinc}(u_y\sin\phi)\sin\left(\frac{n\pi}{2}\right) + \frac{1}{u_y\sin\phi + \frac{n\pi}{2}}$$

$$\bar{N}_{x[mn]} = A_{[mn]}\frac{n\pi a}{4}I_{c1}I_{s2}$$

$$n^2\pi^2au_x$$

$$= A_{[mn]} \frac{n^2 \pi^2 a u_x}{2} \cos \phi \ \Psi_{mn}(\theta, \phi)$$

$$\bar{N}_{y[mn]} = -A_{[mn]} \frac{m \pi b}{4} I_{s1} I_{c2}$$

$$= -A_{[mn]} \frac{m^2 \pi^2 b u_y}{2} \sin \phi \ \Psi_{mn}(\theta, \phi)$$
(2.58)

(2.57)

よって,

$$\bar{N}_{x[mn]}\cos\phi + \bar{N}_{y[mn]}\sin\phi
= A_{[mn]} \left(\frac{n^2\pi^2 a u_x}{2}\cos^2\phi - \frac{m^2\pi^2 b u_y}{2}\sin^2\phi\right)\Psi_{mn}(\theta,\phi)
= -A_{[mn]}\frac{\pi a^2 b^2}{2\lambda}\sin\theta \left\{ \left(\frac{m\pi}{a}\sin\phi\right)^2 - \left(\frac{n\pi}{b}\cos\phi\right)^2 \right\}\Psi_{mn}(\theta,\phi)$$
(2.60)

また,

$$\begin{split} & - \bar{N}_{x[mn]} \sin \phi + \bar{N}_{y[mn]} \cos \phi \\ &= A_{[mn]} \left(- \frac{n^2 \pi^2 a u_x}{2} \cos \phi \sin \phi - \frac{m^2 \pi^2 b u_y}{2} \sin \phi \cos \phi \right) \Psi_{mn}(\theta, \phi) \\ &= - A_{[mn]} \frac{\pi a^2 b^2}{2\lambda} \sin \theta \sin \phi \cos \phi \left\{ \left(\frac{m\pi}{a} \right)^2 + \left(\frac{n\pi}{b} \right)^2 \right\} \Psi_{mn}(\theta, \phi) \\ &= - A_{[mn]} \frac{\pi a^2 b^2 k_{c,[mn]}^2}{2\lambda} \sin \theta \sin \phi \cos \phi \ \Psi_{mn}(\theta, \phi) \end{split}$$

よって,方形導波管の TE_{mn} モードによる遠方放射電界 $m{E}_{p[mn]}$ は,

$$\boldsymbol{E}_{p[mn]} = \frac{j}{\lambda} \frac{e^{-jkr}}{r} \boldsymbol{F}_{[mn]}(\theta, \phi)$$
 (2.62)

(2.61)

ここで,

$$F_{[mn]}(\theta,\phi) = -A_{[mn]} \frac{\pi(ab)^{2}}{4\lambda} \sin\theta \ \Psi_{mn}(\theta,\phi) \sqrt{Z_{[mn]}}$$

$$\cdot \left[\left\{ 1 + \frac{\beta_{[mn]}}{k} \cos\theta + \Gamma \left(1 - \frac{\beta_{[mn]}}{k} \cos\theta \right) \right\} \right.$$

$$\cdot \left\{ \left(\frac{m\pi}{a} \sin\phi \right)^{2} - \left(\frac{n\pi}{b} \cos\phi \right)^{2} \right\} \boldsymbol{a}_{\theta}$$

$$+ \left\{ \cos\theta + \frac{\beta_{[mn]}}{k} + \Gamma \left(\cos\theta - \frac{\beta_{[mn]}}{k} \right) \right\}$$

$$\cdot k_{c,[mn]}^{2} \sin\phi \cos\phi \ \boldsymbol{a}_{\phi} \right]$$

$$(2.63)$$

反射を無視すると、 $\Gamma=0$ とおき、

$$\mathbf{F}_{[mn]}(\theta,\phi)\Big|_{\Gamma=0} = -A_{[mn]} \frac{\pi(ab)^{2}}{4\lambda} \sin\theta \ \Psi_{mn}(\theta,\phi) \sqrt{Z_{[mn]}}$$

$$\cdot \left[\left(1 + \frac{\beta_{[mn]}}{k} \cos\theta \right) \left\{ \left(\frac{m\pi}{a} \sin\phi \right)^{2} - \left(\frac{n\pi}{b} \cos\phi \right)^{2} \right\} \mathbf{a}_{\theta}$$

$$+ \left(\cos\theta + \frac{\beta_{[mn]}}{k} \right) k_{c,[mn]}^{2} \sin\phi \cos\phi \ \mathbf{a}_{\phi} \right]$$

$$(2.64)$$

さらに、低次のモードについて開口径が十分大きい場合、 $Z_{[mn]} \simeq Z_w$ 、 $\beta_{[mn]} \simeq k$ より、

$$\mathbf{E}_{p[mn]} = \frac{j}{\lambda} \frac{e^{-jkr}}{r} \mathbf{F}_{[mn]}(\theta, \phi)
\simeq \frac{j}{\lambda} \frac{e^{-jkr}}{r} \sqrt{Z_w} \frac{\mathbf{F}_{[mn]}(\theta, \phi)|_{\Gamma=0}}{\sqrt{Z_w}}
\simeq \frac{j}{\lambda} \frac{e^{-jkr}}{r} \sqrt{Z_w} \bar{\mathbf{F}}_{[mn]}(\theta, \phi)$$
(2.65)

ここで,

$$\frac{F_{[mn]}(\theta,\phi)|_{\Gamma=0}}{\sqrt{Z_w}} = -A_{[mn]} \frac{\pi(ab)^2}{4\lambda} \sin\theta \ \Psi_{mn}(\theta,\phi) \sqrt{\frac{Z_{[mn]}}{Z_w}} \\
\cdot \left[\left(1 + \frac{Z_w}{Z_{[mn]}} \cos\theta \right) \left\{ \left(\frac{m\pi}{a} \sin\phi \right)^2 - \left(\frac{n\pi}{b} \cos\phi \right)^2 \right\} \boldsymbol{a}_{\theta} \right. \\
+ \left. \left(\cos\theta + \frac{Z_w}{Z_{[mn]}} \right) k_{c,[mn]}^2 \sin\phi \cos\phi \ \boldsymbol{a}_{\phi} \right] \\
= -A_{[mn]} \frac{\pi(ab)^2}{4\lambda} \sin\theta \ \Psi_{mn}(\theta,\phi) \sqrt{\frac{k}{\beta_{[mn]}}} \\
\cdot \left[\left(1 + \frac{\beta_{[mn]}}{k} \cos\theta \right) \left\{ \left(\frac{m\pi}{a} \sin\phi \right)^2 - \left(\frac{n\pi}{b} \cos\phi \right)^2 \right\} \boldsymbol{a}_{\theta} \right. \\
+ \left. \left(\cos\theta + \frac{\beta_{[mn]}}{k} \right) k_{c,[mn]}^2 \sin\phi \cos\phi \ \boldsymbol{a}_{\phi} \right] \tag{2.66}$$

あるいは、自由空間の波動インピーダンス Z_w で規格化したモードの特性インピーダンス $z_{[mn]}$ 、規格化特性アドミタンス $y_{[mn]}$ を、

$$z_{[mn]} \equiv \frac{Z_{[mn]}}{Z_w} \equiv \frac{1}{y_{[mn]}}$$
 (2.67)

とおくと.

$$\frac{\mathbf{F}_{[mn]}(\theta,\phi)\Big|_{\Gamma=0}}{\sqrt{Z_w}} = -A_{[mn]} \frac{\pi(ab)^2}{4\lambda} \sin\theta \ \Psi_{mn}(\theta,\phi) \sqrt{z_{[mn]}}
\cdot \left[\left(1 + y_{[mn]} \cos\theta \right) \left\{ \left(\frac{m\pi}{a} \sin\phi \right)^2 - \left(\frac{n\pi}{b} \cos\phi \right)^2 \right\} \mathbf{a}_{\theta}
+ \left(\cos\theta + y_{[mn]} \right) k_{c,[mn]}^2 \sin\phi \cos\phi \ \mathbf{a}_{\phi} \right]$$
(2.68)

ここで、 TE_{mn} モード関数の正規化係数 $A_{[mn]}$ は、

$$A_{[mn]} = \frac{1}{\pi} \sqrt{\frac{ab\epsilon_m \epsilon_n}{(mb)^2 + (na)^2}} = \sqrt{\frac{\epsilon_m \epsilon_n}{ab}} \frac{1}{k_{c,[mn]}}$$
$$= \sqrt{\frac{\epsilon_m \epsilon_n}{ab}} \frac{\lambda_{c,[mn]}}{2\pi} = \frac{\sqrt{\epsilon_m \epsilon_n}}{2} \frac{\lambda_{c,[mn]}}{\pi \sqrt{ab}}$$
(2.69)

これより,

$$\frac{\mathbf{F}_{[mn]}(\theta,\phi)\Big|_{\Gamma=0}}{\sqrt{Z_w}} = -\frac{ab\sqrt{ab\epsilon_m\epsilon_n}}{4} \frac{\lambda_{c,[mn]}}{\lambda} \sin\theta \ \Psi_{mn}(\theta,\phi) \sqrt{z_{[mn]}} \\
\cdot \left[\frac{1+y_{[mn]}\cos\theta}{2} \left\{ \left(\frac{m\pi}{a}\sin\phi \right)^2 - \left(\frac{n\pi}{b}\cos\phi \right)^2 \right\} \mathbf{a}_{\theta} \\
+ \frac{\cos\theta + y_{[mn]}}{2} k_{c,[mn]}^2 \sin\phi\cos\phi \ \mathbf{a}_{\phi} \right] \tag{2.70}$$

また, $eta_{[mn]} \simeq k$ より,

$$\bar{\mathbf{F}}_{[mn]}(\theta,\phi) = -A_{[mn]} \frac{\pi(ab)^2}{4\lambda} \sin\theta \left(1 + \cos\theta\right) \Psi_{mn}(\theta,\phi)$$

$$\cdot \left[\left\{ \left(\frac{m\pi}{a}\sin\phi\right)^2 - \left(\frac{n\pi}{b}\cos\phi\right)^2 \right\} \mathbf{a}_{\theta} + \left\{ \left(\frac{m\pi}{a}\right)^2 + \left(\frac{n\pi}{b}\right)^2 \right\} \sin\phi\cos\phi \ \mathbf{a}_{\phi} \right]$$
(2.71)

次の直交する単位ベクトル

$$\mathbf{a}_{\theta} = \cos \phi \mathbf{a}_{\xi} + \sin \phi \mathbf{a}_{\eta}$$

$$\mathbf{a}_{\phi} = -\sin \phi \mathbf{a}_{\xi} + \cos \phi \mathbf{a}_{\eta}$$

$$(2.72)$$

$$(2.73)$$

を用いると.

$$\bar{F}_{[mn]}(\theta,\phi) = -A_{[mn]} \frac{\pi(ab)^2}{4\lambda} \sin\theta \left(1 + \cos\theta\right) \Psi_{mn}(\theta,\phi)
\cdot \left[\left\{ \left(\frac{m\pi}{a}\right)^2 \sin^2\phi - \left(\frac{n\pi}{b}\right)^2 \cos^2\phi \right\} \left(\cos\phi \boldsymbol{a}_{\xi} + \sin\phi \boldsymbol{a}_{\eta}\right) \right.
+ \left\{ \left(\frac{m\pi}{a}\right)^2 + \left(\frac{n\pi}{b}\right)^2 \right\} \sin\phi \cos\phi \left(-\sin\phi \boldsymbol{a}_{\xi} + \cos\phi \boldsymbol{a}_{\eta}\right) \right]
= -A_{[mn]} \frac{\pi(ab)^2}{2\lambda} \frac{1 + \cos\theta}{2} \sin\theta \Psi_{mn}(\theta,\phi)
\cdot \left\{ -\left(\frac{n\pi}{b}\right)^2 \cos\phi \boldsymbol{a}_{\xi} + \left(\frac{m\pi}{a}\right)^2 \sin\phi \boldsymbol{a}_{\eta} \right\}
= \frac{ab\sqrt{ab\epsilon_m\epsilon_n}}{4} \frac{\lambda_{c,[mn]}}{\lambda} \frac{1 + \cos\theta}{2} \sin\theta \Psi_{mn}(\theta,\phi)
\cdot \left\{ \left(\frac{n\pi}{b}\right)^2 \cos\phi \boldsymbol{a}_{\xi} - \left(\frac{m\pi}{a}\right)^2 \sin\phi \boldsymbol{a}_{\eta} \right\} \tag{2.74}$$

2.3 方形 TE モードによる放射特性の例

2.3.1 方形 TE_{0n} モード (m=0) による遠方界

 TE_{0n} モードのとき, m=0 とおいて,

$$\frac{\mathbf{F}_{[0n]}(\theta,\phi)\Big|_{\Gamma=0}}{\sqrt{Z_w}} = -\frac{ab\sqrt{ab\epsilon_0\epsilon_n}}{4} \frac{\lambda_{c,[0n]}}{\lambda} \sin\theta \ \Psi_{0n}(\theta,\phi) \sqrt{z_{[0n]}}$$

$$\cdot \left[\frac{1+y_{[0n]}\cos\theta}{2} \left\{ \left(\frac{0\pi}{a}\sin\phi \right)^2 - \left(\frac{n\pi}{b}\cos\phi \right)^2 \right\} \mathbf{a}_{\theta}$$

$$+ \frac{\cos\theta + y_{[0n]}}{2} k_{c,[0n]}^2 \sin\phi\cos\phi \ \mathbf{a}_{\phi} \right] \tag{2.75}$$

ここで,

$$k_{c,[0n]} = \frac{n\pi}{b} (2.76)$$

$$\lambda_{c,[0n]} = \frac{2\pi}{k_{c,[0n]}} = 2\pi \frac{b}{n\pi} = \frac{2b}{n} \tag{2.77}$$

$$\epsilon_0 = 1, \quad \epsilon_{n(\neq 0)} = 2 \tag{2.78}$$

また,

$$\Psi_{0n}(\theta,\phi) = \frac{\operatorname{sinc}(u_x \cos \phi)}{u_x \cos \phi} \cdot \frac{\operatorname{sinc}(u_y \sin \phi + \frac{n\pi}{2})}{u_y \sin \phi - \frac{n\pi}{2}} e^{j\frac{(n+1)\pi}{2}}$$
(2.79)

$$e^{j\frac{(n+1)\pi}{2}} = e^{j\frac{n\pi}{2}}e^{j\frac{\pi}{2}} = je^{j\frac{n\pi}{2}} = j\cos\frac{n\pi}{2} - \sin\frac{n\pi}{2}$$
 (2.80)

ここで,

$$u_x = \frac{\pi a}{\lambda} \sin \theta \tag{2.81}$$

より,

$$\Psi_{0n}(\theta,\phi) = \frac{\lambda}{\pi a} \frac{\operatorname{sinc}(u_x \cos \phi)}{u_x \cos \phi} \Phi_{y,n}$$
(2.82)

$$\Phi_{y,n} \equiv \frac{\operatorname{sinc}\left(u_y \sin \phi + \frac{n\pi}{2}\right)}{u_y \sin \phi - \frac{n\pi}{2}} e^{j\frac{(n+1)\pi}{2}} \tag{2.83}$$

これらより,

$$\frac{F_{[0n]}(\theta,\phi)\Big|_{\Gamma=0}}{\sqrt{Z_w}} = -\frac{ab\sqrt{ab\cdot 2}}{4} \frac{n\pi}{b} \frac{1}{\lambda} \sin\theta \frac{\lambda}{\pi a} \frac{\sin(u_x \cos\phi)}{u_x \cos\phi} \Phi_{y,n} \sqrt{z_{[0n]}} \\
\cdot \left(\frac{n\pi}{b}\right)^2 \left[\frac{1+y_{[0n]}\cos\theta}{2} (-\cos^2\phi) \mathbf{a}_{\theta} + \frac{\cos\theta+y_{[0n]}}{2} \sin\phi\cos\phi \ \mathbf{a}_{\phi}\right] \tag{2.84}$$

整理して,

$$\frac{\mathbf{F}_{[0n]}(\theta,\phi)\Big|_{\Gamma=0}}{\sqrt{Z_w}} = \frac{n\pi\sqrt{ab}}{\sqrt{2}}\operatorname{sinc}(u_x\cos\phi)\Phi_{y,n}\sqrt{z_{[0n]}} \\
\cdot \left(\frac{1+y_{[0n]}\cos\theta}{2}\cos\phi\ \mathbf{a}_{\theta} - \frac{y_{[0n]}+\cos\theta}{2}\sin\phi\ \mathbf{a}_{\phi}\right) \tag{2.85}$$

開口径が十分大きい場合, $z_{[0n]}\simeq 1$, $y_{[0n]}\simeq 1$ と近似して,

$$\bar{\mathbf{F}}_{[0n]}(\theta,\phi) = \frac{n\pi\sqrt{ab}}{\sqrt{2}} \frac{1+\cos\theta}{2} \operatorname{sinc}\left(u_x\cos\phi\right)$$

$$\cdot \frac{\sin\left(u_y\sin\phi + \frac{n\pi}{2}\right)}{(u_y\sin\phi)^2 - \frac{n^2\pi^2}{4}} e^{j\frac{(n+1)\pi}{2}} \mathbf{a}_{\xi}$$
(2.86)

ここで,

正面方向 $(\theta=0, \phi=0)$ では、

より、n が偶数の場合、正面でヌルになる。また、n が奇数の場合。

 $\bar{\mathbf{F}}_{[0n]}(0,0) = \frac{2\sqrt{2ab}}{2ab}\mathbf{a}_x$

 $\sin\frac{n\pi}{2}e^{j\frac{(n+1)\pi}{2}} = \sin\frac{n\pi}{2}\left(j\cos\frac{n\pi}{2} - \sin\frac{n\pi}{2}\right)$

 $G_{[0n]}\Big|_{\theta=0} = 4\pi \frac{ab}{\lambda^2} \left| \frac{2\sqrt{2}}{n\pi} \right|^2 = 4\pi \frac{ab}{\lambda^2} \cdot \frac{8}{n^2\pi^2}$

 $\mathbf{a}_{\varepsilon} = \cos \phi \mathbf{a}_{\theta} - \sin \phi \mathbf{a}_{\phi}$

 $\bar{\mathbf{F}}_{[0n]}(0,0) = \frac{n\pi\sqrt{ab}}{\sqrt{2}} \cdot 1 \cdot 1 \cdot \frac{\sin\left(\frac{n\pi}{2}\right)}{-\frac{n^2\pi^2}{2}} e^{j\frac{(n+1)\pi}{2}} \mathbf{a}_x$

 $=-\left(\sin\frac{n\pi}{2}\right)^2=-1\text{(odd)},\ 0\text{(even)}$

(2.87)

(2.88)

(2.89)

(2.90)

(2.91)

ここで,

2.3.2 方形 TE_{01} モード (m=0, n=1) による遠方界

 TE_{01} モードのとき, m=0, n=1 とおいて,

$$A_{[01]} = \frac{1}{\pi} \sqrt{\frac{2b}{a}} \tag{2.92}$$

$$\bar{\mathbf{F}}_{[01]}(\theta,\phi) = -\frac{\pi\sqrt{ab}}{\sqrt{2}} \frac{1+\cos\theta}{2}\operatorname{sinc}(u_x\cos\phi) \frac{\cos(u_y\sin\phi)}{(u_y\sin\phi)^2 - \frac{\pi^2}{4}} \mathbf{a}_{\xi}$$
(2.93)

E面は $\phi = 0$ のときで、 $\sin \phi = 0$ 、 $\cos \phi = 1$ より、

$$\bar{\mathbf{F}}_{[01]}(\theta,0) = \frac{2\sqrt{2ab}}{\pi} \frac{1 + \cos\theta}{2} \operatorname{sinc}(u_x) \mathbf{a}_x \tag{2.94}$$

一方、H面は $\phi = \pi/2$ のときで、 $\sin \phi = 1$ 、 $\cos \phi = 0$ より、

$$\bar{\mathbf{F}}_{[01]}(\theta, \pi/2) = -\frac{\pi\sqrt{ab}}{\sqrt{2}} \frac{1 + \cos\theta}{2} \frac{\cos(u_y)}{u_y^2 - \frac{\pi^2}{4}} \mathbf{a}_x$$
 (2.95)

方形 TE_{m0} モード (n=0) による遠方界

同様にして、 TE_{m0} モードのとき、n=0 とおいて、

$$\frac{\mathbf{F}_{[m0]}(\theta,\phi)\Big|_{\Gamma=0}}{\sqrt{Z_w}} = -\frac{ab\sqrt{ab\epsilon_0\epsilon_n}}{4} \frac{\lambda_{c,[m0]}}{\lambda} \sin\theta \ \Psi_{m0}(\theta,\phi) \sqrt{z_{[m0]}}$$

$$\cdot \left[\frac{1+y_{[m0]}\cos\theta}{2} \left\{ \left(\frac{m\pi}{a}\sin\phi \right)^2 - \left(\frac{0\pi}{b}\cos\phi \right)^2 \right\} \mathbf{a}_{\theta}$$

$$+\frac{\cos\theta + y_{[m0]}}{2} k_{c,[0n]}^2 \sin\phi\cos\phi \ \mathbf{a}_{\phi} \right] \tag{2.96}$$

ここで,

$$k_{c,[m0]} = \frac{m\pi}{a}$$
 (2.97)

$$k_{c,[m0]} = \frac{m\pi}{a}$$

$$\lambda_{c,[m0]} = \frac{2\pi}{k_{c,[m0]}} = 2\pi \frac{a}{m\pi} = \frac{2a}{m}$$
(2.97)
$$(2.98)$$

$$\epsilon_0 = 1, \quad \epsilon_{m(\neq 0)} = 2 \tag{2.99}$$

また,

$$\Psi_{m0}(\theta,\phi) = \frac{\operatorname{sinc}\left(u_x \cos\phi + \frac{m\pi}{2}\right)}{u_x \cos\phi - \frac{m\pi}{2}} \cdot \frac{\operatorname{sinc}\left(u_y \sin\phi\right)}{u_y \sin\phi} e^{j\frac{(m+1)\pi}{2}}$$
(2.100)

ここで,

$$u_y = \frac{\pi b}{\lambda} \sin \theta \tag{2.101}$$

より,

$$\Psi_{m0}(\theta,\phi) = \frac{\lambda}{\pi b} \frac{\sin(u_y \sin \phi)}{u_y \sin \phi} \Phi_{x,n}$$

$$\Phi_{x,n} \equiv \frac{\sin(u_x \cos \phi + \frac{m\pi}{2})}{u_x \cos \phi + \frac{m\pi}{2}} e^{j\frac{(m+1)\pi}{2}}$$
(2.102)

これらより,

$$\frac{\boldsymbol{F}_{[m0]}(\theta,\phi)\Big|_{\Gamma=0}}{\sqrt{Z_w}} = -\frac{ab\sqrt{ab\cdot 2}}{4} \frac{m\pi}{a} \frac{1}{\lambda} \sin\theta \frac{\lambda}{\pi b} \frac{\sin(u_y \sin\phi)}{u_y \sin\phi} \Phi_{x,n} \sqrt{z_{[m0]}} \\
\cdot \left(\frac{m\pi}{a}\right)^2 \left[\frac{1+y_{[m0]}\cos\theta}{2} \sin^2\phi \boldsymbol{a}_{\theta} + \frac{\cos\theta+y_{[m0]}}{2} \sin\phi\cos\phi \,\boldsymbol{a}_{\phi}\right] \tag{2.104}$$

整理して,

$$\frac{\mathbf{F}_{[m0]}(\theta,\phi)\Big|_{\Gamma=0}}{\sqrt{Z_w}} = -\frac{m\pi\sqrt{ab}}{\sqrt{2}}\operatorname{sinc}(u_y\sin\phi)\Phi_{x,n}\sqrt{z_{[m0]}} \\
\cdot \left(\frac{1+y_{[m0]}\cos\theta}{2}\sin\phi\ \mathbf{a}_\theta + \frac{y_{[m0]}+\cos\theta}{2}\cos\phi\ \mathbf{a}_\phi\right) \tag{2.105}$$

開口径が十分大きい場合, $z_{[m0]}\simeq 1$, $y_{[m0]}\simeq 1$ と近似して,

$$\bar{\mathbf{F}}_{[m0]}(\theta,\phi) = -\frac{m\pi\sqrt{ab}}{\sqrt{2}} \frac{1+\cos\theta}{2} \operatorname{sinc}(u_y \sin\phi) \cdot \frac{\sin\left(u_x \cos\phi + \frac{m\pi}{2}\right)}{(u_x \cos\phi)^2 - \frac{m^2\pi^2}{4}} e^{j\frac{(m+1)\pi}{2}} \mathbf{a}_{\eta}$$
 (2.106)

ここで,

$$\mathbf{a}_{\eta} = \sin \phi \mathbf{a}_{\theta} + \cos \phi \mathbf{a}_{\phi} \tag{2.107}$$

正面方向 $(\theta = 0, \phi = 0)$ では、n が偶数の場合、正面でヌルになる。また、n が奇数の場合、

$$\bar{\mathbf{F}}_{[m0]}(0,0) = -\frac{2\sqrt{2ab}}{m\pi} \mathbf{a}_y \tag{2.108}$$

$$G_{[m0]}\Big|_{\theta=0} = 4\pi \frac{ab}{\lambda^2} \left| \frac{2\sqrt{2}}{m\pi} \right|^2 = 4\pi \frac{ab}{\lambda^2} \cdot \frac{8}{m^2\pi^2}$$
 (2.109)

2.3.4 方形 TE_{10} モード (m=1, n=0) による遠方界

 TE_{10} モードのとき,m = 1,n = 0 とおいて,

$$\bar{\mathbf{F}}_{[10]}(\theta,\phi) = -\frac{\pi\sqrt{ab}}{\sqrt{2}} \frac{1 + \cos\theta}{2} \frac{\cos(u_x\cos\phi)}{(u_x\cos\phi)^2 - \frac{\pi^2}{4}} \operatorname{sinc}(u_y\sin\phi) \mathbf{a}_{\eta}$$
 (2.110)

E面は $\phi = \pi/2$ のときで、 $\sin \phi = 1$ 、 $\cos \phi = 0$ より、

$$\bar{\mathbf{F}}_{[10]}(\theta, \pi/2) = \frac{2\sqrt{2ab}}{\pi} \frac{1 + \cos\theta}{2} \operatorname{sinc}(u_y) \mathbf{a}_y$$
 (2.111)

一方、H面は $\phi = 0$ のときで、 $\sin \phi = 0$ 、 $\cos \phi = 1$ より、

$$\bar{\mathbf{F}}_{[10]}(\theta,0) = -\frac{\pi\sqrt{ab}}{\sqrt{2}} \frac{1 + \cos\theta}{2} \frac{\cos(u_x)}{u_x^2 - \frac{\pi^2}{2}} \mathbf{a}_y$$
 (2.112)

2.3.5 ピーク利得

 TE_{01} モードのピーク利得 $G_{[01]}$ は,

$$G_{[01]}\Big|_{\theta=0} = 4\pi \frac{ab}{\lambda^2} \left| \frac{2\sqrt{2}}{\pi} \right|^2 = 4\pi \frac{ab}{\lambda^2} \cdot \frac{8}{\pi^2}$$
 (2.113)

また, TE_{10} モードのピーク利得 $G_{[10]}$ は,

$$G_{[10]}\Big|_{\theta=0} = 4\pi \frac{ab}{\lambda^2} \left| \frac{2\sqrt{2}}{\pi} \right|^2 = 4\pi \frac{ab}{\lambda^2} \cdot \frac{8}{\pi^2} = G_{[01]}\Big|_{\theta=0}$$
 (2.114)

2.4 方形 TE_{mn} モードによるフレネル領域の放射界

積分項が $t_x \neq 0$ のとき,

$$I_{s1} \equiv \int_{-1}^{1} \sin \frac{m\pi}{2} (\bar{x} + 1) e^{j\bar{x}u_x \cos \phi} e^{-j2\pi t_x \bar{x}^2} d\bar{x}$$
 (2.115)

$$I_{c1} \equiv \int_{-1}^{1} \cos \frac{m\pi}{2} (\bar{x} + 1) e^{j\bar{x}u_x \cos \phi} e^{-j2\pi t_x \bar{x}^2} d\bar{x}$$
 (2.116)

また, $t_y \neq 0$ のとき,

$$I_{s2} \equiv \int_{-1}^{1} \sin \frac{n\pi}{2} (\bar{y} + 1) e^{j\bar{y}u_y \cos \phi} e^{-j2\pi t_y \bar{y}^2} d\bar{y}$$
 (2.117)

$$I_{c2} \equiv \int_{-1}^{1} \cos \frac{n\pi}{2} (\bar{y} + 1) e^{j\bar{y}u_y \sin \phi} e^{-j2\pi t_y \bar{y}^2} d\bar{y}$$
 (2.118)

上式は,次の不定積分が計算できればよい.

$$I_s = \int \sin B(v+1)e^{Av}e^{-j\frac{\pi}{2}Cv^2}dv$$
 (2.119)

$$I_c = \int \cos B(v+1)e^{Av}e^{-j\frac{\pi}{2}Cv^2}dv$$
 (2.120)

2.4.1 フレネル積分

フレネル積分S(x), C(x) は,

$$S(x) = \int_0^x \sin\left(\frac{\pi}{2}t^2\right) dt = \sqrt{\frac{2}{\pi}} \int_0^{\sqrt{\frac{\pi}{2}}x} \sin(t^2) dt$$
 (2.121)

$$C(x) = \int_0^x \cos\left(\frac{\pi}{2}t^2\right) dt = \sqrt{\frac{2}{\pi}} \int_0^{\sqrt{\frac{\pi}{2}}x} \cos(t^2) dt$$
 (2.122)

不定積分を変形して,

C(x), S(x) $I_s = \int \sin B(v+1)e^{Av}e^{-j\frac{\pi}{2}Cv^2}dv$

 $= \frac{e^{jB}}{j2} \int e^{(A+jB)v} e^{-j\frac{\pi}{2}Cv^2} dv - \frac{e^{-jB}}{i2} \int e^{(A-jB)v} e^{-j\frac{\pi}{2}Cv^2} dv$

(2.123)

 $= \frac{1}{i2} \int \left(e^{jB(v+1)} - e^{-jB(v+1)} \right) e^{Av} e^{-j\frac{\pi}{2}Cv^2} dv$

 $\int Av -i\frac{\pi}{2}Cv^2 dx$

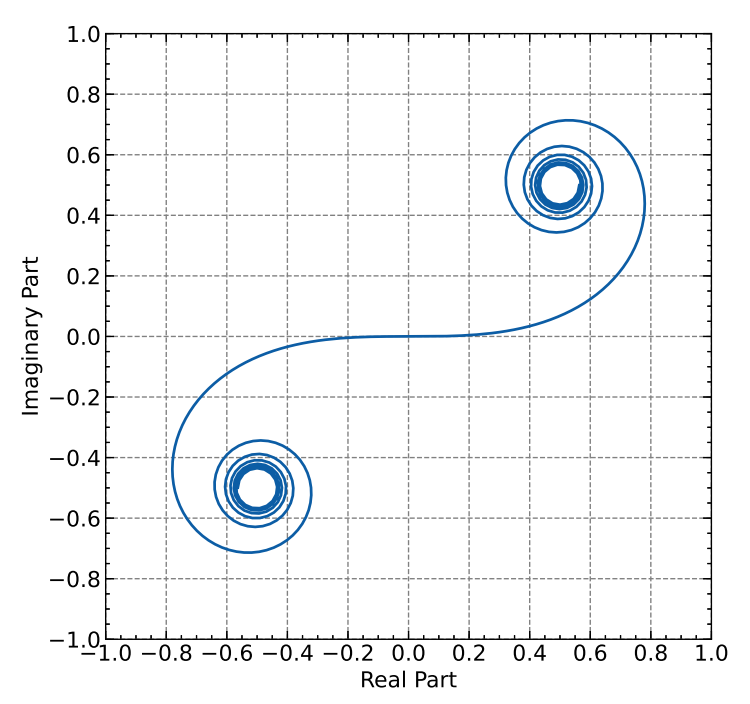


図 2.2.
$$\int_0^x e^{j\frac{\pi}{2}t^2} dt = C(x) + jS(x)$$
 (Cornuのらせん)

いま, $jA_i \equiv A \pm jB \ (i = 1, 2)$ とおくと,

$$I_s = \frac{e^{jB}}{j2} \int e^{jA_1 v} e^{-j\frac{\pi}{2}Cv^2} dv - \frac{e^{-jB}}{j2} \int e^{jA_2 v} e^{-j\frac{\pi}{2}Cv^2} dv$$
 (2.125)

積分項をまとめると,

$$\int e^{jA_i v} e^{-j\frac{\pi}{2}Cv^2} dv = \int e^{j(A_i v - \frac{\pi}{2}Cv^2)} dv \equiv \int e^{j\Theta_i(v)} dv$$
 (2.127)

位相項 $\Theta_i(v)$ を変形して,

$$\Theta_{i}(v) = A_{i}v - \frac{\pi}{2}Cv^{2}
= -\frac{\pi}{2}\left(Cv^{2} - \frac{2}{\pi}A_{i}v\right)
= -\frac{\pi}{2}\left\{\left(\sqrt{C}v - \frac{A_{i}}{\pi\sqrt{C}}\right)^{2} - \frac{A_{i}^{2}}{\pi^{2}C}\right\}
= -\frac{\pi}{2}\left(\sqrt{C}v - \frac{A_{i}}{\pi\sqrt{C}}\right)^{2} + \frac{A_{i}^{2}}{2\pi C}$$
(2.128)

ここで,

$$t_i(v) \equiv \sqrt{C}v - \frac{A_i}{\pi\sqrt{C}} \tag{2.129}$$

とおくと,

$$dt_i = \sqrt{C}dv \tag{2.130}$$

積分範囲は,

$$t_i(\mp 1) = \mp \sqrt{C} - \frac{A_i}{\pi \sqrt{C}} \equiv t_{i\mp} \tag{2.131}$$

これより積分項は,

$$\int_{-1}^{1} e^{j\Theta_{i}(v)} dv = \int_{t_{i-}}^{t_{i+}} e^{-j\frac{\pi}{2}t_{i}^{2}} e^{j\frac{A_{i}^{2}}{2\pi C}} \frac{dt_{i}}{\sqrt{C}}$$

$$= \frac{e^{j\frac{A_{i}^{2}}{2\pi C}}}{\sqrt{C}} \int_{t_{i-}}^{t_{i+}} e^{-j\frac{\pi}{2}t_{i}^{2}} dt_{i} \qquad (2.132)$$

よって,

$$\int_{t_{i-}}^{t_{i+}} e^{-j\frac{\pi}{2}t_i^2} dt_i = \int_{t_{i-}}^{t_{i+}} \cos\left(\frac{\pi}{2}t_i^2\right) dt_i - j \int_{t_{i-}}^{t_{i+}} \sin\left(\frac{\pi}{2}t_i^2\right) dt_i
= C(t_{i+}) - C(t_{i-}) - j\{S(t_{i+}) - S(t_{i-})\}$$
(2.133)

いま,

$$v \to \bar{x}, \quad A \to ju_x \cos \phi, \quad B \to \frac{m\pi}{2}, \quad C \to 4t_x$$

とすると $(iA_i \equiv A \pm iB \ (i=1,2))$,

$$b \in (jA_i \equiv A \pm jB \; (i=1,2))$$

$$t_{1\mp} = 7$$

$$t_{1\mp} = \mp \sqrt{}$$

$$= \mp \sqrt{C} - \frac{\pi \sqrt{C}}{\pi \sqrt{C}}$$

$$= \mp \sqrt{C} - \frac{-\jmath A + B}{\pi \sqrt{C}}$$

$$= \frac{1}{2} \sqrt{C} \quad u_x \cos \phi - \frac{1}{2} \sqrt{C}$$

$$= \mp \sqrt{C} - \frac{3T + 2}{\pi \sqrt{C}}$$

$$= \mp 2\sqrt{t_x} - \frac{u_x \cos \phi + \frac{m\pi}{2}}{2\pi \sqrt{t_x}}$$

$$t_{1\mp} = \mp \sqrt{C} - \frac{A_1}{\pi \sqrt{C}}$$
$$= \mp \sqrt{C} - \frac{-jA + B}{\pi \sqrt{C}}$$

$$t_{1\mp} = \mp \sqrt{C}$$

$$\sqrt{C}$$
 $jA + B$

$$\frac{C}{A+B}$$

$$\frac{B}{\overline{S}}$$

$$_{\perp}$$
 $m\pi$

$$\frac{\cos\phi + \frac{m\pi}{2}}{2\pi\sqrt{t_x}}$$

$$t_{2\mp} = \mp \sqrt{C} - \frac{A_2}{\pi \sqrt{C}}$$

$$= \mp \sqrt{C} - \frac{\pi \sqrt{C}}{\pi \sqrt{C}}$$

$$\frac{A - B}{\pi \sqrt{C}}$$

(2.135)

$$= \mp \sqrt{C} - \frac{JT}{\pi\sqrt{C}}$$

$$= \mp 2\sqrt{t_x} - \frac{u_x \cos \phi - \frac{m\pi}{2}}{2\pi\sqrt{t_x}}$$

$$2\pi\sqrt{t_x}$$

$$\frac{+\frac{m\pi}{2})^2}{x}$$

$$\frac{e^{j\frac{A_1^2}{2\pi C}}}{\sqrt{C}} = \frac{1}{2\sqrt{t_x}}e^{j\frac{(u_x\cos\phi + \frac{m\pi}{2})^2}{8\pi t_x}}$$
$$\frac{e^{j\frac{A_2^2}{2\pi C}}}{\sqrt{C}} = \frac{1}{2\sqrt{t_x}}e^{j\frac{(u_x\cos\phi - \frac{m\pi}{2})^2}{8\pi t_x}}$$

(2.137)

$$t_{2\mp}=\mp \gamma$$

同様にして.

 $v \to \bar{y}, \quad A \to j u_y \sin \phi, \quad B \to \frac{n\pi}{2}, \quad C \to 4t_y$

として.

$$t'_{1\mp} = \mp 2\sqrt{t_y} - \frac{u_y \sin \phi + \frac{n\pi}{2}}{2\pi\sqrt{t_y}}$$

$$t'_{2\mp} = \mp 2\sqrt{t_y} - \frac{u_y \sin \phi - \frac{n\pi}{2}}{2\pi\sqrt{t_y}}$$
(2.138)

$$t'_{2\mp} = \mp 2\sqrt{t_y} - \frac{u_y \sin \phi - \frac{n\pi}{2}}{2\pi\sqrt{t_y}}$$
 (2.139)

このとき.

$$\frac{e^{j\frac{A_1^2}{2\pi C}}}{\sqrt{C}} = \frac{1}{2\sqrt{t_y}} e^{j\frac{(u_y \sin\phi + \frac{n\pi}{2})^2}{8\pi t_y}}$$
(2.140)

$$\frac{e^{j\frac{A_2^2}{2\pi C}}}{\sqrt{C}} = \frac{1}{2\sqrt{t_y}} e^{j\frac{(u_y \sin\phi - \frac{n\pi}{2})^2}{8\pi t_y}}$$
(2.141)

 $I_{s1} = \frac{e^{jB}}{i2} \int_{-1}^{1} e^{j\Theta_1 \bar{x}} d\bar{x} - \frac{e^{-jB}}{i2} \int_{-1}^{1} e^{j\Theta_2 \bar{x}} d\bar{x}$

 $= \frac{1}{i4\sqrt{t_x}} \left(e^{j\frac{m\pi}{2}} e^{j\frac{(u_x\cos\phi + \frac{m\pi}{2})^2}{8\pi t_x}} \int_{t}^{t_1+} e^{-j\frac{\pi}{2}t^2} dt \right)$

 $=\frac{1}{i4\sqrt{t_m}}$

 $=\frac{1}{4\sqrt{t}}$

 $-e^{-j\frac{m\pi}{2}}e^{j\frac{(u_x\cos\phi-\frac{m\pi}{2})^2}{8\pi t_x}}\int^{t_{2+}}e^{-j\frac{\pi}{2}t^2}dt$

 $I_{c1} = \frac{e^{jB}}{2} \int_{-1}^{1} e^{j\Theta_1 \bar{x}} d\bar{x} + \frac{e^{jB}}{2} \int_{-1}^{1} e^{j\Theta_2 \bar{x}} d\bar{x}$

 $\cdot \left(e^{j\frac{m\pi}{2}} e^{j\frac{(u_x\cos\phi + \frac{m\pi}{2})^2}{8\pi t_x}} \left[C(t_{1+}) - C(t_{1-}) - j\{S(t_{1+}) - S(t_{1-})\} \right]$

 $\cdot \left(e^{j\frac{m\pi}{2}} e^{j\frac{(u_x\cos\phi + \frac{m\pi}{2})^2}{8\pi t_x}} \left[C(t_{1+}) - C(t_{1-}) - j\{S(t_{1+}) - S(t_{1-})\} \right]$

 $-e^{-j\frac{m\pi}{2}}e^{j\frac{(u_x\cos\phi-\frac{m\pi}{2})^2}{8\pi t_x}}\Big[C(t_{2+})-C(t_{2-})-j\{S(t_{2+})-S(t_{2-})\}\Big]\Big) (2.142)$

同様にして,

$$I_{s2} = \frac{1}{j4\sqrt{t_y}}$$

$$\cdot \left(e^{j\frac{n\pi}{2}}e^{j\frac{(u_y\sin\phi + \frac{n\pi}{2})^2}{8\pi t_y}} \left[C(t'_{1+}) - C(t'_{1-}) - j\left\{S(t'_{1+}) - S(t'_{1-})\right\}\right]$$

$$-e^{-j\frac{n\pi}{2}}e^{j\frac{(u_y\cos\phi - \frac{n\pi}{2})^2}{8\pi t_y}} \left[C(t'_{2+}) - C(t'_{2-}) - j\left\{S(t'_{2+}) - S(t'_{2-})\right\}\right]\right) \quad (2.144)$$

$$I_{c2} = \frac{1}{4\sqrt{t_y}}$$

$$\cdot \left(e^{j\frac{n\pi}{2}}e^{j\frac{(u_y\sin\phi + \frac{n\pi}{2})^2}{8\pi t_y}} \left[C(t'_{1+}) - C(t'_{1-}) - j\left\{S(t'_{1+}) - S(t'_{1-})\right\}\right]$$

$$+e^{-j\frac{n\pi}{2}}e^{j\frac{(u_y\sin\phi - \frac{n\pi}{2})^2}{8\pi t_y}} \left[C(t'_{2+}) - C(t'_{2-}) - j\left\{S(t'_{2+}) - S(t'_{2-})\right\}\right]\right) \quad (2.145)$$

ここで,

$$\bar{\mathbf{F}}_{[mn]} = \frac{1 + \cos \theta}{2} \left(\bar{N}_{x[mn]} \mathbf{a}_{\xi} + \bar{N}_{y[mn]} \mathbf{a}_{\eta} \right)
= A_{[mn]} \frac{ab}{4} \frac{1 + \cos \theta}{2} \left(\frac{n\pi}{b} I_{c1} I_{s2} \mathbf{a}_{\xi} + \frac{m\pi}{a} I_{s1} I_{c2} \mathbf{a}_{\eta} \right)$$
(2.146)

また,

$$\bar{N}_{x[mn]} = A_{[mn]} \frac{n\pi a}{4} I_{c1} I_{s2} \tag{2.147}$$

$$\bar{N}_{y[mn]} = -A_{[mn]} \frac{m\pi b}{4} I_{s1} I_{c2}$$
 (2.148)

2.5 方形 TM_{mn} モードによる放射

方形導波管の TM_{mn} モードの電界のモード関数 $e_{(mn)}$ は,

$$e_{(mn)} = -A_{(mn)} \left[\frac{m\pi}{a} \cos \left(\frac{m\pi x}{a} \right) \sin \left(\frac{n\pi y}{b} \right) \boldsymbol{a}_{x} \right]$$

$$+ \frac{n\pi}{b} \sin \left(\frac{m\pi x}{a} \right) \cos \left(\frac{n\pi y}{b} \right) \boldsymbol{a}_{y}$$

$$= -A_{(mn)} \left[\frac{m\pi}{a} \cos \frac{m\pi}{2} (\bar{x} + 1) \sin \frac{n\pi}{2} (\bar{y} + 1) \boldsymbol{a}_{x} \right]$$

$$+ \frac{n\pi}{b} \sin \frac{m\pi}{2} (\bar{x} + 1) \cos \frac{n\pi}{2} (\bar{y} + 1) \boldsymbol{a}_{y}$$

$$(2.149)$$

ここで、正規化係数 $A_{(mn)}$ は、

$$A_{(mn)} = \frac{2}{\pi} \sqrt{\frac{ab}{(mb)^2 + (na)^2}}$$

$$= 2\sqrt{\frac{\frac{1}{ab}}{(\frac{m\pi}{a})^2 + (\frac{n\pi}{b})^2}}$$

$$= \frac{2}{\sqrt{ab}k}$$
(2.150)

これより.

$$ar{N}_{x(mn)}=-A_{(mn)}rac{m\pi b}{4}I_{c1}I_{s2}$$

$$ar{N}_{y(mn)}=-A_{(mn)}rac{n\pi a}{4}I_{s1}I_{c2}$$

したがって(導出省略).

$$\boldsymbol{E}_{p(mn)} = rac{j}{\lambda} \; rac{e^{-jkr}}{r} \boldsymbol{F}_{(mn)}(\theta, \phi)$$

$$\bar{N}_{x(mn)} = -A_{(mn)} \frac{mn\pi^2 b u_x}{2} \cos \phi \ \Psi_{mn}(\theta, \phi)$$

$$u_y \sin \phi \Psi \quad (\theta, \phi)$$

$$\bar{N}_{y(mn)} = -A_{(mn)} \frac{mn\pi^2 a u_y}{2} \sin \phi \ \Psi_{mn}(\theta, \phi)$$

$$\frac{1}{2}$$
 $\sin \varphi \Psi_{mn}(v,\varphi)$

$$\bar{N}_{x(mn)}\cos\phi + \bar{N}_{y(mn)}\sin\phi = -A_{(mn)}\frac{mn\pi^3ab}{2\lambda}\sin\theta\ \Psi_{mn}(\theta,\phi)$$

$$\phi$$
) (2.155) (2.156)

 $-\bar{N}_{x(mn)}\sin\phi + N_{y(mn)}\cos\phi = 0$

$$\mathbf{E}_{p(mn)} = \frac{j}{\lambda} \frac{e^{-jkr}}{r} \mathbf{F}_{(mn)}(\theta, \phi)$$

(2.151)

(2.152)

(2.153)

(2.154)

$$\mathbf{F}_{(mn)}(\theta,\phi) = -A_{(mn)} \frac{mn\pi^3 ab}{4\lambda} \sin\theta \ \Psi_{mn}(\theta,\phi) \sqrt{Z_{(mn)}}$$

$$\cdot \left\{ 1 + \frac{k}{\beta_{(mn)}} \cos\theta + \Gamma \left(1 - \frac{k}{\beta_{(mn)}} \cos\theta \right) \right\} \mathbf{a}_{\theta}$$
 (2.158)

(2.160)

反射を無視すると、 $\Gamma = 0$ とおき、

$$\left. \boldsymbol{F}_{(mn)}(\theta,\phi) \right|_{\Gamma=0} = -A_{(mn)} \frac{mn\pi^3 ab}{4\lambda} \sin\theta \ \Psi_{mn}(\theta,\phi) \sqrt{Z_{(mn)}} \left(1 + \frac{k}{\beta_{(mn)}} \cos\theta \right) (\boldsymbol{a}_{\theta} 159)$$

さらに、低次のモードについて開口径が十分大きい場合、 $Z_{[mn]} \simeq Z_w$ 、 $\beta_{[mn]} \simeq k$ より、

$$egin{align*} oldsymbol{E}_{p[mn]} &= j rac{e^{-jkr}}{r} oldsymbol{F}_{[mn]}(heta,\phi) \ &\simeq rac{j}{\lambda} rac{e^{-jkr}}{r} \sqrt{Z_w} rac{oldsymbol{F}_{[mn]}(heta,\phi)}{\sqrt{Z_w}} \ &\simeq rac{j}{\lambda} rac{e^{-jkr}}{r} \sqrt{Z_w} ar{oldsymbol{F}}_{[mn]}(heta,\phi) \end{aligned}$$

ここで,

$$\frac{\mathbf{F}_{(mn)}(\theta,\phi)\Big|_{\Gamma=0}}{\sqrt{Z_w}} = -A_{(mn)} \frac{mn\pi^3 ab}{4\lambda} \sin\theta \ \Psi_{mn}(\theta,\phi) \sqrt{\frac{Z_{(mn)}}{Z_w}} \left(1 + \frac{Z_w}{Z_{(mn)}} \cos\theta\right) \mathbf{a}_{\theta}$$

$$= -A_{(mn)} \frac{mn\pi^3 ab}{4\lambda} \sin\theta \ \Psi_{mn}(\theta,\phi) \sqrt{\frac{\beta_{(mn)}}{k}} \left(1 + \frac{k}{\beta_{(mn)}} \cos\theta\right) (\mathbf{a}_{\theta} 161)$$

あるいは、自由空間の波動インピーダンス Z_w で規格化したモードの特性インピーダンス $z_{(mn)}$ 、規格化特性アドミタンス $y_{(mn)}$ を、

$$z_{(mn)} \equiv \frac{Z_{(mn)}}{Z_w} \equiv \frac{1}{y_{(mn)}}$$
 (2.162)

とおくと,

$$\frac{\left. \mathbf{F}_{(mn)}(\theta,\phi) \right|_{\Gamma=0}}{\sqrt{Z_w}} = -A_{(mn)} \frac{mn\pi^3 ab}{4\lambda} \sin\theta \ \Psi_{mn}(\theta,\phi) \sqrt{z_{(mn)}} \left(1 + y_{(mn)} \cos\theta \right) \mathbf{a}_{\theta}$$
(2.163)

ここで、 TM_{mn} モード関数の正規化係数 $A_{(mn)}$ は、

$$A_{(mn)} = \frac{2}{\pi} \sqrt{\frac{ab}{(mb)^2 + (na)^2}} = \frac{2}{\sqrt{ab}} \frac{1}{k_{c,(mn)}}$$
$$= \frac{2}{\sqrt{ab}} \frac{\lambda_{c,(mn)}}{2\pi} = \frac{\lambda_{c,(mn)}}{\pi \sqrt{ab}}$$

(2.164)

(2.165)

(2.166)

これより,

$$\frac{\mathbf{F}_{(mn)}(\theta,\phi)|_{\Gamma=0}}{\sqrt{Z_w}} = -\frac{mn\pi^2\sqrt{ab}}{2}\frac{\lambda_{c,(mn)}}{\lambda}\sin\theta$$

$$\cdot \sqrt{z_{(mn)}}\frac{1+y_{(mn)}\cos\theta}{2}\Psi_{mn}(\theta,\phi)\mathbf{a}_{\theta}$$

また,

$$\bar{F}_{(mn)}(\theta,\phi) = -A_{(mn)} \frac{mn\pi^3 ab}{4\lambda} \sin\theta \ (1+\cos\theta) \ \Psi_{mn}(\theta,\phi) \boldsymbol{a}_{\theta}$$

$$= -\frac{mn\pi^2 \sqrt{ab}}{4} \frac{\lambda_{c,(mn)}}{\lambda} \sin\theta \ (1+\cos\theta) \ \Psi_{mn}(\theta,\phi) \boldsymbol{a}_{\theta}$$

$$= -\frac{mn\pi^2 \sqrt{ab}}{2} \frac{\lambda_{c,(mn)}}{\lambda} \sin\theta \ \frac{1+\cos\theta}{2} \ \Psi_{mn}(\theta,\phi) \boldsymbol{a}_{\theta}$$

2.6 正方形導波管のモードとその放射パターンの例

2.6.1 正方形導波管 TE₁₀ モード

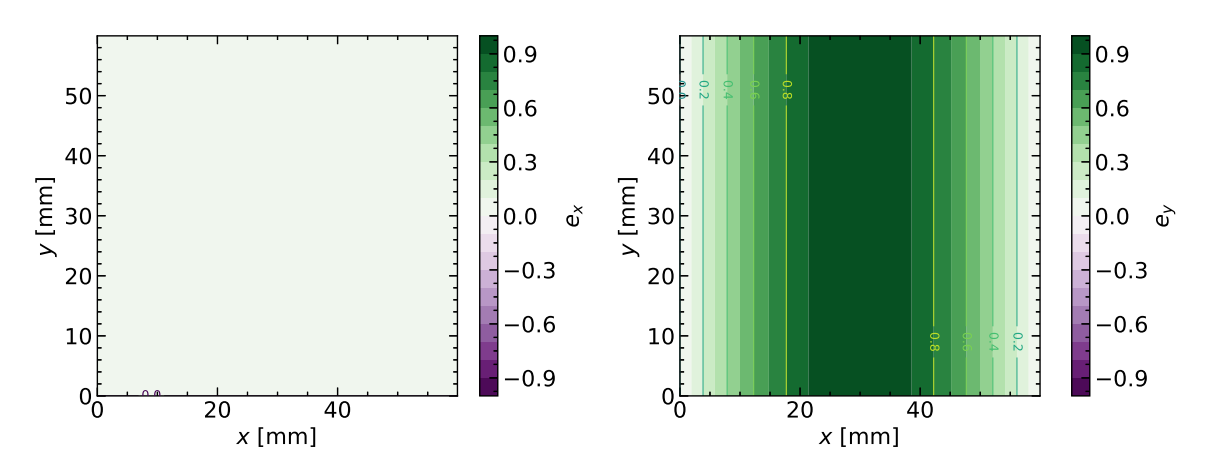


図 2.3. 正方形導波管の TE_{10} 電界モード関数の x 成分 e_x および y 成分 e_y

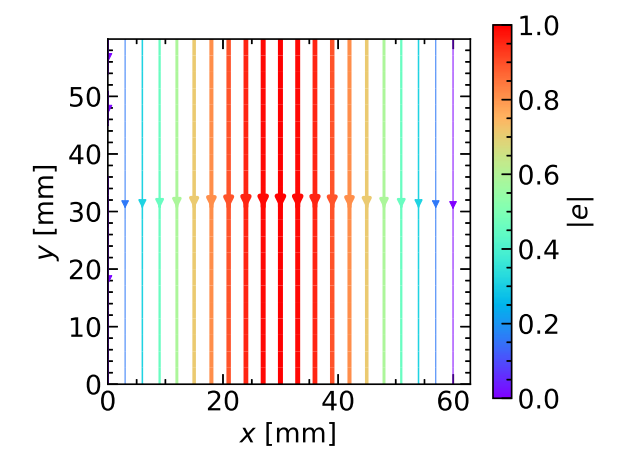
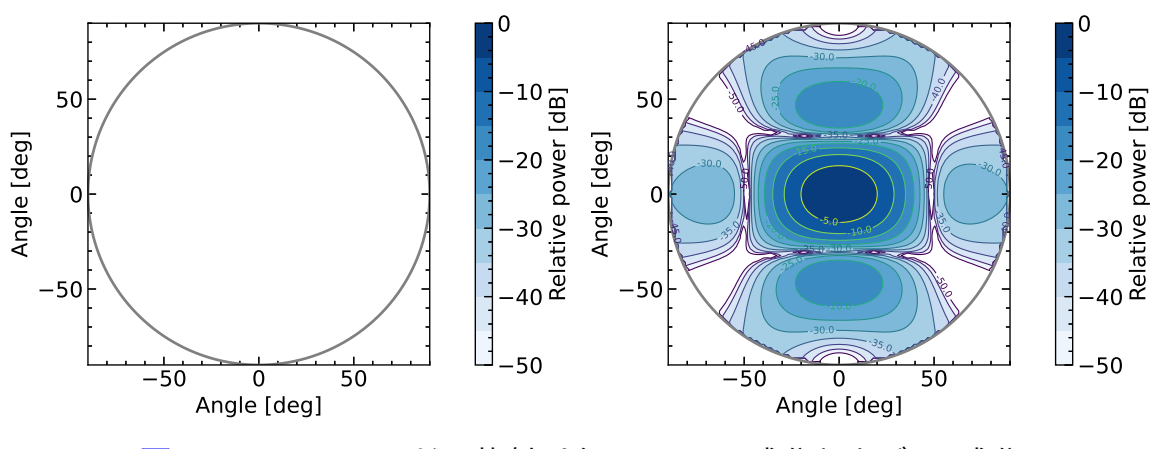


図 2.4. 正方形導波管の TE_{10} 電界モード関数の x 成分 e_x および y 成分 e_y



 $oxed{2.5}$. TE_{10} モードの放射パターンの $oldsymbol{a}_{\eta}$ 成分および $oldsymbol{a}_{\xi}$ 成分

2.6.2 正方形導波管 TE_{12} モード

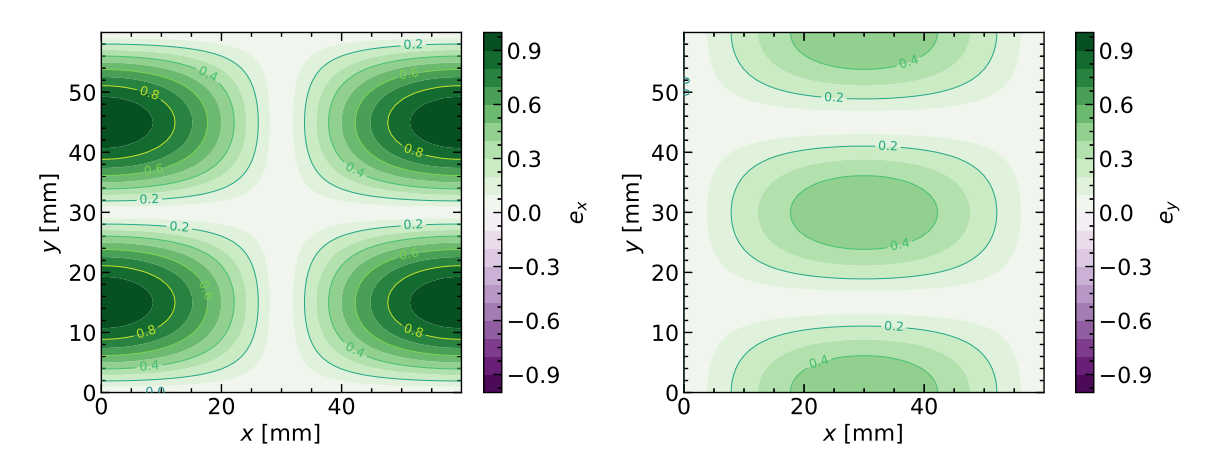


図 2.6. 正方形導波管の TE_{12} 電界モード関数の x 成分 e_x および y 成分 e_y

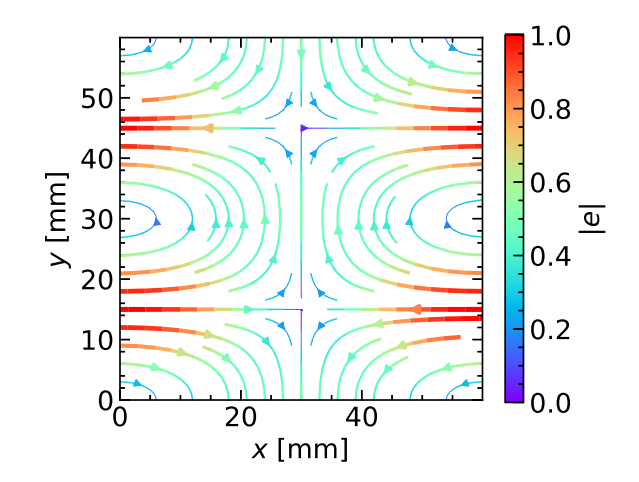
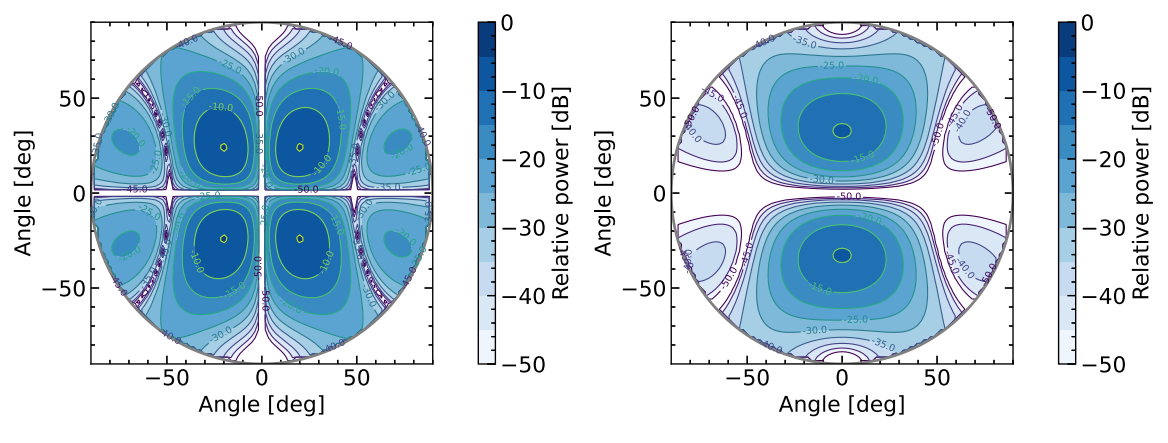


図 2.7. 正方形導波管の TE_{12} 電界モード関数の x 成分 e_x および y 成分 e_y



 $oxed{2.8}$. TE_{12} モードの放射パターンの $oldsymbol{a}_{\eta}$ 成分および $oldsymbol{a}_{\xi}$ 成分

2.6.3 正方形導波管 TM_{12} モード

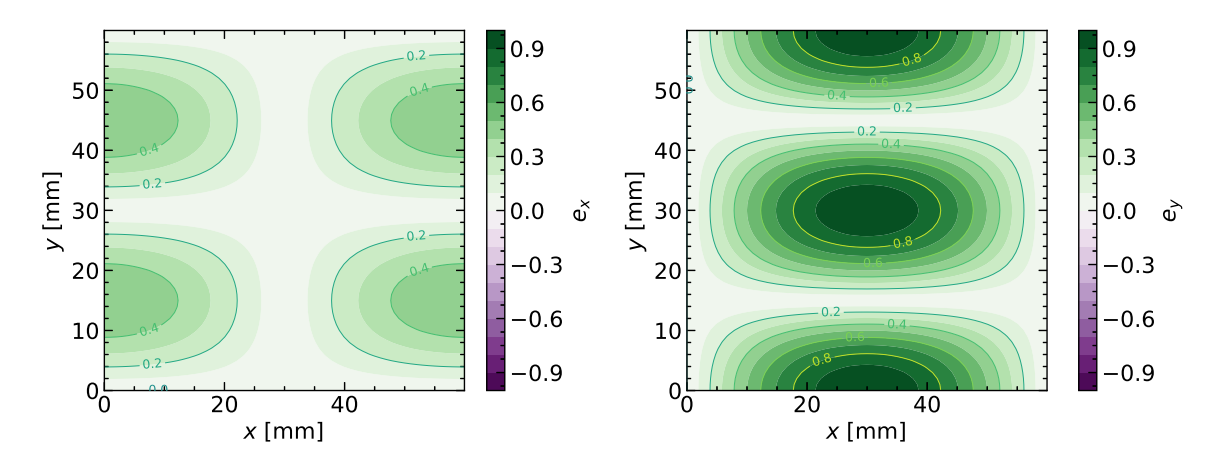


図 2.9. 正方形導波管の TM_{12} 電界モード関数のx成分 e_x およびy成分 e_y

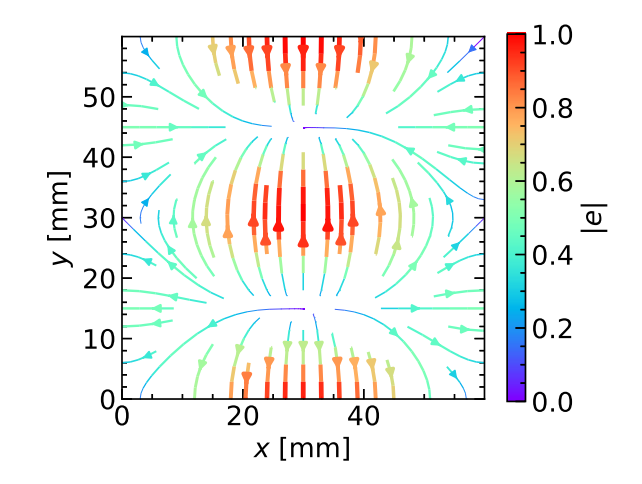
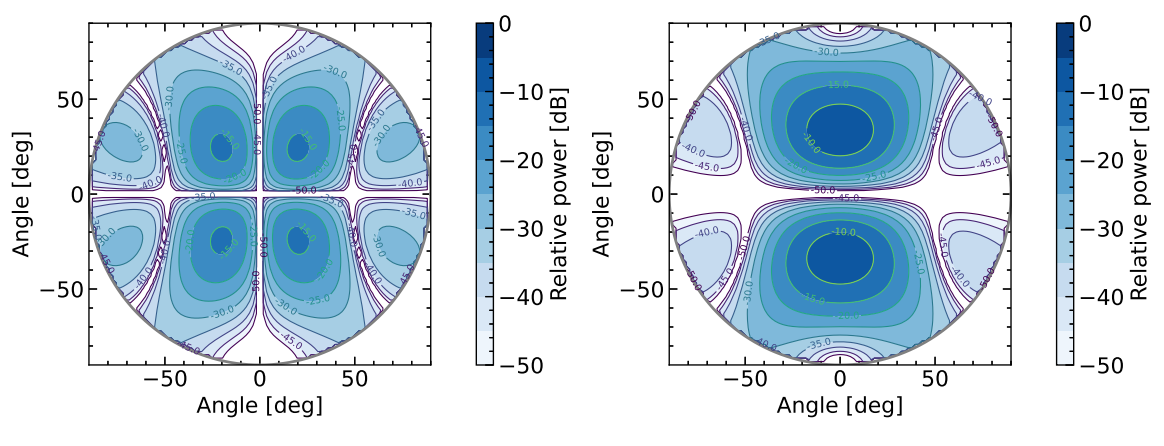


図 2.10. 正方形導波管の TM_{12} 電界モード関数の x 成分 e_x および y 成分 e_y



 $oxed{2.11}$. TM_{12} モードの放射パターンの $oldsymbol{a}_{\eta}$ 成分および $oldsymbol{a}_{\xi}$ 成分

2.6.4 正方形導波管 TE_{01} モード

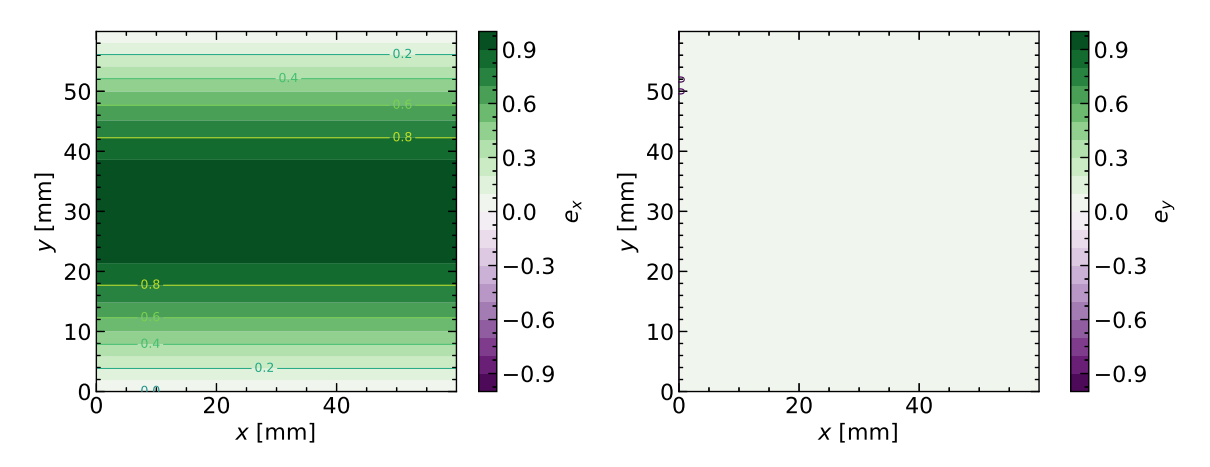


図 $\mathbf{2.12}$. 正方形導波管の TE_{01} 電界モード関数の x 成分 e_x および y 成分 e_y

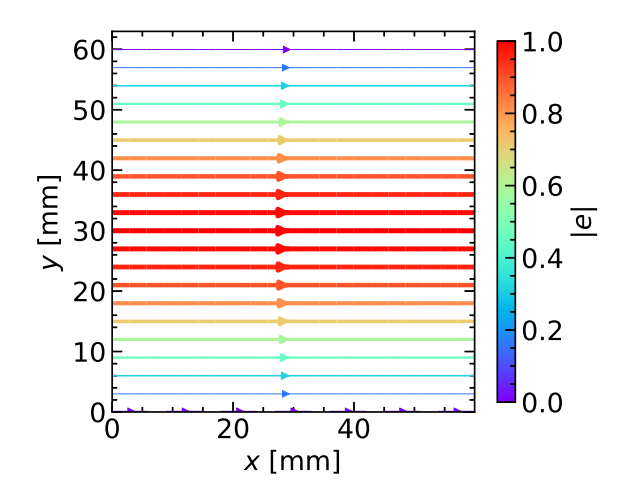
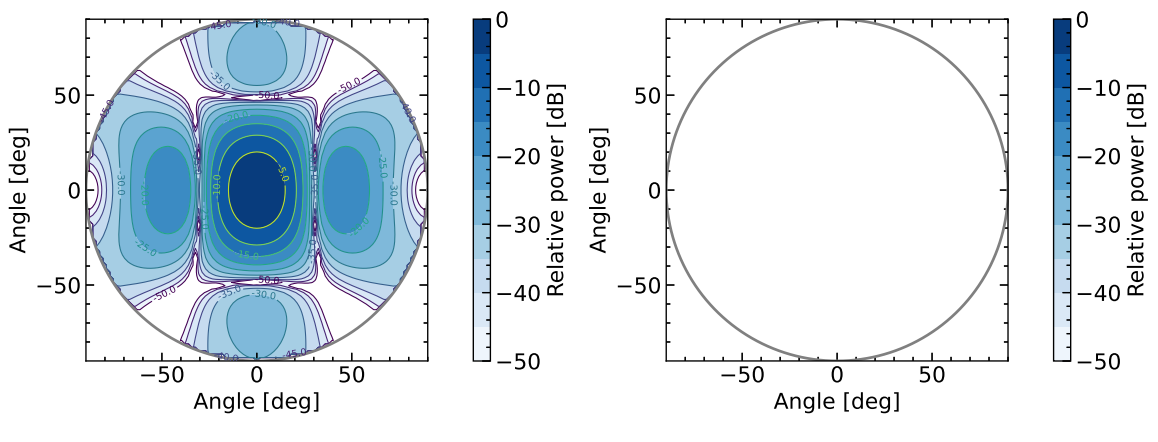


図 2.13. 正方形導波管の TE_{01} 電界モード関数の x 成分 e_x および y 成分 e_y



 $oxed{2.14}$. TE_{01} モードの放射パターンの $oldsymbol{a}_{\eta}$ 成分および $oldsymbol{a}_{\xi}$ 成分

2.6.5 正方形導波管 TE_{21} モード

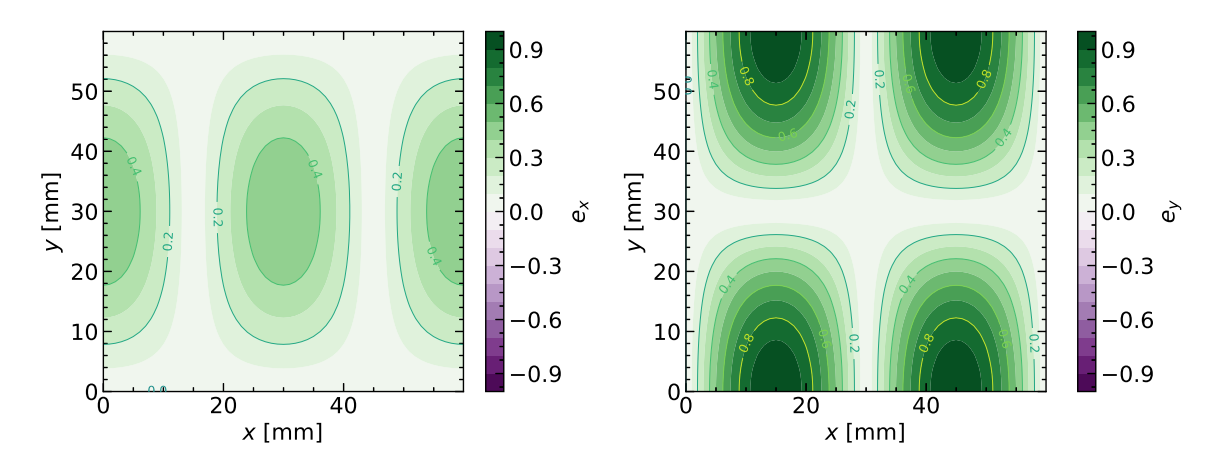


図 2.15. 正方形導波管の TE_{21} 電界モード関数のx成分 e_x およびy成分 e_y

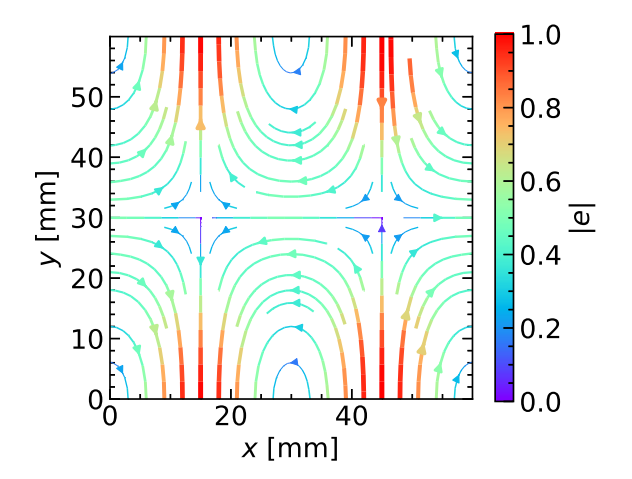
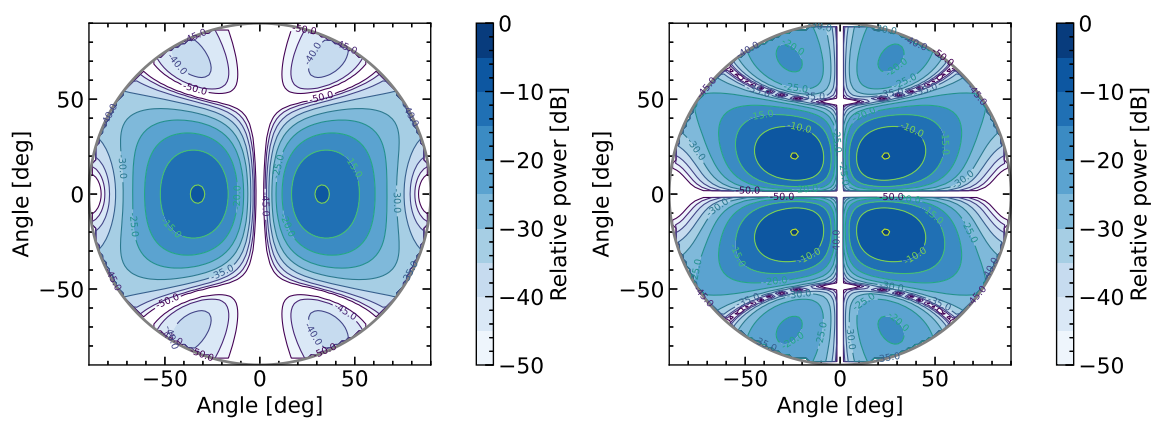


図 2.16. 正方形導波管の TE_{21} 電界モード関数の x 成分 e_x および y 成分 e_y



 $oxed{2.17}$. TE_{21} モードの放射パターンの $oldsymbol{a}_{\eta}$ 成分および $oldsymbol{a}_{\xi}$ 成分

2.6.6 正方形導波管 TM_{21} モード

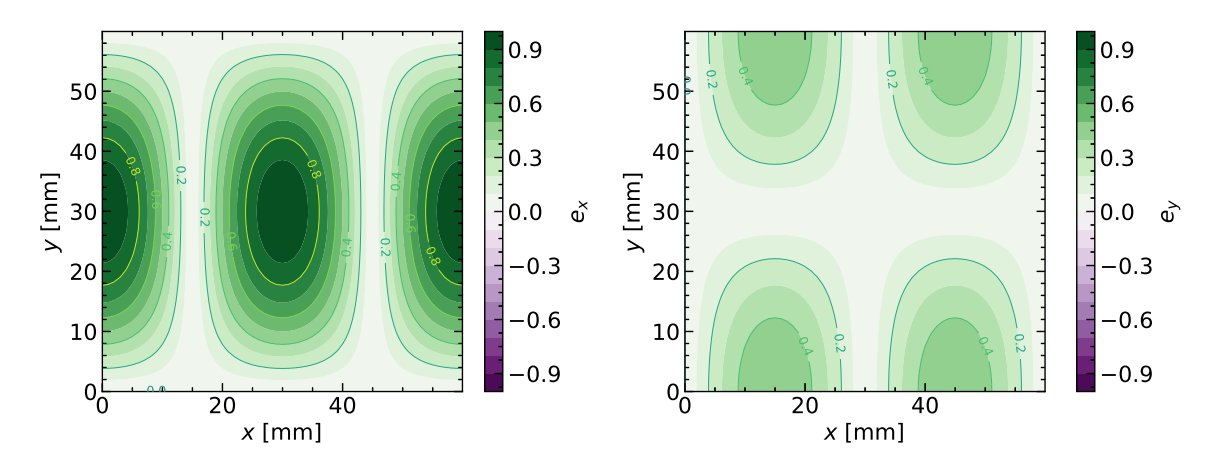


図 2.18. 正方形導波管の TM_{21} 電界モード関数の x 成分 e_x および y 成分 e_y

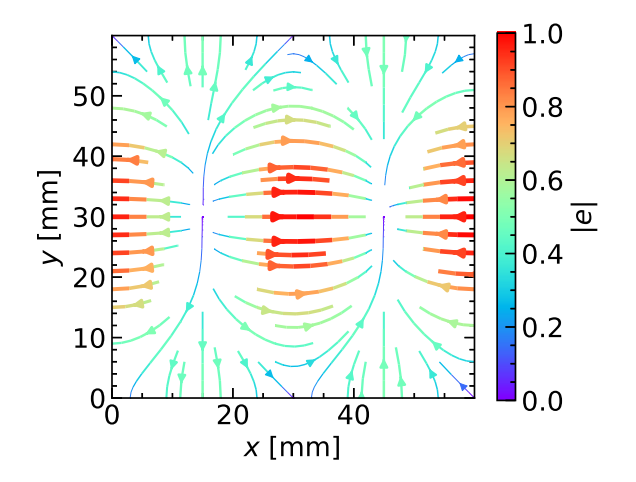
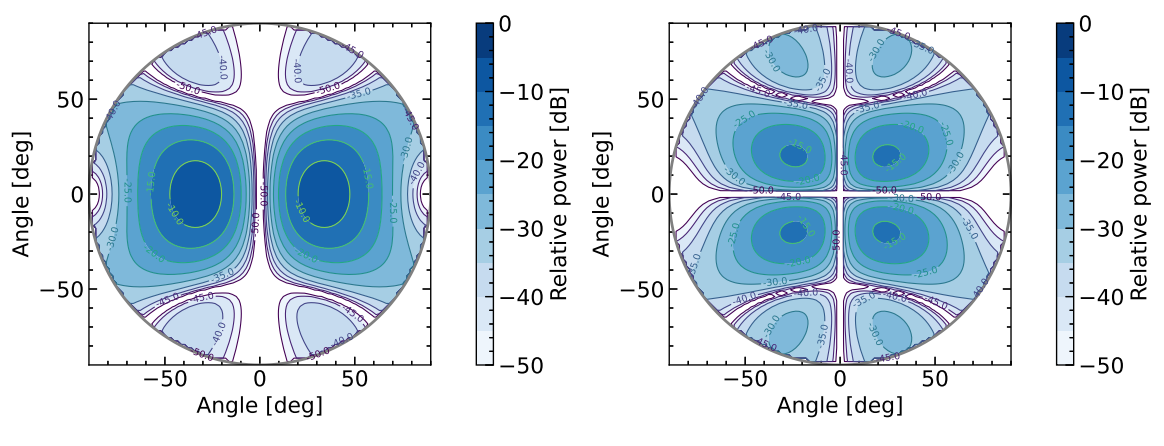


図 2.19. 正方形導波管の TM_{21} 電界モード関数の x 成分 e_x および y 成分 e_y



 $oxed{2.20}$. TM_{21} モードの放射パターンの $oldsymbol{a}_{\eta}$ 成分および $oldsymbol{a}_{\xi}$ 成分

2.7 2.7 多モード方形導波管開口からの放射

2.7.1 多モードを合成した開口面分布

開口面分布が方形導波管の伝搬モード(TE_{mn} モードおよび TM_{mn} モード)の合成で与えられている場合を考える。いま,モード係数を $c_{[mn]}$, $c_{(mn)}$ とすると,横断面内電界 E_t および磁界 H_t は,

$$\mathbf{E}_{t} = \sum_{m,n} c_{[mn]} \sqrt{Z_{[mn]}} \mathbf{e}_{[mn]} + \sum_{m,n} c_{(mn)} \sqrt{Z_{(mn)}} \mathbf{e}_{(mn)}$$

$$= \sum_{i} c_{i} \sqrt{Z_{i}} \mathbf{e}_{i}$$

$$\mathbf{H}_{t} = \sum_{m,n} c_{[mn]} \sqrt{Y_{[mn]}} \mathbf{h}_{[mn]} + \sum_{m,n} c_{(mn)} \sqrt{Y_{(mn)}} \mathbf{h}_{(mn)}$$

$$= \sum_{i} c_{i} \sqrt{Y_{i}} \mathbf{h}_{i}$$
(2.168)

ただし、モード係数 c_i は次のように規格化されているとする。

$$\int_{S} (\boldsymbol{E}_{t} \times \boldsymbol{H}_{t}^{*}) \cdot \boldsymbol{a}_{z} dS$$

$$\equiv \int_{S} \left\{ \left(\sum_{i} c_{i} \sqrt{Z_{i}} \boldsymbol{e}_{i} \right) \times \left(\sum_{j} c_{j}^{*} \sqrt{Y_{j}} \boldsymbol{h}_{j} \right) \right\} \cdot \boldsymbol{a}_{z} dS$$

$$= \int_{S} \left\{ \sum_{i} \sum_{j} c_{i} c_{j}^{*} \sqrt{Z_{i}} \sqrt{Y_{j}} \left(\boldsymbol{e}_{i} \times \boldsymbol{h}_{j} \right) \cdot \boldsymbol{a}_{z} \right\} dS$$

$$= \sum_{i} \sum_{j} c_{i} c_{j}^{*} \sqrt{Z_{i}} \sqrt{Y_{j}} \int_{S} \boldsymbol{e}_{i} \cdot \boldsymbol{e}_{j} dS$$

$$= \sum_{i} |c_{i}|^{2} \equiv 1$$

つまり,

$$\sum_{m,n} |c_{[mn]}|^2 + \sum_{m,n} |c_{(mn)}|^2 = 1$$
(2.170)

(2.169)

2.7.2 開口面での反射が小さい場合

放射電界 E_p は,

$$\mathbf{E}_{p} = \sum_{i} c_{i} \mathbf{E}_{p,i}
= \sum_{m,n} c_{[mn]} \mathbf{E}_{p[mn]} + \sum_{m,n} c_{(mn)} \mathbf{E}_{p(mn)}
= \frac{j}{\lambda} \frac{e^{-jkr}}{r} \left(\sum_{m,n} c_{[mn]} \mathbf{F}_{[mn]} + \sum_{m,n} c_{(mn)} \mathbf{F}_{(mn)} \right)$$
(2.171)

(2.172)

ここで,

$$\hat{\mathbf{F}}_{[mn]} = \frac{\mathbf{F}_{[mn]}(\theta, \phi)|_{\Gamma=0}}{\sqrt{S}\sqrt{Z_w}}$$

$$= -\frac{ab\sqrt{\epsilon_m \epsilon_n}}{4} \frac{\lambda_{c,[mn]}}{\lambda} \sin \theta \ \Psi_{mn}(\theta, \phi) \sqrt{z_{[mn]}}$$

$$\cdot \left[\frac{1 + y_{[mn]} \cos \theta}{2} \left\{ \left(\frac{m\pi}{a} \sin \phi \right)^2 - \left(\frac{n\pi}{b} \cos \phi \right)^2 \right\} \mathbf{a}_{\theta}$$

$$+ \frac{\cos \theta + y_{[mn]}}{2} k_{c,[mn]}^2 \sin \phi \cos \phi \ \mathbf{a}_{\phi} \right]$$

また,

$$\hat{\mathbf{F}}_{[mn]} = \frac{\mathbf{F}_{(mn)}(\theta, \phi)|_{\Gamma=0}}{\sqrt{S}\sqrt{Z_w}}$$

$$= -\frac{mn\pi^2}{2} \frac{\lambda_{c,(mn)}}{\lambda} \sin\theta \sqrt{z_{(mn)}} \frac{1 + y_{(mn)}\cos\theta}{2} \Psi_{mn}(\theta, \phi) \mathbf{a}_{\theta} \tag{2.173}$$

このとき、各モードの正規化された放射電界は、

$$\boldsymbol{E}_{p,mn} = \frac{j}{\lambda} \frac{e^{-jkr}}{r} \boldsymbol{F}_{mn}(\theta, \phi)$$
 (2.174)

アンテナ利得 $G(\theta, \phi)$ は、正面方向の交差偏波成分がない場合、

$$G(\theta, \phi) = 4\pi \frac{S}{\lambda^2} \frac{1}{SZ_w} \left| \sum_{m,n} c_{[mn]} \mathbf{F}_{[mn]} + \sum_{m,n} c_{(mn)} \mathbf{F}_{(mn)} \right|^2$$
$$= 4\pi \frac{S}{\lambda^2} \left| \sum_{m,n} c_{[mn]} \hat{\mathbf{F}}_{[mn]} + \sum_{m,n} c_{(mn)} \hat{\mathbf{F}}_{(mn)} \right|^2$$
(2.175)

2.7.3 開口径が大きい場合

開口径が大きくなっていくと、開口における反射は十分小さくなる。このとき、 $\beta_{[mn]} \simeq k$ 、 $\beta_{(mn)} \simeq k$ より、

$$\mathbf{E}_{p} \simeq \frac{j}{\lambda} \frac{e^{-jkr}}{r} \sqrt{S} \sqrt{Z_{w}} \left(\sum_{m,n} c_{[mn]} \hat{\mathbf{F}}_{[mn]} + \sum_{m,n} c_{(mn)} \hat{\mathbf{F}}_{(mn)} \right)$$
(2.176)

$$G(\theta,\phi) \simeq 4\pi \frac{S}{\lambda^2} \left| \sum_{m,n} c_{[mn]} \hat{\mathbf{F}}_{[mn]} + \sum_{m,n} c_{(mn)} \hat{\mathbf{F}}_{(mn)} \right|^2$$

$$(2.177)$$

ここで,

$$\hat{\mathbf{F}}_{[mn]}(\theta,\phi) = \frac{ab\sqrt{\epsilon_m \epsilon_n}}{4} \frac{\lambda_{c,[mn]}}{\lambda} \frac{1 + \cos \theta}{2} \sin \theta \ \Psi_{mn}(\theta,\phi)$$

$$\cdot \left\{ \left(\frac{n\pi}{b}\right)^2 \cos \phi \ \mathbf{a}_{\xi} - \left(\frac{m\pi}{a}\right)^2 \sin \phi \ \mathbf{a}_{\eta} \right\}$$

$$\hat{\mathbf{F}}_{(mn)}(\theta,\phi) = -\frac{mn\pi^2}{2} \frac{\lambda_{c,(mn)}}{\lambda} \sin \theta \ \frac{1 + \cos \theta}{2} \ \Psi_{mn}(\theta,\phi) \mathbf{a}_{\theta}$$
(2.178)

$$\mathbf{F}_{(mn)}(\theta,\phi) = -\frac{1}{2} \frac{1}{\lambda} \sin \theta \frac{1}{2} \Psi_{mn}(\theta,\phi) \mathbf{d}_{\theta}$$
$$= -\frac{mn\pi^{2}}{2} \frac{\lambda_{c,(mn)}}{\lambda} \sin \theta \frac{1+\cos \theta}{2} \Psi_{mn}(\theta,\phi) \Big(\cos \phi \mathbf{a}_{\xi} + \sin \phi \mathbf{a}_{\eta}\Big) 2.179)$$

2.7.4 モードの合成による交差偏波成分の低減

 TE_{mn} モードと TM_{mn} モードの指向性関数の a_{ξ} 成分の比をとると,

$$\frac{\hat{\mathbf{F}}_{(mn)} \cdot \mathbf{a}_{\xi}}{\hat{\mathbf{F}}_{[mn]} \cdot \mathbf{a}_{\xi}} = \frac{-\frac{mn\pi^{2}}{2} \frac{\lambda_{c,(mn)}}{\lambda} \sin \theta \frac{1 + \cos \theta}{2} \Psi_{mn} \cos \phi}{\frac{ab\sqrt{\epsilon_{m}\epsilon_{n}}}{4} \frac{\lambda_{c,[mn]}}{\lambda} \frac{1 + \cos \theta}{2} \sin \theta \Psi_{mn} \left(\frac{n\pi}{b}\right)^{2} \cos \phi}$$

$$= \frac{-2mn\pi^{2}}{\sqrt{\epsilon_{m}\epsilon_{n}} \frac{a}{b} n^{2}\pi^{2}} = -\frac{2}{\sqrt{\epsilon_{m}\epsilon_{n}}} \frac{b}{a} \frac{m}{n} \qquad (2.180)$$

ここで、 $m \neq 0$ 、 $n \neq 0$ より、 $\epsilon_m = 2$ 、 $\epsilon_n = 2$ ゆえ、

$$\frac{\hat{\mathbf{F}}_{(mn)} \cdot \mathbf{a}_{\xi}}{\hat{\mathbf{F}}_{[mn]} \cdot \mathbf{a}_{\xi}} = -\frac{b}{a} \frac{m}{n}$$
(2.181)

主偏波成分が a_{η} のとき, TE_{mn} モードと TM_{mn} モードによって交差偏波成分を消去する条件は,

$$c_{[mn]}\hat{\mathbf{F}}_{[mn]}\cdot\mathbf{a}_{\xi}+c_{(mn)}\hat{\mathbf{F}}_{(mn)}\cdot\mathbf{a}_{\xi}=0$$
(2.182)

整理して,

$$\hat{\mathbf{F}}_{[mn]} \cdot \mathbf{a}_{\xi} \left(c_{[mn]} + c_{(mn)} \frac{\hat{\mathbf{F}}_{(mn)} \cdot \mathbf{a}_{\xi}}{\hat{\mathbf{F}}_{[mn]} \cdot \mathbf{a}_{\xi}} \right) = 0$$
(2.183)

 $\hat{\mathbf{F}}_{[mn]}\cdot\mathbf{a}_{\xi}\neq0$ より,

$$c_{[mn]} - c_{(mn)} \frac{b}{a} \frac{m}{n} = 0 (2.184)$$

これより、交差偏波成分を消去するモード係数の関係は、次のようになる.

$$c_{(mn)} = \frac{a}{h} \frac{n}{m} c_{[mn]} \equiv \alpha_{mn}^{\text{Ypol}} c_{[mn]}$$

$$(2.185)$$

遠方放射電界 E_p および利得 G は,

$$\boldsymbol{E}_{p} \simeq \frac{j}{\lambda} \frac{e^{-jkr}}{r} \sqrt{S} \sqrt{Z_{w}} \left\{ \sum_{m=1}^{\infty} c_{[m0]} \hat{\boldsymbol{F}}_{[m0]} + \sum_{m=1}^{\infty} \sum_{n=1}^{\infty} c_{[mn]} \left(\hat{\boldsymbol{F}}_{[mn]} + \alpha_{mn}^{\text{Ypol}} \hat{\boldsymbol{F}}_{(mn)} \right) \right\}$$

$$(2.186)$$

$$G(\theta, \phi) \simeq 4\pi \frac{S}{\lambda^2} \left| \sum_{m=1} c_{[m0]} \hat{\mathbf{F}}_{[m0]} \cdot \mathbf{a}_{\eta} + \sum_{m=1} \sum_{n=1} c_{[mn]} \left(\hat{\mathbf{F}}_{[mn]} \cdot \mathbf{a}_{\eta} + \alpha_{mn}^{\text{Ypol}} \hat{\mathbf{F}}_{(mn)} \cdot \mathbf{a}_{\eta} \right) \right|^2$$

$$(2.187)$$

例えば、 TE_{10} モードの入射によって発生する高次の次数の等しい TE モードと TM モードを考える。 TE_{10} モードは、開口面においては a_y 方向、遠方放射電界では a_η 方向の成分が主偏波であり、交差偏波は開口面において a_x 方向、遠方放射電界では a_ξ 方向ゆえ、モード係数の関係は、 TE/TM_{12} モードの場合, $m=1,\ n=2$ とおいて、

$$c_{(12)} = \frac{2a}{1b}c_{[12]} = 2\frac{a}{b}c_{[12]}$$
(2.188)

 TE/TM_{32} モードの場合, m=3, n=2 とおいて,

$$c_{(32)} = \frac{2a}{3h}c_{[32]} \tag{2.189}$$

 TE/TM_{14} モードの場合, m=1, n=2 とおいて,

$$c_{(14)} = \frac{4a}{1b}c_{[14]} = 4\frac{a}{b}c_{[14]} \tag{2.190}$$

 TE/TM_{34} モードの場合, m=3, n=4 とおいて,

$$c_{(34)} = \frac{4a}{3b}c_{[34]} \tag{2.191}$$

 TE/TM_{52} モードの場合, m=5, n=2とおいて,

$$c_{(52)} = \frac{2a}{5b}c_{[52]} \tag{2.192}$$

 TE/TM_{16} モードの場合, m=1, n=6 とおいて,

$$c_{(16)} = \frac{6a}{1b}c_{[16]} = 6\frac{a}{b}c_{[16]}$$
(2.193)

同様にして、 a_n 成分の比をとると、

$$\frac{\hat{\mathbf{F}}_{(mn)} \cdot \mathbf{a}_{\eta}}{\hat{\mathbf{F}}_{[mn]} \cdot \mathbf{a}_{\eta}} = \frac{a}{b} \frac{n}{m}$$
(2.194)

主偏波成分が \mathbf{a}_{ξ} のとき、 TE_{mn} モードと TM_{mn} モードによって交差偏波成分を消去するモード係数の関係は、

$$c_{(mn)} = -\frac{b}{a} \frac{m}{n} c_{[mn]} \equiv \alpha_{mn}^{\text{Xpol}} c_{[mn]}$$

$$(2.195)$$

 ${
m TE}_{01}$ モードの入射によって発生する高次の次数の等しい ${
m TE}$ モードと ${
m TM}$ モードを考えると、 ${
m TE}_{10}$ モードは、開口面においては ${m a}_x$ 方向、遠方放射電界では ${m a}_\xi$ 方向の成分が主偏

波であり、交差偏波は開口面において a_y 方向、遠方放射電界では a_η 方向ゆえ、モード係数の関係は、添字の交換以外には、符号の違いと、a,bの交換をすれば求められる。

CHAPTER 3

円形導波管開口からの放射

円形導波管の開口からの電磁波の放射について詳しく解説する。まず、円形導波管の中心軸を基準とした座標系を定義し、開口面における入射電界をモード関数で表す。次に、軸対称導波管の TEモードと TMモードについて、それぞれの電界成分をベッセル関数を用いて詳細に導出する。そして、これらのモードを重畳した多モードの場合の放射電界やアンテナ利得の計算方法を示し、特に開口径が大きい場合の低次モードにおける特性について議論する。

3.1 円形導波管開口からの放射

円形導波管の断面の半径をaとし、導波管の中心軸上にz軸をとる円筒座標 (ρ',ϕ',z) を定義する。開口面への横断面内入射電界として、モード関数 $e(\rho')$

$$e(\rho') \equiv e_x(\rho', \phi') a_x + e_y(\rho', \phi') a_y$$
(3.1)

を考えると、観測点が遠方の場合、

$$\bar{N}_{\binom{x}{y}} = \int_0^{2\pi} \int_0^a e_{\binom{x}{y}}(\rho', \phi') e^{j\boldsymbol{k}\cdot\boldsymbol{\rho}} \rho' d\rho' d\phi'$$
(3.2)

ここで,

$$k \cdot \rho' = k a_r \cdot \rho' a_\rho$$

$$= k \left\{ \sin \theta (\cos \phi a_x + \sin \phi a_y) + \cos \theta a_z \right\}$$

$$\cdot \rho' \left(\cos \phi' a_x + \sin \phi' a_y \right)$$

$$= k \rho' \sin \theta \left(\cos \phi \cos \phi' + \sin \phi \sin \phi' \right)$$

$$= k \rho' \sin \theta \cos \left(\phi - \phi' \right)$$
(3.3)

いま,

$$\bar{\rho} \equiv \frac{\rho'}{a} \tag{3.4}$$

$$u \equiv \frac{2\pi a}{\lambda} \sin \theta \tag{3.5}$$

$$u \equiv \frac{2\pi a}{\lambda} \sin \theta \tag{3.5}$$

とおくと.

$$\mathbf{k} \cdot \boldsymbol{\rho}' = \frac{2\pi}{\lambda} a \bar{\rho} \sin \theta \cos \left(\phi - \phi'\right)$$
$$= u \bar{\rho} \cos \left(\phi - \phi'\right) \tag{3.6}$$

このとき、 $\rho'd\rho'=a^2\bar{\rho}d\bar{\rho}$. これより、

$$\bar{N}_{\binom{x}{y}} = a^2 \int_0^{2\pi} \int_0^1 e_{\binom{x}{y}}(\bar{\rho}, \phi') e^{ju\bar{\rho}\cos(\phi - \phi')} \bar{\rho} d\bar{\rho} d\phi'$$
(3.7)

3.1.1 TEモード

 TE_{mn} モードの場合,

$$\mathbf{e}_{[mn]} = \frac{A_{[mn]}}{a} \left[\mp \frac{m}{\bar{\rho}} J_m \left(\chi'_{mn} \bar{\rho} \right) \sin m \phi' \, \mathbf{a}_{\rho} \right.$$

$$\left. + \chi'_{mn} J'_m \left(\chi'_{mn} \bar{\rho} \right) \sin m \phi' \, \mathbf{a}_{\phi} \right]$$

$$(3.8)$$

ベッセル関数の公式

$$J_m(z) = \frac{z}{2m} \{ J_{m-1}(z) + J_{m+1}(z) \}$$
(3.9)

$$J'_{m}(z) = \frac{1}{2} \{ J_{m-1}(z) - J_{m+1}(z) \}$$
(3.10)

より,

$$e_{[mn]} = \frac{A_{[mn]}\chi'_{mn}}{2a} \left[\mp \left\{ J_{m-1} \left(\chi'_{mn}\bar{\rho} \right) + J_{m+1} \left(\chi'_{mn}\bar{\rho} \right) \right\}_{\sin}^{\cos} m\phi' \ \boldsymbol{a}_{\rho} \right] + \left\{ J_{m-1} \left(\chi'_{mn}\bar{\rho} \right) - J_{m+1} \left(\chi'_{mn}\bar{\rho} \right) \right\}_{\cos}^{\sin} m\phi' \ \boldsymbol{a}_{\phi} \right] = \mp \frac{A_{[mn]}\chi'_{mn}}{2a} \left[\left\{ J_{m-1} \left(\chi'_{mn}\bar{\rho} \right) + J_{m+1} \left(\chi'_{mn}\bar{\rho} \right) \right\}_{\sin}^{\cos} m\phi' \ \boldsymbol{a}_{\rho} \right] + \left\{ -J_{m-1} \left(\chi'_{mn}\bar{\rho} \right) + J_{m+1} \left(\chi'_{mn}\bar{\rho} \right) \right\}_{-\cos}^{\sin} m\phi' \ \boldsymbol{a}_{\phi} \right]$$
(3.11)

主偏波成分の係数が正になるように,上側は逆符号にして,

$$e_{[mn]} = \frac{A_{[mn]}\chi'_{mn}}{2a} \left[\left\{ J_{m-1} \left(\chi'_{mn}\bar{\rho} \right) + J_{m+1} \left(\chi'_{mn}\bar{\rho} \right) \right\}_{\sin}^{\cos} m\phi' \ \boldsymbol{a}_{\rho} \right]$$

$$\mp \left\{ J_{m-1} \left(\chi'_{mn}\bar{\rho} \right) - J_{m+1} \left(\chi'_{mn}\bar{\rho} \right) \right\}_{\cos}^{\sin} m\phi' \ \boldsymbol{a}_{\phi} \right]$$

$$(3.12)$$

3.1.2 TMモード

一方、 TM_{mn} モードでは、

$$e_{(mn)} = \frac{A_{(mn)}}{a} \left[-\chi_{mn} J'_{m} \left(\chi_{mn} \bar{\rho} \right) \sin m\phi' \, \boldsymbol{a}_{\rho} \right]$$

$$\mp \frac{m}{\bar{\rho}} J_{m} \left(\chi_{mn} \bar{\rho} \right) \sin m\phi' \, \boldsymbol{a}_{\phi}$$

$$= -\frac{A_{(mn)} \chi_{mn}}{2a} \left[\left\{ J_{m-1} \left(\chi_{mn} \bar{\rho} \right) - J_{m+1} \left(\chi_{mn} \bar{\rho} \right) \right\} \cos m\phi' \, \boldsymbol{a}_{\rho} \right]$$

$$+ \left\{ -J_{m-1} \left(\chi_{mn} \bar{\rho} \right) - J_{m+1} \left(\chi_{mn} \bar{\rho} \right) \right\} \sin m\phi' \, \boldsymbol{a}_{\phi}$$

$$(3.13)$$

TE モードの正弦モードと余弦モードに合わせるため上側と下側を入れ替え, その係数が正となるように逆符号にして,

$$\boldsymbol{e}_{(mn)} = \frac{A_{(mn)}\chi_{mn}}{2a} \left[\left\{ J_{m-1} \left(\chi_{mn}\bar{\rho} \right) - J_{m+1} \left(\chi_{mn}\bar{\rho} \right) \right\}_{\sin}^{\cos} m\phi' \, \boldsymbol{a}_{\rho} \right]$$

$$\mp \left\{ J_{m-1} \left(\chi_{mn}\bar{\rho} \right) + J_{m+1} \left(\chi_{mn}\bar{\rho} \right) \right\}_{\cos}^{\sin} m\phi' \, \boldsymbol{a}_{\phi}$$

$$(3.14)$$

3.1.3 TE/TM をまとめた表示式

TE モードと TM モードを次のようにまとめて表すことができる.

$$\boldsymbol{e}_{mn} = \frac{A_{mn}\bar{\chi}_{mn}}{2a} \left[\left\{ J_{m-1} \left(\bar{\chi}_{mn}\bar{\rho} \right) + \ell J_{m+1} \left(\bar{\chi}_{mn}\bar{\rho} \right) \right\}_{\sin}^{\cos} m\phi' \; \boldsymbol{a}_{\rho} \right.$$

$$\left. + \left\{ J_{m-1} \left(\bar{\chi}_{mn}\bar{\rho} \right) - \ell J_{m+1} \left(\bar{\chi}_{mn}\bar{\rho} \right) \right\}_{\cos}^{-\sin} m\phi' \; \boldsymbol{a}_{\phi} \right]$$

$$(3.15)$$

ただし,

$$\ell = \begin{cases} 1 & (\text{TE mode}) \\ -1 & (\text{TM mode}) \end{cases}, \quad \bar{\chi}_{mn} = \begin{cases} \chi'_{mn} & (\text{TE}_{mn} \text{ mode}) \\ \chi_{mn} & (\text{TM}_{mn} \text{ mode}) \end{cases}$$
(3.16)

さらに,

$$\mathbf{a}_{\rho} = \cos \phi' \mathbf{a}_{x} + \sin \phi' \mathbf{a}_{y}$$

$$\mathbf{a}_{\phi} = -\sin \phi' \mathbf{a}_{x} + \cos \phi' \mathbf{a}_{y}$$

$$(3.17)$$

これより,

$$\frac{\cos}{\sin} m\phi' \cdot \cos \phi' + \frac{-\sin}{\cos} m\phi' \cdot (-\sin \phi') = \frac{\cos}{\sin} (m-1)\phi' \qquad (3.19)$$

$$\frac{\cos}{\sin} m\phi' \cdot \sin \phi' + \frac{-\sin}{\cos} m\phi' \cdot \cos \phi' = \frac{-\sin}{\cos} (m-1)\phi' \qquad (3.20)$$

$$\frac{\cos}{\sin} m\phi' \cdot \cos \phi' - \frac{-\sin}{\cos} m\phi' \cdot (-\sin \phi') = \frac{\cos}{\sin} (m+1)\phi' \qquad (3.21)$$

$$\frac{\cos}{\sin} m\phi' \cdot \sin \phi' - \frac{-\sin}{\cos} m\phi' \cdot \cos \phi' = -\frac{-\sin}{\cos} (m+1)\phi' \qquad (3.22)$$

直角座標成分で表すと,

$$e_{mn} = \frac{A_{mn}\bar{\chi}_{mn}}{2a} \Big[\Big\{ J_{m-1} \left(\bar{\chi}_{mn}\bar{\rho} \right) \frac{\cos}{\sin} \left(m - 1 \right) \phi' + \ell J_{m+1} \left(\bar{\chi}_{mn}\bar{\rho} \right) \frac{\cos}{\sin} \left(m + 1 \right) \phi' \Big\} \boldsymbol{a}_{x} + \Big\{ J_{m-1} \left(\bar{\chi}_{mn}\bar{\rho} \right) \frac{-\sin}{\cos} \left(m - 1 \right) \phi' - \ell J_{m+1} \left(\bar{\chi}_{mn}\bar{\rho} \right) \frac{-\sin}{\cos} \left(m + 1 \right) \phi' \boldsymbol{a}_{y} \Big\} \Big]$$

$$(3.23)$$

3.2 円形導波管の TE_{1n} および TM_{1n} モードの特性

円形導波管の基本モードは TE_{11} モードであり、これに関連する周方向の次数 m=1 のモードについて偏波方向を考えてみる。上式の上側より、

$$\boldsymbol{e}_{1n} = \frac{A_{1n}\bar{\chi}_{1n}}{2a} \left\{ J_0\left(\bar{\chi}_{1n}\bar{\rho}\right)\boldsymbol{a}_x + \ell J_2\left(\bar{\chi}_{1n}\bar{\rho}\right)\left(\cos 2\phi'\boldsymbol{a}_x + \sin 2\phi'\boldsymbol{a}_y\right) \right\}$$
(3.24)

中心 $\bar{\rho}=0$ では, $J_0(0)=1$, $J_2(0)=0$ ゆえ,このとき電界 $e_{1n}(0)$ は x 方向偏波となっている.そして,主偏波の非対称性および交差偏波成分は上式の第 2 項によるものである.一方,下側については,

$$\boldsymbol{e}_{1n} = \frac{A_{1n}\bar{\chi}_{1n}}{2a} \left\{ \ell J_2 \left(\bar{\chi}_{1n}\bar{\rho} \right) \left(\sin 2\phi' \boldsymbol{a}_x - \cos 2\phi' \boldsymbol{a}_y \right) + J_0 \left(\bar{\chi}_{1n}\bar{\rho} \right) \boldsymbol{a}_y \right\}$$
(3.25)

このとき、中心 $\bar{\rho}=0$ での電界 $e_{1n}(0)$ は y 方向偏波である.

3.3 フラウンホーファ領域

円形導波管モードによる放射界を計算するため,

$$\bar{N}_{x} = a^{2} \frac{A_{mn} \bar{\chi}_{mn}}{2a} \int_{0}^{2\pi} \int_{0}^{1} \left\{ J_{m-1} \left(\bar{\chi}_{mn} \bar{\rho} \right) \cos(m-1) \phi' + \ell J_{m+1} \left(\bar{\chi}_{mn} \bar{\rho} \right) \sin(m+1) \phi' \right\} e^{ju\bar{\rho}\cos(\phi-\phi')} \bar{\rho} d\bar{\rho} d\phi' \qquad (3.26)$$

$$\bar{N}_{y} = a^{2} \frac{A_{mn} \bar{\chi}_{mn}}{2a} \int_{0}^{2\pi} \int_{0}^{1} \left\{ -J_{m-1} \left(\bar{\chi}_{mn} \bar{\rho} \right) \sin(m-1) \phi' + \ell J_{m+1} \left(\bar{\chi}_{mn} \bar{\rho} \right) \sin(m+1) \phi' \right\} e^{ju\bar{\rho}\cos(\phi-\phi')} \bar{\rho} d\bar{\rho} d\phi' \qquad (3.27)$$

における積分

$$I_{Nx1} = \int_{0}^{2\pi} \int_{0}^{1} J_{m-1} \left(\bar{\chi}_{mn} \bar{\rho} \right) \frac{\cos}{\sin} (m-1) \phi' e^{ju\bar{\rho}\cos(\phi-\phi')} \bar{\rho} d\bar{\rho} d\phi'$$
 (3.28)

$$I_{Nx2} = \int_{0}^{2\pi} \int_{0}^{1} J_{m+1} \left(\bar{\chi}_{mn} \bar{\rho} \right) \frac{\cos}{\sin} (m+1) \phi' e^{ju\bar{\rho}\cos(\phi-\phi')} \bar{\rho} d\bar{\rho} d\phi'$$
 (3.29)

$$I_{Ny1} = \int_0^{2\pi} \int_0^1 -J_{m-1} \left(\bar{\chi}_{mn} \bar{\rho} \right) \sin(m-1) \phi' e^{ju\bar{\rho}\cos(\phi-\phi')} \bar{\rho} d\bar{\rho} d\phi' \qquad (3.30)$$

$$I_{Ny2} = \int_0^{2\pi} \int_0^1 J_{m+1} \left(\bar{\chi}_{mn} \bar{\rho} \right) \frac{\sin}{-\cos} (m+1) \phi' e^{ju\bar{\rho}\cos(\phi - \phi')} \bar{\rho} d\bar{\rho} d\phi'$$
 (3.31)

を、ベッセル - フーリエ級数 (Bessel-Fourier series)

$$e^{j\lambda\rho\cos(\phi-\phi')} = J_0(\lambda\rho) + \sum_{n=1}^{\infty} 2j^n J_n(\lambda\rho)\cos n(\phi-\phi')$$
 (3.32)

を用いて積分する.

まず、 \bar{N}_x の第1項の積分 I_{Nx1} は、

$$I_{Nx1} = \int_{0}^{2\pi} \int_{0}^{1} J_{m-1} (\bar{\chi}_{mn}\bar{\rho}) \frac{\cos}{\sin}(m-1)\phi'$$

$$\cdot \left\{ J_{0}(u\bar{\rho}) + \sum_{n'=1}^{\infty} 2j^{n'} J_{n'}(u\bar{\rho}) \cos n'(\phi - \phi') \right\} \bar{\rho} d\bar{\rho} d\phi'$$

$$= \int_{0}^{1} J_{m-1} (\bar{\chi}_{mn}\bar{\rho}) J_{0}(u\bar{\rho}) \bar{\rho} d\bar{\rho} \int_{0}^{2\pi} \frac{\cos}{\sin}(m-1)\phi' d\phi'$$

$$+ \sum_{n'=1}^{\infty} 2j^{n'} \int_{0}^{1} J_{m-1} (\bar{\chi}_{mn}\bar{\rho}) J_{n'}(u\bar{\rho}) \bar{\rho} d\bar{\rho}$$

$$\cdot \int_{0}^{2\pi} \frac{\cos}{\sin}(m-1)\phi' \cos n'(\phi - \phi') d\phi'$$

ここで,

$$\int_{0}^{2\pi} \cos(m \mp 1) \phi' d\phi' = 2\pi \delta_{m,\pm 1}$$

$$\int_{0}^{2\pi} \sin(m \mp 1) \phi' d\phi' = 0$$
(3.34)

(3.33)

また,

$$\cos(m \mp 1)\phi' \cos n'(\phi - \phi')$$

$$= \frac{1}{2} \Big[\cos \Big((m \mp 1)\phi' + n'(\phi - \phi') \Big) + \cos \Big((m \mp 1)\phi' - n'(\phi - \phi') \Big) \Big]$$

$$= \frac{1}{2} \Big[\cos \Big((m \mp 1 - n')\phi' + n'\phi \Big) + \cos \Big((m \mp 1 + n')\phi' - n'\phi \Big) \Big]$$

$$= \frac{1}{2} \Big[\cos(m \mp 1 - n')\phi' \cos n'\phi - \sin(m \mp 1 - n')\phi' \sin n'\phi + \cos(m \mp 1 + n')\phi' \cos n'\phi + \sin(m \mp 1 + n')\phi' \sin n'\phi \Big]$$

$$(3.36)$$

これを積分すると、 $1 \le n' = m \mp 1$ 、 $-m \pm 1$ ($m = 0, 1, 2, \cdots$)のとき値をもち、このとき、

$$\int_0^{2\pi} \cos(m \mp 1)\phi' \cos n'(\phi - \phi')d\phi' = \frac{1}{2} \cos n'\phi \int_0^{2\pi} d\phi'$$
$$= \pi \cos n'\phi \qquad (3.37)$$

上側符号では,m=0 のとき n'=-m+1=1,m=1 のとき $n'\geq 1$ となるケースはな

し, m=2 のとき n'=m-1=1, $m=3,4,\cdots$ のとき n'=m-1 である. したがって,

$$\int_{0}^{2\pi} \cos(m-1)\phi' \cos n'(\phi - \phi') d\phi'
= \begin{cases} \pi \cos|m-1|\phi \quad (n'=|m-1|, \ m=0, 2, 3, 4, \cdots) \\ 0 \quad \text{(otherwise)} \end{cases}$$
(3.38)

また、下側符号では、m=0 のとき n'=m+1=1、 $m=1,2,\cdots$ のとき n'=m+1 である。したがって、

$$\int_{0}^{2\pi} \cos(m+1)\phi' \cos n'(\phi - \phi')d\phi'$$

$$= \begin{cases} \pi \cos(m+1)\phi & (n'=m+1) \\ 0 & (\text{otherwise}) \end{cases}$$
(3.39)

同様にして(導出省略),

$$\int_{0}^{2\pi} \sin(m-1)\phi' \cos n'(\phi - \phi') d\phi'
= \begin{cases} \pi \sin|m-1|\phi & (n'=|m-1|, m=0,2,3,4,\cdots) \\ 0 & (\text{otherwise}) \end{cases} (3.40)$$

$$\int_{0}^{2\pi} \sin(m+1)\phi' \cos n'(\phi - \phi') d\phi'
= \begin{cases} \pi \sin(m+1)\phi & (n'=m+1) \\ 0 & (\text{otherwise}) \end{cases} (3.41)$$

よって、積分項は、

$$I_{Nx1} = j^{m-1} 2\pi \frac{\cos}{\sin}(m-1)\phi \int_0^1 J_{m-1}(\bar{\chi}_{mn}\bar{\rho}) J_{m-1}(u\bar{\rho})\bar{\rho}d\bar{\rho}$$
(3.42)

同様にして、 \bar{N}_x の第2項の積分 I_{Nx2} は、

$$I_{Nx2} = \int_{0}^{2\pi} \int_{0}^{1} J_{m+1} \left(\bar{\chi}_{mn} \bar{\rho} \right) \frac{\cos(m+1)\phi'}{\sin(m+1)\phi'} \cdot \left\{ J_{0}(u\bar{\rho}) + \sum_{n'=1}^{\infty} 2j^{n'} J_{n'}(u\bar{\rho}) \cos n'(\phi - \phi') \right\} \bar{\rho} d\bar{\rho} d\phi'$$
$$= j^{m+1} 2\pi \frac{\cos(m+1)\phi}{\sin(m+1)\phi} \int_{0}^{1} J_{m+1} \left(\bar{\chi}_{mn} \bar{\rho} \right) J_{m+1}(u\bar{\rho}) \bar{\rho} d\bar{\rho}$$

(3.43)

(3.44)

(3.45)

さらに, $ar{N}_{y}$ の第1項の積分 I_{Ny1} は,

$$I_{Ny1} = \int_0^{2\pi} \int_0^1 -J_{m-1} \left(\bar{\chi}_{mn} \bar{\rho} \right) \frac{\sin}{-\cos} (m-1) \phi' \cdot e^{ju\bar{\rho}\cos(\phi-\phi')} \bar{\rho} d\bar{\rho} d\phi'$$
$$= -j^{m-1} 2\pi \frac{\sin}{-\cos} (m-1) \phi \int_0^1 J_{m-1} \left(\bar{\chi}_{mn} \bar{\rho} \right) J_{m-1} (u\bar{\rho}) \bar{\rho} d\bar{\rho}$$

また, \bar{N}_u の第2項の積分 I_{Nu2} は,

$$I_{Ny2} = \int_0^{2\pi} \int_0^1 J_{m+1} (\bar{\chi}_{mn}\bar{\rho}) \frac{\sin}{-\cos} (m+1) \phi' \cdot e^{ju\bar{\rho}\cos(\phi-\phi')} \bar{\rho} d\bar{\rho} d\phi'$$
$$= j^{m+1} 2\pi \frac{\sin}{-\cos} (m+1) \phi \int_0^1 J_{m+1} (\bar{\chi}_{mn}\bar{\rho}) J_{m+1} (u\bar{\rho}) \bar{\rho} d\bar{\rho}$$

積分項は,

$$I_{m\pm 1,n} \equiv \int_{0}^{1} J_{m\pm 1} (\bar{\chi}_{mn}\bar{\rho}) J_{m\pm 1} (u\bar{\rho})\bar{\rho}d\bar{\rho}$$
 (3.46)

ベッセル関数の不定積分公式 $(\alpha \neq \beta)$

$$\int z J_{\nu}(\alpha z) J_{\nu}(\beta z) dz = \frac{z}{\alpha^2 - \beta^2} \left\{ \beta J_{\nu}(\alpha z) J_{\nu}'(\beta z) - \alpha J_{\nu}'(\alpha z) J_{\nu}(\beta z) \right\}$$
(3.47)

より,

$$\int_{0}^{1} z J_{\nu}(\alpha z) J_{\nu}(\beta z) dz = \frac{1}{\alpha^{2} - \beta^{2}} \left\{ \beta J_{\nu}(\alpha) J_{\nu}'(\beta) - \alpha J_{\nu}'(\alpha) J_{\nu}(\beta) \right\}$$
(3.48)

よって,

$$I_{m\pm 1,n} = \frac{1}{\bar{\chi}_{mm}^2 - u^2} \left\{ u J_{m\pm 1}(\bar{\chi}_{mn}) J'_{m\pm 1}(u) - \bar{\chi}_{mn} J'_{m\pm 1}(\bar{\chi}_{mn}) J_{m\pm 1}(u) \right\}$$

3.4 フレネル領域

フレネル領域(距離r), あるいは円すいホーン(開口径D, 軸長L)に対しては,

$$t = \frac{D^2}{8\lambda} \left(\frac{1}{r} + \frac{1}{L} \right) \tag{3.49}$$

を導入して、積分項は、

$$I_{m\pm 1,n} \equiv \int_{0}^{1} J_{m\pm 1} \left(\bar{\chi}_{mn}\bar{\rho}\right) J_{m\pm 1}(u\bar{\rho}) e^{-j2\pi t\bar{\rho}^{2}} \bar{\rho} d\bar{\rho}$$
 (3.50)

このとき,

$$\bar{\mathbf{F}}_{mn} = \frac{1 + \cos \theta}{2} \left(\bar{N}_x \mathbf{a}_{\xi} + \bar{N}_y \mathbf{a}_{\eta} \right) \tag{3.51}$$

ここで,

$$\bar{N}_{x} = j^{m-1} A_{mn} \pi a \bar{\chi}_{mn} \left\{ I_{m-1,n} \cos(m-1)\phi - \ell I_{m+1,n} \cos(m+1)\phi \right\}$$
 (3.52)
$$\bar{N}_{y} = -j^{m-1} A_{mn} \pi a \bar{\chi}_{mn}$$

$$\cdot \left\{ I_{m-1,n} \frac{\sin}{-\cos} (m-1)\phi + \ell I_{m+1,n} \frac{\sin}{-\cos} (m+1)\phi \right\}$$
 (3.53)

これより,

$$\bar{N}_x \cos \phi + \bar{N}_y \sin \phi
= j^{m-1} A_{mn} \pi a \bar{\chi}_{mn}
\cdot \left[\left\{ I_{m-1,n} \cos(m-1)\phi - \ell I_{m+1,n} \cos(m+1)\phi \right\} \cos \phi \right]
- \left\{ I_{m-1,n} \sin(m-1)\phi + \ell I_{m+1,n} \sin(m+1)\phi \right\} \sin \phi \right]$$
(3.54)

上式の[]の中は,

$$I_{m-1,n} \left\{ \begin{aligned} &\cos(m-1)\phi\cos\phi - \sin(m-1)\phi\sin\phi \right\} \\ &-\ell I_{m+1,n} \left\{ \begin{aligned} &\cos(m+1)\phi\cos\phi - \sin(m-1)\phi\sin\phi \right\} \\ &\sin(m+1)\phi\cos\phi + \frac{\sin(m+1)\phi\sin\phi}{-\cos(m+1)\phi\sin\phi} \end{aligned} \right\} \\ &= I_{m-1,n} \frac{\cos m\phi - \ell I_{m+1,n} \cos m\phi}{\sin m\phi} \\ &= \left(I_{m-1,n} - \ell I_{m+1,n} \right) \frac{\cos m\phi}{\sin\phi}$$

(3.55)

また,

$$-\bar{N}_{x} \sin \phi + \bar{N}_{y} \cos \phi$$

$$= j^{m-1} A_{mn} \pi a \bar{\chi}_{mn}$$

$$\cdot \left[-\left\{ I_{m-1,n} \cos(m-1)\phi - \ell I_{m+1,n} \cos(m+1)\phi \right\} \sin \phi \right.$$

$$\left. - \left\{ I_{m-1,n} \sin(m-1)\phi + \ell I_{m+1,n} \sin(m+1)\phi \right\} \cos \phi \right]$$
(3.56)

上式の[]の中は,

$$-I_{m-1,n} \left(\frac{\cos(m-1)\phi \sin \phi + \frac{\sin}{-\cos(m-1)\phi \cos \phi} \right)$$

$$-\ell I_{m+1,n} \left(-\frac{\cos(m+1)\phi \sin \phi + \frac{\sin}{-\cos(m+1)\phi \cos \phi} \right)$$

$$= -I_{m-1,n} \frac{\sin}{-\cos m\phi} - \ell I_{m+1,n} \frac{\sin}{-\cos m\phi}$$

$$= -\left(I_{m-1,n} + \ell I_{m+1,n} \right) \frac{\sin}{-\cos m\phi}$$

(3.57)

したがって,

$$\bar{N}_x \cos \phi + \bar{N}_y \sin \phi = j^{m-1} A_{mn} \pi a \bar{\chi}_{mn} \left(I_{m-1,n} - \ell I_{m+1,n} \right)_{\sin}^{\cos} m \phi$$
(3.58)

$$-\bar{N}_x \sin \phi + \bar{N}_y \cos \phi = -j^{m-1} A_{mn} \pi a \bar{\chi}_{mn} \Big(I_{m-1,n} + \ell I_{m+1,n} \Big) - \cos^{m} m \phi \qquad (3.59)$$

上式の積分項を計算するため、ベッセル関数の不定積分公式

$$\int z J_{\nu}(\alpha z) J_{\nu}(\beta z) dz
= \frac{z}{\alpha^2 - \beta^2} \left\{ \beta J_{\nu}(\alpha z) J_{\nu}'(\beta z) - \alpha J_{\nu}'(\alpha z) J_{\nu}(\beta z) \right\} \qquad (\alpha \neq \beta)$$
(3.60)

を次のように変形する

を次のように変形する。
$$\int \left\{ J_{\nu-1}(\alpha z) J_{\nu-1}(\beta z) \pm J_{\nu+1}(\alpha z) J_{\nu+1}(\beta z) \right\} z \, dz$$

$$= \frac{z}{\alpha^2 - \beta^2} \left\{ \beta J_{\nu-1}(\alpha z) J'_{\nu-1}(\beta z) - \alpha J'_{\nu-1}(\alpha z) J_{\nu-1}(\beta z) \right.$$

$$\pm \beta J_{\nu+1}(\alpha z) J'_{\nu+1}(\beta z) \mp \alpha J'_{\nu+1}(\alpha z) J_{\nu+1}(\beta z) \right\}$$

$$= \frac{z}{\alpha^2 - \beta^2} \left[\beta J_{\nu-1}(\alpha z) \left\{ \frac{\nu - 1}{\beta z} J_{\nu-1}(\beta z) - J_{\nu}(\beta z) \right\} \right.$$

$$- \alpha \left\{ \frac{\nu - 1}{\alpha z} J_{\nu-1}(\alpha z) - J_{\nu}(\alpha z) \right\} J_{\nu-1}(\beta z)$$

$$\pm \beta J_{\nu+1}(\alpha z) \left\{ J_{\nu}(\beta z) - \frac{\nu + 1}{\beta z} J_{\nu+1}(\beta z) \right\}$$

$$\mp \alpha \left\{ J_{\nu}(\alpha z) - \frac{\nu + 1}{\alpha z} J_{\nu+1}(\alpha z) \right\} J_{\nu+1}(\beta z)$$

$$= \frac{z}{\alpha^2 - \beta^2} \left\{ -\beta J_{\nu-1}(\alpha z) J_{\nu}(\beta z) + \alpha J_{\nu}(\alpha z) J_{\nu-1}(\beta z) \right\}$$

 $\pm \beta J_{\nu+1}(\alpha z) J_{\nu}(\beta z) \mp \alpha J_{\nu}(\alpha z) J_{\nu+1}(\beta z)$

$$= \frac{z}{\alpha^2 - \beta^2} \Big[\alpha J_{\nu}(\alpha z) \big\{ J_{\nu-1}(\beta z) \mp J_{\nu+1}(\beta z) \big\}$$
$$-\beta \big\{ J_{\nu-1}(\alpha z) \mp J_{\nu+1}(\alpha z) \big\} J_{\nu}(\beta z) \Big]$$

(3.61)

上側符号については,

$$\int \left\{ J_{\nu-1}(\alpha z) J_{\nu-1}(\beta z) + J_{\nu+1}(\alpha z) J_{\nu+1}(\beta z) \right\} z \, dz$$

$$= \frac{2z}{\alpha^2 - \beta^2} \left\{ \alpha J_{\nu}(\alpha z) J_{\nu}'(\beta z) - \beta J_{\nu}'(\alpha z) J_{\nu}(\beta z) \right\}$$

(3.62)

(3.63)

一方,下側符号については,

$$\int \left\{ J_{\nu-1}(\alpha z) J_{\nu-1}(\beta z) - J_{\nu+1}(\alpha z) J_{\nu+1}(\beta z) \right\} z \, dz$$

$$= \frac{z}{\alpha^2 - \beta^2} \left\{ \alpha J_{\nu}(\alpha z) \frac{2\nu}{\beta z} J_{\nu}(\beta z) - \beta \frac{2\nu}{\alpha z} J_{\nu}(\alpha z) J_{\nu}(\beta z) \right\}$$

$$= \frac{2\nu}{\alpha \beta} J_{\nu}(\alpha z) J_{\nu}(\beta z)$$

したがって, 定積分は,

$$I_{m-1,n} + I_{m+1,n}$$

$$= \int_{0}^{1} \left(J_{m-1} \left(\bar{\chi}_{mn} \bar{\rho} \right) J_{m-1} (u \bar{\rho}) + J_{m+1} \left(\bar{\chi}_{mn} \bar{\rho} \right) J_{m+1} (u \bar{\rho}) \right) \bar{\rho} d\bar{\rho}$$

$$= \frac{2}{\bar{\chi}_{mn}^{2} - u^{2}} \left[\bar{\rho} \left\{ \bar{\chi}_{mn} J_{m} (\bar{\chi}_{mn} \bar{\rho}) J'_{m} (u \bar{\rho}) - u J'_{m} (\bar{\chi}_{mn} \bar{\rho}) J_{m} (u \bar{\rho}) \right\} \right]_{0}^{1}$$

$$= \frac{2}{\bar{\chi}_{mn}^{2} - u^{2}} \left\{ \bar{\chi}_{mn} J_{m} (\bar{\chi}_{mn}) J'_{m} (u) - u J'_{m} (\bar{\chi}_{mn}) J_{m} (u) \right\}$$

$$(3.64)$$

また,

$$\begin{split} I_{m-1,n} - I_{m+1,n} \\ &= \int_0^1 \left(J_{m-1} \left(\bar{\chi}_{mn} \bar{\rho} \right) J_{m-1} (u \bar{\rho}) - J_{m+1} \left(\bar{\chi}_{mn} \bar{\rho} \right) J_{m+1} (u \bar{\rho}) \right) \bar{\rho} d\bar{\rho} \\ &= \frac{2m}{\bar{\chi}_{mn} u} \left[J_m (\bar{\chi}_{mn} \bar{\rho}) J_m (u \bar{\rho}) \right]_0^1 \\ &= \frac{2m}{\bar{\chi}_{mn} u} J_m (\bar{\chi}_{mn}) J_m (u) \end{split}$$

(3.65)

$$\mathrm{TE}_{mn}$$
 モードのとき, $ar{\chi}_{mn}=\chi'_{mn}$, $J'_m(\chi'_{mn})=0$, $\ell=1$ より,

$$I_{m-1,n} - \ell I_{m+1,n} = I_{m-1,n} - I_{m+1,n}$$

$$= \frac{2m}{\chi'_{mn} u} J_m(\chi'_{mn}) J_m(u)$$

$$I_{m-1,n} + \ell I_{m+1,n} = I_{m-1,n} + I_{m+1,n}$$

$$= \frac{2\chi'_{mn}}{\chi'^2 - u^2} J_m(\chi'_{mn}) J'_m(u)$$

これより,

$$\bar{N}_{x}^{\text{TE}} \cos \phi + \bar{N}_{y}^{\text{TE}} \sin \phi = j^{m-1} A_{[mn]} \pi a \frac{2m}{u} J_{m}(\chi'_{mn}) J_{m}(u) \frac{\cos m\phi}{\sin m\phi}$$

$$- \bar{N}_{x}^{\text{TE}} \sin \phi + \bar{N}_{y}^{\text{TE}} \cos \phi$$

$$= -j^{m-1} A_{[mn]} \pi a \frac{2}{1 - \left(\frac{u}{\chi'_{mn}}\right)^{2}} J_{m}(\chi'_{mn}) J'_{m}(u) \frac{\sin m\phi}{-\cos m\phi}$$
(3.68)

よって,

$$m{E}_{p[mn]} = rac{j}{\lambda} \; rac{e^{-jkr}}{r} m{F}_{[mn]}(heta, \phi)$$

(3.70)

(3.66)

(3.67)

ここで,

$$F_{[mn]}(\theta,\phi) = j^{m-1} A_{[mn]} \pi a J_m(\chi'_{mn}) \sqrt{Z_{[mn]}} \frac{1}{2}$$

$$\cdot \left[\left\{ 1 + \frac{\beta_{[mn]}}{k} \cos \theta + \Gamma \left(1 - \frac{\beta_{[mn]}}{k} \cos \theta \right) \right\} \right.$$

$$\cdot \frac{2m}{u} J_m(u) \frac{\cos}{\sin} m \phi \mathbf{a}_{\theta}$$

$$- \left\{ \cos \theta + \frac{\beta_{[mn]}}{k} + \Gamma \left(\cos \theta - \frac{\beta_{[mn]}}{k} \right) \right\}$$

$$\frac{2J'_m(u)}{1 - \left(\frac{u}{\chi'_{mn}} \right)^2} \cdot \frac{\sin}{-\cos} m \phi \mathbf{a}_{\phi} \right]$$

$$(3.71)$$

3.4.1 TM **モード**

一方,
$$\mathrm{TM}_{mn}$$
モードのとき, $\bar{\chi}_{mn}=\chi_{mn}$, $J_m(\chi_{mn})=0$, $\ell=-1$ より,

$$I_{m-1,n} - \ell I_{m+1,n} = I_{m-1,n} + I_{m+1,n} = -\frac{2u}{\chi_{mn}^2 - u^2} J_m'(\chi_{mn}) J_m(u)$$
 (3.72)

$$I_{m-1,n} + \ell I_{m+1,n} = I_{m-1,n} - I_{m+1,n} = 0$$

(3.73)

また,

$$\bar{N}_x^{\scriptscriptstyle \mathrm{TM}}\cos\phi + \bar{N}_y^{\scriptscriptstyle \mathrm{TM}}\sin\phi$$

$$= -j^{m-1} A_{(mn)} \pi a \chi_{mn} \frac{\frac{2u}{\chi_{mn}^2}}{1 - \left(\frac{u}{\chi_{mn}}\right)^2} J'_m(\chi_{mn}) J_m(u) \frac{\cos}{\sin} m \phi$$
 (3.74)

$$-\bar{N}_x^{\text{\tiny TM}}\sin\phi + \bar{N}_y^{\text{\tiny TM}}\cos\phi = 0 \tag{3.75}$$

よって,

$$\boldsymbol{E}_{p(mn)} = \frac{j}{\lambda} \frac{e^{-jkr}}{r} \boldsymbol{F}_{(mn)}(\theta, \phi)$$
 (3.76)

$$\mathbf{F}_{(mn)}(\theta,\phi) = -j^{m-1} A_{(mn)} \pi a J'_{m}(\chi_{mn}) \frac{\frac{2u}{\chi_{mn}}}{1 - \left(\frac{u}{\chi_{mn}}\right)^{2}} J_{m}(u) \sin m\phi \sqrt{Z_{(mn)}}$$

$$\cdot \frac{1}{2} \left\{ 1 + \frac{k}{\beta_{(mn)}} \cos \theta + \Gamma \left(1 - \frac{k}{\beta_{(mn)}} \cos \theta \right) \right\} \mathbf{a}_{\theta}$$

3.5 開口径が十分大きい場合

3.5.1 TEモード

低次のモードについて開口径が十分大きい場合, $\Gamma \simeq 0$, $\beta_{[mn]} \simeq k$ より,

$$\bar{\mathbf{F}}_{[mn]}(\theta,\phi) \simeq j^{m-1} A_{[mn]} \pi a J_m(\chi'_{mn}) \left(1 + \cos \theta\right)$$

$$\cdot \left[\frac{m}{u} J_m(u) \cos m\phi \ \mathbf{a}_{\theta} - \frac{J'_m(u)}{1 - \left(\frac{u}{\chi'_{mn}}\right)^2} \sin m\phi \ \mathbf{a}_{\phi} \right]$$

$$(3.77)$$

m=1のとき (TE_{1n}モード),

$$\mathbf{F}_{[1n]}(\theta,\phi) = A_{[1n]}\pi a J_1(\chi'_{1n}) \left(1 + \cos\theta\right)
\cdot \left[\frac{J_1(u)}{u} \cos \phi \ \mathbf{a}_{\theta} - \frac{J'_1(u)}{1 - \left(\frac{u}{\chi'_{1n}}\right)^2} \sin \phi \ \mathbf{a}_{\phi}\right]$$
(3.78)

$$\boldsymbol{a}_{\theta} = \cos \phi \boldsymbol{a}_{\xi} + \sin \phi \boldsymbol{a}_{\eta} \tag{3.79}$$

$$\mathbf{a}_{\phi} = -\sin\phi \mathbf{a}_{\xi} + \cos\phi \mathbf{a}_{\eta} \tag{3.80}$$

これより、上側符号については、

$$\bar{F}_{[1n]}(\theta,\phi) = A_{[1n]} \frac{\pi a J_1(\chi'_{1n})}{1 - \left(\frac{u}{\chi'_{1n}}\right)^2} \frac{1 + \cos \theta}{2} \left[\left\{ J_0(u) - \frac{u J_1(u)}{\chi'_{1n}^2} \right\} \boldsymbol{a}_{\xi} + \left\{ J_2(u) - \frac{u J_1(u)}{\chi'_{1n}^2} \right\} \cos 2\phi \boldsymbol{a}_{\xi} + \left\{ J_2(u) - \frac{u J_1(u)}{\chi'_{1n}^2} \right\} \sin 2\phi \boldsymbol{a}_{\eta} \right]$$

$$(3.81)$$

正面方向 u=0 で有限値をとるのは第 1 項で,電界の偏波方向は \mathbf{a}_{ξ} 方向である.そして,第 2 項は主偏波の非対称性,第 3 項は交差偏波成分を示している.また,交差偏波成分ピーク値は 45° 面に生じることがわかる.このとき,正面方向($\theta=0$, $\phi=0$)では,

$$\bar{\mathbf{F}}_{[1n]}(0,0) = A_{[1n]}\pi a J_1(\chi'_{1n}) \mathbf{a}_{\xi}
= \sqrt{\frac{2}{\chi'_{1n}^2 - 1}} \sqrt{\pi} a \operatorname{sign}(J_1(\chi'_{1n})) \mathbf{a}_{\xi}$$
(3.82)

$$A_{[1n]} = \sqrt{\frac{2}{\pi(\gamma_{1n}^{\prime 2} - 1)}} \frac{1}{|J_1(\gamma_{1n}^{\prime})|}$$
(3.83)

これより、正面方向のアンテナ利得は,

$$G_{[1n]}\Big|_{\theta=0} = 4\pi \frac{\pi a^2}{\lambda^2} \cdot \frac{2}{\chi_{1n}^{\prime 2} - 1}$$
 (3.84)

下側符号について、電界の偏波は a_n 方向であり、同様の式を求めることができる(導出省略)。

3.5.2 TM =- F

低次のモードについて開口径が十分大きい場合, $\Gamma \simeq 0$, $\beta_{(mn)} \simeq k$ より,

$$\bar{\mathbf{F}}_{(mn)}(\theta,\phi) \simeq -j^{m-1} A_{(mn)} \pi a J'_{m}(\chi_{mn}) \left(1 + \cos \theta\right)
\cdot \frac{\frac{u}{\chi_{mn}} J_{m}(u)}{1 - \left(\frac{u}{\chi_{mn}}\right)^{2} \sin} m \phi \ \mathbf{a}_{\theta}$$
(3.85)

m=1 のとき $(TM_{1n}$ モード),

$$\bar{\mathbf{F}}_{(1n)}(\theta,\phi) = -A_{(1n)}\pi a J_1'(\chi_{1n}) \left(1 + \cos\theta\right) \frac{\frac{u}{\chi_{1n}} J_1(u)}{1 - \left(\frac{u}{\chi_{1n}'}\right)^2} \frac{\cos}{\sin} \phi \, \mathbf{a}_{\theta}$$
(3.86)

$$\boldsymbol{a}_{\theta} = \cos \phi \boldsymbol{a}_{\xi} + \sin \phi \boldsymbol{a}_{\eta} \tag{3.87}$$

3.6 多モード円形導波管開口からの放射

開口面での反射がなく($\Gamma=0$),開口面分布が円形導波管の伝搬モード(TE_{mn} モード および TM_{mn} モード)の合成で与えられている場合を考える。いま,モード係数を $c_{[mn]}$, $c_{(mn)}$ とすると,横断面内電界 E_t および磁界 H_t は,

$$\mathbf{E}_{t} = \sum_{m,n} c_{[mn]} \sqrt{Z_{[mn]}} \mathbf{e}_{[mn]} + \sum_{m,n} c_{(mn)} \sqrt{Z_{(mn)}} \mathbf{e}_{(mn)} = \sum_{i} c_{i} \sqrt{Z_{i}} \mathbf{e}_{i}$$
(3.88)

$$\mathbf{H}_{t} = \sum_{m,n} c_{[mn]} \sqrt{Y_{[mn]}} \mathbf{h}_{[mn]} + \sum_{m,n} c_{(mn)} \sqrt{Y_{(mn)}} \mathbf{h}_{(mn)} = \sum_{i} c_{i} \sqrt{Y_{i}} \mathbf{h}_{i}$$
(3.89)

ただし、モード係数 c_i は次のように規格化されているとする。

$$\int_{S} (\boldsymbol{E}_{t} \times \boldsymbol{H}_{t}^{*}) \cdot \boldsymbol{a}_{z} dS$$

$$\equiv \int_{S} \left\{ \left(\sum_{i} c_{i} \sqrt{Z_{i}} \boldsymbol{e}_{i} \right) \times \left(\sum_{j} c_{j}^{*} \sqrt{Y_{j}} \boldsymbol{h}_{j} \right) \right\} \cdot \boldsymbol{a}_{z} dS$$

$$= \int_{S} \left\{ \sum_{i} \sum_{j} c_{i} c_{j}^{*} \sqrt{Z_{i}} \sqrt{Y_{j}} \left(\boldsymbol{e}_{i} \times \boldsymbol{h}_{j} \right) \cdot \boldsymbol{a}_{z} \right\} dS$$

$$= \sum_{i} \sum_{j} c_{i} c_{j}^{*} \sqrt{Z_{i}} \sqrt{Y_{j}} \int_{S} \boldsymbol{e}_{i} \cdot \boldsymbol{e}_{j} dS$$

$$= \sum_{i} |c_{i}|^{2} \equiv 1$$

つまり,

$$\sum_{m,n} |c_{[mn]}|^2 + \sum_{m,n} |c_{(mn)}|^2 = 1$$
(3.91)

(3.90)

ここで,

$$F_{[mn]}(\theta,\phi) = j^{m-1} A_{[mn]} \pi a J_m(\chi'_{mn}) \sqrt{Z_{[mn]}}$$

$$\cdot \left[\left\{ 1 + \frac{\beta_{[mn]}}{k} \cos \theta + \Gamma \left(1 - \frac{\beta_{[mn]}}{k} \cos \theta \right) \right\} \right.$$

$$\cdot \frac{m}{u} J_m(u) \frac{\cos}{\sin} m \phi \mathbf{a}_{\theta}$$

$$- \left\{ \cos \theta + \frac{\beta_{[mn]}}{k} + \Gamma \left(\cos \theta - \frac{\beta_{[mn]}}{k} \right) \right\}$$

$$\cdot \frac{J'_m(u)}{1 - \left(\frac{u}{\lambda'} \right)^2} \frac{\sin}{-\cos} m \phi \mathbf{a}_{\phi} \right]$$

$$(3.92)$$

また,

$$\mathbf{F}_{(mn)}(\theta,\phi) = -j^{m-1} A_{(mn)} \pi a J_m'(\chi_{mn}) \frac{\frac{u}{\chi_{mn}}}{1 - \left(\frac{u}{\chi_{mn}}\right)^2} J_m(u) \frac{\cos m\phi}{\sin m\phi}$$

$$\cdot \sqrt{Z_{(mn)}} \left\{ 1 + \frac{k}{\beta_{(mn)}} \cos \theta + \Gamma \left(1 - \frac{k}{\beta_{(mn)}} \cos \theta \right) \right\} \mathbf{a}_{\theta} \qquad (3.93)$$

放射電界 E_p は,

$$\mathbf{E}_{p} = \sum_{i} c_{i} \mathbf{E}_{p,i}
= \sum_{m,n} c_{[mn]} \mathbf{E}_{p[mn]} + \sum_{m,n} c_{(mn)} \mathbf{E}_{p(mn)}
= \frac{j}{\lambda} \frac{e^{-jkr}}{r} \left(\sum_{m,n} c_{[mn]} \mathbf{F}_{[mn]} + \sum_{m,n} c_{(mn)} \mathbf{F}_{(mn)} \right)$$
(3.94)

モードの放射電界は,

$$\boldsymbol{E}_{p,mn} = \frac{j}{\lambda} \frac{e^{-jkr}}{r} \boldsymbol{F}_{mn}(\theta, \phi)$$
 (3.95)

アンテナ利得は,

$$G(\theta, \phi) = \frac{4\pi}{\lambda^2} \frac{1}{Z_w} \left| \sum_{m,n} c_{[mn]} \mathbf{F}_{[mn]} + \sum_{m,n} c_{(mn)} \mathbf{F}_{(mn)} \right|^2$$
(3.96)

さらに、 $\beta_{[mn]} \simeq k$ 、 $\beta_{(mn)} \simeq k$ のとき、

$$\boldsymbol{E}_{p} \simeq \frac{j}{\lambda} \frac{e^{-j\kappa r}}{r} \sqrt{Z_{w}} \left(\sum_{m,n} c_{[mn]} \bar{\boldsymbol{F}}_{[mn]} + \sum_{m,n} c_{(mn)} \bar{\boldsymbol{F}}_{(mn)} \right)$$
(3.97)

$$G(\theta,\phi) \simeq \frac{4\pi}{\lambda^2} \left| \sum_{m,n} c_{[mn]} \bar{\boldsymbol{F}}_{[mn]} + \sum_{m,n} c_{(mn)} \bar{\boldsymbol{F}}_{(mn)} \right|^2$$
(3.98)

$$\bar{\mathbf{F}}_{[mn]}(\theta,\phi) \simeq j^{m-1} A_{[mn]} \pi a J_m(\chi'_{mn}) \left(1 + \cos \theta\right)$$

$$\cdot \left[\frac{m}{u} J_m(u) \cos m\phi \, \mathbf{a}_{\theta} - \frac{J'_m(u)}{1 - \left(\frac{u}{\chi'_{mn}}\right)^2} \sin m\phi \, \mathbf{a}_{\phi} \right]$$

$$(3.99)$$

$$\bar{\mathbf{F}}_{(mn)}(\theta,\phi) \simeq -j^{m-1} A_{(mn)} \pi a J'_m(\chi_{mn}) (1 + \cos \theta)$$

$$\frac{\frac{u}{\chi_{mn}}J_m(u)}{1 - \left(\frac{u}{\chi_{mn}}\right)^2} \cos m\phi \ \boldsymbol{a}_{\theta} \tag{3.100}$$

CHAPTER 4

開口面アンテナの設計・解析

アンテナ工学における開口面アンテナの設計と解析について説明する。まず、多重 二次曲面鏡系の等価パラボラ表現を詳細に導出し、複数の反射鏡を持つアンテナの光学特性を統一的に扱う方法を示す。さらに、位相誤差がある場合の平均放射パターンの導出を通じて、鏡面の歪みがアンテナの利得に及ぼす影響を定量化し、カセグレンアンテナの最適開口面分布や鏡面修整法についても幾何光学の原理に基づいた設計アプローチを示していく。そして、高効率で低サイドローブのアンテナを実現するため

の理論的基盤と設計手法を明らかにする.

4.1 多重2次曲面鏡系の等価パラボラ表示

4.1.1 回転放物面鏡と開口面との関係

回転放物面鏡の焦点を頂点とする円すいに沿う光線は反射され平行光線となる。図のように、回転軸に平行な円筒に沿う焦点を \mathbf{F}_m 、焦点距離を f_m 、回転軸に沿う単位ベクトルを \mathbf{k}_m 、点 \mathbf{F}_m を頂点とする円すいの中心軸に沿う単位ベクトルを \mathbf{v}_m 、円すいの半頂角を θ_m とする。

4.1.2 回転放物面鏡

焦点を原点として図に示すように、円すいの中心を Z 軸とする (X,Y,Z) 座標系を考えると、半頂角 θ_m の円すいの方程式は、

$$X^2 + Y^2 = Z^2 \tan^2 \theta_m \tag{4.1}$$

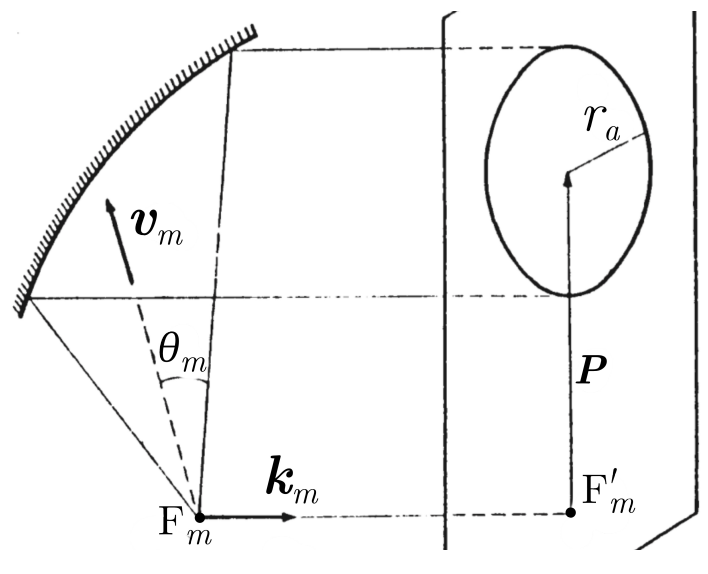


図4.1. 回転放物面鏡と開口面

一方,回転放物面の回転軸をz軸,焦点を原点とする(x,y,z)座標系を定義すると,焦点距離 f_m の回転放物面の方程式は,

$$x^2 + y^2 = 4f_m(z + f_m) (4.2)$$

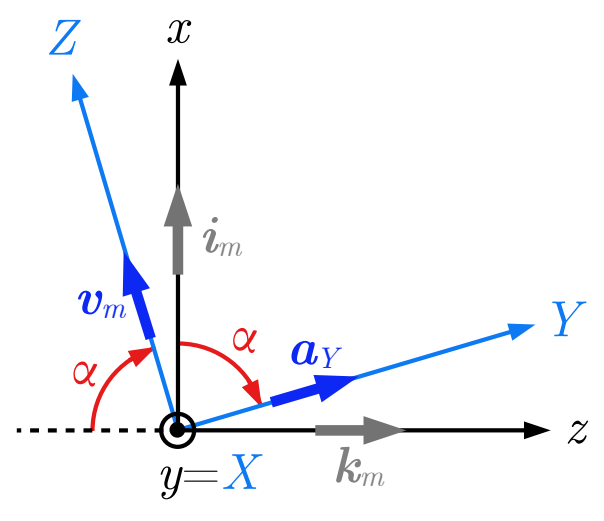


図 4.2. 2つの座標系 (X,Y,Z), (x,y,z)

ここで、オフセット角を α として、図のようなZ軸とz軸のなす角度を基に座標系の関係を考える。まず、単位ベクトルでは、

$$\boldsymbol{v}_m = -\cos\alpha \boldsymbol{k}_m + \sin\alpha \boldsymbol{i}_m \tag{4.3}$$

$$\boldsymbol{a}_Y = \sin \alpha \boldsymbol{k}_m + \cos \alpha \boldsymbol{i}_m \tag{4.4}$$

これより、任意の点の位置ベクトルAを直交する単位ベクトルを用いて表すと、

$$\boldsymbol{A} = Y\boldsymbol{a}_Y + Z\boldsymbol{v}_m = z\boldsymbol{k}_m + x\boldsymbol{i}_m \tag{4.5}$$

両辺に単位ベクトルのスカラー積をとって,

$$\mathbf{A} \cdot \mathbf{a}_{Y} = (Y \mathbf{a}_{Y} + Z \mathbf{v}_{m}) \cdot \mathbf{a}_{Y} = Y$$

$$= (z \mathbf{k}_{m} + x \mathbf{i}_{m}) \cdot \mathbf{a}_{Y} = z \sin \alpha + x \cos \alpha$$

$$\mathbf{A} \cdot \mathbf{v}_{m} = (Y \mathbf{a}_{Y} + Z \mathbf{v}_{m}) \cdot \mathbf{v}_{m} = Z$$

$$= (z \mathbf{k}_{m} + x \mathbf{i}_{m}) \cdot \mathbf{v}_{m} = -z \cos \alpha + x \sin \alpha$$

$$(4.6)$$

両座標系の関係をまとめると,

$$X = y$$

$$Y = x \cos \alpha + z \sin \alpha$$

$$Z = x \sin \alpha - z \cos \alpha$$

$$(4.8)$$

$$(4.9)$$

$$(4.10)$$

上の関係式を,式(4.1)に代入すると,

$$y^{2} + (x\cos\alpha + z\sin\alpha)^{2} = (x\sin\alpha - z\cos\alpha)^{2}\tan^{2}\theta_{m}$$
 (4.11)

これを整理して,

$$y^{2} + (1 - \sin^{2} \alpha \sec^{2} \theta_{m})x^{2} + (1 - \cos^{2} \alpha \sec^{2} \theta_{m})z^{2}$$
$$+ 2xz \sin \alpha \cos \alpha \sec^{2} \theta_{m} = 0$$
 (4.12)

上式と式(4.2)より、 y^2 を消去すると、

$$-x^{2} + 4f_{m}(z + f_{m}) + (1 - \sin^{2}\alpha \sec^{2}\theta_{m})x^{2}$$
$$+(1 - \cos^{2}\alpha \sec^{2}\theta_{m})z^{2} + 2xz\sin\alpha\cos\alpha\sec^{2}\theta_{m} = 0$$
(4.13)

これは、z に関して因数分解でき、

$$\left\{ \left(1 + \cos \alpha \sec \theta_m \right) z + \left(2f_m - \sin \alpha \sec \theta_m x \right) \right\}$$

$$\cdot \left\{ \left(1 - \cos \alpha \sec \theta_m \right) z + \left(2f_m + \sin \alpha \sec \theta_m x \right) \right\} = 0 \tag{4.14}$$

よって,

$$z = \frac{-2f_m \pm \sin \alpha \sec \theta_m x}{1 \pm \cos \alpha \sec \theta_m} \tag{4.15}$$

上式を式(4.2)に代入すると,

$$x^{2} + y^{2} = 4f_{m} \left(\frac{-2f_{m} \pm \sin \alpha \sec \theta_{m} x}{1 \pm \cos \alpha \sec \theta_{m}} + f_{m} \right)$$

$$(4.16)$$

整理すると、次のように円の方程式が得られる.

$$\left(x \mp \frac{2f_m \sin \alpha}{\cos \theta_m \pm \cos \alpha}\right)^2 + y^2 = \left(\frac{2f_m \sin \theta_m}{\cos \theta_m \pm \cos \alpha}\right)^2 \tag{4.17}$$

円の中心 (x_0,y_0) ならびに円の半径 r_a は,

$$(x_0, y_0) = \left(\pm \frac{2f_m \sin \alpha}{\cos \theta_m \pm \cos \alpha}, 0\right)$$

$$r_a = \frac{2f_m \sin \theta_m}{\cos \theta_0 \pm \cos \alpha} \tag{4.19}$$

(4.18)

いま, $\theta_m = 0$ のとき,

$$(x_0, y_0) = \left(\pm \frac{2f_m \sin \alpha}{1 \pm \cos \alpha}, 0\right) \tag{4.20}$$

$$r_a = 0 (4.21)$$

となり、上側符号は円すいの Z>0 に対応し、下側符号は円すいの Z<0 に対応することがわかる。したがって、通常、上側符号をとって、円の方程式は次のようになる。

$$\left(x - \frac{2f_m \sin \alpha}{\cos \theta_m + \cos \alpha}\right)^2 + y^2 = \left(\frac{2f_m \sin \theta_0}{\cos \theta_m + \cos \alpha}\right)^2 \tag{4.22}$$

円すいの中心軸方向の単位ベクトルを v_m とおくと、 $v_m \cdot k_m = -\cos\alpha$ より、円の半径 r_a 、円の中心 (x_0,y_0) は、

$$r_{a} = \frac{2f_{m}\sin\theta_{m}}{\cos\theta_{m} + \cos\alpha} = 2f_{m}\frac{\sin\theta_{m}}{\cos\theta_{m} - (\boldsymbol{v}_{m}\cdot\boldsymbol{k}_{m})}$$

$$(4.23)$$

$$(x_0, y_0) = \left(\frac{2f_m \sin \alpha}{\cos \theta_m + \cos \alpha}, 0\right) \tag{4.24}$$

いま、焦点を含む面を開口面にとり、その面上での円形開口面の中心の位置ベクトルPは、 $v_m\cdot i_m=\sin\alpha$ より(i_m はx方向の単位ベクトル)、

$$P = x_0 \mathbf{i}_m$$

$$= \frac{2f_m \sin \alpha \ \mathbf{i}_m}{\cos \theta_m + \cos \alpha}$$

$$= 2f_m \frac{(\mathbf{v}_m \cdot \mathbf{i}_m) \mathbf{i}_m}{\cos \theta_m - (\mathbf{v}_m \cdot \mathbf{k}_m)}$$
(4.25)

ここで、 $\boldsymbol{v}_m = (\boldsymbol{v}_m \cdot \boldsymbol{i}_m) \boldsymbol{i}_m + (\boldsymbol{v}_m \cdot \boldsymbol{k}_m) \boldsymbol{k}_m$ より、

$$P = x_0 \mathbf{i}_m$$

$$= 2f_m \frac{\mathbf{v}_m - (\mathbf{v}_m \cdot \mathbf{k}_m) \mathbf{k}_m}{\cos \theta_m - (\mathbf{v}_m \cdot \mathbf{k}_m)}$$
(4.26)

逆に、回転軸に平行な円筒に沿って光線が入射したとき、反射光線は焦点を頂点とする円すいに沿うことになる。なお、極形式では、焦点から回転放物面までの方向に沿う単位ベクトルを a_r とおくと、距離rは(導出省略)、

$$r = \frac{2f_m}{1 - \boldsymbol{a}_r \cdot \boldsymbol{k}_m} \tag{4.27}$$

4.1.3 だ円と双曲線の離心率

図に示すようにだ円および双曲線の長軸の長さ A'A を 2a,中心 C から焦点 F または F' までの距離を c とすると,離心率 e は,

$$e = \frac{c}{a} \tag{4.28}$$

離心率eはだ円面のときe < 1, 双曲線のときe > 1ゆえ,

$$p = \operatorname{sign}(e^2 - 1) = \begin{cases} 1 & (双曲線) \\ -1 & (だ円) \end{cases}$$
 (4.29)

で区別できる。さらに、

$$\delta = \begin{cases} 1 & (凹面) \\ -1 & (凸面) \end{cases} \tag{4.30}$$

4.1.4 だ円と双曲線

焦点 ${
m F}_1$ から回転だ円面(凹面)までの距離を $|R_1|$,の点からもう一方の焦点 ${
m F}_2$ までの距離を $|R_2|$,焦点間の距離を L(=2c) とすると,

$$L\mathbf{k}_1 = |R_1|\mathbf{a}_1 - |R_2|\mathbf{a}_2 \tag{4.31}$$

ただし、 k_1 は焦点 F_1 から焦点 F_2 に向かう単位ベクトル、 a_1 、 a_2 は焦点 F_1 、 F_2 からだ円上の点に向かう単位ベクトルを各々示す。

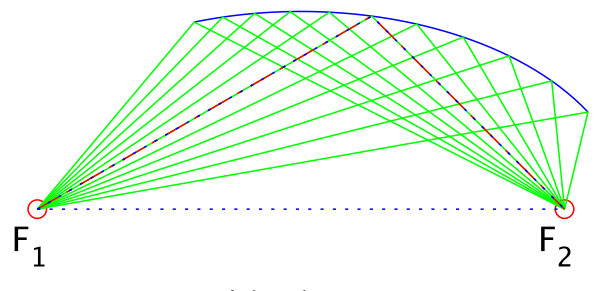


図 4.3. 2つの座標系 (X,Y,Z), (x,y,z)

光線の進む方向に沿った単位ベクトル $ar{a}_1$, $ar{a}_2$ を考えると, $ar{a}_1=a_1$, $ar{a}_2=-a_2$ より,

$$L\mathbf{k}_{1} = |R_{1}|\bar{\mathbf{a}}_{1} - |R_{2}|(-\bar{\mathbf{a}}_{2})$$

$$\equiv \bar{R}_{1}\bar{\mathbf{a}}_{1} - \bar{R}_{2}\bar{\mathbf{a}}_{2}$$
(4.32)

ここで、 \bar{R}_1 、 \bar{R}_2 は光線の進む方向に沿った単位ベクトルの振幅として新たに定義したもので、

$$\bar{R}_1 = |R_1| \tag{4.33}$$

$$\bar{R}_2 = -|R_2| \tag{4.34}$$

これより、離心率e、曲面定数aは、

$$e = \frac{c}{a} = \frac{2c}{2a}$$

$$= \frac{L}{|R_2| + |R_1|}$$

$$= \frac{L}{-\bar{R}_2 + \bar{R}_1} = -\frac{L}{\bar{R}_2 - \bar{R}_1}$$

$$a = -(\bar{R}_2 - \bar{R}_1)$$
(4.35)

このとき、 $p\delta$ は、

$$p\delta = -1 \cdot 1 = -1 \tag{4.37}$$

4.1.5 楕円面, 凸面のとき

また、だ円面の凸面を鏡面とする場合、 $\bar{a}_1=-a_1$ 、 $\bar{a}_2=a_2$ の関係となり、

$$L\mathbf{k}_1 = |R_1|(-\bar{\mathbf{a}}_1) - |R_2|\bar{\mathbf{a}}_2$$

$$\equiv \bar{R}_1\bar{\mathbf{a}}_1 - \bar{R}_2\bar{\mathbf{a}}_2$$
(4.38)

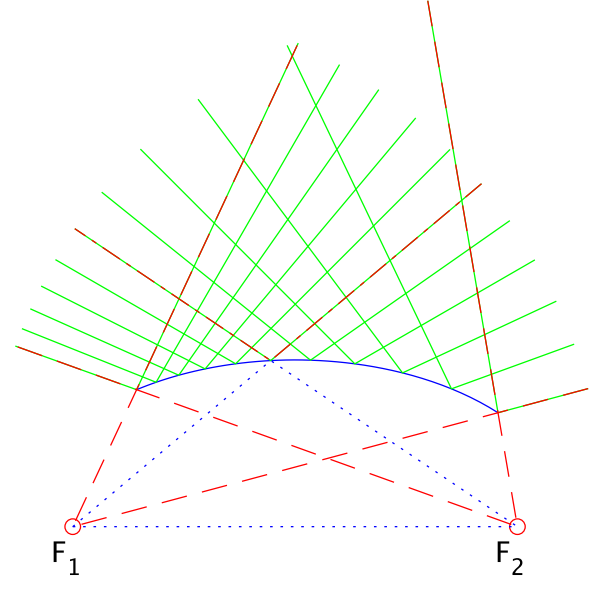


図 4.4. だ円面 (p=-1) の凸面 $(\delta=-1)$ を鏡面とする場合

光線の進む方向に沿った単位ベクトルの振幅は,

$$\bar{R}_1 = -|R_1| \tag{4.39}$$

$$\bar{R}_2 = |R_2| \tag{4.40}$$

これより、離心率e、曲面定数aは、

$$e = \frac{2c}{2a}$$

$$= \frac{L}{|R_2| + |R_1|}$$

$$= \frac{L}{\bar{R}_2 - \bar{R}_1}$$

$$a = \bar{R}_2 - \bar{R}_1$$
(4.41)

このとき、 $p\delta$ は、

$$p\delta = -1 \cdot (-1) = 1 \tag{4.43}$$

4.1.6 双曲面,凹面,発散系のとき

焦点 F_1 から双曲面(凹面,発散系)までの距離を $|R_1|$,その鏡面上の点からもう一方の 焦点 F_2 までの距離を $|R_2|$,焦点間の距離 L=2c とすると,

$$L\mathbf{k}_1 = |R_1|\mathbf{a}_1 - |R_2|\mathbf{a}_2 \tag{4.44}$$

ただし、 k_1 は焦点 F_n から焦点 F_2 に向かう単位ベクトル、 a_1 、 a_2 は焦点 F_1 、 F_2 から双曲面上の点に向かう単位ベクトルを各々示す。光線の進む方向に沿った単位ベクトル \bar{a}_1 、 \bar{a}_2

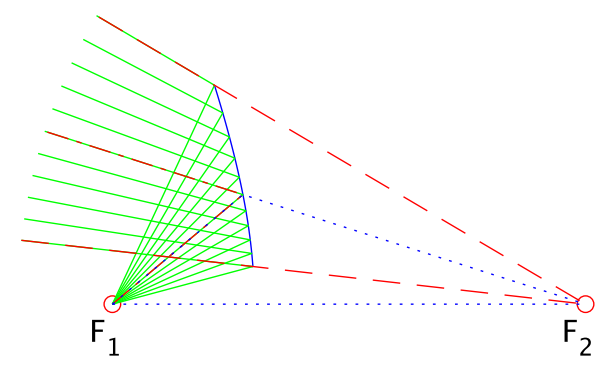


図 4.5. 双曲面 (p=1), 凹面 $(\delta=1)$, 発散系

を考えると、 $\bar{a}_1 = a_1$ 、 $\bar{a}_2 = a_2$ より、

$$L\mathbf{k}_1 = |R_1|\bar{\mathbf{a}}_1 - |R_2|\bar{\mathbf{a}}_2$$

$$\equiv \bar{R}_1\bar{\mathbf{a}}_1 - \bar{R}_2\bar{\mathbf{a}}_2$$
(4.45)

ここで,

$$\bar{R}_1 = |R_1|$$

$$\bar{R}_2 = |R_2|$$
(4.46)
$$(4.47)$$

(4.48)

(4.49)

これより、離心率e、曲面定数aは、

$$e = \frac{2c}{2a}$$

$$= \frac{L}{|R_2| - |R_1|}$$

$$= \frac{L}{\bar{R}_2 - \bar{R}_1}$$

$$a = \bar{R}_2 - \bar{R}_1$$

このとき, $p\delta$ は,

$$p\delta = 1 \cdot 1 = 1 \tag{4.50}$$

4.1.7 双曲面, 凹面, 集束系のとき

光線の進む方向に沿った単位ベクトルは $ar{a}_1=-a_1$, $ar{a}_2=-a_2$ の関係となり,

$$L\mathbf{k}_{1} = |R_{1}|(-\bar{\mathbf{a}}_{1}) - |R_{2}|(-\bar{\mathbf{a}}_{2})$$

$$\equiv \bar{R}_{1}\bar{\mathbf{a}}_{1} - \bar{R}_{2}\bar{\mathbf{a}}_{2}$$
(4.51)

ここで、光線の進む方向に沿った単位ベクトルの振幅は、

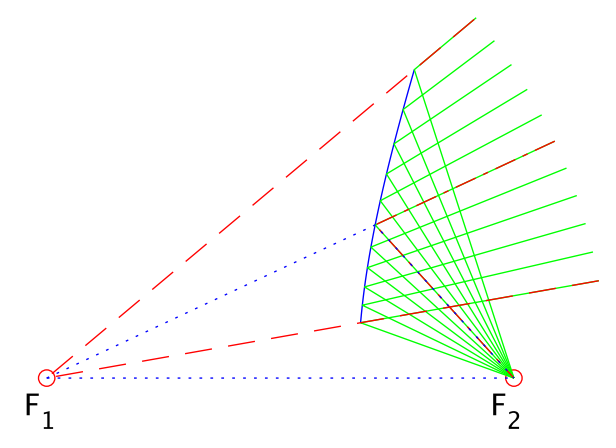


図 4.6. 双曲面 (p=1), 凹面 $(\delta=1)$, 集束系

$$\bar{R}_1 = -|R_1|$$

$$\bar{R}_2 = -|R_2|$$

(4.52) (4.53)

これより、離心率e、曲面定数aは、

$$e = \frac{2c}{2a}$$

$$= \frac{L}{|R_1| - |R_2|}$$

$$= \frac{L}{-\bar{R}_1 + \bar{R}_2}$$

$$= \frac{L}{\bar{R}_2 - \bar{R}_1}$$

 $a = \bar{R}_2 - \bar{R}_1$

(4.55)

このとき, $p\delta$ は,

$$p\delta = 1 \cdot 1 = 1$$

(4.56)

(4.54)

4.1.8 双曲面, 凸面, 発散系のとき

双曲面の凸面 (発散系) を鏡面とする場合,光線の進む方向に沿った単位ベクトルは, $ar{a}_1=a_1$, $ar{a}_2=a_2$.よって,

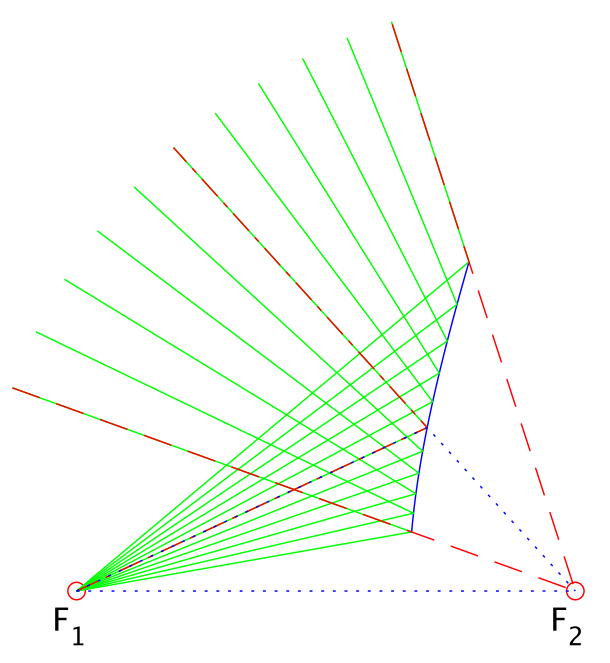


図 4.7. 双曲面 (p=1), 凸面 $(\delta=-1)$, 発散系

$$L\mathbf{k}_1 = |R_1|\bar{\mathbf{a}}_1 - |R_2|\bar{\mathbf{a}}_2$$

$$\equiv \bar{R}_1\bar{\mathbf{a}}_1 - \bar{R}_2\bar{\mathbf{a}}_2$$

(4.57)

ここで、光線の進む方向に沿った単位ベクトルの振幅は、

$$\bar{R}_1 = |R_1|$$

$$\bar{R}_2 = |R_2|$$

$$(4.58)$$
 (4.59)

これより、離心率e、曲面定数aは、

$$e = \frac{2c}{2a}$$

$$= \frac{L}{|R_1| - |R_2|}$$

$$= \frac{L}{\bar{R}_1 - \bar{R}_2}$$

$$= -\frac{L}{\bar{R}_2 - \bar{R}_1}$$

$$a = -(\bar{R}_2 - \bar{R}_1)$$

(4.60)

(4.61)

このとき、 $p\delta$ は、

$$p\delta = 1 \cdot (-1) = -1 \tag{4.62}$$

4.1.9 双曲面, 凸面, 集束系のとき

双曲面の凸面 (集束系) を鏡面とする場合,光線の進む方向に沿った単位ベクトルは, $ar{a}_1=-a_1$, $ar{a}_2=-a_2$ の関係となり,

$$L\mathbf{k}_{1} = |R_{1}|(-\bar{\mathbf{a}}_{1}) - |R_{2}|(-\bar{\mathbf{a}}_{2})$$

$$\equiv \bar{R}_{1}\bar{\mathbf{a}}_{1} - \bar{R}_{2}\bar{\mathbf{a}}_{2}$$
(4.63)

ここで、光線の進む方向に沿った単位ベクトルの振幅は、

$$\bar{R}_1 = -|R_1| \tag{4.64}$$

$$\bar{R}_2 = -|R_2| \tag{4.65}$$

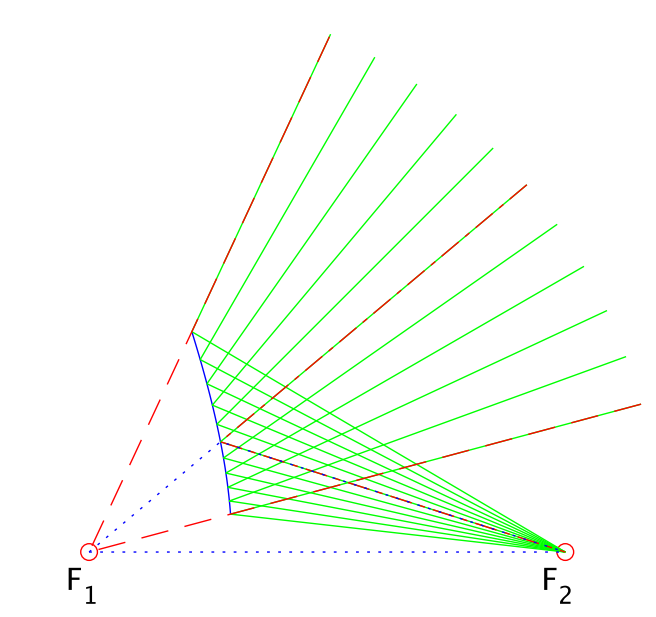


図 4.8. 双曲面 (p=1),凸面 $(\delta=-1)$,集束系

これより、離心率e、曲面定数aは、

$$= \frac{2c}{2a}$$

$$= \frac{L}{-|R_1| + |R_2|}$$

$$= \frac{L}{\bar{R} - \bar{R}}$$

このとき、 $p\delta$ は、

$$p\delta = 1 \cdot (-1) = -1 \tag{4.68}$$

4.1.10 離心率

種類の異なる鏡面系を統一的に計算するために、離心率 ē を次式で定義する。

$$\bar{e} \equiv \frac{L}{\bar{R}_2 - \bar{R}_1} = p\delta e \tag{4.69}$$

また,

$$a = p\delta(\bar{R}_2 - \bar{R}_1) \tag{4.70}$$

ここで,

$$p = \operatorname{sign}(\bar{e}^2 - 1) = \begin{cases} 1 & (回転双曲面) \\ -1 & (回転だ円面) \end{cases}$$
(4.71)

$$\delta = \begin{cases} 1 & (凹面) \\ -1 & (凸面) \end{cases} \tag{4.72}$$

4.1.11 だ円および双曲線の関係式

焦点 F_n から鏡面上の点 P までの距離が $|R_n|$ のとき、光線の進む方向に焦点がある場合 $\bar{R}_n \equiv -|R_n|$ 、逆の場合 $\bar{R}_n \equiv |R_n|$ として、

$$\bar{R}_n = \frac{p\delta a(\bar{e}^2 - 1)}{1 + \bar{e}\cos\vartheta}
= \frac{p\delta a(\bar{e}^2 - 1)}{1 + \bar{e}(\bar{\boldsymbol{a}}_n \cdot \boldsymbol{k}_n)}$$
(4.73)

ただし、 \bar{a}_n は点 P に入射する光線の進む方向に沿う単位ベクトル、 k_n はこの焦点 F_n からもう一方の焦点 F_{n+1} への方向に沿う単位ベクトルを示す。ここで、

$$\bar{R}_{n+1}\bar{\boldsymbol{a}}_{n+1} = \bar{R}_n\bar{\boldsymbol{a}}_n - L\boldsymbol{k}_n \tag{4.74}$$

光線の進む方向に焦点 F_{n+1} がある場合 $q_{n+1}=-1$, 逆の場合 $q_{n+1}=1$ として,

$$\bar{R}_{n+1} = q_{n+1} \sqrt{\bar{R}_n^2 - 2\bar{R}_n L(\bar{\boldsymbol{a}}_n \cdot \boldsymbol{k}_n) + L^2}$$
(4.75)

$$\bar{\boldsymbol{a}}_{n+1} = \frac{R_n \bar{\boldsymbol{a}}_n - L \boldsymbol{k}_n}{\bar{R}_{n+1}} \tag{4.76}$$

4.1.12 回転2次曲面鏡系の入射光線と反射光線

符号を考慮した離心率 \bar{e} の式(4.69)を変形して,

$$R_{n+1} = R_n + \frac{L}{\bar{e}} \tag{4.77}$$

光線に沿う単位ベクトルを α_n , α_{n+1} とおくと,

$$L\mathbf{k}_n = R_n \mathbf{\alpha}_n - R_{n+1} \mathbf{\alpha}_{n+1} \tag{4.78}$$

上の2式より R_{n+1} を消去すると,

$$R_{n}\boldsymbol{\alpha}_{n} = R_{n+1}\boldsymbol{\alpha}_{n+1} + L\boldsymbol{k}_{n}$$

$$= \left(R_{n} + \frac{L}{\bar{e}}\right)\boldsymbol{\alpha}_{n+1} + L\boldsymbol{k}_{n}$$

$$= R_{n}\boldsymbol{\alpha}_{n+1} + \frac{L}{\bar{e}}(\boldsymbol{\alpha}_{n+1} + \bar{e}\boldsymbol{k}_{n})$$

$$= R_{n}\boldsymbol{\alpha}_{n+1} + \frac{L}{\bar{e}}\boldsymbol{x}$$

$$(4.79)$$

ここで,

$$\boldsymbol{x} \equiv \boldsymbol{\alpha}_{n+1} + \bar{e}\boldsymbol{k}_n \tag{4.80}$$

これより,

$$\alpha_n = \alpha_{n+1} + \frac{L}{R_n \bar{e}} x$$

$$1 = \left(\alpha_{n+1} + \frac{L}{R_n \bar{e}} x\right)^2 = 1 + 2 \frac{L}{R_n \bar{e}} (\alpha_{n+1} \cdot x) + \left(\frac{L}{R_n \bar{e}}\right)^2 x^2$$

$$\therefore 0 = 2(\alpha_{n+1} \cdot x) + \frac{L}{R_n \bar{e}} x^2$$

よって,

$$R_{n} = -\frac{L}{2\bar{e}} \cdot \frac{\boldsymbol{x}^{2}}{(\boldsymbol{\alpha}_{n+1} \cdot \boldsymbol{x})}$$

$$= -\frac{L}{2\bar{e}} \cdot \frac{(\boldsymbol{\alpha}_{n+1} + \bar{e}\boldsymbol{k}_{n})^{2}}{\boldsymbol{\alpha}_{n+1} \cdot (\boldsymbol{\alpha}_{n+1} + \bar{e}\boldsymbol{k}_{n})}$$

$$= -\frac{L}{2\bar{e}} \cdot \frac{\bar{e}^{2} + 1 + 2\bar{e}(\boldsymbol{k}_{n} \cdot \boldsymbol{\alpha}_{n+1})}{1 + \bar{e}(\boldsymbol{k}_{n} \cdot \boldsymbol{\alpha}_{n+1})}$$

(4.81)

また,

$$R_{n+1} = R_n + \frac{L}{\bar{e}}$$

$$= -\frac{L}{2\bar{e}} \cdot \frac{\bar{e}^2 + 1 + 2\bar{e}(\mathbf{k}_n \cdot \mathbf{\alpha}_{n+1})}{1 + \bar{e}(\mathbf{k}_n \cdot \mathbf{\alpha}_{n+1})} + \frac{L}{\bar{e}}$$

$$= -\frac{L}{2\bar{e}} \cdot \frac{\bar{e}^2 + 1 + 2\bar{e}(\mathbf{k}_n \cdot \mathbf{\alpha}_{n+1}) - 2 - 2\bar{e}(\mathbf{k}_n \cdot \mathbf{\alpha}_{n+1})}{1 + \bar{e}(\mathbf{k}_n \cdot \mathbf{\alpha}_{n+1})}$$

$$= -\frac{L}{2\bar{e}} \cdot \frac{\bar{e}^2 - 1}{1 + \bar{e}(\mathbf{k}_n \cdot \mathbf{\alpha}_{n+1})}$$

$$(4.82)$$

いま, 入射光線群(α_n に沿う光線)によってできる円すいを考え, の中心軸に沿う単位ベクトルを v_n とすると,

$$\boldsymbol{\alpha}_n \cdot \boldsymbol{v}_n = \cos \theta_n \quad (-\boldsymbol{\Xi}) \tag{4.83}$$

ただし、 θ_n は円すいの半頂角を示す。一方、これら入射光線群が鏡面で反射した後、反射光線群(α_{n+1} に沿う光線)によって円すいができ、その中心軸に沿う単位ベクトルを v_{n+1} とすると、

$$\boldsymbol{\alpha}_{n+1} \cdot \boldsymbol{v}_{n+1} = \cos \theta_{n+1} \ (-\boldsymbol{\Xi}) \tag{4.84}$$

まず、式(4.79)の両辺に v_n のスカラ積をとると、

$$R_n \{\cos \theta_n - (\boldsymbol{\alpha}_{n+1} \cdot \boldsymbol{v}_n)\} = \frac{L}{\bar{e}} (\boldsymbol{x} \cdot \boldsymbol{v}_n)$$
(4.85)

上式に式(4.81)を代入して R_n を消去し、さらに、式(4.80)を代入してxも消去すると、

$$-\frac{L}{2\bar{e}} \cdot \frac{\bar{e}^2 + 1 + 2\bar{e}(\mathbf{k}_n \cdot \mathbf{\alpha}_{n+1})}{1 + \bar{e}(\mathbf{k}_n \cdot \mathbf{\alpha}_{n+1})} \left\{ \cos \theta_n - (\mathbf{\alpha}_{n+1} \cdot \mathbf{v}_n) \right\}$$

$$= \frac{L}{\bar{e}} (\mathbf{\alpha}_{n+1} + \bar{e}\mathbf{k}_n) \cdot \mathbf{v}_n$$
(4.86)

両辺に $-\frac{2\bar{e}}{L}\{1+\bar{e}(\boldsymbol{l}\cdot\boldsymbol{a}_{r2})\}$ を乗じて,

$${\bar{e}^2 + 1 + 2\bar{e}(\mathbf{k}_n \cdot \mathbf{\alpha}_{n+1})} {\cos \theta_n - (\mathbf{\alpha}_{n+1} \cdot \mathbf{v}_n)}
= -2 {1 + \bar{e}(\mathbf{k}_n \cdot \mathbf{\alpha}_{n+1})} (\mathbf{\alpha}_{n+1} + \bar{e}\mathbf{k}_n) \cdot \mathbf{v}_n$$
(4.87)

単位ベクトル a_{r2} に関して整理すると,

$$\{(\bar{e}^2 - 1)\boldsymbol{v}_n - 2\bar{e}^2\boldsymbol{k}_n(\boldsymbol{k}_n \cdot \boldsymbol{v}_n) - 2\bar{e}\boldsymbol{k}_n\cos\theta_n\} \cdot \boldsymbol{\alpha}_{n+1}$$

$$= 2\bar{e}(\boldsymbol{k}_n \cdot \boldsymbol{v}_n) + (\bar{e}^2 + 1)\cos\theta_n$$
(4.88)

上式の両辺に $\frac{1}{z^2-1}$ を乗じて,

$$\left\{ \boldsymbol{v}_{n} - \frac{2\bar{e}^{2}}{\bar{e}^{2} - 1} \boldsymbol{k}_{n} (\boldsymbol{k}_{n} \cdot \boldsymbol{v}_{n}) - \frac{2\bar{e}}{\bar{e}^{2} - 1} \boldsymbol{k}_{n} \cos \theta_{n} \right\} \cdot \boldsymbol{\alpha}_{n+1}$$

$$= \frac{2\bar{e}}{\bar{e}^{2} - 1} (\boldsymbol{k}_{n} \cdot \boldsymbol{v}_{n}) + \frac{\bar{e}^{2} + 1}{\bar{e}^{2} - 1} \cos \theta_{n} \tag{4.89}$$

ここで,

$$\boldsymbol{K}_{n+1} \equiv \boldsymbol{v}_n - \frac{2\bar{e}^2}{\bar{e}^2 - 1} \boldsymbol{k}_n (\boldsymbol{k}_n \cdot \boldsymbol{v}_n) - \frac{2\bar{e}}{\bar{e}^2 - 1} \boldsymbol{k}_n \cos \theta_n$$
 (4.90)

とおくと (K_{n+1} は定べクトル),

$$\boldsymbol{\alpha}_{n+1} \cdot \boldsymbol{K}_{n+1} = \frac{2\bar{e}}{\bar{e}^2 - 1} (\boldsymbol{k}_n \cdot \boldsymbol{v}_n) + \frac{\bar{e}^2 + 1}{\bar{e}^2 - 1} \cos \theta_n$$
 (4.91)

ここでは、 $\alpha_n\cdot v_n=\cos\theta_n$ (一定)より、定ベクトル v_n (単位ベクトル)とスカラ積をとって一定値となるから、単位ベクトル α_n は円すいに沿う入射光線群である。鏡面で反射した光線群も円すいに沿う単位ベクトル α_{n+1} であり、これとスカラ積をとって一定値となる式 (4.91) より、 K_{n+1} は円すいの中心軸に沿う方向である。そこで、 $K_{n+1}\equiv Cv_{n+1}$ とおく

と、円すいの中心軸方向の単位ベクトル $oldsymbol{v}_{n+1}$ は、

$$\boldsymbol{v}_{n+1} = \frac{\boldsymbol{K}_{n+1}}{C} = \frac{1}{C} \left\{ \boldsymbol{v}_n - \frac{2\bar{e}^2}{\bar{e}^2 - 1} \boldsymbol{k}_n (\boldsymbol{k}_n \cdot \boldsymbol{v}_n) - \frac{2\bar{e}}{\bar{e}^2 - 1} \boldsymbol{k}_n \cos \theta_n \right\}$$
(4.92)

いま、 $\theta_n = 0$ として、中心軸のみで入射光線、反射光線を考えると、

$$\boldsymbol{v}_{n+1} = \frac{R_n}{R_{n+1}} \boldsymbol{v}_n - \frac{L}{R_{n+1}} \boldsymbol{k}_n \tag{4.93}$$

上式を式(4.92)と比較すると次の関係が得られる.

$$\operatorname{sign}(C) = \operatorname{sign}\left(\frac{R_n}{R_{n+1}}\right) = p \tag{4.94}$$

これより,

$$\boldsymbol{v}_{n+1} = \frac{p}{|C|} \left\{ \left(\bar{\bar{\boldsymbol{I}}} - \frac{2\bar{e}^2}{\bar{e}^2 - 1} \boldsymbol{k}_n \boldsymbol{k}_n \right) \cdot \boldsymbol{v}_n + \left(\frac{-2\bar{e}}{\bar{e}^2 - 1} \boldsymbol{k}_n \right) \cos \theta_n \right\}$$
(4.95)

ただし、 $ar{ar{I}}$ は恒等ダイディクスを示す.

$$\bar{\bar{I}} = ii + jj + kk \tag{4.96}$$

ここで,

$$\bar{\mathbf{A}}_n \equiv p \left(\bar{\mathbf{I}} - \frac{2\bar{e}^2}{\bar{e}^2 - 1} \mathbf{k}_n \mathbf{k}_n \right)$$

$$\mathbf{b}_n \equiv p \frac{-2\bar{e}}{\bar{e}^2 - 1} \mathbf{k}_n$$

$$\mathbf{z}_n \equiv |C|$$
(4.97)
$$(4.98)$$
(4.99)

とおくと,単位ベクトル $oldsymbol{v}_{n+1}$ は,

$$\boldsymbol{v}_{n+1} = \frac{1}{z_n} (\bar{\bar{\boldsymbol{A}}}_n \cdot \boldsymbol{v}_n + \boldsymbol{b}_n \cos \theta_n)$$
 (4.100)

式 (4.91) より,

$$\alpha_{n+1} \cdot \boldsymbol{v}_{n+1} = \cos \theta_{n+1}$$

$$= \alpha_{n+1} \cdot \frac{\boldsymbol{K}_{n+1}}{C}$$

$$= \frac{p}{|C|} \left\{ \left(\frac{2\bar{e}}{\bar{e}^2 - 1} \boldsymbol{k}_n \right) \cdot \boldsymbol{v}_n + \left(\frac{\bar{e}^2 + 1}{\bar{e}^2 - 1} \right) \cos \theta_n \right\}$$
(4.101)

ここで,

とおくと,
$$\cos \theta_{n+1}$$
は, $\cos \theta_{n+1} = rac{1}{z_n} (m{a}_n \cdot m{v}_n + b_n \cos \theta_n)$

 $oldsymbol{a}_n \equiv p rac{2ar{e}}{ar{e}^2 - 1} oldsymbol{k}_n = -oldsymbol{b}_n$

 $=\frac{(\bar{e}^2+1)^2}{(\bar{e}^2-1)^2}$

 $b_n \equiv p \frac{\bar{e}^2 + 1}{\bar{e}^2 - 1}$

 $z_n = |C|$

$$\begin{pmatrix} \boldsymbol{v}_{n+1} \\ \cos \theta_{n+1} \end{pmatrix} = \frac{1}{z_n} \begin{pmatrix} \bar{\boldsymbol{A}}_n \cdot & \boldsymbol{b}_n \\ \boldsymbol{a}_n \cdot & b_n \end{pmatrix} \begin{pmatrix} \boldsymbol{v}_n \\ \cos \theta_n \end{pmatrix}$$

このとき、次のような関係が成り立つ.

このとき,次のような関係が成り立つ.
$$b_n^2 = \left(p\frac{\bar{e}^2+1}{\bar{e}^2-1}\right)^2$$

(4.107)

(4.102)

(4.103)

(4.104)

これより,

$$b_{n}^{2} = b_{n} \cdot b_{n}$$

$$= \left(p \frac{-2\bar{e}}{\bar{e}^{2} - 1} k_{n}\right) \cdot \left(p \frac{-2\bar{e}}{\bar{e}^{2} - 1} k_{n}\right)$$

$$= \frac{4\bar{e}^{4}}{(\bar{e}^{2} - 1)^{2}}$$

$$= \frac{(\bar{e}^{2} + 1)^{2} - (\bar{e}^{2} - 1)^{2}}{(\bar{e}^{2} - 1)^{2}}$$

$$= \frac{(\bar{e}^{2} + 1)^{2}}{(\bar{e}^{2} - 1)^{2}} - 1$$

$$= b_{n}^{2} - 1$$
(4.108)

また,

$$\bar{\bar{A}}_n = p\bar{\bar{I}} + \bar{e}b_n k_n
= p\bar{\bar{I}} - \bar{e}a_n k_n$$
(4.109)

$$egin{align} oldsymbol{b}_n \cdot ar{ar{ar{A}}}_n &= -oldsymbol{a}_n \cdot \left(par{ar{ar{I}}} - ar{e}oldsymbol{a}_n oldsymbol{k}_n
ight) \ &= -poldsymbol{a}_n + ar{e}oldsymbol{a}_n \cdot oldsymbol{a}_n oldsymbol{k}_n \ &= p\left(-1 + ar{e}rac{2ar{e}}{ar{e}^2 - 1}
ight)oldsymbol{a}_n \ &= prac{ar{e}^2 + 1}{ar{e}^2 - 1}oldsymbol{a}_n \end{split}$$

 $oldsymbol{b}_n \cdot ar{ar{ar{A}}}_n = ar{ar{ar{A}}}_n^t \cdot oldsymbol{b}_n$

 $=ar{ar{ar{A}}}_n\cdot m{b}_n$

 $=b_n \boldsymbol{a}_n$

 $= a_n b_n$

(4.110)

(4.111)

 $=b_n \boldsymbol{a}_n$

ここで, $ar{ar{m{A}}}_n=ar{ar{m{A}}}_n^t$ より($ar{ar{m{A}}}_n^t$ は $ar{ar{m{A}}}_n$ の転置),

また,

$$\bar{\boldsymbol{A}}_{n}^{t} \cdot \bar{\boldsymbol{A}}_{n} = \bar{\boldsymbol{A}}_{n} \cdot \bar{\boldsymbol{A}}_{n}
= \left(p\bar{\boldsymbol{I}} + \bar{e}\boldsymbol{b}_{n}\boldsymbol{k}_{n}\right) \cdot \left(p\bar{\boldsymbol{I}} + \bar{e}\boldsymbol{b}_{n}\boldsymbol{k}_{n}\right)
= \bar{\boldsymbol{I}} + 2\bar{e}\boldsymbol{b}_{n}\boldsymbol{k}_{n} + \bar{e}\boldsymbol{b}_{n}\boldsymbol{k}_{n} \cdot \boldsymbol{b}_{n}\boldsymbol{k}_{n}
= \bar{\boldsymbol{I}} + \left(2\frac{-2\bar{e}^{2}}{\bar{e}^{2} - 1} + \frac{(-2\bar{e}^{2})^{2}}{(\bar{e}^{2} - 1)^{2}}\right)\boldsymbol{k}_{n}\boldsymbol{k}_{n}
= \bar{\boldsymbol{I}} + \frac{(-2\bar{e})^{2}}{(\bar{e}^{2} - 1)^{2}}\boldsymbol{k}_{n}\boldsymbol{k}_{n}
= \bar{\boldsymbol{I}} + \boldsymbol{b}_{n}\boldsymbol{b}_{n}
= \bar{\boldsymbol{I}} + \boldsymbol{a}_{n}\boldsymbol{a}_{n} \tag{4.112}$$

まとめると,

$$\bar{\bar{A}}_{n}^{t} \cdot \bar{\bar{A}}_{n} = \bar{\bar{I}} + \boldsymbol{a}_{n} \boldsymbol{a}_{n} = \bar{\bar{I}} + \boldsymbol{b}_{n} \boldsymbol{b}_{n}$$

$$\bar{\bar{A}}_{n} \cdot \boldsymbol{b}_{n} = \boldsymbol{a}_{n} b_{n}$$

$$\boldsymbol{b}_{n}^{2} = b_{n}^{2} - 1$$

$$(4.113)$$

ただし, $ar{ar{A}}_n^t$ は $ar{ar{A}}_n$ の転置を示す.

入射および反射光線からなる円すいの半頂角 θ_n , θ_{n+1} の関係をさらに考えていこう.

$$\sin^2 \theta_{n+1} = 1 - \cos^2 \theta_{n+1}$$

$$= \mathbf{v}_{n+1}^2 - (\mathbf{v}_{n+1} \cdot \boldsymbol{\alpha}_{n+1})^2$$
(4.116)

ここで、式を再記して、

$$\boldsymbol{v}_{n+1} = \frac{1}{z_n} (\bar{\boldsymbol{A}}_n \cdot \boldsymbol{v}_n + \boldsymbol{b}_n \cos \theta_n)$$
 (4.117)

$$\cos \theta_{n+1} = \boldsymbol{v}_{n+1} \cdot \boldsymbol{\alpha}_{n+1}$$

$$= \frac{1}{z_n} (\boldsymbol{a}_n \cdot \boldsymbol{v}_n + b_n \cos \theta_n)$$
(4.118)

これより,

$$\sin^2 \theta_{n+1} = \frac{1}{z_n^2} (\bar{\bar{\boldsymbol{A}}}_n \cdot \boldsymbol{v}_n + \boldsymbol{b}_n \cos \theta_n)^2 - \frac{1}{z_n^2} (\boldsymbol{a}_n \cdot \boldsymbol{v}_n + b_n \cos \theta_n)^2$$
(4.119)

整理して,

$$z_{n}^{2} \sin^{2} \theta_{n+1}$$

$$= \left(\bar{\bar{A}}_{n} \cdot \boldsymbol{v}_{n}\right) \cdot \left(\bar{\bar{A}}_{n} \cdot \boldsymbol{v}_{n}\right) + 2\left(\bar{\bar{A}}_{n} \cdot \boldsymbol{v}_{n}\right) \cdot \boldsymbol{b}_{n} \cos \theta_{n}$$

$$+ \boldsymbol{b}_{n} \cdot \boldsymbol{b}_{n} \cos^{2} \theta_{n} - (\boldsymbol{a}_{n} \cdot \boldsymbol{v}_{n})^{2} - 2\left(\boldsymbol{a}_{n} \cdot \boldsymbol{v}_{n}\right) b_{n} \cos \theta_{n} - b_{n}^{2} \cos^{2} \theta_{n}$$

$$= \left\{\boldsymbol{v}_{n} \cdot \bar{\bar{A}}_{n}^{t} \cdot \bar{\bar{A}}_{n} \cdot \boldsymbol{v}_{n} - (\boldsymbol{a}_{n} \cdot \boldsymbol{v}_{n})^{2}\right\}$$

$$+ 2\left\{\boldsymbol{b}_{n} \cdot \bar{\bar{A}}_{n} \cdot \boldsymbol{v}_{n} - (\boldsymbol{a}_{n} \cdot \boldsymbol{v}_{n}) b_{n}\right\} \cos \theta_{n}$$

$$+ \left(\boldsymbol{b}_{n} \cdot \boldsymbol{b}_{n} - b_{n}^{2}\right) \cos^{2} \theta_{n}$$

$$(4.120)$$

ここで,

$$\mathbf{v}_{n} \cdot \bar{\mathbf{A}}_{n}^{t} \cdot \bar{\mathbf{A}}_{n} \cdot \mathbf{v}_{n} = \mathbf{v}_{n} \cdot \left(\bar{\mathbf{I}} + \mathbf{b}_{n} \mathbf{b}_{n}\right) \cdot \mathbf{v}_{n}$$

$$= 1 + (\mathbf{b}_{n} \cdot \mathbf{v}_{n})^{2}$$

$$= 1 + (\mathbf{a}_{n} \cdot \mathbf{v}_{n})^{2} \mathbf{b}_{n} \cdot \bar{\mathbf{A}}_{n} \cdot \mathbf{v}_{n}$$

$$= b_{n} \mathbf{a}_{n} \cdot \mathbf{v}_{n}$$

$$(4.121)$$

これより,

$$z_n^2 \sin^2 \theta_{n+1}$$

$$= \left\{ 1 + (\boldsymbol{b}_n \cdot \boldsymbol{v}_n)^2 - (\boldsymbol{b}_n \cdot \boldsymbol{v}_n)^2 \right\}$$

$$+ 2 \left\{ (\boldsymbol{a}_n \cdot \boldsymbol{v}_n) b_n - (\boldsymbol{a}_n \cdot \boldsymbol{v}_n) b_n \right\} \cos \theta_n$$

$$+ \left(b_n^2 - 1 - b_n^2 \right) \cos^2 \theta_n$$

$$= 1 - \cos^2 \theta_n$$

$$= \sin^2 \theta_n$$

$$(4.122)$$

このとき, $\theta_n \ge 0$, $\theta_{n+1} \ge 0$, $z_n = |C| > 0$ より, $\sin \theta_{n+1}$ は,

$$\sin \theta_{n+1} = \frac{1}{z_n} \sin \theta_n \tag{4.123}$$

 $\theta_n = 0$ のときの z_n を z_0 とおくと,

$$z_0 = z_n \Big|_{\theta_n = 0} = \left| \frac{R_{n+1}}{R_n} \right| \tag{4.124}$$

入射および反射光線の方向 α_n , α_{n+1} の関係は、式 (4.92), 式 (4.105) において $\theta_n=0$ と

おき
$$(\cos \theta_n = 1)$$
, $v_n = \alpha_n$, $v_{n+1} = \alpha_{n+1}$ とすれば,

$$oldsymbol{lpha}_{n+1} = rac{1}{z_0}(ar{ar{A}}_n \cdot oldsymbol{lpha}_n + oldsymbol{b}_n)$$

$$z_0 = \boldsymbol{a}_n \cdot \boldsymbol{\alpha}_n + b_n$$

$$ar{ar{A}}_1=p\left(ar{ar{I}}-rac{2ar{e}}{ar{e}^2-1}m{l}m{l}
ight)$$

$$egin{aligned} ar{ar{I}} &= m{i}m{i} + m{j}m{j} + m{k}m{k} \ &= 2ar{e} \end{aligned}$$

$$\boldsymbol{b}_1 = p \frac{-2\bar{e}}{\bar{e}^2 - 1} \boldsymbol{l}$$

$$egin{align} oldsymbol{a}_1 &= p rac{2ar{e}}{ar{e}^2 - 1} oldsymbol{l} \ oldsymbol{a}_1 &= p rac{ar{e}^2 - 1}{ar{e}^2 - 1} oldsymbol{l} \ b_1 &= p rac{ar{e}^2 + 1}{ar{e}^2 - 1} \end{split}$$

(4.131)

(4.125)

(4.126)

(4.127)

4.1.13 多重反射鏡の表示式

鏡面が多数ある場合,m-1枚目の鏡面による反射波について *1 ,

$$\begin{pmatrix} \boldsymbol{v}_{m} \\ \cos \theta_{m} \end{pmatrix}$$

$$= \frac{1}{z_{m-1}} \begin{pmatrix} \bar{\boldsymbol{A}}_{m-1} \cdot & \boldsymbol{b}_{m-1} \\ \boldsymbol{a}_{m-1} \cdot & b_{m-1} \end{pmatrix} \begin{pmatrix} \boldsymbol{v}_{m-1} \\ \cos \theta_{m-1} \end{pmatrix}$$

$$= \frac{1}{z_{m-1}} \begin{pmatrix} \bar{\boldsymbol{A}}_{m-1} \cdot & \boldsymbol{b}_{m-1} \\ \boldsymbol{a}_{m-1} \cdot & b_{m-1} \end{pmatrix} \frac{1}{z_{m-2}} \begin{pmatrix} \bar{\boldsymbol{A}}_{m-2} \cdot & \boldsymbol{b}_{m-2} \\ \boldsymbol{a}_{m-2} \cdot & b_{m-2} \end{pmatrix} \begin{pmatrix} \boldsymbol{v}_{m-2} \\ \cos \theta_{m-2} \end{pmatrix}$$

$$= \frac{1}{z_{m-1}} \cdot \cdot \cdot \frac{1}{z_{1}} \begin{pmatrix} \bar{\boldsymbol{A}}_{m-1} \cdot & \boldsymbol{b}_{m-1} \\ \boldsymbol{a}_{m-1} \cdot & b_{m-1} \end{pmatrix} \cdot \cdot \cdot \begin{pmatrix} \bar{\boldsymbol{A}}_{1} \cdot & \boldsymbol{b}_{1} \\ \boldsymbol{a}_{1} \cdot & b_{1} \end{pmatrix} \begin{pmatrix} \boldsymbol{v}_{1} \\ \cos \theta_{1} \end{pmatrix}$$

^{*&}lt;sup>1</sup> 水沢丕雄, 片木孝至, "多重反射鏡形アンテナの等価パラボラ表示とその応用,"三菱電機技報, vol.49, no.11, pp.729-732 (1975).

ここで,

$$\begin{pmatrix}
\bar{\mathbf{A}} \cdot \mathbf{b} \\
\mathbf{a} \cdot \mathbf{b}
\end{pmatrix} \equiv \begin{pmatrix}
\bar{\mathbf{A}}_{m-1} \cdot \mathbf{b}_{m-1} \\
\mathbf{a}_{m-1} \cdot \mathbf{b}_{m-1}
\end{pmatrix} \cdot \cdot \cdot \begin{pmatrix}
\bar{\mathbf{A}}_{1} \cdot \mathbf{b}_{1} \\
\mathbf{a}_{1} \cdot \mathbf{b}_{1}
\end{pmatrix}$$

$$z \equiv z_{m-1} z_{m-2} \cdot \cdot \cdot z_{1}$$

$$(4.132)$$

これより.

$$\begin{pmatrix} \boldsymbol{v}_m \\ \cos \theta_m \end{pmatrix} = \frac{1}{z} \begin{pmatrix} \bar{\boldsymbol{A}} \cdot & \boldsymbol{b} \\ \boldsymbol{a} \cdot & b \end{pmatrix} \begin{pmatrix} \boldsymbol{v}_1 \\ \cos \theta_1 \end{pmatrix}$$
(4.134)

よって、最終段(m番目)の鏡面が回転放物面のとき、この鏡面に入射する光線の沿う円す いを示す v_m , θ_m と,最初の円すいホーンの中心軸に沿う単位ベクトル v_1 , θ_1 の間には次 のような関係が得られる

$$\boldsymbol{v}_{m} = \frac{1}{z} (\bar{\bar{\boldsymbol{A}}} \cdot \boldsymbol{v}_{1} + \boldsymbol{b} \cos \theta_{1}) \tag{4.135}$$

$$\cos \theta_m = \frac{1}{z} (\boldsymbol{a} \cdot \boldsymbol{v}_1 + b \cos \theta_1)$$

$$\sin \theta_m = \frac{1}{z} \sin \theta_1$$
(4.136)
$$(4.137)$$

$$\sin \theta_m = -\frac{1}{z} \sin \theta_1 \tag{4.137}$$

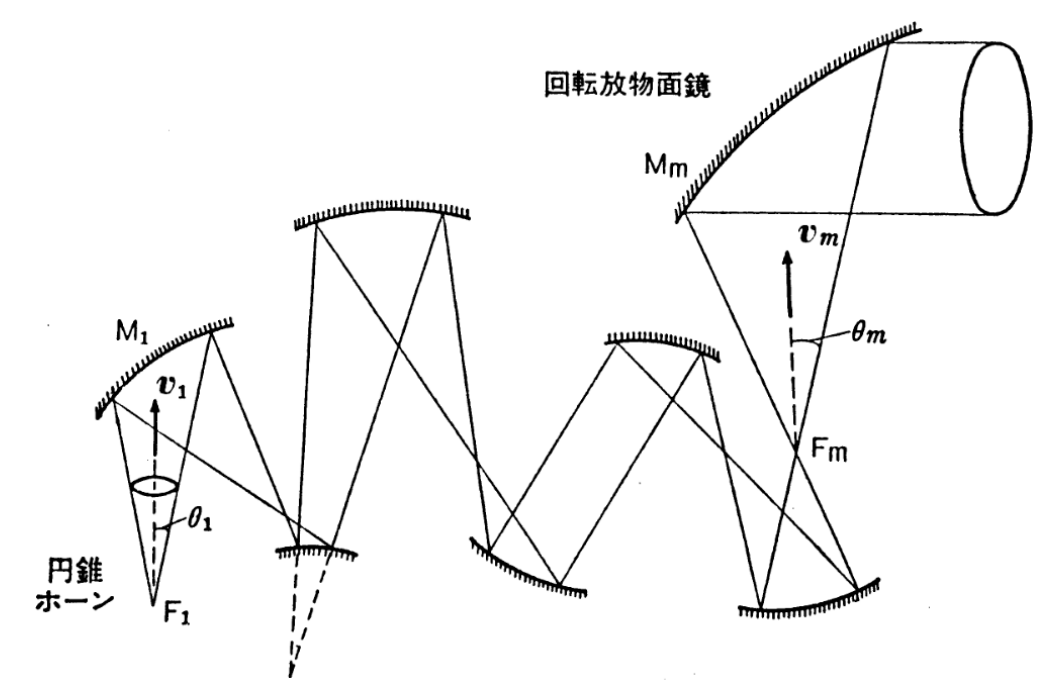


図 4.9. 多重反射鏡

ここで, 式を再記して,

$$\begin{pmatrix} \bar{\boldsymbol{A}} \cdot \boldsymbol{b} \\ \boldsymbol{a} \cdot \boldsymbol{b} \end{pmatrix} \equiv \begin{pmatrix} \bar{\boldsymbol{A}}_{m-1} \cdot \boldsymbol{b}_{m-1} \\ \boldsymbol{a}_{m-1} \cdot \boldsymbol{b}_{m-1} \end{pmatrix} \cdots \begin{pmatrix} \bar{\boldsymbol{A}}_{1} \cdot \boldsymbol{b}_{1} \\ \boldsymbol{a}_{1} \cdot \boldsymbol{b}_{1} \end{pmatrix}$$

$$z \equiv z_{m-1} z_{m-2} \cdots z_{1} \tag{4.139}$$

 $z \equiv z_{m-1}z_{m-2}\cdots z_1$

最終段のパラボラ開口面(円形)の半径 r_a , 中心 P は,

$$r_a = 2f_m \frac{\sin \theta_m}{\cos \theta_m - (\boldsymbol{v}_m \cdot \boldsymbol{k}_m)} \tag{4.140}$$

$$\mathbf{P} = 2f_m \frac{\mathbf{v}_m - (\mathbf{v}_m \cdot \mathbf{k}_m) \mathbf{k}_m}{\cos \theta_m - (\mathbf{v}_m \cdot \mathbf{k}_m)}$$
(4.141)

上式に式 (4.135), 式 (4.136), 式 (4.137) を代入すると v_m , $\cos\theta_m$, $\sin\theta_m$ を消去でき、初段の 2 次曲面鏡の v_1 , $\cos\theta_1$, $\sin\theta_1$ を用いて、

$$r_{a} = 2f_{m} \frac{\sin \theta_{1}}{(\boldsymbol{a} \cdot \boldsymbol{v}_{1} + b \cos \theta_{1}) - (\bar{\boldsymbol{A}} \cdot \boldsymbol{v}_{1} + b \cos \theta_{1}) \cdot \boldsymbol{k}_{m}}$$

$$= 2f_{m} \frac{\sin \theta_{1}}{(b - \boldsymbol{b} \cdot \boldsymbol{k}_{m}) \cos \theta_{1} - \{\boldsymbol{k}_{m} \cdot (\bar{\boldsymbol{A}} \cdot \boldsymbol{v}_{1}) - \boldsymbol{a} \cdot \boldsymbol{v}_{1}\}}$$

$$= 2\frac{f_{m}}{b - \boldsymbol{b} \cdot \boldsymbol{k}_{m}} \cdot \frac{\sin \theta_{1}}{\cos \theta_{1} - \boldsymbol{c} \cdot \boldsymbol{v}_{1}}$$

$$(4.142)$$

ここで,

$$c = \frac{k_m \cdot \bar{A} - a}{b - (b \cdot k)} \tag{4.143}$$

さらに、最終段の回転放物面鏡の焦点距離 f の代わりに、等価パラボラの焦点距離 f_m を求めることができる。

$$f = \frac{f_m}{b - (\mathbf{b} \cdot \mathbf{k}_m)} \tag{4.144}$$

等価パラボラを見込む円すいの中心軸の方向をvとすると、

$$r_{a} = 2f_{m} \frac{\sin \theta_{1}}{\cos \theta_{1} - \boldsymbol{c} \cdot \boldsymbol{v}_{1}}$$

$$\equiv 2f_{m} \frac{\sin \theta_{1}}{\cos \theta_{1} - \boldsymbol{v} \cdot \boldsymbol{k}_{m}}$$

$$(4.145)$$

いま, $oldsymbol{v}=ar{ar{ar{L}}}_c\cdotoldsymbol{v}_1$ より,ダイアディクス $ar{ar{ar{L}}}_c=oldsymbol{k}_moldsymbol{c}$ を導入すると,

$$\mathbf{v} \cdot \mathbf{k}_{m} = \left(\bar{\bar{\mathbf{L}}}_{c} \cdot \mathbf{v}_{1}\right) \cdot \mathbf{k}_{m}$$

$$= \mathbf{k}_{m} \cdot \bar{\bar{\mathbf{L}}}_{c} \cdot \mathbf{v}_{1}$$

$$= \mathbf{k}_{m} \cdot (\mathbf{k}_{m} \mathbf{c}) \cdot \mathbf{v}_{1}$$

$$= \mathbf{c} \cdot \mathbf{v}_{1}$$

$$(4.146)$$

半頂角 θ_1 は不変であるが、等価バラボラの焦点位置 f_m と円すいの中心軸の方向 v が得られる。 さらに、等価バラボラの開口の中心の位置ベクトル p は、次のようになる。

$$p = 2f \left\{ \frac{\boldsymbol{v} - (\boldsymbol{v} \cdot \boldsymbol{k}_m) \boldsymbol{k}_m}{\cos \theta_1 - (\boldsymbol{v} \cdot \boldsymbol{k}_m)} + \boldsymbol{d} \right\}$$
(4.147)

等価バラボラの焦点位置は最終段のパラボラとは異なり、dは、

$$\boldsymbol{d} = \boldsymbol{b} - (\boldsymbol{d} \cdot \boldsymbol{k}_m) \boldsymbol{k}_m \tag{4.148}$$

また、v は円すいの中心軸方向に沿う単位ベクトルを示し、

$$\boldsymbol{v} = \bar{\boldsymbol{L}} \cdot \boldsymbol{v}_1 \tag{4.149}$$

ここで、 \bar{L} はダイアディクスであり、

$$\bar{\bar{L}} = (\bar{\bar{I}} - k_m k_m) \cdot (\bar{\bar{A}} + bc) + k_m c$$
(4.150)

このとき,

$$\mathbf{k}_{m} \cdot \bar{\bar{\mathbf{L}}} = \mathbf{k}_{m} \cdot \left\{ \left(\bar{\bar{\mathbf{I}}} - \mathbf{k}_{m} \mathbf{k}_{m} \right) \cdot \left(\bar{\bar{\mathbf{A}}} + \mathbf{b} \mathbf{c} \right) + \mathbf{k}_{m} \mathbf{c} \right\}$$

$$= (\mathbf{k}_{m} - \mathbf{k}_{m}) \cdot \left(\bar{\bar{\mathbf{A}}} + \mathbf{b} \mathbf{c} \right) + \mathbf{c}$$

$$= \mathbf{c} = \mathbf{k}_{m} \cdot \bar{\bar{\mathbf{L}}}_{c}$$

$$(4.151)$$

このとき、次式が成り立つ。

$$\bar{\bar{\boldsymbol{L}}}^t \cdot \bar{\bar{\boldsymbol{L}}} = \bar{\bar{\boldsymbol{I}}} \tag{4.152}$$

上式より, $ar{ar{L}}$ は直交変換を示すダイアディクスであるから,単位ベクトル v_1 を直交変換した v も単位ベクトルである.

4.2 平均放射パターン

4.2.1 位相誤差のある開口面分布による指向性関数

位相が一様の開口面分布 E_a に位相誤差 δ があるとき、円形開口の指向性関数 $g(\Theta,\Phi)$ は、

$$g(\Theta, \Phi) = \iint_{A} E_{a} e^{j\delta} e^{j\mathbf{k}\cdot\mathbf{\rho}} dA \tag{4.153}$$

開口面を円形とすると、開口面分布に位相誤差の項 $e^{j\delta}$ を乗じて次のようになる。

$$g(\Theta, \Phi) = \left(\frac{D}{2}\right)^2 \int_0^{2\pi} \int_0^1 E_a e^{j\delta} e^{ju\rho'\cos(\Phi - \phi)} \rho' d\rho' d\phi \tag{4.154}$$

いま,この開口面を半径方向に N 分割,周方向に K_n 分割して微小なゾーンを定義し,位相誤差がこれらゾーン毎に独立に正規分布(平均値を 0,rms 値(標準偏差)を σ)に従うものとすると \dagger ,

$$g(\Theta, \Phi) = \left(\frac{D}{2}\right)^{2} \sum_{n=1}^{N} \sum_{j=1}^{K_{n}} \int_{a_{n-1}}^{a_{n}} \int_{\phi_{n,j-1}}^{\phi_{n,j}} E_{a} e^{j\delta} e^{ju\rho' \cos(\Phi - \phi)} \rho' d\rho' d\phi$$
(4.155)

ただし、ゾーン内では位相誤差は一定とする。第(n,j)番目のゾーンの位相誤差を $\delta_{n,j}$ とおけば、

$$g(\Theta, \Phi) = \left(\frac{D}{2}\right)^2 \sum_{n=1}^{N} \sum_{j=1}^{K_n} e^{j\delta_{n,j}} E_{n,j}$$
 (4.156)

ここで,

$$E_{n,j} \equiv \int_{a_{n-1}}^{a_n} \int_{\phi_{n-1-1}}^{\phi_{n,j}} E_a e^{ju\rho'\cos(\Phi-\phi)} \rho' d\rho' d\phi \tag{4.157}$$

放射電力については $|g|^2$ を求めればよく,

$$|g|^{2} = gg^{*} = \left(\frac{D}{2}\right)^{4} \left(\sum_{n=1}^{N} \sum_{j=1}^{K_{n}} e^{j\delta_{n,j}} E_{n,j}\right) \left(\sum_{m=1}^{M} \sum_{l=1}^{K_{m}} e^{-j\delta_{m,l}} E_{m,l}^{*}\right)$$

$$= \left(\frac{D}{2}\right)^{4} \sum_{n=1}^{N} \sum_{m=1}^{M} \sum_{j=1}^{K_{n}} \sum_{l=1}^{K_{m}} E_{n,j} E_{m,l}^{*} e^{j(\delta_{n,j} - \delta_{m,l})}$$

$$(4.158)$$

4.2.2 平均的な放射電力

放射電力として最も起こり得る値は、平均的な放射電力であるので、 $|g|^2$ の平均値 $\overline{|g|^2}$ を求めると次のようになる。

$$\overline{|g|^2} = \left(\frac{D}{2}\right)^4 \sum_{n=1}^N \sum_{m=1}^M \sum_{j=1}^{K_n} \sum_{l=1}^{K_m} E_{n,j} E_{m,l}^* \ \overline{e^{j(\delta_{n,j} - \delta_{m,l})}}$$
(4.159)

ここで、 δ の確立密度関数 $f(\delta)$ は、正規分布ゆえ、

$$f(\delta) = \frac{1}{\sqrt{2\pi}\sigma} e^{-\frac{1}{2}(\frac{\delta}{\sigma})^2} \tag{4.160}$$

で与えられるから、ゾーン(n,j)と(m,l)が異なる場合、

$$\overline{e^{j(\delta_{n,j}-\delta_{m,l})}} = \int_{-\infty}^{\infty} \int_{-\infty}^{\infty} e^{j(\delta_{n,j}-\delta_{m,l})} f(\delta_{n,j}) f(\delta_{m,l}) d\delta_{n,j} d\delta_{m,l}
= \int_{-\infty}^{\infty} e^{j\delta_{n,j}} f(\delta_{n,j}) d\delta_{n,j} \int_{-\infty}^{\infty} e^{-j\delta_{m,l}} f(\delta_{m,l}) d\delta_{m,l}
= \overline{e^{j\delta_{n,j}}} \cdot \overline{e^{-j\delta_{m,l}}}$$
(4.161)

ここで,

$$\overline{e^{j\delta_{n,j}}} = \int_{-\infty}^{\infty} e^{j\delta_{n,j}} f(\delta_{n,j}) d\delta_{n,j}$$
(4.162)

$$\overline{e^{-j\delta_{m,l}}} = \int_{-\infty}^{\infty} e^{-j\delta_{m,l}} f(\delta_{m,l}) d\delta_{m,l}$$
(4.163)

これらの積分は.

$$\overline{e^{\pm j\delta}} = \int_{-\infty}^{\infty} e^{\pm j\delta} f(\delta) d\delta
= \int_{-\infty}^{\infty} \cos \delta f(\delta) d\delta \pm j \int_{-\infty}^{\infty} \sin \delta f(\delta) d\delta
= 2 \int_{0}^{\infty} \cos \delta f(\delta) d\delta
= 2 \int_{0}^{\infty} \cos \delta \left(\frac{1}{\sqrt{2\pi}\sigma} e^{-\frac{1}{2}(\frac{\delta}{\sigma})^{2}}\right) d\delta
= \frac{2}{\sqrt{2\pi}\sigma} \int_{0}^{\infty} e^{-\frac{\delta^{2}}{2\sigma^{2}}} \cos \delta d\delta \tag{4.164}$$

上式の積分は、次のLaplaceの積分を用いている.

$$\int_{0}^{\infty} e^{-bx^{2}} \cos(2ax) dx = \frac{1}{2} \sqrt{\frac{\pi}{b}} e^{-\frac{a^{2}}{b}}$$
 (4.165)

これより、 $b \to \frac{1}{2\sigma^2}$ 、 $2a \to 1$ 、 $\delta \to x$ とおけば、

$$\int_{0}^{\infty} e^{-\frac{\delta^{2}}{2\sigma^{2}}} \cos \delta d\delta = \sqrt{\frac{\pi}{2}} \sigma e^{-\frac{\sigma^{2}}{2}}$$
(4.166)

両辺に $\frac{2}{\sqrt{2\pi}\sigma}$ を乗じて,

$$\overline{e^{\pm j\delta}} = \frac{2}{\sqrt{2\pi}\sigma} \int_0^\infty e^{-\frac{\delta^2}{2\sigma^2}} \cos \delta d\delta = e^{-0.5\sigma^2}$$
(4.167)

したがって,

$$\overline{e^{j(\delta_{n,j}-\delta_{m,l})}} = \overline{e^{j\delta_{n,j}}} \cdot \overline{e^{-j\delta_{m,l}}}$$

$$= e^{-0.5\sigma^2} \cdot e^{-0.5\sigma^2}$$

$$= e^{-\sigma^2} \qquad (4.168)$$

一方,ゾーン (n,j) と (m,l) が同じ場合(n=m,j=l), $\delta_{n,j}=\delta_{m,l}$ ゆえ,

$$\overline{e^{j(\delta_{n,j}-\delta_{m,l})}} = e^0 = 1 \tag{4.169}$$

これらの結果より、 $|g|^2$ は次のようになる.

$$\overline{|g|^2} = \left(\frac{D}{2}\right)^4 \left(\sum_{n=1}^N \sum_{m=1}^M \sum_{j=1}^{K_n} \sum_{l=1}^{K_m} E_{n,j} + e^{-\sigma^2} + \sum_{n=1}^N \sum_{j=1}^K E_{n,j} E_{n,j}^* \right)$$

$$+ \sum_{n=1}^N \sum_{j=1}^K E_{n,j} E_{n,j}^* \right)$$

$$= \left(\frac{D}{2}\right)^4 \left(\sum_{n=1}^N \sum_{m=1}^M \sum_{j=1}^K \sum_{l=1}^K E_{n,j} E_{m,l}^* \cdot e^{-\sigma^2} + (1 - e^{-\sigma^2}) \sum_{n=1}^N \sum_{j=1}^K E_{n,j} E_{n,j}^* \right)$$

$$= \left(\frac{D}{2}\right)^4 \left(e^{-\sigma^2} \sum_{n=1}^N \sum_{j=1}^K E_{n,j} \sum_{m=1}^M \sum_{l=1}^K E_{m,l}^* + (1 - e^{-\sigma^2}) \sum_{n=1}^N \sum_{j=1}^K E_{n,j} E_{n,j}^* \right)$$

(4.170)

ここで、位相誤差のないときの指向性関数を g_0 とおくと、

$$\overline{|g|^2} = e^{-\sigma^2} \cdot g_0 \cdot g_0^* + (1 - e^{-\sigma^2}) \left(\frac{D}{2}\right)^4 \sum_{n=1}^N \sum_{j=1}^{K_n} E_{n,j} E_{n,j}^*$$
(4.171)

4.2.3 鏡面ひずみによる利得低下量

位相誤差が大きくない場合を考えると、正面方向 u=0 では、上式の第1項は第2項に比べて十分大きくなり、近似して、

$$\overline{|g(0)|^2} \simeq e^{-\sigma^2} |g_0(0)|^2$$
 (4.172)

平均的な利得低下量 $\overline{\Delta G}$ [dB] を求めると,

$$\overline{\Delta G} = 10 \log_{10} \left(\frac{|g(0)|^2}{|g_0(0)|^2} \right)
= 10 \log_{10} \left(e^{-\sigma^2} \right)
= -\sigma^2 \left(10 \log_{10} e \right)
= -4.343\sigma^2$$
(4.173)

反射鏡の鏡面誤差(鏡面ひずみ、凹凸)の rms 値を ε とすると、位相誤差の rms 値 σ は、

$$\sigma \simeq k \cdot 2\varepsilon = \left(\frac{2\pi}{\lambda}\right) 2\varepsilon = \frac{4\pi\varepsilon}{\lambda} \tag{4.174}$$

このとき、利得低下量 $\overline{\Delta G}$ [dB] は、次のようになる.

$$\overline{\Delta G} = -\left(\frac{4\pi\varepsilon}{\lambda}\right)^2 (10\log_{10}e)$$

$$= -\left(160\pi^2\log_{10}e\right) \left(\frac{\varepsilon}{\lambda}\right)^2$$

$$\simeq -686 \left(\frac{\varepsilon}{\lambda}\right)^2$$
(4.175)

4.3 軸対称複反射鏡アンテナの最適開口面分布

カセグレンアンテナは、副反射鏡によって開口面の中心部分の電波が遮へいされ、サイドローブレベルが高くなってしまう。そこで、与えられたサイドローブレベルで開口能率を最大にする開口面分布が2次計画法によって求められている*2.

副反射鏡による遮へい領域を開口面(直径 D)と同心円(副反射鏡に対応)とし、その半径を $\alpha D/2$ ($0<\alpha<1$)とする。いま、半径方向座標成分 ρ を開口半径 D/2 で規格化した $\bar{\rho}=2\rho/D$ を定義し、開口面分布 E_a を $\bar{\rho}$ の関数(位相一様、つまり実数)として、次のように表すことにする。

$$E_a(\bar{\rho}) = \sum_{j=1}^{M} x_j J_0(b_j \bar{\rho})$$
 (4.176)

ただし、 J_0 は0 次の第1 種ベッセル関数、 b_j ($0 = b_1 < b_2 < \cdots$) は1 次の第1 種ベッセル

^{*&}lt;sup>2</sup> 後藤尚久, 渡辺文夫, "与えられたサイドローブを持つカセグレンアンテナの最大開口能率,"信学論, vol.J61-B, pp.321-326 (1978).

関数の零点($J_1(b_j)=0$)を示す.開口面法より,ユニバーサル放射パターン $E_p(u)$ は,

$$E_p(u) = 2 \int_{\alpha}^{1} E_a(\bar{\rho}) J_0(\bar{\rho}u) \bar{\rho} d\bar{\rho}$$
(4.177)

ここで,

$$u = \frac{\pi D}{\lambda} \sin \theta \tag{4.178}$$

上式に、 $E_a(\bar{\rho})$ を代入して積分すると、

$$E_p(u) = \sum_{j=1}^{M} x_j f_j(u)$$
 (4.179)

$$f_j(u) = 2\frac{uJ_1(u)J_0(b_j) - \alpha uJ_1(\alpha u)J_0(\alpha b_j) + \alpha b_j J_1(\alpha b_j)J_0(\alpha u)}{u^2 - b_i^2}$$
(4.180)

このとき、ピーク方向 u=0 の利得 g(0) は、

$$g(0) = \frac{4\pi |KE_p(0)|^2}{P_c} \tag{4.181}$$

ただし,K は定数, P_t はトータル電力を示す.また, $E_a(p)$, $E_p(u)$ ともに係数 x_j による線型結合の式で表されている. いま, $E_p(0)\equiv 1$ とすると,利得を最大にするには, P_t を

最小にすればよい。このとき、トータル電力 P_t は開口面分布関数 E_a から求められ、 E_a^2 の積分は次のようになる。

$$F = \int_{\alpha}^{1} E_{a}^{2} \bar{\rho} d\bar{\rho}$$

$$= \int_{\alpha}^{1} \left(\sum_{n=1}^{N} x_{n} J_{0}(b_{n}\bar{\rho}) \right) \left(\sum_{m=1}^{N} x_{m} J_{0}(b_{m}\bar{\rho}) \right) \bar{\rho} d\bar{\rho}$$

$$= \sum_{n=1}^{N} \sum_{m=1}^{N} x_{n} x_{m} \int_{\alpha}^{1} J_{0}(b_{n}\bar{\rho}) J_{0}(b_{m}\bar{\rho}) \bar{\rho} d\bar{\rho}$$

$$(4.182)$$

ベッセル関数の不定積分公式より、 $\alpha \neq \beta$ のとき、

$$\int J_{\nu}(\alpha z)J_{\nu}(\beta z)zdz = \frac{z}{\alpha^2 - \beta^2} \Big\{ \beta J_{\nu}(\alpha z)J_{\nu}'(\beta z) - \alpha J_{\nu}'(\alpha z)J_{\nu}(\beta z) \Big\}$$
(4.183)

よって、 $b_n \neq b_m$ のとき、

$$\int_{\alpha}^{1} J_{0}(b_{n}\bar{\rho}) J_{0}(b_{m}\bar{\rho}) \bar{\rho} d\bar{\rho}
= \left[\frac{\bar{\rho}}{b_{n}^{2} - b_{m}^{2}} \left\{ b_{m} J_{0}(b_{n}\bar{\rho}) J_{0}'(b_{m}\bar{\rho}) - b_{n} J_{0}'(b_{n}\bar{\rho}) J_{0}(b_{m}\bar{\rho}) \right\} \right]_{\alpha}^{1}$$
(4.184)

ここで、
$$J'_0(z) = -J_1(z)$$
 より、

$$\int_{\alpha}^{1} J_{0}(b_{n}\bar{\rho})J_{0}(b_{m}\bar{\rho})\bar{\rho}d\bar{\rho}
= \frac{1}{b_{n}^{2} - b_{m}^{2}} \Big[\Big\{ -b_{m}J_{0}(b_{n})J_{1}(b_{m}) + b_{n}J_{1}(b_{n})J_{0}(b_{m}) \Big\}
- \alpha \Big\{ -b_{m}J_{0}(b_{n}\alpha)J_{1}(b_{m}\alpha) + b_{n}J_{1}(b_{n}\alpha)J_{0}(b_{m}\alpha) \Big\} \Big]$$

(4.185)

(4.186)

(4.187)

さらに, $J_1(b_n) = 0$, $J_1(b_m) = 0$ より,

$$\int_{\alpha}^{1} J_0(b_n \bar{\rho}) J_0(b_m \bar{\rho}) \bar{\rho} d\bar{\rho}$$

$$= \frac{\alpha}{b_n^2 - b_m^2} \Big\{ b_m J_0(b_n \alpha) J_1(b_m \alpha) - b_n J_1(b_n \alpha) J_0(b_m \alpha) \Big\}$$

$$\equiv \frac{H_{nm}}{2} \qquad (n \neq m)$$

また、ベッセル関数の不定積分公式より、

$$\int J_{\nu}^{2}(\alpha z)zdz = \frac{1}{2} \left\{ z^{2}J_{\nu}^{\prime 2}(\alpha z) + \left(z^{2} - \frac{\nu^{2}}{\alpha^{2}}\right)J_{\nu}^{2}(\alpha z) \right\}$$

よって,
$$b_n = b_m$$
 のとき,

$$\int_{\alpha}^{1} J_0^2(b_n \bar{\rho}) \bar{\rho} d\bar{\rho} = \left[\frac{\bar{\rho}^2}{2} \left\{ J_0'^2(b_n \bar{\rho}) + J_0^2(b_n \bar{\rho}) \right\} \right]_{\alpha}^{1}$$

ここで, $J'_0(z) = -J_1(z)$ より,

$$\int_{\alpha}^{1} J_{0}^{2}(b_{n}\bar{\rho})\bar{\rho}d\bar{\rho}
= \left[\frac{\bar{\rho}^{2}}{2}\left\{J_{1}^{2}(b_{n}\bar{\rho}) + J_{0}^{2}(b_{n}\bar{\rho})\right\}\right]_{\alpha}^{1}
= \frac{1}{2}\left[\left\{J_{1}^{2}(b_{n}) + J_{0}^{2}(b_{n})\right\} - \alpha^{2}\left\{J_{1}^{2}(b_{n}\alpha) + J_{0}^{2}(b_{n}\alpha)\right\}\right]$$

さらに, $J_1(b_n) = 0$ より,

$$\int_{\alpha}^{1} J_{0}^{2}(b_{n}\bar{\rho})\bar{\rho}d\bar{\rho} = \frac{1}{2} \Big[J_{0}^{2}(b_{n}) - \alpha^{2} \Big\{ J_{1}^{2}(b_{n}\alpha) + J_{0}^{2}(b_{n}\alpha) \Big\} \Big]$$

$$\equiv \frac{H_{nn}}{2}$$

(4.188)

(4.189)

(4.190)

これより,

$$F(\mathbf{x}) = \int_{\alpha}^{1} E_a^2 p dp$$

$$= \sum_{n=1}^{N} \sum_{m=1}^{N} x_n x_m \frac{H_{nm}}{2}$$

$$= \frac{1}{2} \mathbf{x}^t [H] \mathbf{x}$$

$$(4.191)$$

ここで,

$$\boldsymbol{x} = \begin{pmatrix} x_0 & x_1 & \cdots & x_n & \cdots \end{pmatrix}^t \tag{4.192}$$

したがって、与えられたサイドローブレベルなどの制約条件のもとで開口能率が最大となるように最適化問題を解くことによって、 x_n を求めることにする。そこで、 x_n を要素とする列ベクトルxを最適化変数とし、評価関数が次のように2次式となる。

$$\min_{(\boldsymbol{x})} \left(\frac{1}{2} \ \boldsymbol{x}^t [H] \boldsymbol{x} \right) \tag{4.193}$$

このとき、制約条件は、

- 等式制約条件: $E_p(0) = 1$
- 不等式制約条件: $-R \le E_p(u) \le R \ (u_0 \le u \le u_e)$

これらは1次式で表されため、2次計画問題として解けばよい。ただし、Rはサイドローブレベル、 u_0 は主ビームより広角で、かつ第1サイドローブレベルまでの方向とし、 u_e はある程度のサイドローブ数を含む角度までとるようにする。このとき、2次形式の評価関数における [H] は、 $M\times M$ の行列で要素は H_{nm} である。また、c はゼロである。一方、等式制約条件

$$\left[A_{eq}\right]^t \boldsymbol{x} = \boldsymbol{b}_{eq} \tag{4.194}$$

における $\left[A_{eq}\right]^t$ および $oldsymbol{b}_{eq}$ (実際には要素は1つしかないのでスカラー)は,

$$[A_{eq}]^t = (f_1(0) \quad f_2(0) \quad \cdots)$$
 (4.195)

$$\boldsymbol{b}_{eq} = 1 \tag{4.196}$$

また、不等式制約条件を u_i ($i=1,2,\cdots,N_{ineg}$) について定義すると、

$$\left[A_{ineq}\right]^t \boldsymbol{x} \le \boldsymbol{b}_{ineq} \tag{4.197}$$

における $\left[A_{ineg}\right]^t$ および $oldsymbol{b}_{ineg}$ は,

$$egin{align} \left[A_{ineq}
ight]^t &= egin{pmatrix} [A_s]^t \ -[A_s]^t \end{pmatrix} \ oldsymbol{b}_{ineq} &= egin{pmatrix} oldsymbol{R} \ oldsymbol{R} \end{pmatrix}
onumber \end{aligned}$$

ここで、行列 $[A_s]^t$ および列ベクトル R は、

$$[A_s]^t = \begin{pmatrix} f_1(u_1) & f_2(u_1) & \cdots \\ f_1(u_2) & f_2(u_2) & \cdots \\ \vdots & \vdots & \ddots \end{pmatrix}$$

$$[A_s]^t = egin{pmatrix} J1(u_2) & J2(u_2) & \cdots \ dots & dots \ oldsymbol{R} = ig(R & R & \cdots ig)^t \end{pmatrix}$$

(4.198)

(4.199)

(4.200)

(4.201)

4.4 軸対称カセグレンアンテナの鏡面修整法

2枚鏡形式の反射鏡アンテナでは、主反射鏡の開口面分布の主偏波成分を所望の振幅分布でかつ一様な位相分布となるよう主・副反射鏡を修整することによって、高能率・低サイドローブ化が可能となる。ここでは、図に示すような軸対称カセグレンアンテナを取り上げ、幾何光学を基にした鏡面修整法について説明する。なお、軸対称であるので、円柱座標系 (ρ,ϕ,z) において、 (ρ,z) を考え、図に示している。

4.4.1 軸対称2枚修整鏡面系における光路長一定の条件

一次放射器の位相中心を z=a, 位相中心から副反射鏡までの距離を r, 角度を θ とすると、副反射鏡上の点 (ρ_s,z_s) は、

$$\rho_s = r \sin \theta \tag{4.202}$$

$$z_s = a - r\cos\theta\tag{4.203}$$

また、主反射鏡上の点 (ρ,z) は、

$$\tan \psi = \frac{\rho - \rho_s}{z - z_s}$$

$$= \frac{\rho - r \sin \theta}{z - (a - r \cos \theta)}$$
(4.204)

副反射鏡から主反射鏡までの距離 l_{sm} は、

$$l_{sm} = \frac{z - z_s}{\cos \psi}$$

$$= \frac{z - (a - r\cos\theta)}{\cos \psi}$$
(4.205)

開口面位相分布を一様にするための条件は,一次放射器の位相中心から主反射鏡の開口面 (z=0) までの光路長 l_0 を一定とすることで,

$$l_0 = r + l_{sm} + z$$

$$= r + \frac{z - a + r\cos\theta}{\cos\psi} + z \quad (-\overline{z})$$
(4.206)

4.4.2 反射の法則

位相中心に原点をとり、-z方向を極軸方向にとった球座標系 (r,θ,ϕ') を考え、副反射鏡の座標を $r_s=ra_r$ とすると、

$$\frac{\partial \boldsymbol{r}_s}{\partial \theta} \times \frac{\partial \boldsymbol{r}_s}{\partial \phi'} = \left(\frac{\partial r}{\partial \theta} \boldsymbol{a}_r + r \boldsymbol{a}_\theta\right) \times r \sin \theta \boldsymbol{a}_{\phi'}$$

$$= \left(-\frac{\partial r}{\partial \theta} \boldsymbol{a}_\theta + r \boldsymbol{a}_r\right) r \sin \theta \tag{4.207}$$

より、副反射鏡の法線ベクトル n_s は(a_{θ} は θ 方向に沿う単位ベクトル)、

$$\boldsymbol{n}_{s} = \frac{\frac{\partial \boldsymbol{r}_{s}}{\partial \theta} \times \frac{\partial \boldsymbol{r}_{s}}{\partial \phi'}}{\left|\frac{\partial \boldsymbol{r}_{s}}{\partial \theta} \times \frac{\partial \boldsymbol{r}_{s}}{\partial \phi'}\right|} \\
= \frac{-\frac{\partial r}{\partial \theta} \boldsymbol{a}_{\theta} + r \boldsymbol{a}_{r}}{\sqrt{\left(\frac{\partial r}{\partial \theta}\right)^{2} + r^{2}}} \tag{4.208}$$

反射光線に沿う単位ベクトルsは、反射の法則より、

$$\boldsymbol{s} = \boldsymbol{a}_r - 2 (\boldsymbol{a}_r \cdot \boldsymbol{n}_s) \boldsymbol{n}_s$$

両辺に n_s のスカラ積をとり,先に求めた法線ベクトル n_s を代入して,

$$\left(\begin{array}{c} \partial r \\ \partial r \end{array}\right)$$

 $s \cdot n_s = -a_r \cdot n_s$

$$s \cdot \left(-\frac{\partial r}{\partial \theta} a_{\theta} + r a_{r} \right) = -r$$

ここで,

$$oldsymbol{s} \cdot oldsymbol{a}_{ heta} = \sin(heta + \psi)$$

$$egin{aligned} oldsymbol{s} \cdot oldsymbol{a}_{ heta} &= \sin(heta + \psi) \ oldsymbol{s} \cdot oldsymbol{a}_{r} &= -\cos(heta + \psi) \end{aligned}$$

より,

$$-\frac{\partial r}{\partial \theta}\sin(\theta + \psi) + r(-\cos(\theta + \psi)) = -r \tag{4.214}$$

(4.209)

(4.210)

(4.211)

(4.212)

(4.213)

(4.214)

よって,

$$\frac{dr}{d\theta} = r \frac{1 - \cos(\theta + \psi)}{\sin(\theta + \psi)}$$

$$= r \frac{2\sin^2(\frac{\theta + \psi}{2})}{2\sin(\frac{\theta + \psi}{2})\cos(\frac{\theta + \psi}{2})}$$

$$= r \tan(\frac{\theta + \psi}{2})$$

一方,主反射鏡上の点 (ρ,ϕ,z) の位置ベクトル $\mathbf{r}_m(\rho,\phi)$ は、

$$\boldsymbol{r}_{m} = \rho \boldsymbol{a}_{\rho}(\phi) + z(\rho)\boldsymbol{a}_{z} \tag{4.216}$$

これより,主反射鏡の法線ベクトル $m{n}_m$ は,

$$\boldsymbol{n}_{m} = \frac{\frac{\partial \boldsymbol{r}_{m}}{\partial \rho} \times \frac{\partial \boldsymbol{r}_{m}}{\partial \phi}}{\left| \frac{\partial \boldsymbol{r}_{m}}{\partial \rho} \times \frac{\partial \boldsymbol{r}_{m}}{\partial \phi} \right|}$$
(4.217)

(4.215)

ここで,

$$\frac{\partial \boldsymbol{r}_{m}}{\partial \rho} \times \frac{\partial \boldsymbol{r}_{m}}{\partial \phi} = \left(\boldsymbol{a}_{\rho} + \frac{\partial z}{\partial \rho} \boldsymbol{a}_{z}\right) \times \rho \boldsymbol{a}_{\phi}$$

$$= \left(\boldsymbol{a}_{z} - \frac{\partial z}{\partial \rho} \boldsymbol{a}_{\rho}\right) \rho$$

 $-a_z \cdot n_m = -s \cdot n_m$

 $-oldsymbol{a}_z\cdot\left(oldsymbol{a}_z-rac{\partial z}{\partial
ho}oldsymbol{a}_
ho
ight)=-oldsymbol{s}\cdot\left(oldsymbol{a}_z-rac{\partial z}{\partial
ho}oldsymbol{a}_
ho
ight)$

主反射鏡による反射光線の方向は $-a_z$ 方向ゆえ、反射の法則より、

先に求めた法線ベクトル n_m を代入して.

$$-1 = -\mathbf{s} \cdot \mathbf{a}_z + \frac{\partial z}{\partial \rho} (\mathbf{s} \cdot \mathbf{a}_\rho)$$
$$= -\cos \psi + \frac{\partial z}{\partial \rho} \sin \psi$$

(4.218)

(4.219)

(4.220)

(4.221)

よって,

$$\frac{\partial z}{\partial \rho} = \frac{\partial z}{\partial \theta} \frac{\partial \theta}{\partial \rho}
= -\frac{1 - \cos \psi}{\sin \psi}
= -\tan \frac{\psi}{2}$$
(4.222)

よって,

$$\frac{dz}{d\theta} = -\frac{d\rho}{d\theta} \tan \frac{\psi}{2} \tag{4.223}$$

したがって、各鏡面の座標は、式 (4.215)、(4.223) の連立常微分方程式を光路長一定の条件のもとで解けば求められる。

4.4.3 幾何光学におけるエネルギー保存の法則

開口面振幅分布(位相一様の条件はすでに考慮されている)と1次パターンを与えて設計するので、ここでは、 $d\rho/d\theta$ を両者のエネルギー保存の法則より求めていく。まず、1次パ

ターンを $E_p(\theta)$,開口面振幅分布を $E_d(\rho)$ とすると,幾何光学におけるエネルギー保存の法則より,

$$|E_p(\theta)|^2 \sin \theta d\theta = |E_d(\rho)|^2 \rho d\rho \tag{4.224}$$

いま, A_p , A_q を定数として,

$$E_p(\theta) \equiv A_p e_p(\theta) \quad (\theta_0 \le \theta \le \theta_s) \tag{4.225}$$

$$E_d(\rho) \equiv A_d e_d(\rho) \quad (D_s/2 \le \rho \le D_m/2) \tag{4.226}$$

とおくと、全電力は等しいので、

$$\int_{D_s/2}^{D_m/2} |E_d(\rho)|^2 \rho d\rho = \int_{\theta_0}^{\theta_s} |E_p(\theta)|^2 \sin \theta d\theta$$
 (4.227)

が成り立つ. これより、定数を消去して、

$$\frac{|e_p(\theta)|^2}{\int_{\theta_0}^{\theta_s} |E_p(\theta)|^2 \sin\theta d\theta} \sin\theta d\theta = \frac{|e_d(\rho)|^2}{\int_{D_s/2}^{D_m/2} |E_d(\rho)|^2 \rho d\rho}$$
(4.228)

したがって、相対的な分布 $e_p(\theta)$ 、 $e_d(\rho)$ を用いて、 $d\rho/d\theta$ は次のように表される.

$$\frac{d\rho}{d\theta} = \frac{|e_p(\theta)|^2 \sin \theta}{|e_d(\rho)|^2 \rho} \frac{\int_{D_s/2}^{D_m/2} |e_d(\rho)|^2 \rho d\rho}{\int_{\theta_0}^{\theta_s} |e_p(\theta)|^2 \sin \theta d\theta}$$
(4.229)

このとき、副反射鏡の座標の角度成分 θ を与えて、主反射鏡を表わす座標成分 $\rho=\rho(\theta)$ を求める必要がある。 そこで、任意の 1 次パターン $e_p(\theta)$ が与えられた場合、

$$f(\rho,\theta) \equiv \frac{\int_{D_s/2}^{\rho} e_d^2(\rho)\rho d\rho}{\int_{D_s/2}^{D_m/2} e_d^2(\rho)\rho d\rho} - \frac{I(\theta)}{I(\theta_s)}$$

$$(4.230)$$

$$I(\theta) = \int_0^\theta e_p^2(\theta) \sin \theta d\theta \tag{4.231}$$

を定義し、 θ を与えたときに $f(\rho,\theta)=0$ を満たす解 ρ を数値的に求めることにする。これより、 $\rho=\rho(\theta)$ が決まれば、 $d\rho/d\theta$ は得られた式を用いて求められ、主反射鏡および副反射鏡の設計が行えることになる

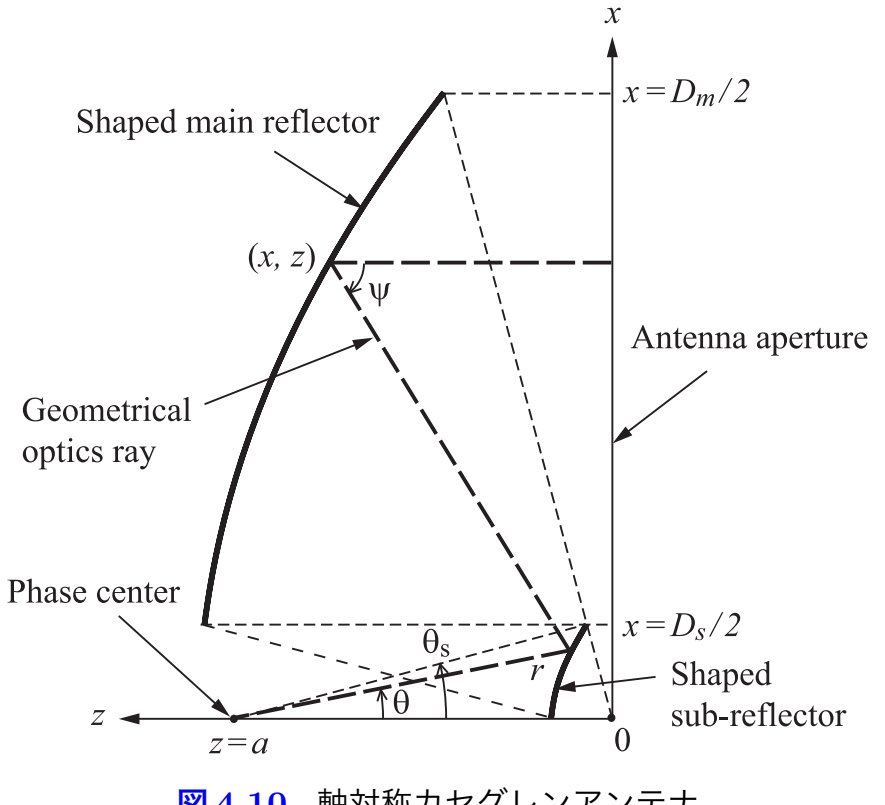


図 4.10. 軸対称カセグレンアンテナ

CHAPTER 5

指向性合成と波源分布の最適化

アンテナの指向性(電波の放射パターン)を設計・制御するための複数の数学的手法について解説する。特に、特定の形状のビーム(成形ビーム)を形成すること、そしてサイドローブ(主ビーム以外の不要な放射)のレベルを抑制する効果的な方法を取り上げ説明していく。まず、簡単な方法として、複数の基本的なビームを重ね合わせることで所望の指向性を合成するウッドワード・ローソン法について解説する。また、フーリエ級数展開を用いた開口面における波源分布と電界指向性の関係を示し、

より高度な制御を可能にするレメッツのアルゴリズムと二次計画法の応用について紹介する. これらの方法を用いれば、主ビームの形状やサイドローブレベルを詳細に制御し、アンテナの効率(開口能率)を最適化できることを示している.

5.1 ウッドワード・ローソン法

成形ビームなどの主ビームの指向性合成として,一つの開口において複数の波源分布を異なる方向に共相励振して所定の指向性を合成するウッドワード・ローソン法(Woodward-Lawson method)がある.これはビーム方向を変化させた複数の指向性関数の重ね合わせによってビームを成形しようというもので,共相励振の方向は他の指向性のヌル点と一致させ,かつ各々の指向性のヌル点も一致させる.簡単のため振幅は全て一様とすると,指向性関数は \sin c 関数で表されるから, θ m 方向の指向性のヌル点は,

$$\frac{\pi D}{\lambda}(\sin\theta - \sin\theta_m) = m\pi \tag{5.1}$$

を満たす方向 θ である。なお、ビームの方向は対称に配置するものとする。よって、ビームの数が奇数(2M+1)、および偶数(2M)のとき、各々、共相励振の方向 θ_m は次のよう

な関係になる。

$$\sin \theta_{m} = \begin{cases} m \frac{\lambda}{D} & (m = 0, \pm 1, \pm 2, \cdots, M(2M + 1 : \text{odd})) \\ \frac{2m \mp 1}{2} \frac{\lambda}{D} & (m = \pm 1, \pm 2, \cdots, M(2M : \text{even})) \end{cases}$$
 (5.2)

(5.3)

(5.4)

ビームの数が奇数 (2M+1) のとき、指向性関数 g(u) は、

$$g(u) = \sum_{m=-M}^{M} c_m \frac{\sin v_m}{v_m}$$

$$= \sum_{m'=1}^{M} c_{-m'} \frac{\sin v_{-m'}}{v_{-m'}} + c_0 \frac{\sin v_0}{v_0} + \sum_{m=1}^{M} c_m \frac{\sin v_m}{v_m}$$

$$= c_0 \frac{\sin v_0}{v_0} + \sum_{m=1}^{M} c_m \left(\frac{\sin v_{-m}}{v_{-m}} + \frac{\sin v_m}{v_m} \right)$$

ここで、 $\theta_{-m} = -\theta_m$ より、

$$v_{\pm m} = \frac{\pi D}{\lambda} (\sin \theta + \sin \theta_{-m})$$
$$= \frac{\pi D}{\lambda} (\sin \theta \pm \sin \theta_{m})$$
$$= u \pm \frac{\pi D}{\lambda} \sin \theta_{m}$$

このとき、波源分布 $e(\bar{x})$ は、 $A_m(\bar{x}) = 1$ として、

$$e(\bar{x}) = \sum_{m=-M}^{M} c_m \left\{ A_m(\bar{x}) e^{j\psi_m(\bar{x})} \right\}$$

$$= \sum_{m=-M}^{M} c_m e^{-\frac{\pi D}{\lambda} \sin \theta_m \cdot \bar{x}}$$

$$= c_0 + \sum_{m=1}^{M} 2c_m \cos \left(\frac{\pi D}{\lambda} \sin \theta_m \cdot \bar{x} \right)$$
(5.5)

ビームの数が偶数(2M)のとき、指向性関数 g(u) および波源分布 $e(\bar{x})$ は、上式において $c_0=0$ とする。さらに、係数を全て等しく $c_m=1$ おけば、ウッドワード・ローソン法による成形ビームが得られる。ビーム数 M=5,6 の計算例を、図 5.1、図 5.2 に示す。同図において、左上の図では、合成する全てのビームのアレーファクタを点線、合成したビームのアレーファクタを実線で示し(下の図は dB 値の放射パターン)、このような指向性から求めた波源分布を右上の図に示している。簡単な方法であるが、主ビームのリプルやサイドローブレベル(左上の図では赤、下の図では緑のプロットの点のピーク値)などの制御はできない。

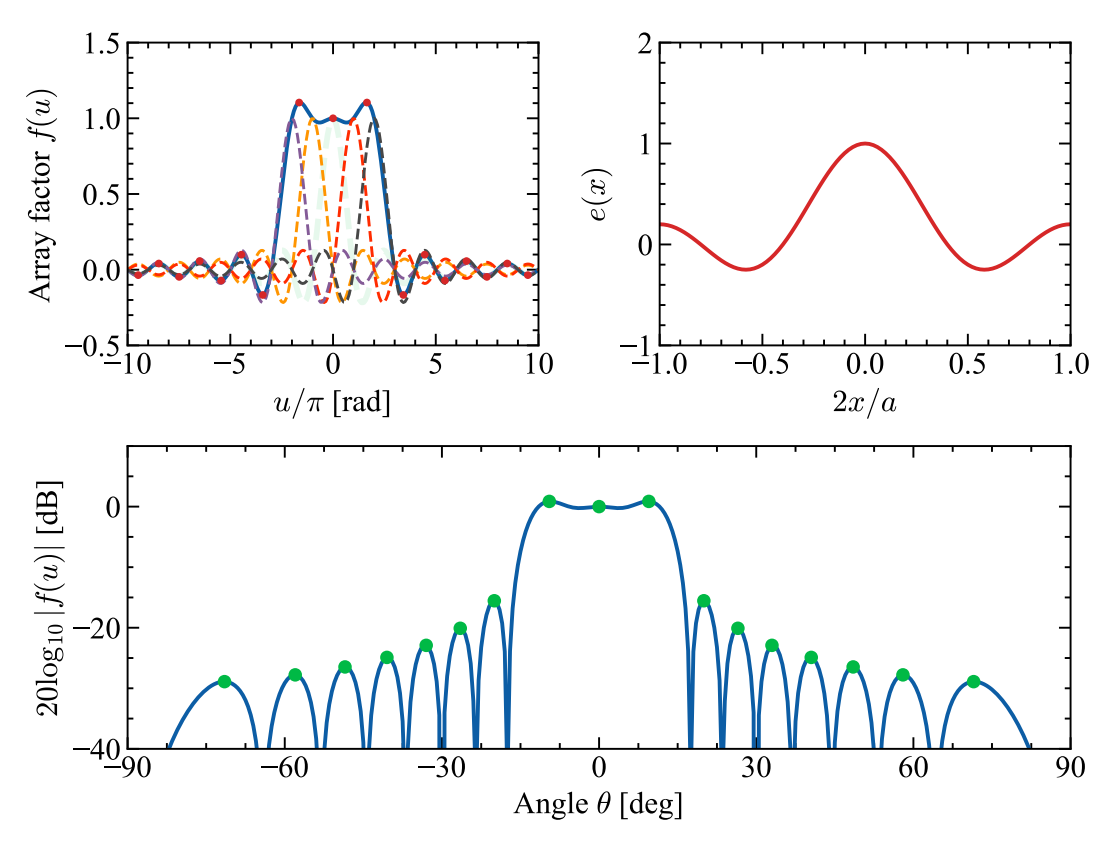


図 5.1. ウッドワード・ローソン法による成形ビーム ($D=10\lambda,\ M=5$)

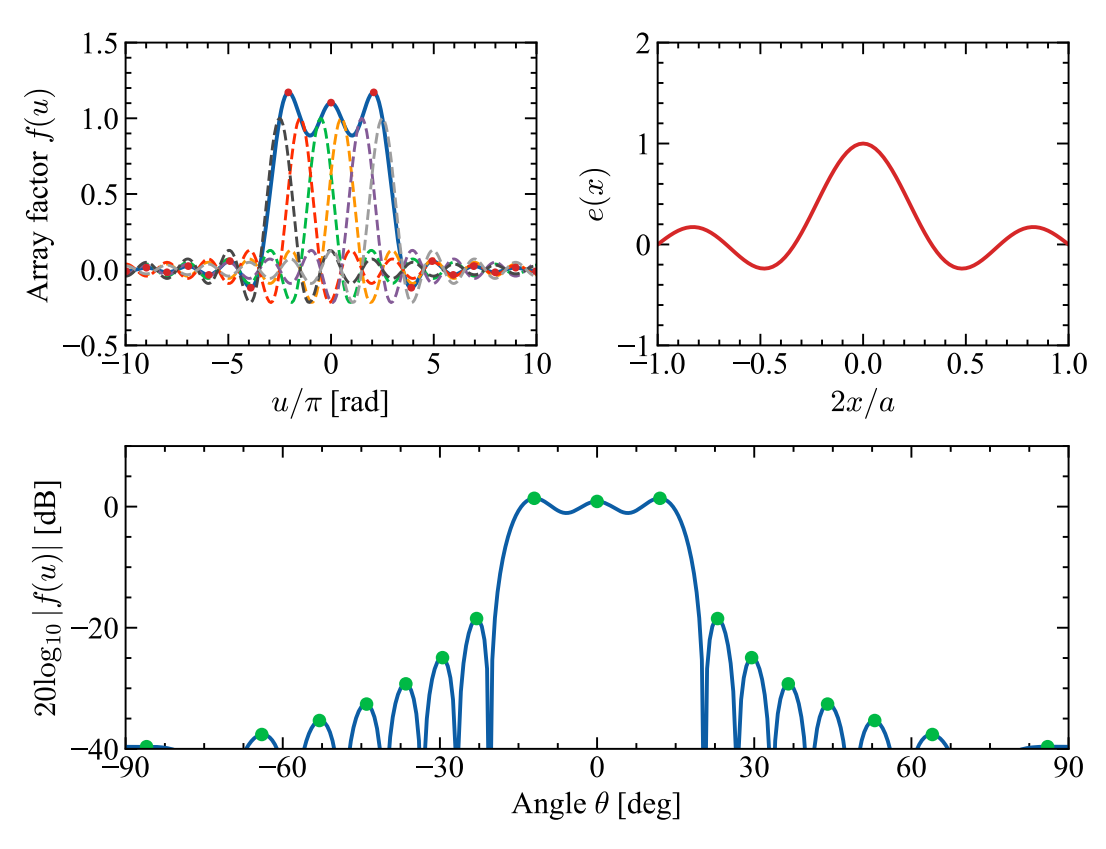


図 5.2. ウッドワード・ローソン法による成形ビーム $(D=10\lambda,\ M=6)$

5.2 波源分布のフーリエ級数展開

5.2.1 開口面分布と電界指向性との関係

直角座標系 (x_1, x_2, x_3) において, $x_3 = 0$ における開口面 A の電界分布のスカラー成分 $E_a(x_1, x_2)$ を逆フーリエ変換すると,フラウンホーファ領域電界指向性のスカラー成分(ユニバーサル電界パターン) $g(k_1, k_2)$ が求められ,次のようになる.

$$g(k_1, k_2) = \iint_A E_a(x_1, x_2) e^{j(k_1 x_1 + k_2 x_2)} dx_1 dx_2$$
 (5.6)

ただし、 k_1 、 k_2 は波数ベクトルの x_1 、 x_2 成分を示す。開口面A の外側をゼロとして $e(x_1,x_2)$ を定義すれば積分範囲を拡張でき、逆変換が行える。したがって、開口面分布 $e(x_1,x_2)$ と電界指向性 $g(k_1,k_2)$ は、次のようにフーリエ変換対で表される。

$$g(k_1, k_2) = \iint_{-\infty}^{\infty} e(x_1, x_2) e^{j(k_1 x_1 + k_2 x_2)} dx_1 dx_2$$
 (5.7)

$$e(x_1, x_2) = \frac{1}{(2\pi)^2} \iint_{-\infty}^{\infty} g(k_1, k_2) e^{-j(k_1 x_1 + k_2 x_2)} dk_1 dk_2$$
 (5.8)

ここで,

$$k_1 = k \sin \theta \cos \phi \tag{5.9}$$

$$k_2 = k \sin \theta \sin \phi \tag{5.10}$$

なお、2次元フーリエ変換対の係数の積は $1/(2\pi)^2$ である.

5.2.2 変数分離された開口面分布

開口面分布が変数分離形 $e(x_1,x_2)=e_1(x_1)e_2(x_2)$ のとき,

$$g(k_1, k_2) = \iint_{-\infty}^{\infty} e_1(x_1) e_2(x_2) e^{jk_1 x_1} e^{jk_2 x_2} dx_1 dx_2$$

$$= \left(\int_{-\infty}^{\infty} e_1(x_1) e^{jk_1 x_1} dx_1 \right) \left(\int_{-\infty}^{\infty} E_2(x_2) e^{jk_2 x_2} dx_2 \right)$$

$$\equiv g_1(k_1) g_2(k_2)$$
(5.11)

ここで、 $D_1 \times D_2$ の方形開口の場合、

$$g_1(k_1) = \int_{-\infty}^{\infty} e_1(x_1)e^{jk_1x_1}dx_1 = \int_{-\frac{D_1}{2}}^{\frac{D_1}{2}} e_1(x_1)e^{jk_1x_1}dx_1$$

$$g_2(k_2) = \int_{-\infty}^{\infty} e_2(x_2)e^{jk_2x_2}dx_2 = \int_{-\frac{D_2}{2}}^{\frac{D_2}{2}} e_2(x_2)e^{jk_2x_2}dx_2$$

$$(5.12)$$

(5.14)

逆に,

$$e(x_1, x_2) = \frac{1}{(2\pi)^2} \iint_{-\infty}^{\infty} g_1(k_1) g_2(k_2) e^{-j(k_1 x_1 + k_2 x_2)} dk_1 dk_2$$

$$= \left(\frac{1}{2\pi} \int_{-\infty}^{\infty} g_1(k_1) e^{-jk_1 x_1} dk_1\right) \left(\frac{1}{2\pi} \int_{-\infty}^{\infty} g_2(k_2) e^{-jk_2 x_2} dk_2\right)$$

$$\equiv e_1(x_1) e_2(x_2)$$

ここで,

$$e_1(x_1) = \frac{1}{2\pi} \int_{-\infty}^{\infty} g_1(k_1) e^{-jk_1 x_1} dk_1$$

$$e_2(x_2) = \frac{1}{2\pi} \int_{-\infty}^{\infty} g_2(k_2) e^{-jk_2 x_2} dk_2$$
(5.15)

5.2.3 座標系の正規化

正規化した直角座標 (\bar{x}_1, \bar{x}_2) を考え,

$$x_1 \equiv \frac{D_1}{2}\bar{x_1} \tag{5.17}$$

$$x_2 \equiv \frac{D_2}{2}\bar{x_2} \tag{5.18}$$

いま, $\phi=0$ とおけば, x_1x_3 面の波源分布 $e_1(x_1)$ と電界指向性 $g_1(x_1)$ の関係は,

$$k_1 = k\sin\theta\cos0 = k\sin\theta\tag{5.19}$$

$$u_1 \equiv k \frac{D_1}{2} \sin \theta = \frac{\pi D_1}{\lambda} \sin \theta \tag{5.20}$$

より,

$$g_{1}(k_{1}) = \int_{-\frac{D_{1}}{2}}^{\frac{D_{1}}{2}} e_{1}(x_{1})e^{jk_{1}x_{1}}dx_{1}$$

$$= \frac{D_{1}}{2} \int_{-1}^{1} e_{1}(\bar{x})e^{ju_{1}\bar{x}_{1}}d\bar{x}_{1} = g_{1}(u_{1})$$

$$e_{1}(x_{1}) = \frac{1}{2\pi} \int_{-\infty}^{\infty} g_{1}(k_{1})e^{-jk_{1}x_{1}}dk_{1}$$

$$= \frac{1}{2\pi} \frac{2}{D_{1}} \int_{-\infty}^{\infty} g_{1}(u_{1})e^{-ju_{1}\bar{x}_{1}}du_{1}$$

$$(5.21)$$

また、 $\phi=\pi/2$ とおけば、 x_2x_3 面の波源分布 $e_2(x_2)$ と電界指向性 $g_2(x_2)$ の関係は、

$$k_2 = k\sin\theta\sin\frac{\pi}{2} = k\sin\theta\tag{5.23}$$

$$u_2 \equiv k \frac{D_2}{2} \sin \theta = \frac{\pi D_2}{\lambda} \sin \theta \tag{5.24}$$

より,

$$g_{2}(k_{2}) = \int_{-\frac{D_{2}}{2}}^{\frac{D_{2}}{2}} e_{2}(x_{2})e^{jk_{2}x_{2}}dx_{2}$$

$$= \frac{D_{2}}{2} \int_{-1}^{1} e_{2}(\bar{x}_{2})e^{ju_{2}\bar{x}_{2}}d\bar{x}_{2} = g_{2}(u_{2})$$

$$e_{2}(x_{2}) = \frac{1}{2\pi} \int_{-\infty}^{\infty} g_{2}(k_{2})e^{-jk_{2}x_{2}}dk_{2}$$

$$= \frac{1}{2\pi} \frac{2}{D_{2}} \int_{-\infty}^{\infty} g_{2}(u_{2})e^{-ju_{2}\bar{x}_{2}}du_{2}$$

$$(5.25)$$

5.2.4 1次元フーリエ変換対

 x_1x_3 面と x_2x_3 面の関係を一つにまとめ、 x_ix_3 面 (i=1,2) に対する関係を、

$$x_i = \frac{D_i}{2}\bar{x}_i, \qquad u_i = \frac{\pi D_i}{\lambda}\sin\theta \tag{5.27}$$

として.

$$g_{i}(u_{i}) = \int_{-\frac{D_{i}}{2}}^{\frac{D_{i}}{2}} e_{i}(x_{i}) e^{ju_{i}\frac{2}{D_{i}}x_{i}} dx_{i}$$
$$= \frac{D_{i}}{2} \int_{-1}^{1} e_{i}(\bar{x}_{i}) e^{ju_{i}\bar{x}_{i}} d\bar{x}_{i}$$

 $x = \frac{D}{2}\bar{x}, \qquad u = \frac{\pi D}{\sqrt{1 + \frac{\pi}{2}}}\sin\theta$

 $e_i(\bar{x}_i) = \frac{1}{2\pi} \cdot \frac{2}{D_i} \int_{-\infty}^{\infty} g_i(u_i) e^{-ju_i\bar{x}_i} du_i$

添字
$$\,i\,$$
を省略して簡略化して

とすると.

$$g(u) = \int_{-\frac{D}{2}}^{\frac{D}{2}} e(x)e^{ju\frac{2}{D}x}dx$$

$$g(u) = \int_{-\frac{D}{2}} e(x)e^{ju\frac{z}{D}x}dx$$

$$D \int_{-\frac{1}{2}}^{1} e^{-iu\bar{x}}dx$$

$$= \frac{D}{2} \int_{-1}^{1} e(\bar{x}) e^{ju\bar{x}} d\bar{x}$$

$$e(\bar{x}) = \frac{1}{2\pi} \cdot \frac{2}{D} \int_{-1}^{\infty} g(u) e^{-ju\bar{x}} du$$

(5.28)

(5.29)

(5.30)

$$(5.31)$$
 (5.32)

5.2.5 波源分布のフーリエ級数展開

1次元波源分布 $e(\bar{x})$ $(-1 \le \bar{x} \le 1)$ を、複素フーリエ級数で展開すると、

$$e(\bar{x}) = \sum_{n=-N}^{N} a_n e^{-jn\pi\bar{x}}$$
 (5.33)

いま, $e(\bar{x})$ ($-1 \le \bar{x} \le 1$) が与えられれば (周期 T = 2),

$$\frac{1}{T} \int_{-1}^{1} e(\bar{x}) e^{jm\pi \bar{x}} d\bar{x} = \frac{1}{2} \int_{-1}^{1} \left(\sum_{n=-N}^{N} a_n e^{-jn\pi \bar{x}} \right) e^{jm\pi \bar{x}} d\bar{x}
= \sum_{n=-N}^{N} \frac{a_n}{2} \int_{-1}^{1} e^{j(m-n)\pi \bar{x}} d\bar{x}
= \sum_{n=-N}^{N} \frac{a_n}{2} \left[\frac{e^{j(m-n)\pi \bar{x}}}{j(m-n)\pi} \right]_{-1}^{1}
= \sum_{n=-N}^{N} \frac{a_n}{2} \cdot \frac{e^{j(m-n)\pi} - e^{-j(m-n)\pi}}{j(m-n)\pi}
= \sum_{n=-N}^{N} \frac{a_n}{2} \cdot \frac{j2\sin(m-n)\pi}{j(m-n)\pi}
= \sum_{n=-N}^{N} a_n \cdot \frac{\sin(m-n)\pi}{(m-n)\pi}$$

ここで,

$$\frac{\sin(m-n)\pi}{(m-n)\pi} = \begin{cases} 1 & (m=n) \\ 0 & (m \neq n) \end{cases} = \delta_{m,n}$$
 (5.35)

(5.34)

より,

$$\frac{1}{2} \int_{-1}^{1} e(x)e^{jm\pi\bar{x}}d\bar{x} = \sum_{n=-N}^{N} a_n \delta_{m,n} = a_m$$

$$\therefore a_n = \frac{1}{2} \int_{-1}^{1} e(x)e^{jn\pi\bar{x}}d\bar{x}$$
(5.36)

5.2.6 実数係数で展開された開口面分布

複素波源分布 $e(\bar{x})$ の複素共役 $e^*(\bar{x})$ は、

$$e^*(\bar{x}) = \left(\sum_{n=-N}^{N} a_n e^{-jn\pi\bar{x}}\right)^* = \sum_{n=-N}^{N} a_n^* e^{jn\pi\bar{x}}$$
 (5.37)

また,

$$e(-\bar{x}) = \sum_{n=-N}^{N} a_n e^{-jn\pi(-\bar{x})} = \sum_{n=-N}^{N} a_n e^{jn\pi\bar{x}}$$
 (5.38)

展開係数 a_n が実数のとき、 $a_n = a_n^*$ より、次式が成り立つ。

$$e^*(\bar{x}) = \sum_{n=-N}^{N} a_n e^{jn\pi\bar{x}} = e(-\bar{x})$$
 (5.39)

いま、複素波源分布 $e(\bar{x}) \equiv E(\bar{x})e^{j\varphi(\bar{x})}$ (E, φ は実数) とおくと、

$$e^*(\bar{x}) = (E(\bar{x})e^{j\varphi(\bar{x})})^*$$

$$= E(\bar{x})e^{j\{-\varphi(\bar{x})\}}$$

$$= e(-\bar{x})$$

$$= E(-\bar{x})e^{j\varphi(-\bar{x})}$$
(5.40)

これより,

$$E(\bar{x}) = E(-\bar{x}) \tag{5.41}$$

$$-\varphi(\bar{x}) = \varphi(-\bar{x}) \tag{5.42}$$

つまり、展開係数 a_n が実数のとき、複素波源分布 $e(\bar{x})$ の振幅は偶関数、位相は奇関数となる。

5.2.7 対称な波源分布

波源分布 $e(\bar{x})$ が原点に対して対称な場合, $e(-\bar{x})=e(\bar{x})$ より (n'=-n),

$$e(-\bar{x}) = \sum_{n=-N}^{N} a_n e^{-jn\pi(-\bar{x})}$$

$$= \sum_{n=-N}^{N} a_n e^{-j(-n)\pi\bar{x}}$$

$$= \sum_{n'=-N}^{N} a_{-n'} e^{-jn'\pi\bar{x}}$$
(5.43)

よって,

$$a_{-n} = a_n \tag{5.44}$$

これより、対称な開口面分布 $e(\bar{x})$ は、

$$e(\bar{x}) = \sum_{n'=1}^{N} a_{-n'} e^{-j(-n')\pi\bar{x}} + a_0 + \sum_{n=1}^{N} a_n e^{-jn\pi\bar{x}}$$

$$= a_0 + \sum_{n=1}^{N} a_n \left(e^{jn\pi\bar{x}} + e^{-jn\pi\bar{x}} \right)$$

$$= a_0 + 2 \sum_{n=1}^{N} a_n \cos(n\pi\bar{x})$$
(5.45)

5.2.8 波源分布の逆フーリエ変換

1次元波源(電界)分布 $e(\bar{x})$ $(-1 \le \bar{x} \le 1)$ を $(x = \frac{D}{2}\bar{x})$,

$$e(\bar{x}) = \frac{1}{2} \cdot \frac{2}{D} \sum_{n=-N}^{N} a_n e^{-jn\pi \bar{x}}$$

$$= \frac{1}{D} \sum_{n=-N}^{N} a_n e^{-jn\pi \bar{x}}$$
(5.46)

とおき、逆フーリエ変換すると電界指向性 g(u) は $(u = \frac{\pi D}{\lambda} \sin \theta)$,

$$g(u) = \frac{D}{2} \int_{-1}^{1} e(\bar{x})e^{ju\bar{x}}d\bar{x}$$

$$= \frac{D}{2} \int_{-1}^{1} \left(\frac{1}{D} \sum_{n=-N}^{N} a_n e^{-jn\pi\bar{x}}\right) e^{ju\bar{x}}d\bar{x}$$

$$= \frac{1}{2} \sum_{n=-N}^{N} a_n \int_{-1}^{1} e^{j(u-n\pi)\bar{x}}d\bar{x}$$

$$= \frac{1}{2} \sum_{n=-N}^{N} a_n \left[\frac{e^{j(u-n\pi)\bar{x}}}{j(u-n\pi)}\right]_{-1}^{1}$$

$$= \frac{1}{2} \sum_{n=-N}^{N} a_n \left\{\frac{e^{j(u-n\pi)} - e^{-j(u-n\pi)}}{j(u-n\pi)}\right\}$$

$$= \sum_{n=-N}^{N} a_n \frac{\sin(u-n\pi)}{u-n\pi}$$

ここで,

$$u = \frac{\pi D}{\lambda} \sin \theta \tag{5.48}$$

(5.47)

より、可視領域は、 $-\frac{\pi}{2} \le \theta \le \frac{\pi}{2}$ の範囲で $-\frac{\pi D}{\lambda} \le u \le \frac{\pi D}{\lambda}$ となる。不可視領域まで指向性合成を拡大する場合、この u の範囲より十分広くして考えればよい。電界指向性 g(u) を sinc 関数を用いて表すと次のようになる。

$$g(u) = \sum_{n=-N}^{N} a_n \frac{\sin(u - n\pi)}{u - n\pi}$$
$$= \sum_{n=-N}^{N} a_n \operatorname{sinc}\left(\frac{u}{\pi} - n\right)$$
(5.49)

あるいは,

$$\sin(u - n\pi) = \sin u \cos(n\pi) - \cos u \sin(n\pi)$$
$$= \sin u (-1)^n \tag{5.50}$$

より,

$$\frac{\sin(u - n\pi)}{u - n\pi} = \frac{(-1)^n \sin u}{u - n\pi}
= \frac{(-1)^n \sin u}{1 - \frac{n\pi}{u}} \frac{\sin u}{u}$$
(5.51)

よって,

$$g(u) = \sum_{n=-N}^{N} a_n \frac{\sin(u - n\pi)}{u - n\pi}$$

$$= \sum_{n=-N}^{N} a_n \frac{(-1)^n}{1 - \frac{n\pi}{u}} \frac{\sin u}{u}$$

$$= \sum_{n=-N}^{N} a_n \frac{(-1)^n}{1 - \frac{n\pi}{u}} \cdot \operatorname{sinc}\left(\frac{u}{\pi}\right)$$
(5.52)

上式において各項は実数であるが、展開係数 a_n は実数の場合と複素数の場合があろう。 a_n が実数の場合,q(u) も実数である。ここで、u=0 とおくと、

$$g(0) = \sum_{n=-N}^{N} a_n \frac{\sin(0 - n\pi)}{0 - n\pi} = a_0$$
 (5.53)

これより, q(0) = 1 とおくと, $a_0 = 1$ となる. このとき,

$$e(\bar{x}) = \frac{1}{D} \left\{ 1 + 2 \sum_{n=1}^{N} a_n \cos(n\pi \bar{x}) \right\}$$
 (5.54)

また、電界指向性 g(u) も $a_{-n} = a_n$ の関係を用いると、

$$g(u) = \sum_{n=-N}^{N} a_n \frac{\sin(u - n\pi)}{u - n\pi}$$

$$= \sum_{n=-N}^{-1} a_n \frac{\sin(u - n\pi)}{u - n\pi} + a_0 \frac{\sin(u)}{u} + \sum_{n=1}^{N} a_n \frac{\sin(u - n\pi)}{u - n\pi}$$

$$= \sum_{n'=1}^{N} a_{-n'} \frac{\sin(u + n'\pi)}{u + n'\pi} + a_0 \frac{\sin(u)}{u} + \sum_{n=1}^{N} a_n \frac{\sin(u - n\pi)}{u - n\pi}$$

$$= a_0 \frac{\sin u}{u} + \sum_{n=1}^{N} a_n \left\{ \frac{\sin(u + n\pi)}{u + n\pi} + \frac{\sin(u - n\pi)}{u - n\pi} \right\}$$

$$= \frac{\sin u}{u} \left\{ a_0 + \sum_{n=1}^{N} a_n \frac{2(-1)^n u^2}{u^2 - (n\pi)^2} \right\}$$

ここで,

$$\phi_0(u) \equiv \frac{\sin u}{u}$$

$$\phi_n(u) \equiv \frac{\sin(u - n\pi)}{u - n\pi} + \frac{\sin(u + n\pi)}{u + n\pi}$$

$$= \frac{\sin u}{u} \cdot \frac{2(-1)^n u^2}{u^2 - (n\pi)^2} \quad (n = 1, 2, \dots, N)$$
(5.56)

(5.55)

とおくと、電界指向性 g(u) は、

$$g(u) = a_0 \phi_0(u) + \sum_{n=1}^{N} a_n \phi_n(u)$$

さらに, $a_0 = 1$ のとき,

$$g(u) = \phi_0(u) + \sum_{n=1}^{N} a_n \phi_n(u)$$
 (5.59)

(5.58)

なお,MATLABの関数 sinc は,

$$\operatorname{sinc} t = \begin{cases} \frac{\sin(\pi t)}{\pi t} & (t \neq 0) \\ 1 & (t = 0) \end{cases}$$
 (5.60)

5.2.9 開口能率

開口能率(aperture efficiency)あるいは利得係数は,一様開口面分布の利得 G_{u0} に対する利得低下量を表し(S は開口面積),

$$\eta_{a} = \frac{G_{0}}{G_{u0}} = \frac{G_{0}}{\frac{4\pi S}{\lambda^{2}}}
= \frac{\lambda^{2}}{4\pi S} \cdot \frac{4\pi}{\lambda^{2}} \frac{|g(0,0)|^{2}}{\iint_{A} |E_{a}|^{2} dS}
= \frac{\left|\iint_{A} E_{a} dS\right|^{2}}{S\iint_{A} |E_{a}|^{2} dS}$$
(5.61)

方形開口 $(D_1 \times D_2)$ 面上の電界分布が変数分離形 $E_a(x_1, x_2) = e_1(x_1)e_2(x_2)$ のとき、 $S = D_1D_2$ 、 $dS = dx_1dx_2$ より、

$$\eta_a = \frac{\left| \int_{D_1} e_1(x_1) dx_1 \right|^2}{D_1 \int_{D_1} |e_1(x_1)|^2 dx_1} \cdot \frac{\left| \int_{D_2} e_2(x_2) dx_2 \right|^2}{D_2 \int_{D_2} |e_2(x_2)|^2 dx_2} \equiv \eta_1 \eta_2 \tag{5.62}$$

変数分離された開口能率 η_i は, $x_i = \frac{D_i}{2} \bar{x}_i$, $dx_i = \frac{D_i}{2} d\bar{x}_i$ (i=1,2) より,

$$\eta_{i} = \frac{\left| \int_{-\frac{D_{i}}{2}}^{\frac{D_{i}}{2}} e_{i}(x_{i}) dx_{i} \right|^{2}}{D_{i} \int_{-\frac{D_{i}}{2}}^{\frac{D_{i}}{2}} |e_{i}(x_{i})|^{2} dx_{i}}$$

$$= \frac{\left| g_{i}(0) \right|^{2}}{\frac{D_{i}^{2}}{2} \int_{-1}^{1} |e_{i}(\bar{x}_{i})|^{2} d\bar{x}_{i}} \tag{5.63}$$

ただし、 $g_i(0)$ (i=1,2) は正面方向の電界指向性 g(0,0) $(=g_1g_2)$ を変数分離したもので、

$$g_{i}(0) = \int_{-\frac{D_{i}}{2}}^{\frac{D_{i}}{2}} e_{i}(x_{i}) dx_{i}$$

$$= \frac{D_{i}}{2} \int_{-1}^{1} e_{i}(\bar{x})_{i} d\bar{x}_{i}$$
(5.64)

後述する1次元の解析においても添字iを省略して簡略化していく.

5.2.10 1次元波源分布に対する開口能率

1次元波源分布 $e(\bar{x})$ より、直交性を用いれば、

$$\int_{-1}^{1} |e(\bar{x})|^{2} d\bar{x} = \int_{-1}^{1} \left[\frac{1}{D} \left\{ 1 + 2 \sum_{n=1}^{N} a_{n} \cos(n\pi \bar{x}) \right\} \right]^{2} d\bar{x}$$

$$= \frac{1}{D^{2}} \left\{ \int_{-1}^{1} d\bar{x} + 4 \sum_{n=1}^{N} a_{n}^{2} \int_{-1}^{1} \cos^{2}(n\pi \bar{x}) d\bar{x} \right\}$$

$$= \frac{1}{D^{2}} \left\{ 2 + 4 \sum_{n=1}^{N} 2a_{n}^{2} \int_{0}^{1} \frac{1}{2} \left\{ 1 + \cos(2n\pi \bar{x}) \right\} d\bar{x} \right\}$$

$$= \frac{2}{D^{2}} \left\{ 1 + 2 \sum_{n=1}^{N} a_{n}^{2} \left[x + \frac{\sin(2n\pi x)}{2n\pi} \right]_{0}^{1} \right\}$$

$$= \frac{2}{D^{2}} \left(1 + 2 \sum_{n=1}^{N} a_{n}^{2} \right) \tag{5.65}$$

よって、1次元波源分布に対する(1次元)開口能率 η は、g(0)=1 より、

$$\eta = \frac{|g(0)|^2}{\frac{D^2}{2} \int_{-1}^{1} |e(\bar{x})|^2 d\bar{x}} = \frac{1}{1 + 2\sum_{n=1}^{N} a_n^2}$$
(5.66)

上式において、展開係数 a_n の項は 2 次式であり、

$$\sum_{n=1}^{N} a_n^2 = \begin{pmatrix} a_1 & a_2 & \cdots \end{pmatrix} \begin{pmatrix} 1 & 0 & \cdots \\ 0 & 1 & \cdots \\ \vdots & \vdots & \cdots \end{pmatrix} \begin{pmatrix} a_1 \\ a_2 \\ \vdots \end{pmatrix} = \frac{1}{2} \boldsymbol{a}^t 2[U] \boldsymbol{a}$$
 (5.67)

ただし、[U] は $N \times N$ 単位行列、 a^t は列ベクトル a の転置を示す.

5.3 レメッツのアルゴリズムによる指向性合成

レメッツのアルゴリズム *1 を用いて、サイドローブレベルの最大値が所定の値以下となる 1次元開口面分布を求める指向性合成 *2 の方法は次のとおりである。

- 1. 抑圧するサイドローブレベルの最大値 ϵ と第1 サイドローブから順に抑圧するサイドローブ数 N を与える.
- 2. 初期値として電界指向性 $g_0(u)$ を与える。例えば,一様開口面分布による電界指向性 $(\operatorname{sinc}$ 関数)などが考えられる.
- 3. サイドローブレベルのピーク方向 $u_n(n=1,2,\cdots,N)$ を、第1サイドローブから順 に N 個求める。
- 4. サイドローブ領域の電界指向性を $-\epsilon \leq g(u) \leq \epsilon$ とするため、ユニバーサルパラメータ $u=u_n$ での電界指向性のピーク値が $\pm \epsilon$ となるように、次式により係数

^{*1 &}quot;アンテナ工学ハンドブック(第2版)," pp.827-828, オーム社 (2008).

^{*2} 後藤 尚久, "アンテナ工学入門講座," pp.108-109, 電波新聞社 (2008).

 $a_n (n = 1, 2, \dots, N)$ を決定する $(g(u) = a_0 = 1)$.

$$g(u_m) = \phi_0(u_m) + \sum_{n=1}^{N} a_n \phi_n(u_m) = (-1)^m \epsilon \qquad (m = 1, 2, \dots, N)$$
 (5.68)

これらの式を行列表示すると.

$$\begin{pmatrix} \phi_1(u_1) & \phi_2(u_1) & \cdots & \phi_N(u_1) \\ \phi_1(u_2) & \phi_2(u_2) & \cdots & \phi_N(u_2) \\ \vdots & \vdots & & \vdots \\ \phi_1(u_N) & \phi_2(u_N) & \cdots & \phi_N(u_N) \end{pmatrix} \begin{pmatrix} a_1 \\ a_2 \\ \vdots \\ a_N \end{pmatrix} = \begin{pmatrix} -\phi_0(u_1) + (-1)^1 \epsilon \\ -\phi_0(u_2) + (-1)^2 \epsilon \\ \vdots \\ -\phi_0(u_N) + (-1)^N \epsilon \end{pmatrix}$$
(5.69)

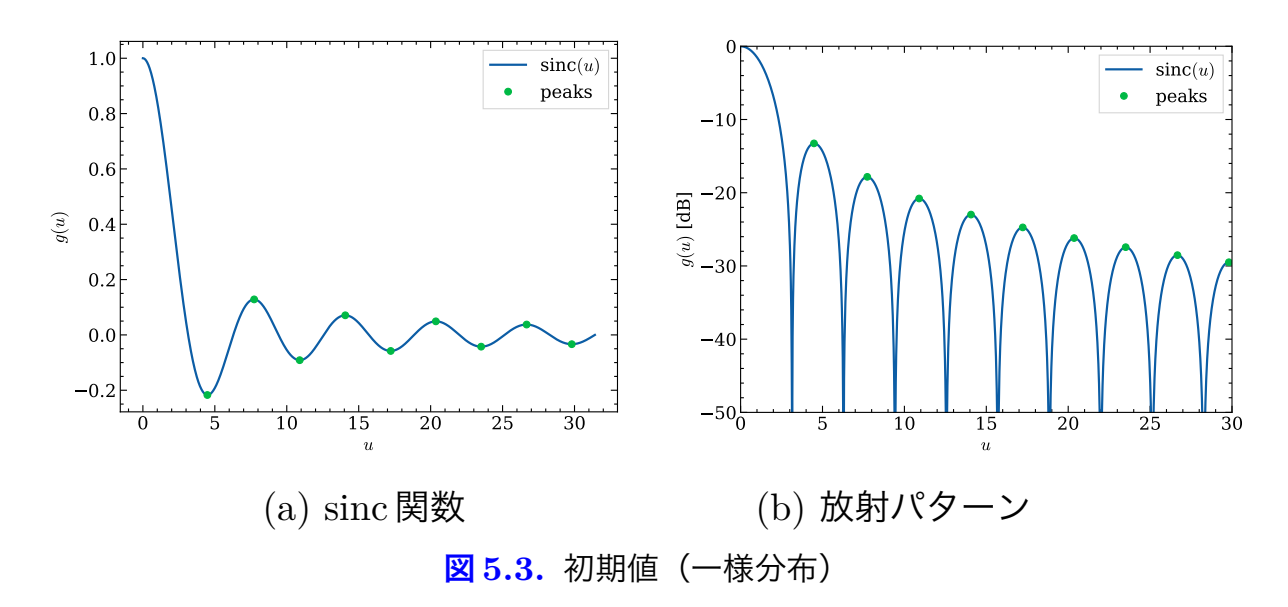
よって、未知係数 a_n は、

$$\begin{pmatrix}
a_1 \\
a_2 \\
\vdots \\
a_N
\end{pmatrix} = \begin{pmatrix}
\phi_1(u_1) & \phi_2(u_1) & \cdots & \phi_N(u_1) \\
\phi_1(u_2) & \phi_2(u_2) & \cdots & \phi_N(u_2) \\
\vdots & \vdots & & \vdots \\
\phi_1(u_N) & \phi_2(u_N) & \cdots & \phi_N(u_N)
\end{pmatrix}^{-1} \begin{pmatrix}
-\phi_0(u_1) + (-1)^1 \epsilon \\
-\phi_0(u_2) + (-1)^2 \epsilon \\
\vdots \\
-\phi_0(u_N) + (-1)^N \epsilon
\end{pmatrix}$$
(5.70)

これより、指向性を求め、3、4の計算を繰り返し a_n を更新していく。N 個のサイドローブレベルのピーク値が所定の値となれば反復を終了する。なお、3 では、

- $g'(u_n) = 0$ を満足する u_n を N 個計算する.
- g(u) を細かく計算し、ピーク値を抽出して u_n を決定する.

図 5.3 は一様分布による放射パターン、つまり sinc 関数を示したもので、簡単のため、これを初期値として用いて計算していく、サイドローブレベルの値は、第 1 から順に、



-32.0, -32.0, -32.0, -34.0, -36.0, -38.0, -40.0, -42.0, -42.0 [dB] として与え、レメッ

ツのアルゴリズムに基づき繰り返し計算したときの途中過程を図5.4に示す。表5.1はこの

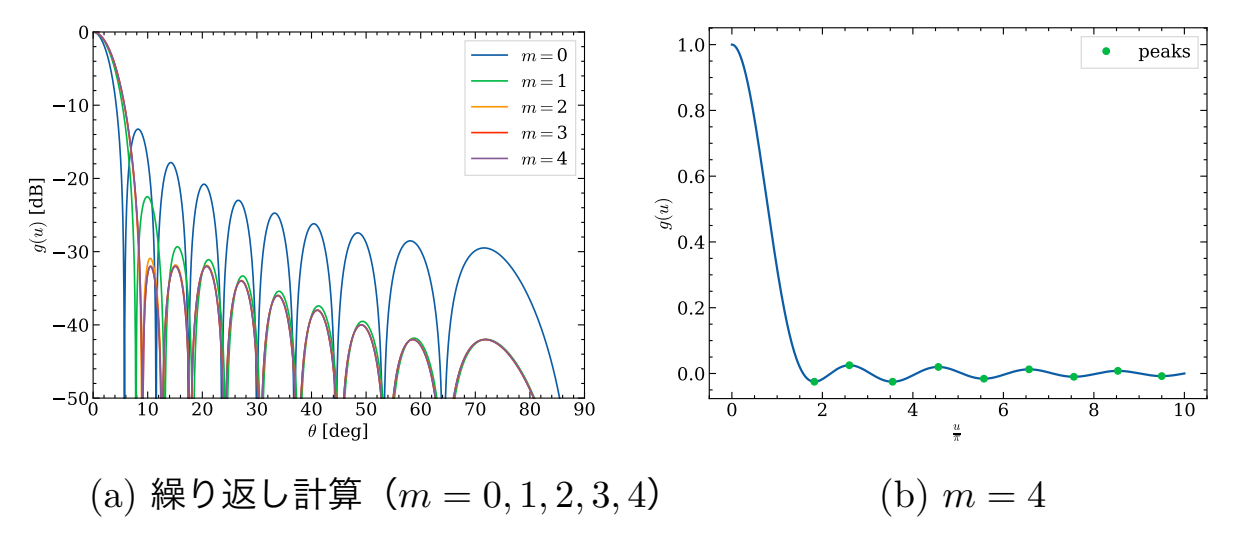


図 5.4. レメッツのアルゴリズムに基づく計算過程. 与えたサイドローブレベルの値は、第 1 から順に、-32.0, -32.0, -32.0, -34.0, -36.0, -38.0, -40.0, -42.0, -42.0 [dB]

ときのピークサイドローブレベルの値を示したもので、m=0 は初期値の放射パターンにおける値であり、繰り返し回数がm=4のとき早くも与えた値に収束していることがわかる。図 5.5 は、収束した繰り返し回数 m=4 のときの放射パターンおよび開口面分布を示し

表 5.1 サイドローブレベルが収束するまでの計算過程(サイドローブ数 N=9)

i-th	第1	第 2	第3	第4	第5	第6	第7	第8	第9
m	[dB]								
0	-13.262	-17.831	-20.788	-22.985	-24.736	-26.191	-27.437	-28.525	-29.493
1	-22.492	-29.329	-31.099	-33.319	-35.4	-37.403	-39.515	-41.81	-41.979
2	-30.905	-31.814	-31.881	-33.937	-35.964	-37.979	-39.973	-41.977	-41.996
3	-31.987	-32.	-32.	-34.	-36.	-37.999	-40.	-42.	-42.
4	-32.	-32.	-32.	-34.	-36.	-38.	-40.	-42.	-42.

たもので、開口能率は 83%である。開口面分布は単純なテーパ分布に近い。開口能率を高くするためには、サイドローブレベルを高くする必要があり、サイドローブレベルの設定を変えた指向性合成も容易に行える。例えば、サイドローブレベルのピーク値を、第 1 から順に、-32.0, -32.0, -32.0, -34.0, -36.0, -38.0, -40.0, -42.0, -42.0 [dB] 以下にすると、図 5.6 に示すようになる。サイドローブレベルを不規則に制御しようとすると、開口面分布も単純なテーパ分布にはならない

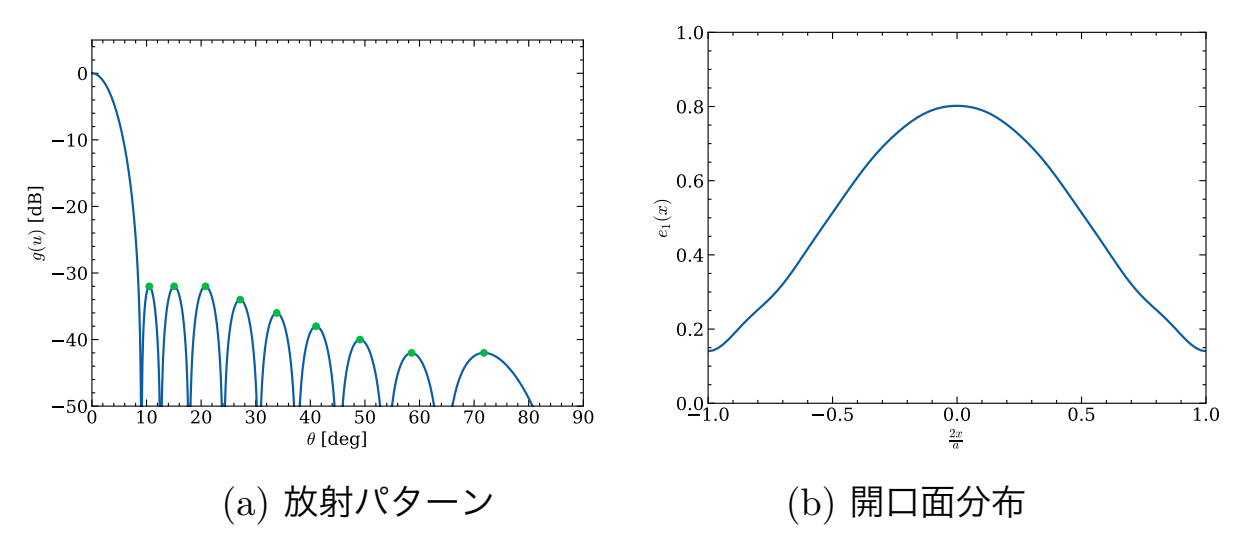


図 5.5. レメッツのアルゴリズムに基づく計算結果(開口能率は 83%)。与えたサイドローブレベルの値は、第 1 から順に、-32.0, -32.0, -32.0, -34.0, -36.0, -38.0, -40.0, -42.0, -42.0 [dB]

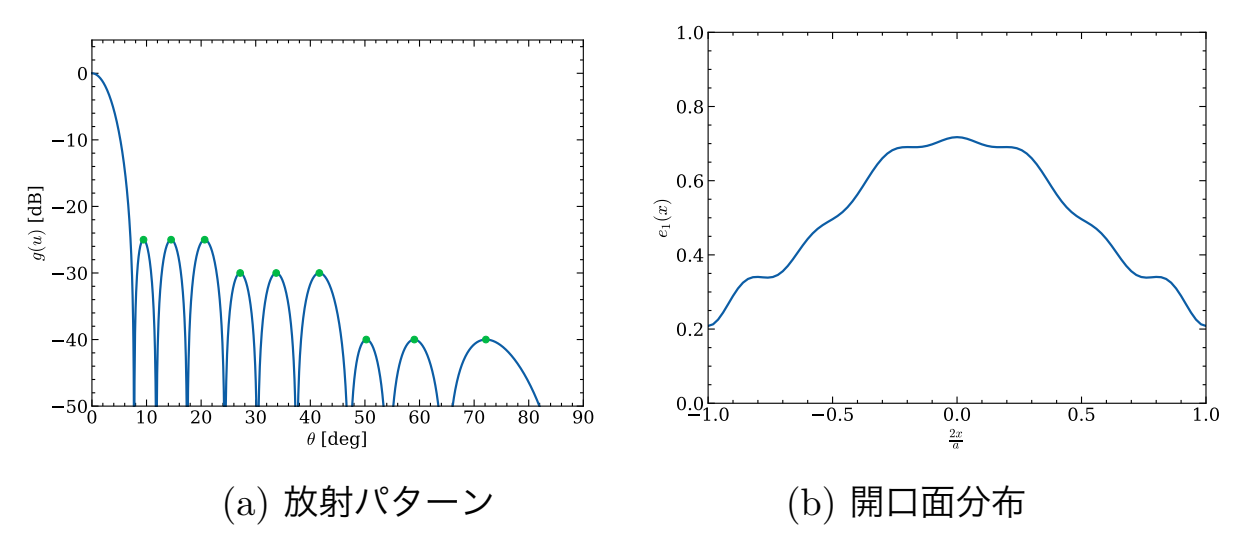


図 5.6. レメッツのアルゴリズムに基づく計算結果(開口能率は 90%)。与えたサイドローブレベルの値は、第 1 から順に、-25.0, -25.0, -25.0, -30.0, -30.0, -30.0, -40.0, -40.0, -40.0 [dB]

5.4 電界指向性のフーリエ級数展開

指向性関数 g(u) を複素フーリエ級数展開するため、

$$u = \frac{\pi D}{\lambda} \sin \theta = \frac{\pi D}{\lambda} w \tag{5.71}$$

$$w = \sin \theta \tag{5.72}$$

とおき、周期を T=2 として、

$$g(w) = \sum_{n=-N_b}^{N_b} b_n e^{jn\pi w}$$
 (5.73)

いま, g(w) $(-1 \le \sin \theta \le 1)$ が与えられれば,

$$\frac{1}{T} \int_{-1}^{1} g(w)e^{-jm\pi w} dw = \sum_{n=-N_b}^{N_b} b_n \frac{\sin(n-m)\pi}{(n-m)\pi} = b_m$$

$$\therefore b_n = \frac{1}{2} \int_{-1}^{1} g(w)e^{-jn\pi w} dw \tag{5.74}$$

5.4.1 有限範囲で一様な電界指向性

電界指向性 g(w) が対称な場合, $b_{-n} = b_n$ より,

$$g(u) = \sum_{n=-N_b}^{N_b} b_n e^{jn\pi w}$$

$$= \sum_{n=-N_b}^{-1} b_n e^{jn\pi w} + b_0 + \sum_{n=1}^{N_b} b_n e^{jn\pi w}$$

$$= \sum_{n'=1}^{N_b} b_{-n'} e^{j(-n')\pi w} + b_0 + \sum_{n=1}^{N_b} b_n e^{jn\pi w}$$

$$= b_0 + \sum_{n=1}^{N_b} 2b_n \cos(n\pi w)$$
(5.75)

電界指向性が $(-1<)-\alpha \le w \le \alpha (<1)$ の範囲で g=1 (一定) のとき、展開係数 b_n は、

$$b_n = \frac{1}{2} \int_{-1}^{1} g(w) e^{-jn\pi w} dw$$

$$= \frac{1}{2} \int_{-\alpha}^{\alpha} e^{-jn\pi w} dw$$

$$= \alpha \frac{\sin(n\pi\alpha)}{n\pi\alpha}$$

$$\sin(0, \pi\alpha)$$

$$b_0 = \alpha \frac{\sin(0 \cdot \pi \alpha)}{0 \cdot \pi \alpha} = \alpha \tag{5.77}$$

(5.76)

5.4.2 電界指向性のフーリエ変換

電界指向性 g(u) をフーリエ変換すると波源分布 e(x) が得られ,

$$e(x) = \frac{1}{\pi D} \int_{-\infty}^{\infty} g(u)e^{-ju\bar{x}}du$$

$$= \frac{1}{\pi D} \frac{\pi D}{\lambda} \int_{-1}^{1} g(w)e^{-j\frac{\pi D}{\lambda}w\bar{x}}dw$$

$$= \frac{1}{\lambda} \int_{-1}^{1} \left(\sum_{n=-N_b}^{N_b} b_n e^{jn\pi w}\right) e^{-j\frac{\pi D}{\lambda}w\bar{x}}dw$$

$$= \frac{1}{\lambda} \sum_{n=-N_b}^{N_b} b_n \int_{-1}^{1} e^{j(n\pi - \frac{\pi D}{\lambda}\bar{x})w}dw$$

$$= \frac{2}{\lambda} \sum_{n=-N_b}^{N_b} b_n \frac{\sin(n - \frac{D}{\lambda}\bar{x})\pi}{(n - \frac{D}{\lambda}\bar{x})\pi}$$

$$= \frac{2}{\lambda} \sum_{n=-N_b}^{N_b} b_n \frac{\sin(\frac{D}{\lambda}\bar{x} - n)\pi}{(\frac{D}{\lambda}\bar{x} - n)\pi}$$
(5.78)

さらに, $b_{-n} = b_n$ のとき,

$$e(x) = \frac{2}{\lambda} \left(b_0 \Phi_0(\bar{x}) + \sum_{n=1}^{N_b} b_n \Phi_n(\bar{x}) \right)$$
 (5.79)

ここで,

$$\Phi_0(\bar{x}) = \frac{\sin\left(\frac{\pi D}{\lambda}\bar{x}\right)}{\frac{\pi D}{\lambda}\bar{x}} \tag{5.80}$$

$$\Phi_n(\bar{x}) = \frac{\sin(\frac{D}{\lambda}\bar{x} - n)\pi}{(\frac{D}{\lambda}\bar{x} - n)\pi} + \frac{\sin(\frac{D}{\lambda}\bar{x} + n)\pi}{(\frac{D}{\lambda}\bar{x} + n)\pi}$$
(5.81)

5.4.3 1次元波源の共相励振

1次元波源分布 $e(ar{x})$ の振幅を $A(ar{x})$,位相を $\psi(ar{x})$ とおくと,電界指向性 g(u) は,

$$g(u) = \frac{D}{2} \int_{-1}^{1} A(\bar{x})e^{j\psi(\bar{x})}e^{ju\bar{x}}d\bar{x}$$
 (5.82)

ここで,

$$u = \frac{\pi D}{\lambda} \sin \theta, \quad \bar{x} = \frac{2}{D}x \tag{5.83}$$

より、 $\theta=\theta_m$ の方向に共相励振するための位相項の条件は、

$$\psi(\bar{x}) + \frac{\pi D}{\lambda} \sin \theta_m \cdot \bar{x} = 0$$

$$\psi(\bar{x}) = -\frac{\pi D}{\lambda} \sin \theta_m \cdot \bar{x}$$

これより、電界指向性 g(u) は、

$$g(u) = \frac{D}{2} \int_{-1}^{1} A(\bar{x}) e^{-j\frac{\pi D}{\lambda} \sin \theta_m \cdot \bar{x}} e^{ju\bar{x}} d\bar{x}$$

ここで,

$$v_m \equiv \frac{\pi D}{\lambda} (\sin \theta - \sin \theta_m)$$
$$= u - \frac{\pi D}{\lambda} \sin \theta_m$$

とおくと,

$$g(u) = \frac{D}{2} \int_{-1}^{1} A(\bar{x}) e^{jv_m \bar{x}} d\bar{x}$$

(5.87)

(5.86)

(5.84)

(5.85)

振幅が一定のとき、 $A(\bar{x}) = A_0$ とおけば、

$$g(u) = \frac{D}{2} A_0 \int_{-1}^{1} e^{jv_m \bar{x}} d\bar{x}$$
$$= \frac{D}{2} A_0 \frac{2 \sin v_m}{v_m}$$
$$= DA_0 \frac{\sin v_m}{v_m}$$

いま, g(0) = 1 とすると,

$$g(0) = DA_0 = 1$$

よって,

$$g(u) = \frac{\sin v_m}{v_m}$$

$$= \frac{\sin \left(u - \frac{\pi D}{\lambda} \sin \theta_m\right)}{u - \frac{\pi D}{\lambda} \sin \theta_m}$$

(5.89)

(5.88)

(5.90)

5.5 レメッツのアルゴリズムによるビーム成形

主ビームの制約条件を加えると、レメッツのアルゴリズムによる成形ビームの指向性合成が行え、サイドローブレベルの制御も同時に可能である。計算方法は次のとおりである。

- 主ビームのリプルの範囲 $(1\pm\hat{\epsilon})$ とリプルの数 N_i ,抑圧するサイドローブレベルの最大値 ϵ ,第 1 サイドローブから順に抑圧するサイドローブ数 N_s を与える.
- 電界指向性の初期値を設定する.
- 主ビームのリプルの最大、最小の方向 $\hat{u}_i(n=1,2,\cdots,N_i)$ 、サイドローブレベルのピーク方向 $u_n(n=1,2,\cdots,N_s)$ を求める.
- 主ビーム領域の電界指向性を $1 \hat{\epsilon} \leq g(u) \leq 1 + \hat{\epsilon}$ とするため,

$$g(\hat{u}_i) = 1 + (-1)^{N_i - i} \hat{\epsilon} \quad (i = 1, 2, \dots, N_i)$$
 (5.91)

サイドローブ領域の電界指向性を $-\epsilon \leq g(u) \leq \epsilon$ とするため,

$$g(u_m) = (-1)^m \epsilon \quad (m = 1, 2, \dots, N_s)$$
 (5.92)

上式を連立して a_n $(n=1,2,\cdots,N(=N_i+N_s))$ を決定する.

よって、 $a_n (n = 1, 2, \dots, N (= N_i + N_s))$ は、次式を解けばよい.

$$\begin{pmatrix} \phi_{1}(\hat{u}_{1}) & \phi_{2}(\hat{u}_{1}) & \cdots & \phi_{N}(\hat{u}_{1}) \\ \phi_{1}(\hat{u}_{2}) & \phi_{2}(\hat{u}_{2}) & \cdots & \phi_{N}(\hat{u}_{2}) \\ \vdots & \vdots & & \vdots \\ \phi_{1}(\hat{u}_{N_{i}}) & \phi_{2}(\hat{u}_{N_{i}}) & \cdots & \phi_{N}(\hat{u}_{N_{i}}) \\ \phi_{1}(u_{1}) & \phi_{2}(u_{1}) & \cdots & \phi_{N}(u_{1}) \\ \phi_{1}(u_{2}) & \phi_{2}(u_{2}) & \cdots & \phi_{N}(u_{2}) \\ \vdots & & \vdots & & \vdots \\ \phi_{1}(u_{N_{s}}) & \phi_{2}(u_{N_{s}}) & \cdots & \phi_{N}(u_{N_{s}}) \end{pmatrix} \begin{pmatrix} a_{1} \\ a_{2} \\ \vdots \\ a_{N_{i}} \\ a_{N_{i}+1} \\ a_{N_{i}+2} \\ \vdots \\ a_{N} \end{pmatrix} = \begin{pmatrix} -\hat{\phi}_{0}(\hat{u}_{1}) + 1 + (-1)^{N_{i}-1}\hat{\epsilon} \\ -\hat{\phi}_{0}(\hat{u}_{2}) + 1 + (-1)^{N_{i}-2}\hat{\epsilon} \\ \vdots \\ -\hat{\phi}_{0}(\hat{u}_{N_{i}}) + 1 + (-1)^{0}\hat{\epsilon} \\ -\hat{\phi}_{0}(u_{1}) + (-1)^{1}\hat{\epsilon} \\ -\hat{\phi}_{0}(u_{1}) + (-1)^{1}\hat{\epsilon} \\ -\hat{\phi}_{0}(u_{2}) + (-1)^{2}\hat{\epsilon} \\ \vdots \\ -\hat{\phi}_{0}(u_{N_{s}}) + (-1)^{N_{s}}\hat{\epsilon} \end{pmatrix}$$
(5.93)

ただし,

$$g(0) = a_0 = 1 + (-1)^{N_i} \hat{\epsilon} \tag{5.94}$$

$$\hat{\phi}_0(u) = a_0 \phi_0(u) = \left\{ 1 + (-1)^{N_i} \hat{\epsilon} \right\} \phi_0(u) \tag{5.95}$$

このように指向性を求め、3、4の計算を繰り返し a_n を更新する。主ビームのリプル、サイドローブのピーク値が所定の値となれば反復を終了する。電界指向性の初期値は、例えば、

• 有限範囲で一様な電界指向性をフーリエ級数展開したもの

• ウッドワード・ローソン法による指向性合成

などが考えられる

図5.7は方形関数 (正面から 35° まで一様) をフーリエ級数展開 (展開項数は $N_b=14$) した ときの電界指向性および(電力)放射パターンを示したもので、サイドローブレベルは比較的高 く, 主ビームのリプルは広角になるほど大きくなってしまう. そこで, 主ビームのリプルは全て

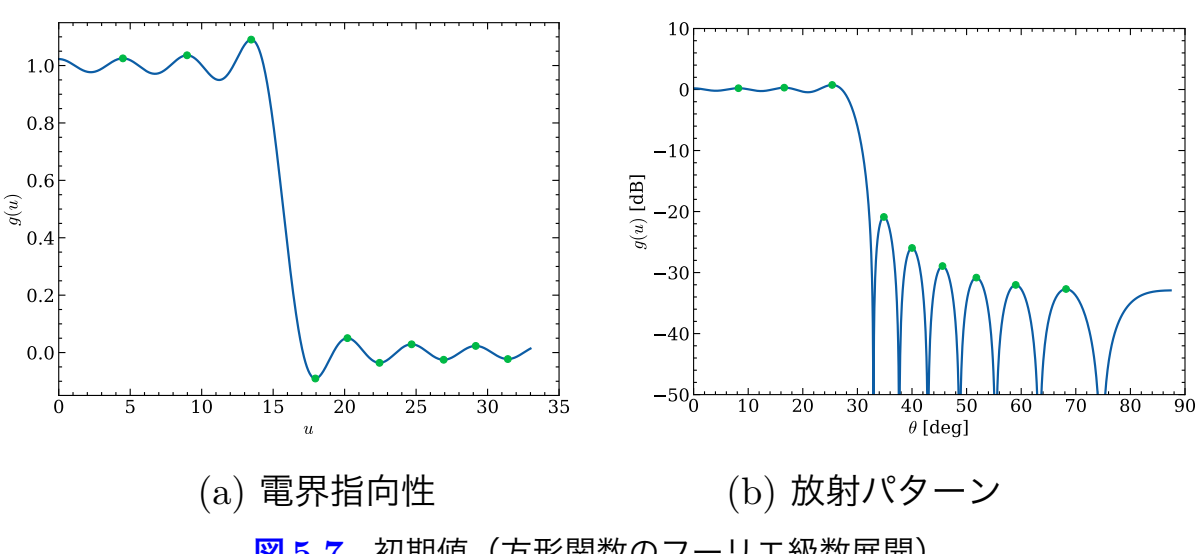


図 **5.7.** 初期値(方形関数のフーリエ級数展開)

0.1 dB, サイドローブレベルのピーク値は、第1から順に、-30, -33.75, -37.5, -41.25, -45 [dB] となるようにレメッツのアルゴリズムに基づき繰り返し計算を行うと、図5.8に示すようになる。表5.2はこのときのピークサイドローブレベルの値を示したもので、m=0は初

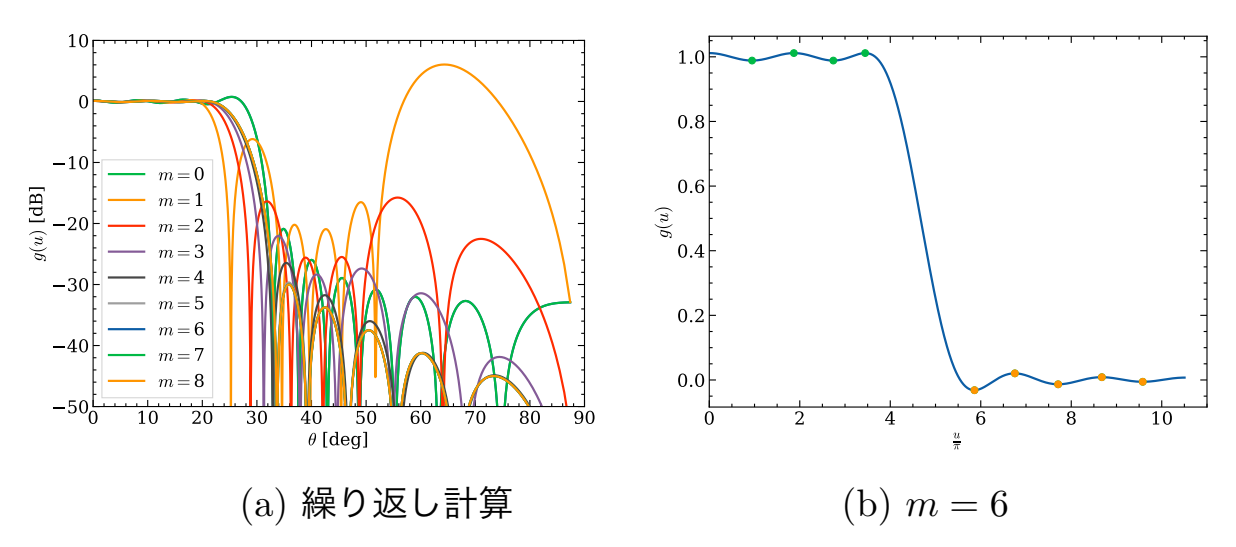


図 5.8. レメッツのアルゴリズムに基づく計算過程。主ビームのリプルは $0.1\ dB$,与えたサイドローブレベルの値は,第 1 から順に, $-30,-33.75,-37.5,-41.25,-45\ [dB]$

期値の放射パターンにおける値であり、繰り返し回数がm=6のとき収束していることが

わかる。図5.9は、ビーム成形の放射パターンおよび開口面分布を示したもので、開口面分

表 5.2 所定の値に収束するまでの計算過程(主ビームのリプル数 $N_i=4$, サイドローブ数 $N_s=5$)

-i-th	 第1	第 2	 第 3	 第 4	 第 5	 第 6	 第 7	 第 8	———— 第 9
m	[dB]	[dB]	[dB]	[dB]	[dB]	[dB]	[dB]	[dB]	[dB]
0	0.103	-0.142	0.206	-0.349	-20.073	-24.636	-27.22	-28.862	-29.951
1	-0.104	0.115	-0.156	0.221	-27.035	-29.726	-29.422	-24.912	-2.444
2	-0.102	0.106	-0.109	0.101	-26.878	-29.16	-28.472	-19.204	-25.972
3	-0.102	0.101	-0.104	0.114	-26.758	-29.08	-28.61	-32.637	-42.66
4	-0.101	0.101	-0.103	0.103	-27.876	-31.763	-36.312	-41.188	-44.854
5	-0.101	0.1	-0.101	0.1	-29.825	-33.741	-37.493	-41.239	-44.997
6	-0.101	0.1	-0.101	0.1	-30.	-33.75	-37.5	-41.25	-45.
7	-0.101	0.1	-0.101	0.1	-30.	-33.75	-37.5	-41.25	-45.

布は sinc 関数に近い分布である。また、与えたサイドローブレベルの値を全て-40-dBとする成形ビームの指向性合成も可能で、図 5.10 にその結果を示す。

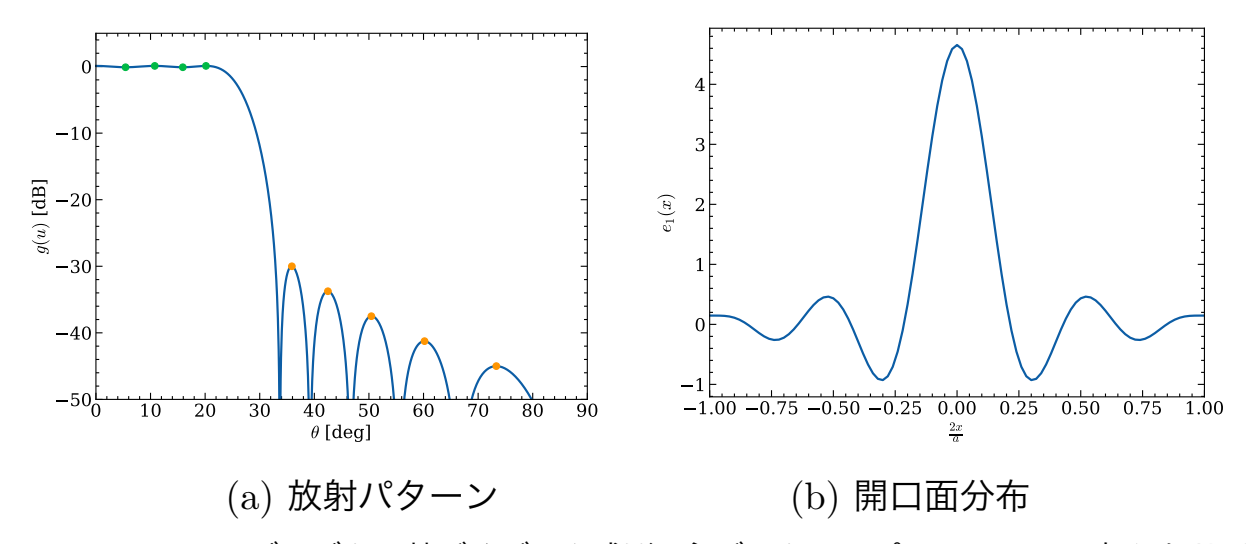


図 5.9. レメッツのアルゴリズムに基づくビーム成形。主ビームのリプルは $0.1\ dB$,与えたサイドローブレベルの値は,第 1 から順に, $-30,-33.75,-37.5,-41.25,-45\ [dB]$.

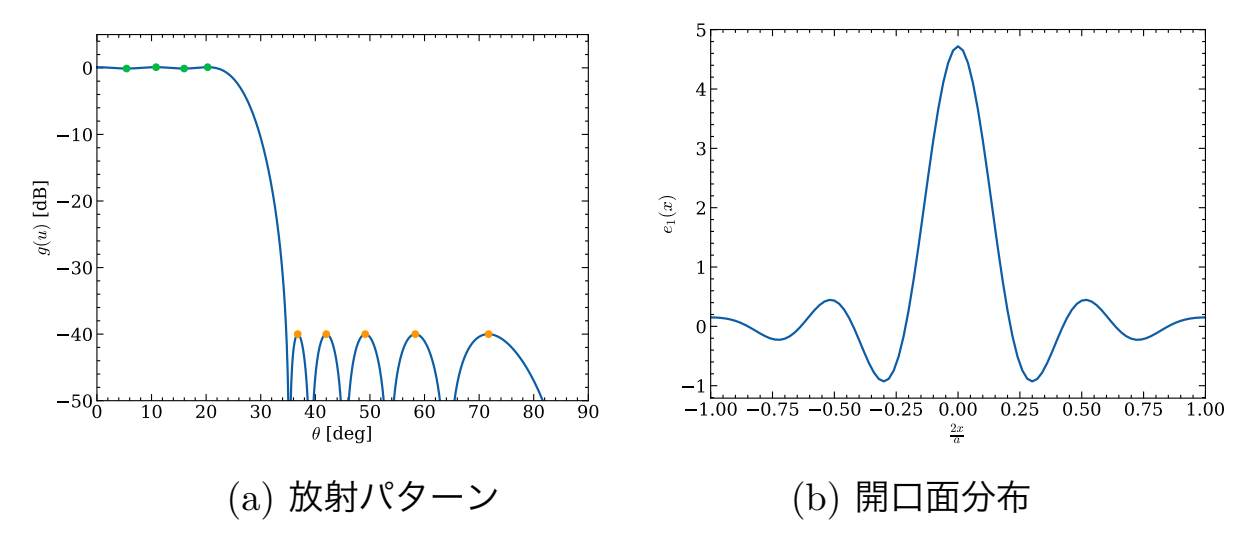


図 5.10. レメッツのアルゴリズムに基づくビーム成形。主ビームのリプルは 0.1~dB, 与えたサイドローブレベルの値は、全て -40-dB.

5.6 2次計画法による指向性合成

5.6.1 2次計画法のための定式化

1次元波源分布をフーリエ級数などの多項式で展開したとき、電界指向性は各項のフーリエ逆変換とその展開係数の線型結合で求められる。また、開口能率は展開係数に関する2次式を最小式の逆数に比例するので、開口能率を最大にするためには、展開係数に関する2次式を最小化すればよい。このとき、指向性は展開係数に関する1次式で表される。このような関係ゆえ、2次計画法(quadratic programming, QP)*3を用いれば、1次式で表される指向性(例えば、サイドローブレベル、交差偏波成分など)を制約条件とし、2次式で表される評価関

^{*32}次計画法の参考文献は次のとおり.

[•] IMSL Fortran ライブラリ ユーザーガイド Math v7.0, p.8-126. IMSL ルーチン QPROG/DQPROG は、一般線形統合/不等号拘束式に従う凸型 2 次計画 (QP) 問題に対する Goldfarb と Idnani(1983 年)の双対 QP アルゴリズムの M. J. D. Powell の手法

茨木 俊秀, 福島 雅夫, "FORTRAN77 最適化プログラミング," 第4章, 岩波書店(1991).

[•] MATLAB (optimization toolkit) の関数 quadprog

[•] Python の SciPy の関数 scipy.optimize.minimize

数を最小にするように展開係数を最適化することができる

ここでは、まずサイドローブレベルのみを制約条件とし、開口能率が最大となる展開係数 a_n を求める方法について説明する。最小化する評価関数(目的関数、objective function)は a_n の関数として、

$$F(a_1, a_2, \cdots, a_N) = \sum_{n=1}^{N} a_n^2$$
 (5.96)

最適化変数 a_n を要素とする列ベクトルを a とすると、次のような2次形式で表される(肩文字 t は転置を示す)。

$$\min_{(\boldsymbol{a})} F(\boldsymbol{a}) = \frac{1}{2} \boldsymbol{a}^t [H] \boldsymbol{a} + \boldsymbol{c}^t \boldsymbol{a}$$
 (5.97)

ただし,

- a:変数 a_n $(n = 1, 2, \dots, N)$ を要素とする N 次元列ベクトル
- a^t :列ベクトル a の転置
- [H]: 2次の項(second-order term)の係数からなる $N \times N$ 対称行列
- c:1次の項(first-order term)の係数からなる N 次元列ベクトル

• c^t : 列ベクトル c の転置

1次元波源分布がフーリエ級数展開されている場合,

$$[H] = 2[U] \tag{5.98}$$

$$\boldsymbol{c} = (0) \tag{5.99}$$

ただし,[U] は N 行 N 列の単位行列,(0) は要素が全てゼロの N 次元の列ベクトルを示す。 一方,制約条件は,

- 等式制約条件: g(0) = 1, 正規化条件を用いた場合, $a_0 = 1$.
- 不等式制約条件: $-\epsilon \leq g(u) \leq \epsilon \ (u_s \leq u \leq u_m)$

ただし、 $\epsilon(>0)$ はサイドローブレベル、 u_s は主ビームより広角で、かつ第 1 サイドローブレベルまでの方向とし、 u_m はある程度のサイドローブ数を含む角度までとるようにする。また、対称な波源分布を考え、指向性関数 g(u) は、

$$g(u) = \phi_0(u) + \sum_{n=1}^{N} a_n \phi_n(u)$$
 (5.100)

ここで,

$$\phi_0(u) = \frac{\sin u}{u}$$

$$= \operatorname{sinc}\left(\frac{u}{\pi}\right)$$

$$= \operatorname{sinc}\left(\frac{D}{\lambda}\sin\theta\right)$$

$$\phi_n(u) = \frac{\sin(u - n\pi)}{u - n\pi} + \frac{\sin(u + n\pi)}{u + n\pi}$$

$$= \operatorname{sinc}\left(\frac{u}{\pi} - n\right) + \operatorname{sinc}\left(\frac{u}{\pi} + n\right)$$

$$= \frac{\sin u}{u} \cdot \frac{2(-1)^n u^2}{u^2 - (n\pi)^2}$$

$$= \operatorname{sinc}\left(\frac{u}{\pi}\right) \cdot \frac{2(-1)^n u^2}{u^2 - (n\pi)^2} \quad (n = 1, 2, \dots, N)$$
(5.102)

これより、不等式制約条件 (inequality constraints) は (例えば、MATLAB (optimization toolkit) の関数 quadprog),

$$[A_{ineq}]\boldsymbol{a} \le \boldsymbol{b}_{ineq} \tag{5.103}$$

ここで,

$$\begin{bmatrix} A_{ineq} \end{bmatrix} = \begin{pmatrix} \begin{bmatrix} A_s' \\ -[A_s'] \end{pmatrix}, \qquad \boldsymbol{b}_{ineq} = \begin{pmatrix} -\boldsymbol{\phi} \\ \boldsymbol{\phi} \end{pmatrix} + \epsilon \begin{pmatrix} \boldsymbol{I}_s' \\ \boldsymbol{I}_s' \end{pmatrix}$$
 (5.104)

いま、 $u_s \leq u_i^{(s)} < u_m$ の範囲のサンプル点を $u_i^{(s)}$ $(i=1,2,\cdots,N_s)$ とすると、列ベクトル ϕ は、

$$\phi = \left(\phi_0(u_1^{(s)}) \quad \phi_0(u_2^{(s)}) \quad \cdots \quad \phi_0(u_{N_s}^{(s)})\right)^t \tag{5.105}$$

また、 I'_s は N_s 列の要素が全て1とする列ベクトルを示し、

$$\mathbf{I}_s' = \begin{pmatrix} 1 & 1 & \cdots & 1 \end{pmatrix}^t \tag{5.106}$$

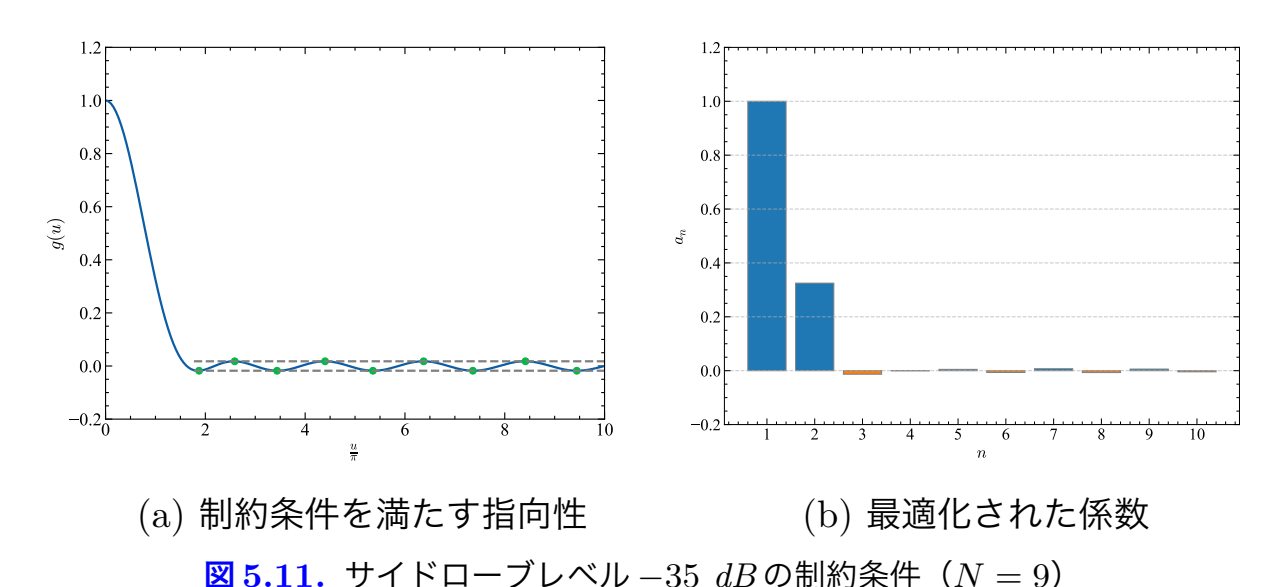
行列 $[A_s']$ はサンプル点 $u_i^{(s)}$ $(i=1,2,\cdots,N_s)$ における計算より, N_s 行 N 列で表され次のようになる(右辺の肩文字 t は転置を示す).

$$[A'_{s}] = \begin{pmatrix} \phi_{1}(u_{1}^{(s)}) & \phi_{1}(u_{2}^{(s)}) & \cdots & \phi_{1}(u_{N_{s}}^{(s)}) \\ \phi_{2}(u_{1}^{(s)}) & \phi_{2}(u_{2}^{(s)}) & \cdots & \phi_{2}(u_{N_{s}}^{(s)}) \\ \vdots & \vdots & & \vdots \\ \phi_{N}(u_{1}^{(s)}) & \phi_{N}(u_{2}^{(s)}) & \cdots & \phi_{N}(u_{N_{s}}^{(s)}) \end{pmatrix}^{t}$$

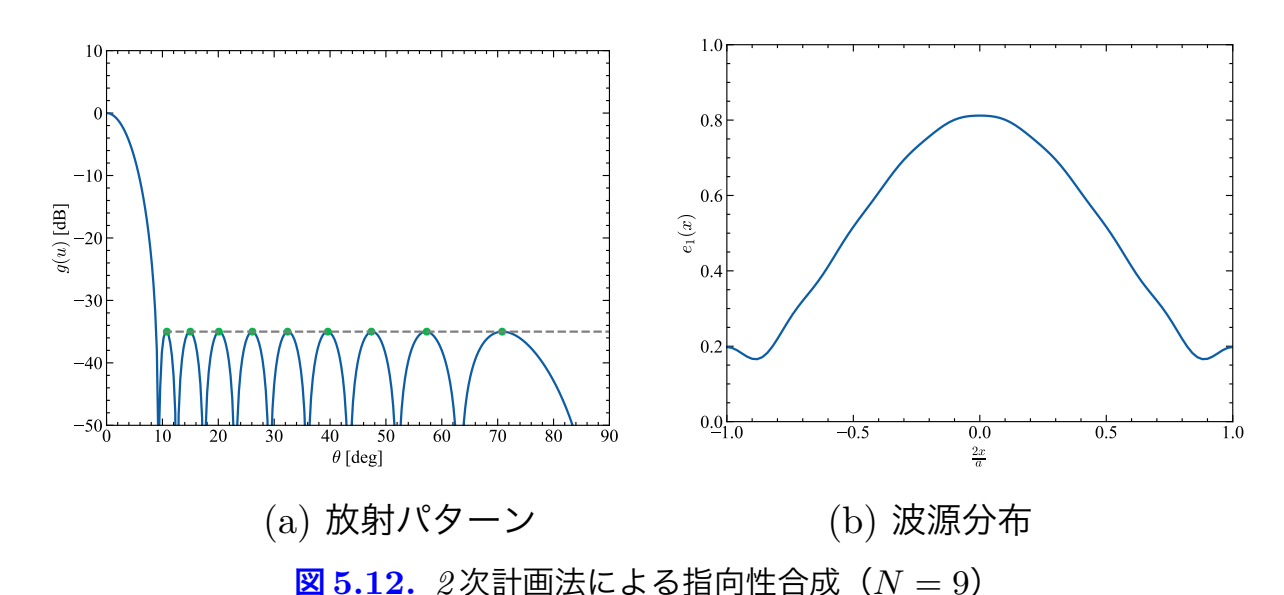
$$(5.107)$$

5.6.2 所定のサイドローブレベル以下で利得最大の指向性合成

図 5.11 はサイドローブレベル -35 dB の制約条件のもとで利得が最大となるように 2 次計画法によって最適化した結果を示したもので、同図 (a) の電界指向性より、サイドローブレベルの大きさは制約条件を満たしていることが確認できる。同図 (b) に励振係数 a_n を示し、高次の係数が小さいことがわかる。また、図 5.12 は最適化された放射パターンおよび波



源分布を示したもので、開口能率は83%である.



展開項数Nを変えた場合の係数 a_n $(n=1,2,\cdots,N)$ (ただし、 $a_0=1$) を表に示す(サイドローブレベル $-35~\mathrm{dB}$)。展開項数Nを増やせば開口能率はわずかに高くなっていく。

表 5.3 2 次計画法によって最適化した展開係数 $(a_0 = 1)$

80.6

開口能率 η_i [%]

78.6

N	1	2	3	5	9
a_1	0.3694	0.3471	0.3381	0.3346	0.3250
a_2	-	-0.0163	-0.0148	-0.0143	-0.0131
a_3	_	-	0.0032	0.0022	-0.0001
a_4	_	-	-	0.0019	0.0049
a_5	_	-	-	-0.0025	-0.0067
a_6	-	-	-	-	0.0072
a_7	_	-	-	-	-0.0070
a_8	_	_	-	-	0.0060
a_9	_	-	-	-	-0.0042

81.4

81.7

82.5

5.7 2次計画法によるビーム成形

5.7.1 2次計画法のための定式化

成形ビームの場合, 制約条件は,

- 等式制約条件: $q(u_e) = 1$
- 不等式制約条件: $1 \le g(u) \le 1 + \hat{\epsilon} \ (0 \le u \le u_e)$

ここで,

$$u_e = \frac{\pi D}{\lambda} \sin \theta_e \tag{5.108}$$

ただし、カバレッジは $0 \le u \le u_e$ 、 θ_e は利得を高くしたいカバレッジ端 (edge of coverage, EOC) 方向を示す。また、指向性関数 g(u) は正規化していないため、 a_0 も最適化変数とし

て扱う.対称な波源分布よる電界指向性 g(u) は,

$$g(u) = a_0 \phi_0(u) + \sum_{n=1}^{N} a_n \phi_n(u)$$
$$= \sum_{n=0}^{N} a_n \phi_n(u)$$

これより、まず等式制約条件 (equality constraints)

$$ig[A_{eq}ig]m{a}=m{b}_{eq}$$

における行列 $[A_{eq}]$ および列ベクトル b_{eq} は,

にありる1]が]
$$[A_{eq}]$$
 あよいがパントル $oldsymbol{o}_{eq}$ は、

$$\begin{bmatrix} A \end{bmatrix} = \begin{pmatrix} A & (a_1) & A \end{pmatrix}$$

$$[A_{eq}] = \begin{pmatrix} \phi_0(u_e) & \phi_1(u_e) & \cdots & \phi_N(u_e) \end{pmatrix}$$

 $b_{ea} = (1)$

最適化変数は(要素数はN+1),

$$\boldsymbol{a} = \begin{pmatrix} a_0 & a_1 & \cdots & a_N \end{pmatrix}^t$$

また、不等式制約条件 (inequality constraints)

(5.109)

(5.110)

(5.111)

(5.112)

(5.114)

onstraints)
$$[A_{ineq}]oldsymbol{a} \leq oldsymbol{b}_{ineq}$$

は、主ビームの条件より、

$$\begin{bmatrix} A_{ineq} \end{bmatrix} = \begin{pmatrix} \begin{bmatrix} A_c \\ -[A_c] \end{pmatrix}, \quad \boldsymbol{b}_{ineq} = \begin{pmatrix} (1+\hat{\epsilon})\boldsymbol{I}_c \\ -\boldsymbol{I}_c \end{pmatrix}$$
 (5.115)

ただし、 I_c は N_c 列の要素が全て1となる列ベクトルを示す.

$$\boldsymbol{I}_c = \begin{pmatrix} 1 & 1 & \cdots \end{pmatrix}^t \tag{5.116}$$

行列 $[A_c]$ は, $0 \le u_i^{(c)} < u_e$ の範囲の点を $u_i^{(c)}$ $(i=1,2,\cdots,N_c)$ とすると,

$$[A_c] = \begin{pmatrix} \phi_0(u_1^{(c)}) & \phi_0(u_2^{(c)}) & \cdots & \phi_0(u_{N_c}^{(c)}) \\ \phi_1(u_1^{(c)}) & \phi_1(u_2^{(c)}) & \cdots & \phi_1(u_{N_c}^{(c)}) \\ \vdots & \vdots & & \vdots \\ \phi_N(u_1^{(c)}) & \phi_N(u_2^{(c)}) & \cdots & \phi_N(u_{N_c}^{(c)}) \end{pmatrix}^t$$

$$(5.117)$$

この場合も所定のサイロドーブレベル ϵ 以下にすることが可能で、

• 不等式制約条件: $-\epsilon \leq g(u) \leq \epsilon \ (u_s \leq u \leq u_m)$

ただし、 $\epsilon(>0)$ はサイドローブレベル、 u_s は主ビームより広角で、かつ第 1 サイドローブレベルまでの方向とする。よって、

$$\begin{bmatrix} A_{ineq} \end{bmatrix} = \begin{pmatrix} \begin{bmatrix} A_c \\ -[A_c] \\ [A_s] \\ -[A_s] \end{pmatrix}, \quad \boldsymbol{b}_{ineq} = \begin{pmatrix} (1+\hat{\epsilon})\boldsymbol{I}_c \\ -\boldsymbol{I}_c \\ \epsilon \boldsymbol{I}_s \\ \epsilon \boldsymbol{I}_s \end{pmatrix} \tag{5.118}$$

行列 $[A_s]$ はサンプル点 $u_i^{(s)}$ $(i=0,1,2,\cdots,N_s)$ における計算より, N_s 行 (N+1) 列で表され次のようになる.

$$[A_s] = \begin{pmatrix} \phi_0(u_1^{(s)}) & \phi_0(u_2^{(s)}) & \cdots & \phi_0(u_{N_s}^{(s)}) \\ \phi_1(u_1^{(s)}) & \phi_1(u_2^{(s)}) & \cdots & \phi_1(u_{N_s}^{(s)}) \\ \vdots & \vdots & & \vdots \\ \phi_N(u_1^{(s)}) & \phi_N(u_2^{(s)}) & \cdots & \phi_N(u_{N_s}^{(s)}) \end{pmatrix}^t$$

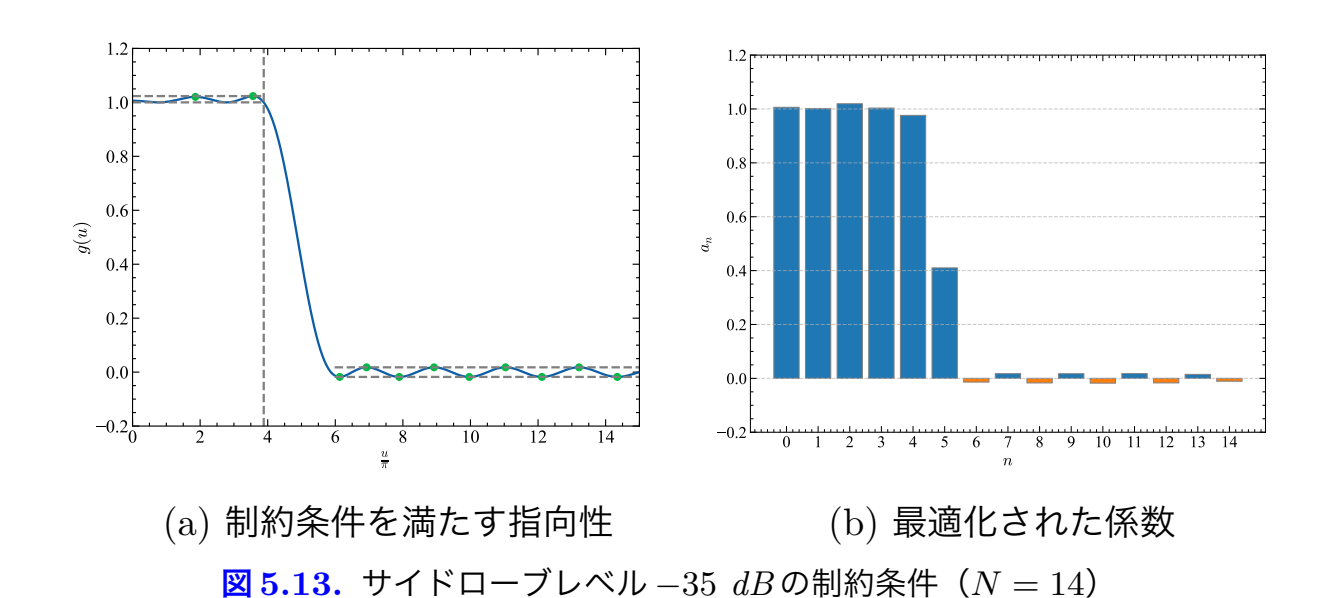
$$(5.119)$$

また、 I_s は N_s 列の要素が全て1となる列ベクトルを示す.

$$\mathbf{I}_s = \begin{pmatrix} 1 & 1 & \cdots \end{pmatrix}^t \tag{5.120}$$

5.7.2 所定のサイドローブレベル以下を実現する成形ビームの指向性合成

図 5.13 は主ビーム範囲 15° までを 0 dB 以上でリプルを 0.2 dB. カバレッジのエッジ方向 の利得(略してEOC利得という)に対してサイドローブレベル – 35 dB となる制約条件の もとで、EOC 利得利得が最大となるように2次計画法によって最適化した結果を示したも ので、同図(a)の電界指向性より、主ビームならびにサイドローブレベルの大きさは制約条 件を満たしていることが確認できる。同図 (b) に励振係数 a_n を示し、主ビームを制御する場 合、高次の係数も大きくなることがわかる。また、この場合、サイドローブレベルのみの指 向性合成に比べてより高次の係数が必要となる。また、25.14 は EOC 利得に対する相対的 な放射パターンおよび波源分布を示したもので、主ビームのリプルの最大値は 0.2 dB. サ イドローブピーク値は-35 dBであることが確認できる.同図(b)より sinc 関数のような波 源分布になることもわかる



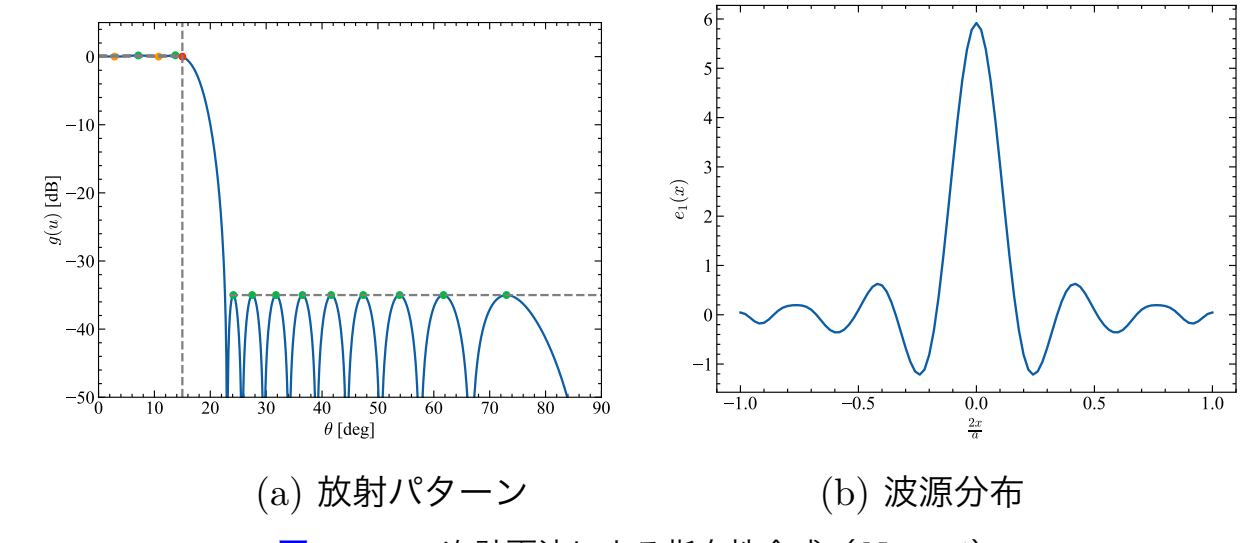


図 5.14. 2次計画法による指向性合成(N=14)

CHAPTER A

付録

A.1 ソニンの第1積分

ソニン(ニコライ・ヤコヴレヴィチ・ソニン(ロシアの数学者))の第 1 積分(Sonine's first finite integral)* 1 は

$$J_{\mu+\nu+1}(z) = \frac{z^{\nu+1}}{2^{\nu}\Gamma(\nu+1)} \int_0^{\frac{\pi}{2}} J_{\mu}(z\sin\theta) \sin^{\mu+1}\theta \cos^{2\nu+1}\theta d\theta \tag{A.1}$$

上式において,

$$z \to x$$
, $\sin \theta \to t$, $\mu \to n$, $\nu \to m - n - 1$ (A.2)

とすると、 $\cos\theta d\theta = dt$ より、ソニンの積分(Sonine's integral)は、

$$J_m(x) = \frac{x^{m-n}}{2^{m-n-1}\Gamma(m-n)} \int_0^1 J_n(xt)t^{n+1}(1-t^2)^{m-n-1}dt$$
$$= \frac{2x^{m-n}}{2^{m-n}\Gamma(m-n)} \int_0^1 J_n(xt)t^{n+1}(1-t^2)^{m-n-1}dt$$
(A.3)

^{*1} G. N. Watson, "Theory of Bessel Functions," 2d ed., p.373, Macmillan, New York (1945).

n=0 のとき,

$$J_m(x) = \frac{x^m}{2^{m-1}\Gamma(m)} \int_0^1 J_0(xt)t(1-t^2)^{m-1}dt$$

 $m \rightarrow m + 1$ とすると,

$$J_{m+1}(x) = \frac{x^{m+1}}{2^m \Gamma(m+1)} \int_0^1 J_0(xt) t(1-t^2)^m dt$$

よって、次式が得られる.

$$\int_{0}^{1} (1 - t^{2})^{m} J_{0}(xt) t dt = \frac{2^{m} \Gamma(m+1) J_{m+1}(x)}{x^{m+1}}$$

ただし、 $\Gamma(m+1)$ はガンマ関数を示し、m が正整数のとき、

$$\Gamma(m+1) = m!$$

(A.4)

(A.5)

(A.6)

(A.7)

A.2 Laplace の積分

積分 I(a)

$$I(a) = \int_0^\infty e^{-bx^2} \cos(2ax) dx \tag{A.8}$$

をaについて微分すると、次のようになる。

$$\frac{dI}{da} = \frac{d}{da} \left(\int_0^\infty e^{-bx^2} \cos(2ax) dx \right)$$

$$= \int_0^\infty \left(-2xe^{-bx^2} \right) \sin(2ax) dx \tag{A.9}$$

部分積分より,

$$\frac{dI}{da} = \left[\frac{e^{-bx^2}}{b} \cdot \sin(2ax)\right]_0^\infty - \int_0^\infty \frac{e^{-bx^2}}{b} \cdot 2a\cos(2ax)dx$$

$$= -\frac{2a}{b} \int_0^\infty e^{-bx^2} \cos(2ax)dx$$

$$= -\frac{2a}{b}I$$
(A.10)

したがって、次の微分方程式をaについて解けばよいことになる.

$$\frac{dI(a)}{da} = -\frac{2a}{b}I(a) \tag{A.11}$$

これより,

$$\int \frac{dI}{I} = -\frac{2}{b} \int ada \tag{A.12}$$

この不定積分を実行すると,

$$\log_e I = -\frac{2}{b} \frac{a^2}{2} + C' = -\frac{a^2}{b} + C'$$

よって、I(a) は次のようになる(C' および C は積分定数).

$$I(a) = Ce^{-\frac{a^2}{b}} \tag{A.14}$$

(A.13)

いま, a=0とおくと,

$$I(0) = C \tag{A.15}$$

ゆえ, I(0) より C が決まる.

$$I(0) = \int_0^\infty e^{-bx^2} dx = \int_0^\infty e^{-by^2} dy$$
 (A.16)

これより、 $I^{2}(0)$ を求めると次のようになる.

$$I^{2}(0) = \left(\int_{0}^{\infty} e^{-bx^{2}} dx\right) \left(\int_{0}^{\infty} e^{-by^{2}} dy\right)$$
$$= \int_{0}^{\infty} \int_{0}^{\infty} e^{-b(x^{2}+y^{2})} dx dy$$

ただし、 $0 \le x \le \infty$ 、 $0 \le y \le \infty$. また、

$$x \equiv r \cos \theta$$
$$y \equiv r \sin \theta$$

とおいて変数変換すると,

$$x^2 + y^2 = r^2 (A.20)$$

$$dxdy = rdrd\theta$$

(A.21)

(A.17)

(A.18)

(A.19)

より,

$$I^{2}(0) = \int_{0}^{\pi/2} \int_{0}^{\infty} e^{-br^{2}} r dr d\theta$$
$$= \int_{0}^{\pi/2} d\theta \int_{0}^{\infty} e^{-br^{2}} r dr$$
$$= \frac{\pi}{2} \int_{0}^{\infty} e^{-br^{2}} r dr$$

さらに, $r^2 \equiv t$ とおいて,

$$2rdr = dt (A.23)$$

(A.22)

(A.24)

より、変数変換すると、

$$I^{2}(0) = \frac{\pi}{2} \int_{0}^{\infty} e^{-bt} \frac{1}{2} dt = \frac{\pi}{4} \left[-\frac{1}{b} e^{-bt} \right]_{0}^{\infty}$$
$$= \frac{\pi}{4b} (-\frac{1}{e^{\infty}} + e^{0})$$
$$= \frac{\pi}{4b}$$

よって,

$$C = I(0) = \int_0^\infty e^{-bx^2} dx = \frac{1}{2} \sqrt{\frac{\pi}{b}}$$

これより、I(a) は次のようになる.

$$I(a) = \int_0^\infty e^{-bx^2} \cos(2ax) dx = \frac{1}{2} \sqrt{\frac{\pi}{b}} e^{-\frac{a^2}{b}}$$

(A.25)

(A.26)

これを、Laplace の積分という.

A.3 三角関数の公式

A.3.1 三角関数の積和公式

三角関数の積和公式(積→和・差)を求めるため、

$$e^{j(\alpha+\beta)} + e^{j(\alpha-\beta)}$$

$$= e^{j\alpha}(e^{j\beta} + e^{-j\beta})$$

$$= (\cos\alpha + j\sin\alpha)2\cos\beta$$

$$= 2\cos\alpha\cos\beta + j2\sin\alpha\cos\beta$$

$$= \left\{\cos(\alpha+\beta) + \cos(\alpha-\beta)\right\} + j\left\{\sin(\alpha+\beta) + \sin(\alpha-\beta)\right\}$$
(A.27)

同様にして,

$$e^{j(\alpha+\beta)} - e^{j(\alpha-\beta)}$$

$$= e^{j\alpha}(e^{j\beta} - e^{-j\beta})$$

$$= (\cos\alpha + j\sin\alpha)j2\sin\beta$$

$$= j2\cos\alpha\sin\beta - 2\sin\alpha\sin\beta$$

$$= \{\cos(\alpha+\beta) - \cos(\alpha-\beta)\} + j\{\sin(\alpha+\beta) - \sin(\alpha-\beta)\}$$
(A.28)

これより,

$$2\cos\alpha\cos\beta = \cos(\alpha + \beta) + \cos(\alpha - \beta)$$

$$2\sin\alpha\cos\beta = \sin(\alpha + \beta) + \sin(\alpha - \beta)$$

$$2\cos\alpha\sin\beta = \sin(\alpha + \beta) - \sin(\alpha - \beta)$$

$$-2\sin\alpha\sin\beta = \cos(\alpha + \beta) - \cos(\alpha - \beta)$$
(A.29)
$$(A.31)$$

A.3.2 三角関数の和積公式

三角関数の和積公式(和・差→積)は,

$$A = \alpha + \beta \tag{A.33}$$

$$B = \alpha - \beta \tag{A.34}$$

とおいて,

$$\alpha = \frac{A+B}{2} \tag{A.35}$$

$$\beta = \frac{A - B}{2} \tag{A.36}$$

より,

$$e^{jA} + e^{jB} = e^{j\left(\frac{A+B}{2} + \frac{A-B}{2}\right)} + e^{j\left(\frac{A+B}{2} - \frac{A-B}{2}\right)}$$

$$= e^{j\frac{A+B}{2}} \left(e^{j\frac{A+B}{2}} + e^{j\frac{A-B}{2}}\right)$$

$$= \left\{\cos\left(\frac{A+B}{2}\right) + j\sin\left(\frac{A+B}{2}\right)\right\} 2\cos\left(\frac{A-B}{2}\right)$$

$$= \cos A + \cos B + j(\sin A + \sin B)$$

$$e^{jA} - e^{jB} = e^{j\left(\frac{A+B}{2} + \frac{A-B}{2}\right)} - e^{j\left(\frac{A+B}{2} - \frac{A-B}{2}\right)}$$

$$= e^{j\frac{A+B}{2}} \left(e^{j\frac{A+B}{2}} - e^{j\frac{A-B}{2}}\right)$$

$$= \left\{\cos\left(\frac{A+B}{2}\right) + j\sin\left(\frac{A+B}{2}\right)\right\} j2\sin\left(\frac{A-B}{2}\right)$$

$$= \cos A - \cos B + j(\sin A - \sin B)$$
(A.38)

これより,

$$\cos A + \cos B = 2\cos\left(\frac{A+B}{2}\right)\cos\left(\frac{A-B}{2}\right) \tag{A.39}$$

$$\sin A + \sin B = 2\sin\left(\frac{A+B}{2}\right)\cos\left(\frac{A-B}{2}\right) \tag{A.40}$$

$$\cos A - \cos B = -2\sin\left(\frac{A+B}{2}\right)\sin\left(\frac{A-B}{2}\right) \tag{A.41}$$

$$\sin A - \sin B = 2\cos\left(\frac{A+B}{2}\right)\sin\left(\frac{A-B}{2}\right) \tag{A.42}$$